

نظرية الدوائر

الأستاذ الدكتور

عبد الفتاح ابراهيم عبد الفتاح

نظرية الدوائر

الأستاذ الدكتور

عبد الفتاح ابراهيم عبد الفتاح

المحتويات

٣

الفصل الأول

٢٣

الفصل الثاني

٦٢

الفصل الثالث

٧٧

الفصل الرابع

٩٦

الفصل الخامس

١٣١

الفصل السادس

١٦٦

الفصل السابع

١٩١

الفصل الثامن

٢٠٦

الفصل التاسع

٢٢٤

زائدة

الفصل الأول

مقدمه

INTRODUCTION

١-١ الشحنات الكهربائية

Electric Charges

لا أحد يعرف على وجه التحديد متى بدأت علاقة الإنسان بالكهرباء . ولكن الفضل يعزى الى طاليس (Thales , 640-546 BC) في اكتشاف اخصائص الكهرباء للكهرمان (Amber). فقد لاحظ طاليس أنه عند ذلك الكهرمان بقطعة من الحرير أو بقطعة من الفراء يصبح مكهربا ويصبح قادرا على جذب الأشياء الخفيفة.

وفي القرن الثامن عشر أجرى العلماء دراسات مكثفة حول الشحنات الكهربائية التي أمكن اخصول عليها بذلك فضيّب من الزجاج بقطعة من احرير أو بدلك فضيّب من المطاط بقطعة من الفراء.

ولقد أمكن ملاحظة وجود قوى على شكل تجاذب (Attraction) أو تنافر (Repulsion) بين الأجسام المشحونة . وفي التجارب العملية التي أجريت تم تعليق كرتين من مادة خفيفة مثل نخاع البيلسان (Pith balls) على مسافة سنتيمترات قليلة من بعضهما . ولاحظ العلماء أن الكرتين تبتعدان عن بعضهما عند لمس كل منهما بقضيّب من الزجاج المشحون أو بقضيّب من المطاط المشحون بالكهرباء. كما لاحظوا أن الكرتين تقتربان من بعضهما في حالة لمس احدهما بقضيّب الزجاج المشحون و لمس الأخرى بقضيّب المطاط المشحون. وكان التفسير المقبول لهذه الظاهرة هو وجود نوعين من الشحنات وأن نوع الشحنة على قضيّب الزجاج يختلف عن نوع الشحنة على قضيّب المطاط. وقد استخدم بيامين فرانكلين (Benjamin Franklin 1706 – 1790) اسم الشحنة الموجبة (Positive Charge) لاحدهما والشحنة السالبة (Negative Charge) للأخرى. ولم يتوصل الباحثون بعد ذلك الى وجود نوع ثالث من الشحنات.

اكتشف كولوم (Charles A. Coulomb 1736 – 1806) أن القوى بين الشحنات تتناسب طرديا مع مقدار كل منهما وتتناسب عكسيا مع مربع المسافة بينهما وهو ما يعرف بقانون كولوم (Coulomb's Law) حيث يصاغ في الصورة الرياضية

$$F = \frac{Q_1 Q_2}{4\pi\epsilon r^2}$$

حيث

F هي القوة بين الشحنتين بالنيوتن
 Q_1, Q_2 هما قيمتا الشحنتين بالكولوم

r هي المسافة الفاصلة بين الشحنتين بالمتر

ϵ هي سماحية الوسط (Permittivity) وهي للفراغ ϵ_0 فاراد/ متر
حيث $\epsilon_0 = 8.84 * 10^{-12}$ Farad / m

بمزيد من الدراسة وجد العلماء أن الشحنات السالبة هي مضاعفات لكمية صغيرة من الشحنة يحملها جسيم من مكونات الذرة أطلق عليه اسم الإلكترون (Electron) و كتلته تساوى $9.107 * 10^{-31}$ Kg . كما وجدوا أن الشحنات الموجبة هي مضاعفات لكمية صغيرة مساوية في القيمة لشحنة الإلكترون ويحملها جسيم من مكونات الذرة كتلته 1836 ضعفا من كتلة الإلكترون ويعرف بالبروتون (Proton). كما تبين من الدراسة أن ظهور الشحنات على الأجسام واختلافها هو نتيجة لحركة الإلكترونات وانتقالها طبقا للقاعدة العامة أن الشحنات لا تفنى ولا تستحدث و هو ما يعرف بقانون بقاء الشحنة.

Law of conservation of charge

في الظروف العادية تكون ذرات المواد متعادلة كهربيا . أى أن عدد الإلكترونات داخل الذرة يكون مساويا لعدد البروتونات . وعندما تفقد الذرة الكترونا أو أكثر تصبح موجبة الشحنة و تعرف في هذه الحالة بأنها أيون موجب (Positive ion) . وعندما تكتسب الذرة الكترونا أو أكثر تصبح سالبة الشحنة و تعرف في هذه الحالة بأنها أيون سالب (Negative ion) . وفي العادة يرمز للشحنات الكهربائية بالرمز Q : كانت ثابتة القيمة . أما الشحنات المتغيرة مع الزمن فيرمز لها بالرمز $q(t)$. وفي النظام العالمى للوحدات (SI) تكون وحدة قياس الشحنة هي الكولوم (C) Coulomb . ويحتوى الكولوم الواحد من الشحنات السالبة على عدد $6.242 * 10^{18}$ الكترون حيث تبلغ شحنة الإلكترون الواحد $1.602 * 10^{-19}$ كولوم .

Example (1-1)

What is the total charge Q of two millions electrons

الحل

$$Q = 2 \times 10^6 (-1.6 \times 10^{-19})$$

$$= - 0.3204 \text{ pC}$$

Example (1-2)

Find the force of interaction between two charges spaced 5 cm in vacuum. $Q_1 = 0.02 \mu\text{C}$ & $Q_2 = 30 \mu\text{C}$

الحل

$$F = \frac{Q_1 Q_2}{4\pi\epsilon r^2}$$

$$= \frac{2 \times 10^{-8} \times 3 \times 10^{-5}}{4\pi \times 8.84 \times 10^{-12} \times (5 \times 10^{-2})^2}$$

$$= 2.16 \text{ Newton}$$

Electric Current

٢-١ التيار الكهربى

التيار الكهربى هو تعبير عن انتقال الشحنة من نقطة الى أخرى . ويعرف بأنه المعدل الزمنى لانتقال الشحنة خلال مقطع معين من موصل . ويمكن التعبير عن ذلك بالصورة الرياضية

$$i(t) = \frac{dq(t)}{dt} \quad (1.2)$$

أيضا فان الشحنة

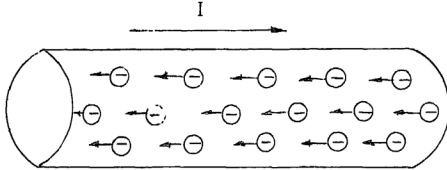
$$q(t) = \int_{-\infty}^t i(\tau) d\tau \quad (1.3)$$

أو

$$= q_0 + \int_0^t i(\tau) d\tau \quad (1.4)$$

حيث q_0 هي قيمة الشحنة عند اللحظة الزمنية $t = 0$
 فإذا قيست الشحنة بالكولوم والزمن بالثانية فإن وحدة قياس التيار تكون هـى
 الأمبير Ampere. وبناء عليه فإن الأمبير الواحد يعادل مرور شحنة مقدارها كولوم
 واحد خلال مقطع معين فى زمن مقداره ثانية واحدة و هو ما يعادل مرور 6.242×10^{18}
 الكترون خلال المقطع فى الثانية.

وبالرغم من أن الشحنات الحرة التى تحمل التيار فى أغلب الحالات هـى
 الالكترونات السالبة الشحنة الا أنه قد تم تعريف اتجاه التيار بأنه اتجاه سريان الشحنات
 الموجبة . وبناء على هذا التعريف فإن اتجاه سريان التيار فى الموصلات هو عكس اتجاه
 مرور الالكترونات الحرة كما هو موضح فى شكل (١-١).



شكل (١-١)

و فى النظام العالمى للوحدات SI يعرف الأمبير بأنه التيار الثابت الذى اذا مر فى
 موصلين متوازيين لانهائيين موضوعين على مسافة متر واحد من بعضهما فى الفراغ يحدث
 قوة بين الموصلين مقدارها 2×10^{-7} نيوتن لكل متر من طول الموصلين.
 وعادة يرمز للتيار الثابت مع الزمن بالرمز I كما يرمز للتيار المتغير مع الزمن
 بالرمز $i(t)$.

Example(1-3)

What is the current from a steady flow of 100 C through a wire cross section in 20 seconds ?

الحل

$$\begin{aligned} I &= \frac{Q}{t} \\ &= \frac{100 \text{ (C)}}{20 \text{ (s)}} = 5 \text{ A} \end{aligned}$$

Example (1-4)

What is the charge which has entered an element from a steady flow of current 2 A for 100 μs ?

الحل

$$\begin{aligned} Q &= It \\ &= 2 * 100 * 10^{-6} \\ &= 200 \mu\text{C} \end{aligned}$$

Example (1-5)

Find the current flowing in a conductor when the charge which has entered the conductor is given by $q(t) = 12t$ C.

الحل

$$\begin{aligned} i &= \frac{dq(t)}{dt} \\ &= \frac{d \ 12t}{dt} \\ &= 12 \text{ A} \end{aligned}$$

Example (1-6)

The total charge $q(t)$ in coulombs which has entered the terminal of a conductor is given by

$$q_{(t)} = \begin{cases} 0 & t < 0 \\ 2t & 0 \leq t \leq 2 \\ 3 + e^{-2(t-2)} & t > 2 \end{cases}$$

Find the current $i_{(t)}$ and sketch its variation with time

الحل

$$i_{(t)} = \frac{dq}{dt} = \begin{cases} 0 & t < 0 \\ 2 & 0 \leq t \leq 2 \\ -2e^{-2(t-2)} & t > 2 \end{cases}$$

The variation of the current i with time is shown in fig. (1-2)

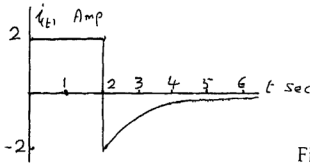


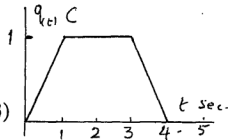
Fig.(1-2)

Example (1-7)

The charge $q_{(t)}$ C present in a two terminal element is defined by the wave shape shown in Fig. (1-3)

Find the wave shape of the current flowing in the element

Fig. (1-3)



الحل

$$i_{(t)} = \frac{dq_{(t)}}{dt}$$

العلاقة بين التيار و الشحنة هي العلاقة التفاضلية

و بتطبيق هذه العلاقة على التغير في الشحنة في شكل (٣-١) نجد أن :

١- في الفترة الزمنية من صفر الى ١ ثانية تردد الشحنة خطياً بمعدل ثابت مقداره

كولوم واحد كل ثانية. فيكون التيار في هذه الفترة ثابتاً عند القيمة 1 A

٢- في الفترة الزمنية من ١ الى ٣ ثانية تكون الشحنة ثابتة القيمة أى لا تتغير قيمة الشحنة داخل العصر ويكون التيار مساويا للصفر .

٣- في الفترة الزمنية من ٣ الى ٤ ثانية تتناقص الشحنة خطيا بمعدل ثابت مقداره كولوم واحد كل ثانية فيكون التيار في هذه الفترة ثابتا عند قيمة سالبة هي -1 A ويكون تغير التيار مع الزمن كما هو موضح بشكل (١-٤).

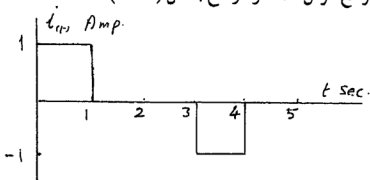


Fig.(1-4)

نفس هذه النتيجة يمكن الحصول عليها في صورة رياضية اذا عبرنا عن العلاقة بين الشحنة والزمن في صورة دالة كالآتي :

$$q(t) = \begin{cases} t & 0 \leq t \leq 1 \\ 1 & 1 \leq t \leq 3 \\ 4-t & 3 \leq t \leq 4 \end{cases} \text{ C}$$

و باجراء عملية التفاضل على هذه الدالة نحصل على الدالة الزمنية للتيار كالآتي .

$$i(t) = \begin{cases} 1 \text{ A} & 0 \leq t \leq 1 \\ 0 \text{ A} & 1 \leq t \leq 3 \\ -1 \text{ A} & 3 \leq t \leq 4 \end{cases}$$

Electric Energy

١-٣ الطاقة الكهربائية

تعرف الطاقة بأنها المقدرة على بذل الشغل. وعندما يبذل جسما ما شغلا Work فان ذلك يكون على حساب الطاقة التي يخترقها الجسم وذلك طبقا للمبدأ المعروف بأن الطاقة لا تفنى ولا تستحدث أو قانون بقاء الطاقة

Law of conservation of energy

والطاقة الكهربائية هي إحدى صور الطاقة المختلفة ولكنها لا توجد على صورة مستقلة في الطبيعة . ويسهل الحصول عليها من تحويل الصور الأخرى للطاقة ومن أمثلة ذلك:

١-٣-١ التحويل الكهروميكانيكي للطاقة

Electromechanical Energy Conversion

حيث تحول المولدات السدوارة Rotating generators طاقة الحركة إلى طاقة كهربية.

وفي العادة تكون الطاقة الميكانيكية محولة من صورة أخرى مثل الطاقة الحرارية Thermal energy في آلات الاحتراق والتوربينات و الطاقة المائية Hydraulic energy في التوربينات المائية أو طاقة الرياح Wind energy.

٢-٣-١ التحويل الكهروكيميائي للطاقة

Electrochemical Energy Conversion

وهي التحويلات التي تتم أثناء التفاعلات الكيميائية ومن أمثلة ذلك البطاريات Electric batteries وخلايا الوقود Fuel cells .

٣-٣-١ التحويل الكهروضوئي للطاقة

Photovoltaic Energy Conversion

حيث تتحول الطاقة الضوئية خلال الخلايا الكهروضوئية Photoelectric

cells مباشرة إلى طاقة كهربية.

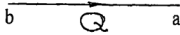
وفي النظام العالمي للوحدات SI يستخدم الجول Joule كوحدة لقياس كمية الشغل والطاقة.

Potential Difference

١-٤ فرق الجهد

يعرف فرق الجهد بين نقطتين a و b بأنه كمية الشغل بالجول اللازمة لتحريك

كولوم واحد من الشحنة الموجبة من النقطة **b** الى النقطة **a** ويطلق عليه اختصاراً كلمة الجهد أو الفلطة (voltage)



ويكتب ذلك رياضياً على الصورة

$$V_{ab} = \frac{W \text{ (Joul)}}{Q \text{ (Coulomb)}} \quad (1-5)$$

أو على الصورة التفاضلية

$$V_{ab} = \frac{dW}{dq} \quad (1-6)$$

ووحدة قياس فرق الجهد هي الفولت (v) Volt

ويكون الجهد V_{ab} موجباً أو سالباً حسب إشارة كل من الشغل المبذول والشحنة. وتكون إشارة الشغل موجبة إذا كان مبذولاً على الشحنة. فإذا كانت الشحنة موجبة كان فرق الجهد موجباً. أما إذا كانت الشحنة هي التي بذلت الشغل فيكون الشغل سالباً فإذا كانت الشحنة موجبة كان فرق الجهد سالباً.

Example (1-8)

What is the potential difference V_{ab} if a 2 C negative charge does 100 J of work in moving from point b to point a.

الحل

$$v = \frac{W}{Q}$$

$$= \frac{-100 \text{ J}}{-2 \text{ C}} = 50 \text{ V}$$

أي أن جهد النقطة **a** أعلى من جهد النقطة **b** بمقدار 50 V

٥-١ القدرة

Power

القدرة هي المعدل الزمني لبذل الشغل . فإذا كانت شحنة مقدارها dq قد اكتسبت طاقة مقدارها dW فإن جهد الشحنة يرتفع بمقدار $\frac{dW}{dq}$. فإذا ضربنا هذه الكمية في مقدار التيار $\frac{dq}{dt}$ وكذلك فإن حاصل الضرب يكون

$$\frac{dW}{dq} * \frac{dq}{dt} = \frac{dW}{dt} = P$$

حيث P هي القدرة الكهربائية . ووحدة القياس المستخدمة لها هي الوات Watt .
معنى ذلك أن القدرة الكهربائية المولدة أو المستهلكة في أى عنصر تقدر بحاصل ضرب

$$P = V_{(t)} I_{(t)} \quad (1-7)$$

التيار المار بالعنصر في فرق الجهد بين طرفيه . أى أن

$$W = \int_{-\infty}^t P_{(t)} dt \quad (1-8)$$

وتكون الطاقة المختزنة في العنصر عند أى لحظة زمنية t هي

$$W = \int_{-\infty}^{t_0} P_{(t)} dt + \int_{t_0}^t P_{(t)} dt \quad \text{أو}$$

$$= W_{t_0} + \int_{t_0}^t P_{(t)} dt \quad (1-9)$$

كما أن التغير في الطاقة الذى يحدث في فترة زمنية من t_1 الى t_2 هو

$$\Delta W = \int_{t_1}^{t_2} P_{(t)} dt \quad (1-10)$$

Example (1-9)

A battery is delivering power to an automobile starter, when the current is $= 10 e^{-t}$ A and the voltage is $V_t = 12 e^{-t}$ V. Find the power supplied by the source and the energy delivered to the starter .

$$P_{(t)} = V_{(t)} I_{(t)} = 120 e^{-2t} \text{ watt.} \quad \text{الحل}$$

$$W = \int_0^{\infty} 120 e^{-2t} dt = 60 \text{ Joule.}$$

الاتجاهات المرجعية Reference Directions

تعرضنا في الأجزاء السابقة لتعريف المتغيرات الأساسية التي سوف نتعامل معها في دراستنا للدوائر الكهربائية . وفي الغالب فإن ما نحتاج أن نعرفه ليس فقط مقدار المتغير ولكن أيضا اتجاهه أو القطبية الخاصة به . وهذا يتطلب فرض مقدار المتغير وكذلك الاتجاه المرجعى Reference direction أو القطبية المرجعية Reference polarity له.

١-٦-١ القطبية المرجعية للشحنة Reference polarity for charge

إذا اعتبرنا موصلين منفصلين عن بعضهما وبينهما مادة عازلة فإنه يمكن افتراض قطبية مرجعية للشحنة باعتبار أحد الموصلين موجب الشحنة والآخر سالب الشحنة . وهذا الفرض لا يؤثر على حقيقة الوضع للموصلين من حيث وجود أو غياب الشحنات .

ولكنه فقط وسيلة لتحديد كمية ونوعية الشحنة $q(t)$ الموجودة على كل موصل .
فإذا اتفق الوضع الحقيقى مع الوضع المفترض
كانت $q(t)$ موجبة كما في شكل (١-٦-١)

$$\ominus - q(t) + \oplus$$

(١)

وإذا كان الوضع الحقيقى مخالفا للاتجاه المرجعى
المفترض كما في شكل (١-٦-٢) تكون
 $q(t)$ سالبة.

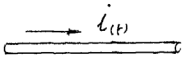
$$\oplus - q(t) + \ominus$$

(٢)

شكل (١-٦)

٢-٦-١ الاتجاه المرجعى للتيار Reference Direction For current

عند مرور تيار في موصل فإن المتغير $i(t)$ يكون ممثلا لقيمة التيار المار .
ولتحديد اتجاه مرور التيار يلزم أن نفرض اتجاهها مرجعيا نشير اليه بسهم كما في شكل (١-٧) .



وعند تحليل الدائرة التي تحتوى على الموصل

إذا تبين أن الاتجاه الحقيقى للتيار المار في الموصل

Fig. (1-7)

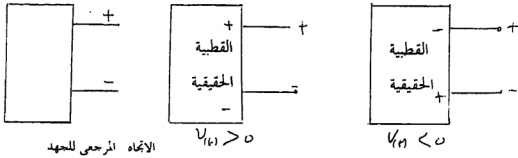
مطابق للاتجاه المرجعى المفترض يكون التيار موجبا

أيضا عند أى لحظة زمنية أخرى اذا كان اتجاه سريان التيار الحقيقي معاكسا للاتجاه المفترض فان اتجاه v_{E1} يكون سالبا.

٣-٦-١ القطبية المرجعية لفرق الجهد

Reference Polarity For Potential Difference

اذا نظرنا الى أى نقطتين فى دائرة كهربية , فاننا نعرف المتغير بأنه فرق الجهد بين النقطتين . وذلك بفرض احدهما موجبة والاخرى سالبة. وبعد تحليل الدائرة اذا اتفق فرق الجهد الحقيقى بين النقطتين مع القطبية المفترضة كان فرق الجهد موجبا واذا اختلفت القطبية كان سالبا كما هو موضح فى شكل (٨-١)



شكل (٨-١)

٤-٦-١ الاتجاهات المرجعية للعناصر ذات الطرفين

كثير من العناصر التى تتكون منها الدوائر الكهربية تكون ذات طرفين Two terminal devices . ومن أمثلة تلك العناصر المقاومات Resistors والمحاثات Inductors والمكثفات Capacitors والبطاريات Batteries والمولدات Genarators والثنائيات Diodes..... الخ. وعادة ما تكون هناك علاقة بين التيار المار بالعنصر وفرق الجهد بين طرفيه . وتحدد هذه العلاقة حسب طبيعة كل عنصر. وفى مثل هذه العناصر يجب مراعاة أن تكون الاتجاهات المرجعية للجهد والتيار بحيث تحقق العلاقة بينهما. فمثلا فى حالة المقاومة الموضحة فى شكل (٩-١) تكون العلاقة

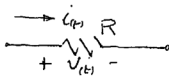


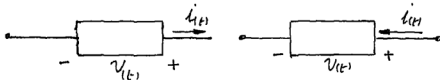
FIG. (1-9)

بين الجهد والتيار على الصورة

وعد فرض القطبية المرجعية للجهد جعلت الاشارة الموجبة عند طرف دخول التيار. وهذا الوضع هو ما يكون عليه الواقع في المقاومات.

١-٦-٥ الاشارة المرجعية للقدرة

حيث أن القدرة دالة في متغيرين هما الجهد والتيار فانه من الواجب أن نحدد الاتجاه المرجعي لكل من الجهد والتيار عند تحديد اشارة القدرة. وفي كل عنصر تتحدد اشارة التيار باتجاه السهم وتتحدد اشارة الجهد بالعلامتين + و - كما في شكل (١-١٠)



عنصر مولد للطاقة

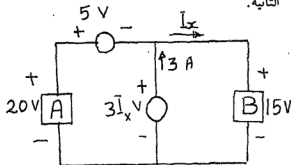
عنصر مستهلك للطاقة

شكل (١-١٠)

ويعتبر العنصر مولدا للطاقة اذا كان التيار خارجا من الطرف الموجب كما في الشكل ١. كما يعتبر العنصر مستهلكا للطاقة اذا كان التيار داخلا للطرف الموجب كما في الشكل (ب). وفي احوال الأولى تكون القدرة سالبة بينما تكون موجبة في الحالة الثانية.

Example (1-10)

Determine the power absorbed or supplied by each element of the circuit shown



الحل

العنصر A

قيمة التيار $A \ 2$ مغادرا العنصر عند الطرف الموجب لفرق الجهد وهذا يعنى أن العنصر يمتص قدرة سالبة أى يعطى قدرة مقدارها

$$p = 20 * 2 = 40 \text{ W}$$

العنصر B

قيمة التيار $A \ 5 = I_{xy}$ داخلا العنصر عند الطرف الموجب لفرق الجهد و قيمة فرق الجهد $V \ 15 = 3I_{xy}$ وهذا يعنى أن العنصر يمتص قدرة مقدارها

$$p = 15 * 5 = 75 \text{ W}$$

مصدر الجهد $V \ 5$ به تيار $A \ 2$ داخلا من الطرف الموجب وهذا يعنى أن

$$p = 5 * 2 = 10 \text{ watt}$$

العنصر يمتص قدرة مقدارها $A \ 3$ داخلا من الطرف

$$p = 15 * 3 = 45 \text{ watt}$$

السالب وهذا يعنى أن العنصر يعطى قدرة مقدارها $A \ 3$ داخلا من الطرف
ويجب هنا أن نلاحظ أن مجموع القدرة التى تعطيها العناصر المولدة يكون مساويا لمجموع
القدرة التى تأخذها العناصر المستهلكة

Electric Circuit

٧-١ الدائرة الكهربائية

تعرف الدائرة الكهربائية بأنها اتصال مجموعة أو أكثر من العناصر والمصادر
Sources وتصنف الدوائر حسب العناصر المكونة لها. ويمكن تصنيف العناصر المكونة
للدوائر الكهربائية كالآتى.

١-٧-١ عناصر خطية وعناصر لخطية

Linear And Nonlinear Elements

العنصر الخطى هو الذى يحكم العلاقة بين التيار والجهد على طرفيه معادلة تفاضلية
خطية. بمعنى أنه اذا كان التيار i هو دالة الدخول للعنصر والجهد v هو استجابة
العنصر لمرور التيار فاذا كان العنصر خطيا فان تيارا قيمته i_1 يعطى جهدا قيمته v_1

وكذلك فان تيارا قيمته i_2 يعطى جهدا قيمته v_2 فاذا مر تيار $i = i_1 + i_2$

فان الجهد الناتج هو $v = v_1 + v_2$

أما اذا لم يتحقق الشرط السابق فاننا نقول أن العنصر لاخطي Nonlinear.

Example (1-11)

An element has a v-i relation $V = \frac{di}{dt}$ Is the element linear or nonlinear

الحل

عند مرور تيار i_1 يكون الجهد $v_1 = \frac{di_1}{dt}$

وعند مرور تيار i_2 يكون الجهد $v_2 = \frac{di_2}{dt}$

فاذا مر تيار $i = i_1 + i_2$ فان الجهد الناتج يكون

$$\begin{aligned} v &= \frac{d}{dt} (i_1 + i_2) \\ &= \frac{di_1}{dt} + \frac{di_2}{dt} = v_1 + v_2 \end{aligned}$$

ومن ذلك نرى أن العنصر يكون خطيا.

Example (1-12)

An element has a v-i relation $v = i^2$ Is the element linear or nonlinear ?

الحل

عند مرور تيار i_1 يكون الجهد $v_1 = i_1^2$

و عند مرور تيار i_2 يكون الجهد $v_2 = i_2^2$

فاذا مر تيار $i = i_1 + i_2$ فان الجهد الناتج

$$\begin{aligned} v &= (i_1 + i_2)^2 \\ &\neq i_1^2 + i_2^2 \end{aligned}$$

ومن ذلك نرى أن العنصر يكون لا خطيا.

و يمكن القول أنه لا وجود للعناصر الخطية في الحياة العملية. الا أنه يمكن تمثيل

العناصر بنماذج خطية في مدى معين للمتغيرات. و هذه النماذج تسمح باستخدام طرق

التحليل الخطية لأغلب العناصر . و هذا ما سوف نتبعه في هذه الدراسة حيث أننا سوف نعتبر أن جميع العناصر خطية ما لم يكن هناك نص على خلاف ذلك..

١-٧-٢ العناصر المتغيرة والعناصر الثابتة مع الزمن.

Time Varing And Time Invarying Elements

إذا كانت قيمة العنصر غير مستقرة فهو عنصر متغير مع الزمن Time varying. ولا توجد في الحياة العملية عناصر ثابتة لا تتأثر بمرور الزمن. إلا أنه في حالة التغير البطيء يمكن اعتبار العنصر ثابت القيمة خلال الفترة الزمنية المعنية بالتحليل.

١-٧-٣ العناصر الفعالة و العناصر الخاملة

Active And Passive Elements

يتم تصنيف العناصر في الدوائر الكهربائية الى عناصر فعالة وعناصر خاملة على أساس الطاقة الداخلة للعنصر. فإذا كانت الطاقة الداخلة موجبة أو مساوية للصفر يصنف العنصر على أنه خامل Passive .

وفي حالة الطاقة الموجبة يكون العنصر مستهلكاً للطاقة Lossy أما عندما تكون الطاقة مساوية للصفر فإن العنصر يكون غير مستهلك للطاقة Lossless أو خازناً لها Storage element لحين استرجاعها منه.

أما إذا كانت الطاقة الكلية الداخلة للعنصر سالبة فإن العنصر يكون فعالاً Active أو مولداً للطاقة Generating Element.

١-٧-٤ العناصر المجمعة والعناصر الموزعة

Lumped And Distributed Elements

لا شك أن سريان التيار في العناصر يستغرق بعض الوقت. وعلى ذلك فلا بد من أخذ أبعاد العناصر في الاعتبار عند تحليل الدوائر الكهربائية. وإذا كانت أبعاد عناصر الدائرة

أصغر بكثير من طول موجة التيار المار يمكن إهمال أبعاد العناصر واعتبارها عناصر مجمعة
Lumped elements

فإذا كان خلاف ذلك تعامل الدائرة على أنها موزعة Distributed circuit
وفي هذه الدراسة سوف يكون اهتمامنا موجها إلى دراسة الدوائر ذات العناصر
الخطية المجمعة والثابتة مع الزمن

Linear , Lumped , and Time invariant

٨-١ تمارين

1-1 A wire carries a constant current of 10 mA . How many coulombs and how many electrons pass a cross section of the wire in 20 seconds

1-2 Find an expression of the total charge q Which has passed a point in a conductor if the current is given by $i(t) = 4e^{-4t}$ for $t > 0$

1-3 The charge entering the terminals of a device is given by
 $q(t) = 2 + k_1 t + k_2 t^2$. If $i_0 = 4$ A and $i(3) = -4$
A Find k_1 and k_2 .

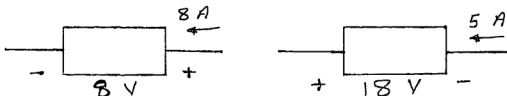
1-4 The current in a wire is given by $i(t) = 2 \sin 2t$ for $t > 0$
and $i(t) = 0$ for $t < 0$ (a) find the total charge passing a
cross section of the wire between $t=0$ and $t=0.5$ sec. (b) if
the same current enters the positive terminal of an element
whose voltage is given by $v(t) = \int_0^t i' d\tau$ find an expression
for the power delivered to the element

1-5 The current flowing in an element is given by

$$i(t) = \begin{cases} 2 - \frac{t}{2} & A & 0 < t < 1 \\ 2 & A & -3 < t < 0 \\ \frac{1}{2} & A & \text{otherwise} \end{cases}$$

Sketch the variation of the current $i(t)$ versus time and determine the charge entering the element in the time period from $t=0$ to $t=4$ sec.

1-6 Calculate the power delivered or supplied by each element



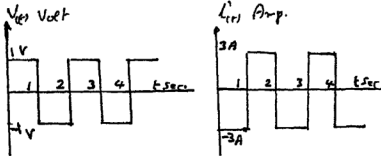
1-7 A voltage $v(t) = 10 \sin t$ V and a current $i(t) = \sin t$ A are variables of a two terminal element. (a) Find an expression for the power dissipated in the element. (b) Find the total energy supplied to the element over the time range $0 < t < 0.2$ sec. (c) Sketch the variation of voltage, current, power, and energy with time (d) Repeat (a), (b) and (c) for the case where the current is $i(t) = 5 \cos t$ A.

1-8 A small alkaline battery has a stored energy of 150 joules. For how many days will it power a calculator that draws 2 mA. The emf of the battery is 1.5 volts.

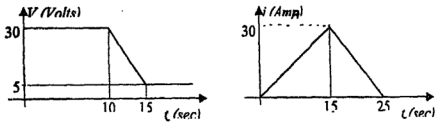
1-9 A cassette player uses 4 AA batteries in series to provide 6 V_{DC} to the player circuit. Each cell stores 50 watt-seconds of energy. If the cassette player is drawing a constant current of 10 mA from the batteries. How long will the cassette operate?

1-10 An element has a current $i(t) = 50 e^{-50t}$ mA entering the positive terminal of an element with a voltage $v(t) = 10 - 20 e^{-50t}$ V for $t > 0$. How much power is absorbed by the element at $t = 10$ ms. And how much energy is absorbed in the time interval $0 < t < \infty$.

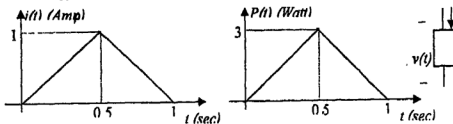
1-11 Wave shapes of the voltage and current defined as shown in fig. are measured at the terminals of an element. Draw the wave shapes for the power $P(t)$ and energy $W(t)$.



1-12 The current through and the voltage across an element vary with time as shown. Sketch the variation of the power supplied to the element for $t > 0$. What is the total energy delivered to the element between $t = 0$ and $t = 25$ sec.



1-13 The power and current in an element vary with time as shown. Determine the voltage and energy variation with time.



الفصل الثاني

عناصر الدوائر الكهربائية

ELECTRIC CIRCUIT ELEMENTS

لدراسة خصائص وتصرفات النظم الكهربائية يلزم أولاً تمثيلها بدوائر يمكن رسمها على الورق . هذه الدوائر تتكون من عناصر حيث يرمز إلى كل عنصر برمز خاص به بالإضافة إلى نموذج رياضي يعبر عن العلاقة بين التيار والجهد على أطراف العنصر عنئند جميع اللحظات الزمنية . وفيما يلي سوف نستعرض العناصر المختلفة التي تتكون منها الدوائر الكهربائية

PASSIVE ELEMENTS

٢-١ العناصر الحاملة

عندما تتصل دائرة كهربائية بمصدر للطاقة، فإن الطاقة المولدة من المصدر إما أن تستهلك أو تخزن في عناصر الدائرة . واستهلاك الطاقة يعني تحويلها إلى صورة أخرى (حرارة) ، وهذا يحدث مع عنصر المقاومة . RESISTANCE أما تخزين الطاقة، فإنه يتم إما في المجال الكهربائي ELECTRIC FIELD وهذا يؤدي إلى مفهوم السعة CAPACITANCE أو في المجال المغناطيسي MAGNETIC FIELD وهذا يؤدي إلى مفهوم المحاثة . INDUCTANCE

٢-١-١ عنصر المقاومة THE RESISTANCE ELEMENT

عند مرور الإلكترونات (حاملات التيار) في الموصلات تحدث تصادمات بينها وبين المكونات الأخرى للذرة . وتؤدي هذه التصادمات إلى فقد في الطاقة التي تحملها الإلكترونات . ويرجع هذا الفقد لكل كولوم من شحنة الإلكترونات إلى هبوط في الجهد عبر الموصل . VOLTAGE DROP

وقد اكتشف جورج سيمون أوم (GEORG S. OHM 1787 - 1854) عن طريق التجارب العملية وجود علاقة تناسب بين شدة التيار I المار في الموصلات المعدنية وفرق الجهد بين طرفيها V . ويمكن التعبير عن ذلك بالعلاقة الرياضية

$$V = I R \quad (2-1)$$

حيث R هي ثابت التناسب وتعرف بمقاومة العنصر وتقاس بوحدة الأوم (Ω) . وتعتمد مقاومة العنصر على أبعاده وعلى نوع المادة المصنوع منها . حيث

$$R = \frac{\rho L}{A} \quad (2-2)$$

حيث

ρ . هي المقاومة النوعية للمادة RESISTIVITY و L هو طول الموصل و A هي مساحة مقطعه.

وتعرف العلاقة (2-1) بقانون أوم OHM'S LAW ويكتب أيضا على

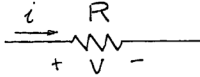
الصورة

$$I = G V \quad (2-3)$$

حيث

G هي مقلوب R وتعرف بالتوصيلية CONDUCTANCE وتقاس بوحدة

السيمنر . SEIMENS (S)



وعند رسم الدوائر الكهربائية ترسم

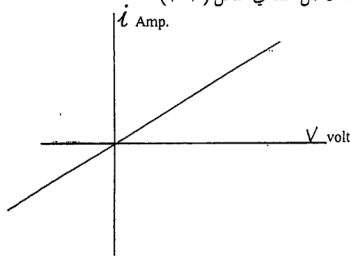
المقاومة كما في شكل (١-٢)

شكل (١-٢)

ويمكن توضيح خصائص المقاومة ببيانها برسم العلاقة بين التيار المار في المقاومة

و فرق الجهد بين طرفيها . وتتميز المقاومة الخطية بأن هذه العلاقة تكون على صورة خط

مستقيم يمر بنقطة الأصل كما في شكل (٢-٢)



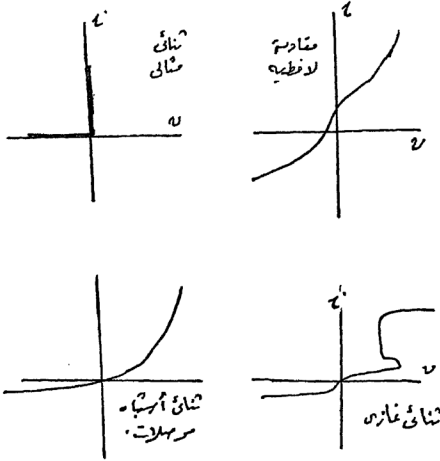
شكل (٢-٢)

والمقاومة الخطية ليس لها وجود فعلي في الواقع العملي حيث تكون المقاومات لا

خطية. فمثلا في حالة مرور تيارات ذات قيم عالية تتغير قيمة المقاومة بصورة ملحوظة عن

قيمتها عند مرور التيارات ذات القيم المنخفضة فتأخذ العلاقة بين الجهد والتيار صورة

غير خطية وقد لا تمر بنقطة الأصل . وشكل (٣-٢) يبين أمثلة لبعض أنواع المقاومات
اللاحظية



شكل (٣-٢)

بالإضافة إلى اللاخطية NONLINEARITY قد تكون المقاومة ذات قيمة متغيرة
مع الزمن TIME VARYING يرمز للمقاومة في هذه الحالة بالرمز $R(t)$ وبصفة عامة
فعندما نتكلم عن المقاومات كعناصر في الدوائر الكهربائية فإننا نعني المقاومة الخطية الثابتة
القيمة مع الزمن والجمعة في نقطة واحدة أي ليس لها أبعاد

LINEAR - TIME INVARIANT AND LUMPED

ما لم يكن هناك نص على خلاف ذلك.

والمقاومات عناصر مبددة للطاقة DISSIPATIVE وتحدد القدرة المفقودة في المقاومة عند أي لحظة زمنية من العلاقة

$$P(t) = V(t) i(t) \quad (2-6)$$

وحيث أن $V(t) = i(t) R$ حسب قانون أوم فإن القدرة المفقودة يمكن

$$P(t) = [i(t)]^2 R \quad \text{كتابتها على إحدى الصور} \quad (2-7)$$

$$P(t) = [V(t)]^2 / R \quad \text{أو} \quad (2-8)$$

وتتراوح قيم المقاومات المستخدمة في الدوائر بين عدد قليل من وحدة الأوم وبين عدة ملايين من وحدات الأوم (MΩ) وعند استخدام المقاومات في الدوائر العملية لا نكتفي بذكر القيمة فقط ولكن يلزم أيضا معرفة أقصى قدرة يمكن استهلاكها في هذه المقاومة حتى لا ترتفع درجة حرارتها إلى الحد الذي يؤدي إلى تغير خواصها أو احتراقها. وتتغير قيمة المقاومة تبعاً لتغير درجة حرارتها ويمكن التعبير عن التغير بالعلاقة

$$R = R_0 (1 + \alpha t) \quad (2-9)$$

حيث R_0 هي القيمة الابتدائية للمقاومة ، t هي الارتفاع في درجة الحرارة عن القيمة الابتدائية، α هي المعامل الحراري للمقاومة TEMPERATURE COEFFICIENT وتعتمد قيمة α على درجة الحرارة الابتدائية وقد تكون موجبة أو سالبة حسب نوع المادة المصنوع منها المقاومة ، فهي موجبة للمقاومات المعدنية وسالبة في المقاومات الكربونية أو المصنوعة من مواد شبه موصلة.

حيث نجد أن فرق الجهد بين طرفيه

$$V = V_1 = V_2$$

$$i = i_1 + i_2$$

وأن التيار المار به

$$I = (G_1 + G_2) V \quad \text{حيث أن } I = V G \text{ من قانون أوم} \quad \text{فإننا نجد}$$

أي أن العنصر المكافئ له مواصلة

$$G = G_1 + G_2$$

(2-11)

وبصفة عامة فإنه عند توصيل عدد N من المقاومات على التوازي بين نقطتين فإن

المواصلة المكافئة تكون

$$G_{eq} = G_1 + G_2 + G_3 + \dots + G_N \quad (2-12)$$

وبدلالة المقاومة R فإن

$$\frac{1}{R_{eq}} = \frac{1}{R_1} + \frac{1}{R_2} + \dots + \frac{1}{R_N} \quad (2-13)$$

وفي حالة اتصال مقاومتين فقط على التوازي فإن المقاومة المكافئة

$$\frac{1}{R_{eq}} = \frac{1}{R_1} + \frac{1}{R_2}$$

$$R = \frac{R_1 R_2}{R_1 + R_2}$$

أو

(2-14)

Example (2-1)

In the Circuit of

Fig.(2-6)

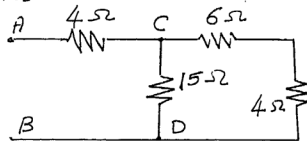


Fig.(2-6)

$$R_{eq\ CD} = \frac{15(4+6)}{15+(4+6)} = 6 \Omega \quad \text{المقاومة المكافئة بين الطرفين CD}$$

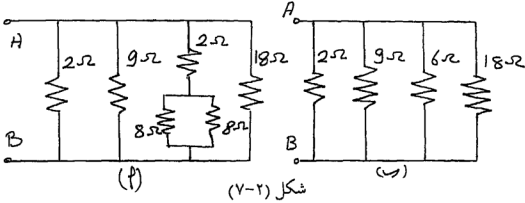
و المقاومة المكافئة بين الطرفين B, A

$$R_{eq\ AB} = 4 + 6 = 10 \Omega$$

Example (2-2)

إذا نظرنا إلى الدائرة المبينة في شكل (٧ - ٢) نجد أنه يمكن تبسيطها إلى الدائرة

المبينة في شكل (٧ = ٢ ب)



شكل (٧-٢)

ثم نحصل على المقاومة المكافئة بين الطرفين A , B

$$\frac{1}{R_{eqAB}} = \frac{1}{2} + \frac{1}{9} + \frac{1}{6} + \frac{1}{18}$$

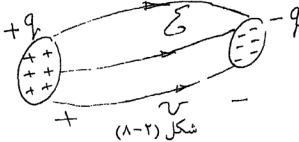
وضوحاً

$$R_{eqAB} = 1.5 \Omega .$$

٢-١-٢ المكثفات والسعة

CAPACITORS AND CAPACITANCE

عندما يوجد موصلان يفصل بينهما مادة عازلة فإنه يمكن تخزين الشحنات الكهربائية على سطحي الموصلين وينشأ بينهما مجال كهربائي ، ويطلق على هذا الترتيب اسم المكثف CAPACITOR والخاصية الأساسية للمكثف هي قابليته لتخزين الشحنات الكهربائية حيث تكون الشحنة موجبة على أحد الموصلين وسالبة لها نفس المقدار على



سطح الموصل الآخر

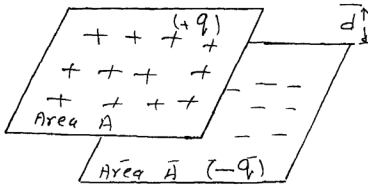
كما في شكل (١ - ٢)

وحيث أن المسافة الفاصلة بين الموصلين تحتوي مادة عازلة فلا يوجد فرصة لالتحاد الشحنتين عن طريق ممر داخلي بينهما ونظل كل منهما مختزنة بكامل قيمتها. وتناسب قيمة الشحنة Q مع فرق الجهد بين الموصلين V ويمكن التعبير عن هذه

العلاقة رياضيا بالمعادلة

$$q = C V \quad (2-15)$$

حيث C مقدار ثابت يعرف بسعة المكثف CAPACITANCE والسعة خاصية للمكثف تعتمد قيمتها على شكل الموصلات ومساحة سطحها ونوع المادة العازلة الموجودة بينها وكذلك المسافة الفاصلة بين الموصلين . فمثلا في حالة مكثف الألواح المتوازية PARALLEL PLATE CAPACITOR المبين في شكل (٢-٩)



شكل (٢-٩)

تكون السعة

$$C = \frac{\epsilon A}{d} \quad (2-16)$$

حيث ϵ ثابت العزل DIELECTRIC CONSTANT للمادة العازلة بين الألواح ، A هي مساحة كل لوح ، d هي المسافة الفاصلة بين اللوحين . والوحدة المستخدمة لقياس

السعة هي الفاراد FARAD ويرمز له عادة بالرمز F

والفاراد قيمة كبيرة جدا ولذلك تقاس سعة المكثفات عمليا بكسور الفاراد مثل

الميكرو فاراد (μF) وهو يساوي $10^{-6} F$ والنانو فاراد (nF) وهو يساوي

$10^{-9} F$ والبيكو فاراد (pF) وهو يساوي $10^{-12} F$

Example (2-3)

إذا أردنا الحصول على مكثف سعته فارد واحد باستخدام لوحين متوازيين في الهواء وبينهما مسافة اسم فإنه طبقاً للعلاقة (٢-١٦) نحتاج إلى مساحة

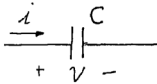
$$A = \frac{1 * (1 * 10^{-2})}{1.0006 * 8.85 * 10^{-12}}$$

$$= 1.13 * 10^9 \text{ m}^2.$$

فاذا استخدمنا مادة عازلة لها ثابت عزل أكبر من الهواء (سيراميك مثلاً له

$$A = 151 * 10^3 \text{ m}^2. \quad (\epsilon_r = 7500 \text{ فإن المساحة المطلوبة تصبح})$$

وتظهر المكثفات في الدوائر إما ثابتة السعة أو متغيرة السعة ويرمز للمكثف في



شكل (٢-١٠)

الدوائر كم. في شكل (٢-١٠).

وحيث أن العلاقة بين

الشحنة q وفرق الجهد بين

طرفي المكثف V هي العلاقة

$$q = CV$$

فإن التيار المار في المكثف

$$i = \frac{dq}{dt} = \frac{dCV}{dt}$$

$$= C \frac{dV}{dt} + V \frac{dC}{dt} \quad (2-17)$$

وعندما تكون C ثابتة القيمة وهو الوضع المألوف في الدوائر فإن

$$i = C \frac{dV}{dt} \quad (2-18)$$

كما أن فرق الجهد بين طرفي المكثف

$$V = \frac{1}{C} \int_{-\infty}^t i' dt \quad (2-19)$$

$$V = \frac{1}{C} \left(\int_{-\infty}^0 i' dt + \int_0^t i' dt \right)$$

$$= \frac{q_0}{C} + \frac{1}{C} \int_0^t i' dt \quad (2-20)$$

حيث q_0 هي قيمة الشحنة الابتدائية على المكثف عند $t=0$
أيضا فإن شحنة المكثف $q(t)$ عند أي زمن t تكون

$$q(t) = q_0 + \int_0^t i \, dt \quad (2-21)$$

Example (2-4)

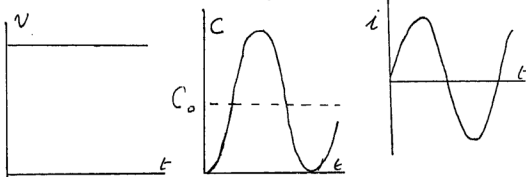
إذا وصل مكثف متغير السعة بين طرفي بطارية ذات جهد ثابت مقداره V وكانت السعة

تتغير مع الزمن طبقا للعلاقة $C = C_0 (1 - \cos \omega_0 t)$

$$i = \frac{d}{dt} C V \quad \text{فان التيار}$$

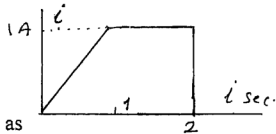
$$= V \frac{dC}{dt} = \omega_0 C_0 V \sin \omega_0 t$$

ويكون تغير كل من الجهد والسعة والتيار مع الزمن كما بالشكل



شكل (١١-٢)

Example (2-5) Find the voltage V of a capacitor $C = \frac{1}{2} F$ when the current in fig. is flowing in it.



The current can be expressed as

$$\begin{aligned} i &= 0 & t &\leq 0 \\ i &= t & 0 < t &\leq 1 \\ i &= 1 & 1 < t &\leq 2 \\ i &= 0 & t &> 2 \end{aligned}$$

٣٤

From eqn. (2-19) $v = \frac{1}{C} \int_{-\infty}^t i \, dt$ then

$$v = 0 \quad t < 0$$

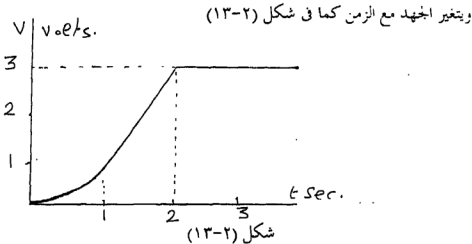
$$v = \frac{1}{2} \int_0^t \tau \, d\tau \quad 0 < t \leq 1$$

$$= \frac{1}{2} \frac{t^2}{2}$$

$$v = v_1 + \frac{1}{2} \int_1^t 1 \, d\tau$$

$$= 1 + 2(t-1) = 2t-1 \quad 1 < t \leq 2$$

$$v_{(2)} = 3 \quad v \quad t > 2$$



الطاقة المخزنة في المكثف

ENERGY STORED IN A CAPACITOR

المكثفات عناصر خازنة للطاقة وهذه الطاقة لازمة لفصل لوحى المكثف اللذين

يحملان شحنتين مختلفتين وتحسب الطاقة المخزنة في المكثف من العلاقة

$$W = \int_{-\infty}^t v i \, dt = \int_{-\infty}^t v C \frac{dv}{dt} \, dt$$

$$= \frac{1}{2} C v^2 \quad (2-22)$$

$$q = C v$$

وباستخدام العلاقة

فإن الطاقة المخزنة في المكثف بدلالة الشحنة

$$W = \frac{1}{2C} (q)^2 \quad (2-23)$$

EXAMPLE (2-6)

Find the Energy stored in the capacitor of example (2-4) .

At $t = 1.5$ sec. , the voltage across the capacitor is 2 volts , and the stored energy is

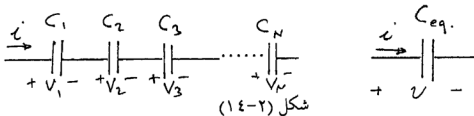
$$W = \frac{1}{2} C V^2 = \frac{1}{2} \times \frac{1}{2} (2)^2 = 1 \text{ J}$$

وإذا بقيت أطراف المكثف مفتوحة تظل الطاقة المختزنة ثابتة أما إذا وصل طرفي المكثف مع طرفي مقاومة فإننا نتوقع مرور تيار في المقاومة ويستمر مرور التيار حتى تتبدد كل الطاقة المختزنة في صورة حرارة في المقاومة . عندئذ يكون التيار قد وصل إلى قيمة الصفر ويكون الجهد عبر المكثف مساويا للصفر .

توصيل المكثفات على التوالي

SERIES CONNECTION OF CAPACITORS

عند توصيل عدد N من المكثفات على التوالي كما في شكل (٢ - ١٤) يكون التيار المار فيها جميعا هو تيار واحد I ويكون الجهد الكلي هو مجموع الجهود على كل مكثف على حده



$$\begin{aligned} i &= i_1 = i_2 = \dots = i_N \\ v &= v_1 + v_2 + \dots + v_N \\ &= \frac{1}{C_1} \int_{-\infty}^t i_1 dt + \frac{1}{C_2} \int_{-\infty}^t i_2 dt + \dots + \frac{1}{C_N} \int_{-\infty}^t i_N dt \\ &= \left(\frac{1}{C_1} + \frac{1}{C_2} + \frac{1}{C_3} + \dots + \frac{1}{C_N} \right) \int_{-\infty}^t i dt \end{aligned}$$

$$= \frac{1}{C_{eq}} \int_{-\infty}^t i \, dt$$

$$\frac{1}{C_{eq}} = \frac{1}{C_1} + \frac{1}{C_2} + \dots + \frac{1}{C_N} \quad (2-25) \quad \text{أى أن}$$

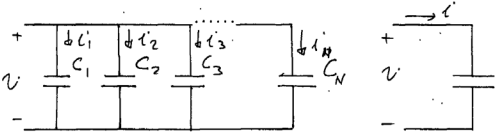
وفي حالة توصيل مكثفين فقط على التوالي فإن السعة المكافئة

$$C_{eq} = \frac{C_1 C_2}{C_1 + C_2} \quad (2-26)$$

توصيل المكثفات على التوازي

PARALLEL CONNECTION OF CAPACITORS

عند توصيل عدد N مكثف على التوازي كما في شكل (٢-١٥) فإن اخذ على كل مكثف يكون هو نفس قيمة الجهد الكلي بينما يكون التيار الكلي هو مجموع التيارات في كل مكثف على حده



شكل (٢-١٤)

$$\begin{aligned} i &= i_1 + i_2 + \dots + i_N \\ &= C_1 \frac{dV_1}{dt} + C_2 \frac{dV_2}{dt} + \dots + C_N \frac{dV_N}{dt} \\ &= [C_1 + C_2 + C_3 + \dots + C_N] \frac{dV}{dt} \\ &= C_{eq} \frac{dV}{dt} \end{aligned} \quad (2-27)$$

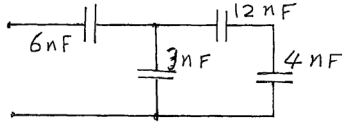
حيث

$$C_{eq} = C_1 + C_2 + C_3 + \dots + C_N \quad (2-28)$$

أي أن السعة المكافئة لمجموعة من المكثفات المتصلة على التوازي تساوي مجموع السعات لكل مكثف على حده

Example 2-7

بمجموعة المكثفات المتصلة في شكل (١٦-٢) يمكن اختصارها إلى مكثف واحد مكافئ.



شكل (١٦-٢)

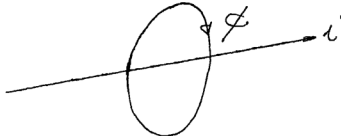
$$C_{eq} = 4 \text{ nF}$$

حيث تكون السعة المكافئة

INDUCTORS AND INDUCTANCE

٣-١-٢ ملفات الحث والمحاثة

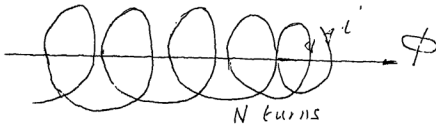
عند مرور تيار كهربي في موصل ينشأ مجال مغناطيسي له فيضي (FLUX) قيمته وبر (WEBER) ويلتف المجال حول التيار ويعتمد اتجاهه على اتجاه مرور التيار كما في شكل (١٧-٢).



شكل (١٧-٢)

فإذا كان الموصل على هيئة ملف ملف عدد لفاته N فإن إلتفاف المجال حول التيار

FLUX LINKAGE



$$\psi = N\Phi \quad \text{WB. TURN} \quad \text{شكل (٢-١٨)}$$

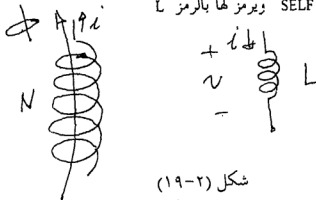
فإذا كان التيار متغيرا كان المجال متغيرا . وطبقا لقانون فاراداي (FARADAY'S LAW) فإن المجال المتغير يولد في الملف قوة دافعة كهربية مستحثة

$$v = -\frac{d\psi}{dt} = -N \frac{d\Phi}{dt} \quad \text{volt} \quad (2-27)$$

وفي النظم الخطية تتناسب ψ مع التيار المنشئ لها ويعرف ثابت التناسب بمعامل الحث أو المحاثية INDUCTANCE

إذا كان التيار i و ψ ينتميان لنفس المنظومة أو بمعنى آخر إذا كانت ψ ناشئة عن نفس التيار i عرف معامل الحث بأنه ذاتي COEFFICIENT OF SELF INDUCTANCE أو بتعبير مبسط ، المحاثية الذاتية

SELF INDUCTANCE ويرمز لها بالرمز L



شكل (٢-١٩)

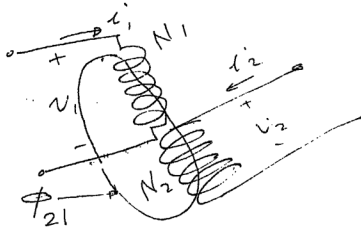
وتكون العلاقة بين الفيض Φ والتيار i

$$\psi = N\Phi = Li \quad (2-28)$$

كما تكون العلاقة بين الجهد v والتيار i

$$\begin{aligned}
 v &= \frac{d\phi}{dt} \\
 &= N \frac{d\phi}{dt} = L \frac{di}{dt}
 \end{aligned}
 \quad (2-29)$$

أما إذا كان التيار i_1 لا ينتمي لنفس المنظومة أي إذا كان التيار i_1 ينتج عنه إلتفافا للفيض ψ_2 في دائرة أخرى غير التي يمر بها i_1 كما في شكل (٢-٢٠)



شكل (٢-٢٠)

فإن معامل الحث يعرف بأنه متبادل COEFFICIENT OF MUTUAL INDUCTION أو الحث المتبادل MUTUAL INDUCTION ويرمز له عادة بالرمز M

وتكون العلاقة بين التيار i_1 والفيض ϕ_{21} هي

$$\begin{aligned}
 \psi_{21} &= N_2 \phi_{21} \\
 &= M_{21} i_1
 \end{aligned}
 \quad (2-30)$$

وتكون القوة الدافعة المستحثة في الدائرة (٢) نتيجة لمرور التيار في الدائرة (١)

$$\begin{aligned}
 v_2 &= \frac{d\psi_{21}}{dt} \\
 &= M_{21} \frac{di_1}{dt}
 \end{aligned}
 \quad (2-30)$$

وبنفس الصيرفة فإن التيار i_2 يولد جهداً مستحثاً في الدائرة (١)

$$v_1 = M_{12} \frac{di_2}{dt}$$

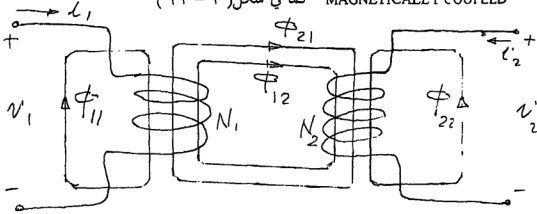
وفي العادة فإن

$$M_{12} = M_{21} = M$$

وتعرف M بنحث المتبادل MUTUAL INDUCTANCE ,

والوحدة التي يقاس بها معامل الحث هي الهنري (H) سواء كان الحث الذاتي L أو الحث المتبادل M وتستخدم المللي هنري (mH) والميكرو هنري (μH) كوححدات عملية وبصفة عامة إذا كانت هناك دائرتين مترابطتين عن طريق المجال المغناطيسي

MAGNETICALLY COUPLED كما في شكل (٢ - ٢١)



شكل (٢-٢١)

فانه يمكن أن نتصور أن الفيض الملتف حول تيار الدائرة الأولى يتكون من مركبتين ϕ_{11} نتيجة للتيار i_1 ، ϕ_{12} نتيجة لمرور التيار i_2 وكذلك الفيض الملتف حول الدائرة الثانية يتكون من مركبتين ϕ_{21} الناتجة عن التيار i_1 ، ϕ_{22} الناتجة عن التيار i_2 أي أن المجالات (FLUX)

$$\phi_1 = \phi_{11} + \phi_{12}$$

$$\phi_2 = \phi_{21} + \phi_{22}$$

ويكون إلندف نفیض FLUX LINKAGE

$$\psi_1 = N_1 \phi_{11} + N_1 \phi_{12} = L_1 i_1 + M_{12} i_2$$

$$\psi_2 = N_2 \phi_{21} + N_2 \phi_{22} = M_{21} i_1 + L_2 i_2$$

$$v_1 = \frac{d\psi_1}{dt} = L_1 \frac{di_1}{dt} + M_{12} \frac{di_2}{dt}$$

$$v_2 = \frac{d\psi_2}{dt} = M_{21} \frac{di_1}{dt} + L_2 \frac{di_2}{dt}.$$

وفي العادة فإن مسار الفيض Φ_2 هو نفسه مسار Φ_{12} وهذا يؤدي إلى أن
 $M_{12} = M_{21} = M$

كما سبق نجد أنه للدوائر المترابطة مغناطيسيا

$$v_1 = L_1 \frac{di_1}{dt} + M \frac{di_2}{dt}.$$

$$v_2 = M \frac{di_1}{dt} + L_2 \frac{di_2}{dt}.$$
(2-33)

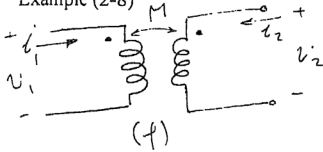
أيضا مركبات الفيض Φ_{21} و Φ_{12} من الممكن أن يكونا في اتجاه مماثل أو في اتجاه مضاد للمركبتين Φ_{22} و Φ_{11} وهذا يؤدي إلى أن تكون إشارة M موجبة أو سالبة. وهذا يعتمد على اتجاه سريان التيارات i_1 و i_2 وكذلك اتجاه لف كل من الملفين N_1 و N_2 بالنسبة لبعضهما.

وفي نظرية الدوائر الكهربائية نوضع نقطة اصطلاحية عند طرف كل ملف

(DOT CONVENTION) لتحديد الإتجاهات النسبية لمرور التيار.

فإذا كان التياران i_1, i_2 يسريان في اتجاه واحد بالنسبة للنقطة (كلاهما داخلان أو كلاهما خارجان) تكون إشارة M موجبة . وهذا يعني أن مركبة الجهد المستحث الناتجة عن التيار i_1 في نفس اتجاه مركبة الجهد المستحث الناتجة عن التيار i_2 ويضافان إلى بعضهما كما أن تغيير اتجاه أحد التيارين عن الوضع السابق يؤدي إلى جعل إشارة M سالبة .

Example (2-8)

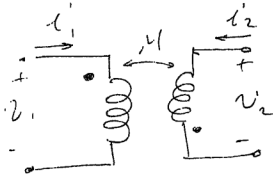


للدائرة أ

$$v_1 = L_1 \frac{di_1}{dt} + M \frac{di_2}{dt}$$

$$v_2 = M \frac{di_1}{dt} + L_2 \frac{di_2}{dt}$$

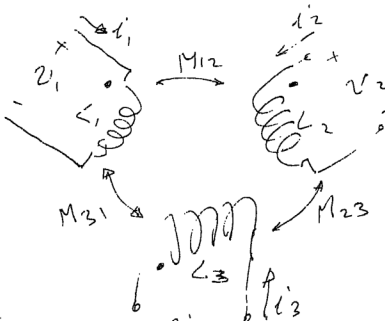
للدائرة ب



$$v_1 = L_1 \frac{di_1}{dt} - M \frac{di_2}{dt}$$

$$v_2 = -M \frac{di_1}{dt} + L_2 \frac{di_2}{dt}$$

للدائرة ج



$$v_1 = L_1 \frac{di_1}{dt} + M_{12} \frac{di_2}{dt} - M_{13} \frac{di_3}{dt}$$

$$v_2 = M_{12} \frac{di_1}{dt} + L_2 \frac{di_2}{dt} - M_{23} \frac{di_3}{dt}$$

$$v_3 = -M_{13} \frac{di_1}{dt} - M_{23} \frac{di_2}{dt} + L_3 \frac{di_3}{dt}$$

٢- توصيل ملفات الحث

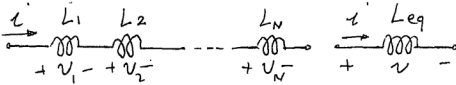
عند توصيل ملفات الحث على التوالي أو على التوازي يختلف الأمر إذا كان بينها حث متبادل أو لم يكن هناك حث متبادل.

أولاً : توصيل الملفات إذا لم يكن بينها حث متبادل

SERIES CONNECTION

(أ) التوصيل على التوالي

إذا وصلنا عدد N محاث على التوالي وأردنا الحصول على محاث واحدة فإننا نلاحظ أن التيار واحد في جميع العناصر وأن الجهد V هو مجموع جهود كل العناصر



$$\begin{aligned}
 V &= V_1 + V_2 + \dots + V_N \\
 &= L_1 \frac{di_1}{dt} + L_2 \frac{di_2}{dt} + \dots + L_N \frac{di_N}{dt} \\
 &= [L_1 + L_2 + \dots + L_N] \frac{di}{dt} \\
 &= L_{eq} \frac{di}{dt}
 \end{aligned}$$

ومن هنا نرى أن المحاث المكافئة

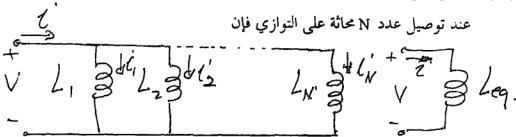
$$L_{eq} = (L_1 + L_2 + \dots + L_N)$$

أي أن المحاث المكافئة لمجموعة من المحاثات المتصلة على التوالي تكون مساوية لمجموع قيم هذه المحاثات.

PARALLEL CONNECTION

(ب) التوصيل على التوازي

عند توصيل عدد N محاث على التوازي فإن



$$L = L_1 + L_2 + \dots + L_N$$

$$V = L_{eq} \frac{di}{dt}$$

$$= L_{eq} \left[\frac{di_1}{dt} + \frac{di_2}{dt} + \dots + \frac{di_N}{dt} \right]$$

$$= L_{eq} \left[\frac{V_1}{L_1} + \frac{V_2}{L_2} + \dots + \frac{V_N}{L_N} \right]$$

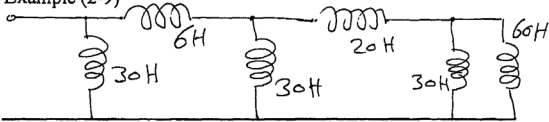
$$= L_{eq} V \left[\frac{1}{L_1} + \frac{1}{L_2} + \dots + \frac{1}{L_N} \right]$$

$$\therefore L_{eq} = \frac{1}{\frac{1}{L_1} + \frac{1}{L_2} + \dots + \frac{1}{L_N}}$$

$$\frac{1}{L_{eq}} = \frac{1}{L_1} + \frac{1}{L_2} \quad \text{وفي حالة توصيل عاشرين على التوالي فإن}$$

$$\therefore L_{eq} = \frac{L_1 L_2}{L_1 + L_2}$$

Example (2-9)



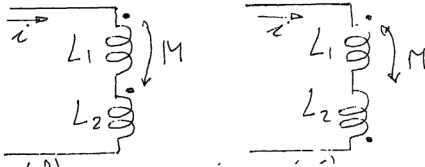
الحالة المكافئة

$$L_{eq} = 15 \text{ H}$$

ثانيا : توصيل الملفات إذا كان بينهما حث متبادل

(أ) توصيل ملفين على التوالي

شكل ٢ - ٢٦ يبين طريقتين لتوصيل ملفي حث بينهما حث متبادل على التوالي



في شكل ٢ - ١٢٦ نلاحظ أن إشارة M موجبة وتكون المحاثة المكافئة

$$L_{eq} = L_1 + L_2 + 2M$$

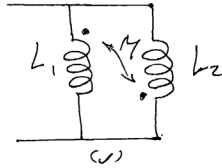
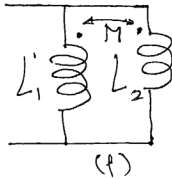
وفي شكل ٢ - ٢٦ ب نلاحظ أن إشارة M سالبة وتكون المحاثة المكافئة

$$L_{eq} = L_1 + L_2 - 2M.$$

(ب) التوصيل على التوازي

شكل ٢ - ٢٧ يبين ملفي حث بينهما حث متبادل ومتصلين على التوازي .

ونلاحظ أنه في الدائرة ١ تكون إشارة M موجبة وفي الدائرة ٢ تكون إشارة M سالبة



$$L_{eq} = \frac{L_1 L_2 - M^2}{L_1 + L_2 - 2M}$$

$$L_{eq} = \frac{L_1 L_2 - M^2}{L_1 + L_2 + 2M}$$

حلول (٢-٢٧)

الطاقة المخزنة في المحاثة ENERGY STORED IN INDUCTANCE

إذا كان التيار المار في ملف حث هو i و فرق الجهد بين طرفيه v

فان/بقدرة

$$P = v i$$

$$= (L \frac{di}{dt}) i$$

وتكون الطاقة المخزنة في المجال المغناطيسي

$$\begin{aligned} W &= \int_{t_0}^t p \, dt \\ &= \int_{t_0}^t L i \frac{di}{dt} \, dt \\ &= \left[\frac{1}{2} L i^2 \right]_{t_0}^t \end{aligned}$$

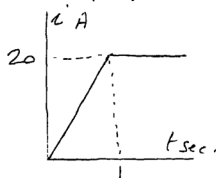
فإذا كانت $t_0 = -\infty$ وكانت الطاقة المخزنة عندئذ مساوية للصفر وقيمة

التيار صفر. فإن الطاقة المخزنة في المحثة عند أي زمن t

$$W = \frac{1}{2} L i^2 \quad (2-38)$$

Example (2-10)

Find the voltage, power and energy for an inductor of 0.1 H when the current through it varies as shown.



The current can be expressed as a function of time

$$\begin{aligned} i &= 0 & t < 0 \\ i &= 20t & 0 \leq t \leq 1 \\ i &= 20 & t > 1 \end{aligned}$$

The expression for voltage is derived using the relation (2-29), then

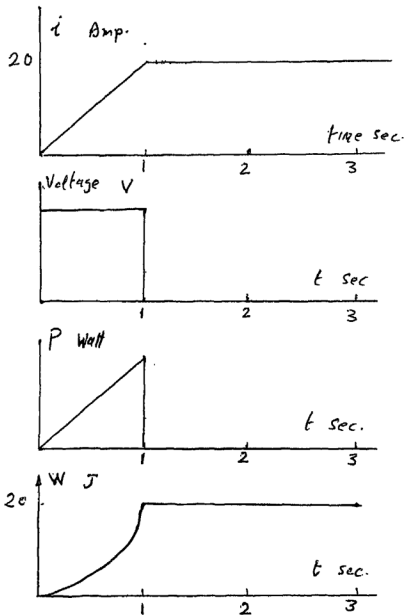
$$\begin{aligned} v &= 0 & t < 0 \\ v &= 2 & 0 \leq t \leq 1 \\ v &= 0 & t > 1 \end{aligned}$$

$$\begin{aligned} \text{power} &= v i \\ p &= 40t & 0 \leq t \leq 1 \\ p &= 0 & t > 1 \end{aligned}$$

$$\text{Energy} = \frac{1}{2} L i^2$$

At $t = 1 \text{ sec.}$ $W = 0.05 (20)^2 = 20 \text{ J}$

The variation of i , v , p and W are shown in fig (2-29)



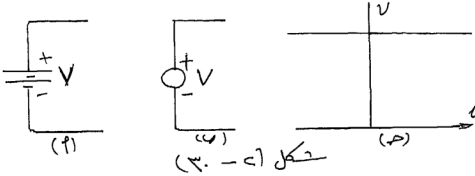
شکل (2-29) (c)

٢-٢ العناصر الفعالة - المصادر ACTIVE ELEMENTS - SOURSES

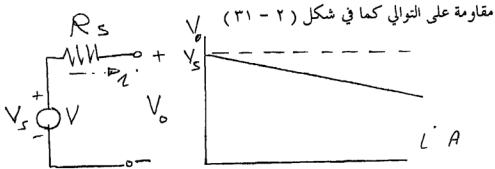
المصادر هي العناصر الفعالة التي تمد الدوائر بالطاقة الكهربائية وتصنف إلى مصادر جهد ومصادر تيار وقد تكون هذه المصادر مستقلة أو محكومة.

٢-٢-١ مصادر الجهد المستقلة INDEPENDENT VOLTAGE SOURCES

يعرف مصدر الجهد المثالي IDEAL VOLTAGE SOURCE بأنه مصدر للإمداد بالطاقة الكهربائية عند قيمة ثابتة ومحددة للجهد بين طرفيه لا تعتمد على قيمة التيار الخارج منه أو على اتجاهه . ويستخدم الرمز المبين في شكل (٢ - ١٣٠) للدلالة على أن فرق الجهد بين طرفي المصدر لا يتغير مع الزمن (مصدر تيار مستمر D C) كما يستخدم الرمز المبين في شكل (٢ - ٣٠ ب) للدلالة على جميع أنواع المصادر الأخرى كما يمكن التعبير عن خصائص مصدر الجهد المثالي برسم العلاقة بين الجهد والتيار المار كما في شكل (٢ - ٣٠ ج)



وفي الواقع العملي فإن قيمة الجهد بين طرفي المصدر تتأثر بقيمة التيار المار ولا يتحقق وجود المصدر المثالي. إلا أنه يمكن تمثيل المصدر الحقيقي بمصدر جهد مثالي مع وجود

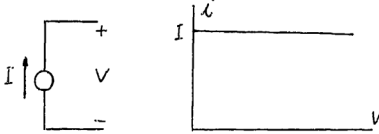


شكل (٣١ - ج)

$$v = v - iR \quad (2-39)$$

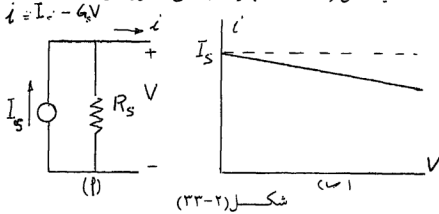
٢-٢-٢ مصادر التيار المستقلة INDEPENDENT CURRENT SOURCES

يعرف مصدر التيار المثالي بأنه مصدر لإمداد الطاقة الكهربائية عند قيمة ثابتة للتيار بغض النظر عن قيمة فرق الجهد بين طرفيه ، وشكل (٢ - ٣٢) يبين الرمز المستخدم لمصدر التيار المثالي وخواصه المتمثلة في العلاقة بين الجهد والتيار عند طرفيه .



شكل (٢-٣٢)

ومصدر التيار الواقعي PRACTICAL CURRENT SOURCES يمكن تمثيله بمصدر مثالي ومقاومة على التوازي كما في شكل (٢-١٣٣) ، وتكون العلاقة بين التيار الخارج وجهد الأطراف كما في شكل (٢ - ٣٣ ب) ونكتب على الصورة الرياضية.



شكل (٢-٣٣)

وبصورة عامة يمكن ملاحظة الآتي بالنسبة لمصادر الجهد والتيار

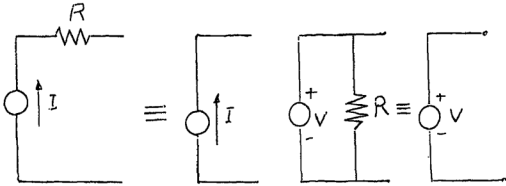
أ (مصدر الجهد الذي جهده $V=0$ هو عبارة عن دائرة قصر SHORT CIRCUIT

كما يمكن النظر إلى دائرة القصر أيضا على أنها مقاومة تساوي صفر أو محاطة لها معامل

$$\underbrace{+ \quad V=0 \quad -}$$

حث $L = 0$

- ب) مصدر التيار الذي به $i = 0$ عبارة عن دائرة مفتوحة OPEN CIRCUIT
 كما يمكن النظر إلى الدائرة المفتوحة على أنه مقاومة لا نهائية أو مكثف له سعة $C = 0$
 جـ) وجود مقاومة R على التوازي مع مصدر جهد مثالي أو مقاومة على التوالي مع مصدر تيار مثالي لا تغير من خواص المصدر كما هو موضح بشكل (٢-٣٤)



شكل (٢-٣٤)

- د) مصدر الطاقة الفعلي يمكن نمذجته على صورة مصدر جهد مثالي ومعه مقاومة على التوالي أو مصدر تيار مثالي ومعه مقاومة على التوازي ، وهاتان الصورتان متكافئتان تماماً ويمكن استخدام أيهما دون أن تتأثر الدوائر الخارجية . ففي حالة مصدر الجهد الفعلي شكل (٢-٣١) فإن

$$v_o = v_s - i R$$

وفي حالة مصدر التيار الفعلي شكل (٢-٣٣) فإن

$$v_o = (I_s - i_o) R_s$$

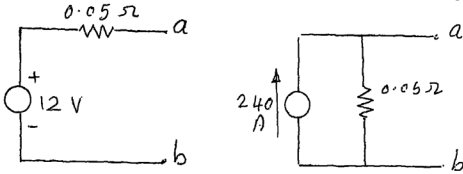
$$v_o = \frac{I_s}{G_s} - \frac{I_o}{G_s}$$

وبمقارنة العلاقتين السابقتين نجد أنهما يؤديان إلى نفس القيمة للجهد v_o على فرض

$$V_s = I_s R_s \quad \text{وأن} \quad G_s = \frac{1}{R_s}$$

Example (2-12)

إذا كان لدينا بطارية لها جهد ١٢ فولت ومقاومة داخلية $R = 0.05 \Omega$ وإذا استخدمت هذه البطارية في تعدية دائرة كهربية يمكن تمثيلها بإحدى الصورتين في شكل (٢-٣٥)



شكل (٢-٣٥)

وهاتان الصورتان متكافئتان تماماً ويمكن التحويل من واحدة إلى الأخرى دون أن تتأثر الدائرة المتصلة بين الطرفين AB.

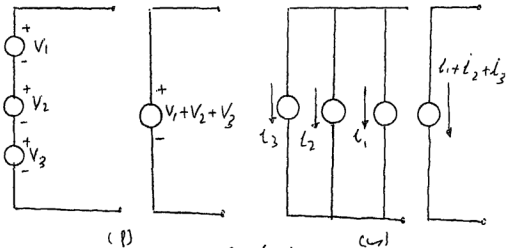
هـ (المصادر المثالية يمكن توصيلها على التوالي أو على التوازي طبقاً للقواعد الآتية

١- مصادر الجهد المثالية المتصلة على التوالي يمكن استبدالها بمصدر واحد جهده

يساوي مجموع جهود المصادر كما في شكل (٢-٣٦ أ)

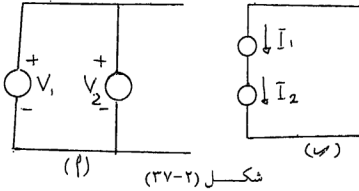
٢- مصادر التيار المثالية المتصلة على التوازي يمكن استبدالها بمصدر تيار واحد

قيمه تساوي قيم مجموع تيارات المصادر كما في شكل (٢-٣٦ ب)



شكل (٢-٣٦)

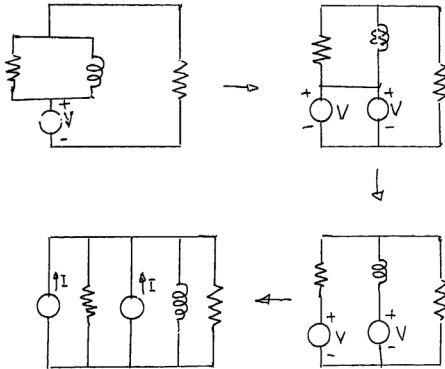
٣- عند توصيل مصادر جهد مثالية على التوازي لا بد وأن تكون قيم جهودها متساوية كما في شكل (٢ - ٣٧ أ) وعند توصيل مصادر تيار مثالية على التوالي لا بد وأن تكون قيم التيارات لها متساوية كما في شكل (٢ - ٣٧ ب)



شكل (٢-٣٧)

Example (2-13)

الدوائر الأربع المبينة في شكل (٢-٣٨) متكافئة



شكل (٢-٣٨)

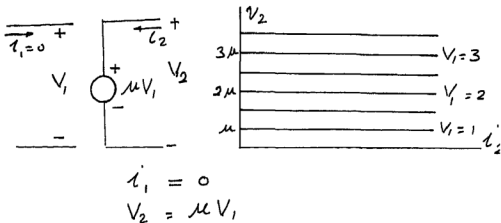
٢-٢-٢ المصادر المحكومة

CONTROLLED SOURCES OR DEPENDENT SOURCES

في هذا النوع من المصادر يكون الجهد بين طرفي مصدر الجهد أو التيار المار في مصدر التيار غير ثابت القيمة ولكنه يعتمد على جهد آخر أو تيار آخر وتوجد أربعة أنواع من المصادر المحكومة.

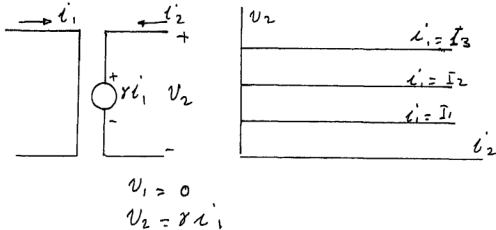
١- مصدر الجهد المحكوم بجهد

VOLTAGE CONTROLLED VOLTAGE SOURCE (VCVS)



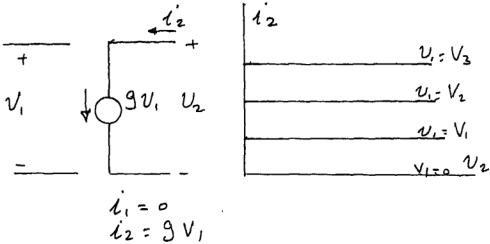
٢- مصدر الجهد المحكوم بتيار

CURRENT CONTROLLED VOLTAGE SOURCE (CCVS)



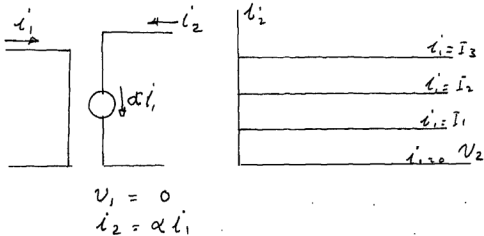
٣- - مصدر التيار الخكوم بجهد

VOLTAGE CONTROLLED CURRENT SOURCE (VCCS)



٤- - مصدر التيار الخكوم بتيار

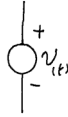
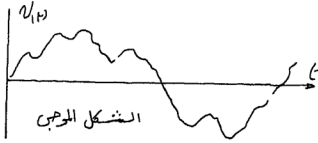
CURRENT CONTROLLED CURRENT SOURCE (CCCS)



WAVE FORMS

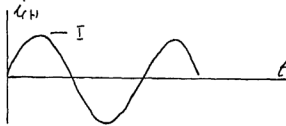
الأشكال الموجية

الجهود والتيارات في الدوائر الكهربائية إما أن تكون ثابتة وتعرف في هذه الحالة بالتيار المستمر DC أو متغيرة مع الزمن ويعرف المخطط الذي يبين تغير الجهد أو التيار مع الزمن بأنه الشكل الموجي WAVE FORM

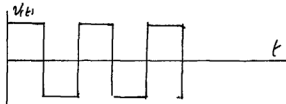


وفي الدوائر البسيطة فإننا نهتم بتحليل الدوائر التي تتعامل مع الأشكال الموجية الدورية التي
تتحقق العلاقة $f(t) = f(t + NT)$ حيث T هو الزمن الدوري و N عدد صحيح
من أمثلة الأشكال الموجية تلك المبينة في شكل (٢-٤٠)

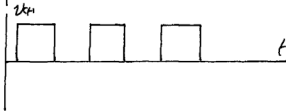
$i = I \sin \omega t$
جوجة جيبية
sine wave.



سوجة مربعة
square wave



تتابع نبضات
pulse train



لقيمة الفعالة EFFECTIVE VALUE OR ROOT MEAN SQUARE (RMS)

إذا مر تيار متغير مع الزمن في مقاومة R فإن القدرة المستهلكة في المقاومة تكون
متغيرة مع الزمن $P(t)$ ويكون لها قيمة متوسطة P نفس قيمة القدرة P يمكن الحصول
عليها إذا مر تيار ثابت في نفس المقاومة R وفي هذه الحالة تعرف قيمة التيار I_{rms} بأنه
لقيمة الفعالة للتيار $i(t)$ وهي مساوية للتيار الثابت I ، وبنفس الطريقة تعرف القيمة
لفعالة للجهد V_{rms} وتختسب القيمة الفعالة للتيار الدوري من العلاقة.

$$I_{rms} = \sqrt{\frac{1}{T} \int_0^T (i(t))^2 dt} \quad (2-46)$$

$$I_{rms} = \frac{I_{max}}{\sqrt{2}}$$

وفي حالة الموجة الجيبية تكون

FORM FACTOR

عامل الشكل

يعرف عامل الشكل للجهد أو التيار بأنه النسبة بين القيمة الفعالة للموجة والقيمة

$$FF = \frac{V_{rms}}{V_{av.}} \quad , \quad V_{av} = \frac{1}{T} \int_0^T V(t) dt$$

المتوسطة

يلاحظ عند حساب عامل الشكل لموجة مثل الموجة الجيبية فإن القيمة المتوسطة تساوي



صفر نظرا لتماثل الموجة . في مثل

هذه الحالة يحسب القيمة المتوسطة

على نصف الموجة فقط.

الوحدات المستخدمة في النظام العالمي للوحدات SYSTEM INTERNATIONAL

الرمز	اسم الوحدة	الكمية
M	Metre	الطول
Kg	Kilogramme	الكتلة
Sec	Secand	الزمن
A	Ampere	التيار
N	Newton	القوة
J	Joule	الطاقة - الشغل
W	Watt	القدرة
C	Coulomb	الشحنة
V	Volls	فرق الجهد
Ω	Ohm	المقاومة
S , σ	Siemens	الموصلية
H	Henry	الخصاءية الحثية
F	Farad	السعة

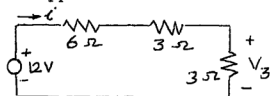
٥-٢ ————— ارين

2.1 Find the resistance of the following copper wires of resistivity $1.73 \mu\Omega\text{cm}$.

- a) 1 mm cross-section and 10 m long
b) 24 mm cross-section and 10 m long

2.2 A rectangular metal strip has the dimensions $x = 10 \text{ cm}$ $y = 0.5 \text{ cm}$ and $z = 0.2 \text{ cm}$ determine the ration $R_x : R_y : R_z$ between the respective pairs of opposite faces.

2.3 Find the voltage V_3 and the current i and show that the power dissipated by the 3 resistances is equal to the power supplied by the source.

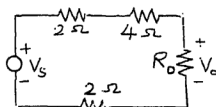


2.4 (a) Determine the value of R_o

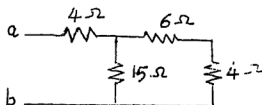
So that $V_o/V_s = 1/6$.

(b) Determine the value of R_o

so that one half of the power supplied by the source is absorbed by R_o

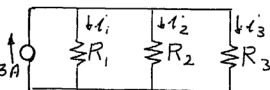


2.5 Find the equivalent resistance looking into terminals ab

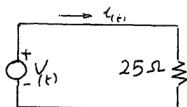


2.6 Determine the currents i_1 , i_2 and i_3

$$R_1 = \frac{1}{2} \Omega, R_2 = \frac{1}{4} \Omega, R_3 = \frac{1}{8} \Omega$$

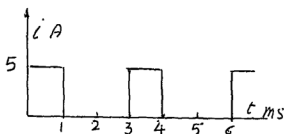


2.7 Sketch $V(t)$, $i(t)$ and the power $P(t)$ in the following cases

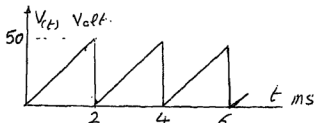


(a) $V(t) = 150 \sin 2\pi t$

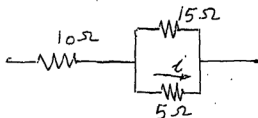
(b) $i(t)$ varies as shown.



(c) $V(t)$ is a saw-tooth wave as shown.

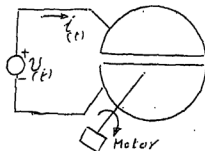


2.8 The current i is given by $i = 6 \sin \omega t$ find the current in the 10Ω and 15Ω resistors and the instantaneous power in each resistor.



2.9 Consider a pure capacitor with an applied voltage $v(t) = V \sin \omega t$. Find the current $i(t)$, the power $P(t)$, the charge $q(t)$ and the stored energy $W(t)$ assuming $W(0) = 0$

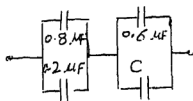
2.10 The fig shows two plates one of which is driven by a motor such that the capacitance between the plates varies according to the equation $C = C_0(1 - \cos \omega t)$



a) If $v_t = V$ volts (const.) find the current i as function of time.

b) If $v_t = V_0 \sin \omega t$, what is the equation of the current $i(t)$

2.11 what is the capacitance C to give an equivalent $C_{eq} = 0.5 \mu f$



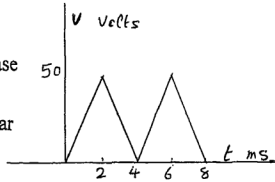
2.12 Two ideal capacitors C_1 and C_2 and an open switch are connected in series. The capacitors have initial voltages V_1 and zero volts resp. Find the voltages across the capacitors and the energy stored in them after the switch is closed.

2.13 The given wave forms of the voltage are applied to a pure capacitance of $60\mu f$.

Sketch $i(t)$ and p in each case

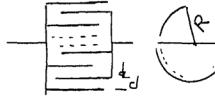
(a) $v(t) = 10\sin 314t$

(b) $V(t)$ is the triangular wave shown.

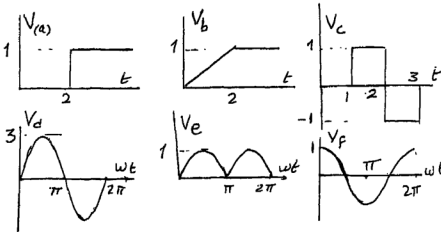


2.14 The tuning capacitor in radio receivers are represented as shown.

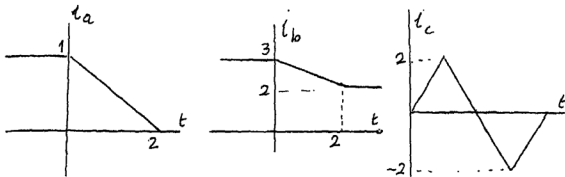
The plates are separated by air a distance d . what is the maximum capacitance of the tuning capacitor.



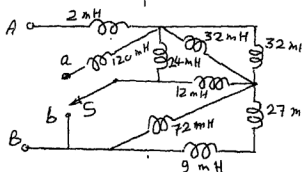
2.15 The wave shapes shown are applied as input voltages to a 1 H inductor. Draw the shapes of the resulting currents. Assuming $i_0 = 0$



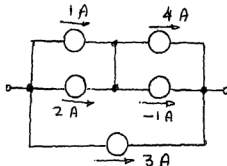
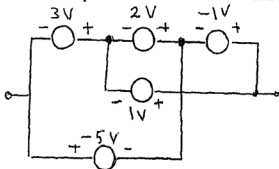
2.16 The wave shapes shown are applied as input currents to a 2 H inductor. Draw the resulting wave shape of the voltage that will appear between terminals.



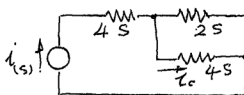
2.17 Find the equivalent inductance L_{eq} when the switch S is at position (a) and when it is at position (b).



2.18 Replace each network with a single source.

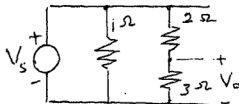


2.19 Given $i_s(t) = 3$
find $i_0(t)$

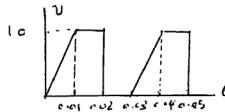
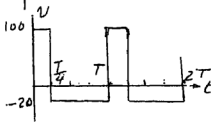
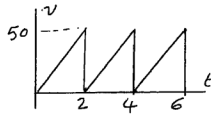
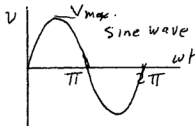


2.20 Given

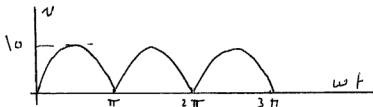
$v_s = 7 + 3e^{-t}$ v.
Find v_0



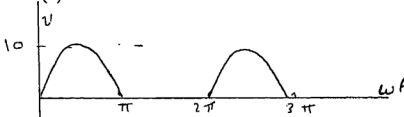
2.21 Find the average value and the effective (rms) value of the wave forms shown below.



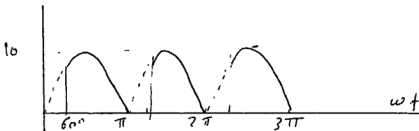
2.22 Find the form factor of the wave forms shown



(a) Full wave rectified sine wave.



(b) half wave rectified sine wave.



(c) Delayed full wave rectified sine wave.

الفصل الثالث

معادلات الشبكات

NETWORK EQUATIONS

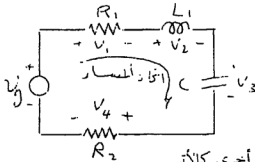
سبق أن عرفنا الدائرة الكهربائية بأنها إتصال بين مجموعة من العناصر . و يطلق على هذا الاتصال لفظ الدائرة circuit أو الشبكة . و لتحديد العلاقة بين الجهود و التيارات في الشبكات الكهربائية صاغ كيرتشفوف Kirchhoff قانونين هما : -

٣-١ قانون كيرتشفوف للجهود Kirchhoff's Voltage law.(KVL)

المجموع الجبري لفروق الجهد مأخوذة في اتجاه دورى واحد حول أى مسار مغلق من الشبكة يكون مساوياً

للصفر عند أى لحظة زمنية .

فمثلاً في الدائرة المبينة .



$$-v_g + v_1 + v_2 + v_3 + v_4 = 0$$

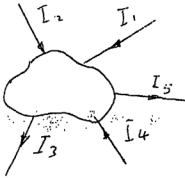
كما أن القانون يصاغ أحياناً بصورة أخرى كالآتي

حول أى مسار مغلق عند أى لحظة زمنية فإن الإرتفاع فى الجهد (نتيجة لمصدر جهد) لابد أن يساوى الهبوط فى الجهد (نتيجة للعناصر الخاملة)
 و ذلك طبقاً لمبدأ بقاء الطاقة Low of conservation of energy

٢ قانون كيرشوف للتيار Kirchhoff's Current Law (KCL)

المجموع الجبرى للتيارات الداخلة لأى سطح مغلق فى الدائرة عند أى لحظة زمنية يساوى صفر .

أى أن مجموع التيارات الداخلة عند أى لحظة زمنية لابد أن تساوى مجموع التيارات الخارجة عند نفس اللحظة .
 فمثلاً فى الشكل المقابل .



$$I_1 + I_2 - I_3 + I_4 - I_5 = 0$$

أو

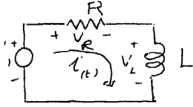
$$I_1 + I_2 + I_4 = I_3 + I_5$$

٣ صياغة معادلات الشبكات Formulation of Network equations

يتطلب حل الدوائر الكهربائية الحصول على قيمة الجهد و التيار عند كل نقطة من نقط الدائرة فى أى لحظة زمنية . وللوصول إلى ذلك يلزم كتابة المعادلات التى تحكم العلاقة بين الجهد و التيار و يطبق فى ذلك قوانين كيرشوف بالإضافة إلى العلاقات التى تربط الجهد و التيار عند أطراف العناصر المختلفة .

و بصفة عامة فإن المعادلات التى نحصل عليها هى معادلات تفاضلية خطية
 Linear differntial equations

و سنوضح ذلك ببعض الأمثلة :-



مثال (٣-١)

دائرة مكونة من مقاومة R

و محاث L على التوالي تتغذى من مصدر للجهد

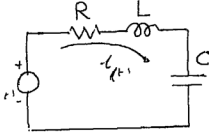
حل الدائرة يتطلب الحصول على معادلة التيار $i(t)$

بتطبيق قانون كيرشوف للجهد نجد أن

$$v(t) = v_R + v_L$$

و بتعويض علاقات العناصر نجد أن

$$v(t) = iR + L \frac{di}{dt}$$



مثال (٣-٢)

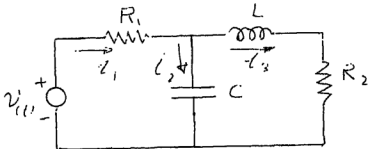
$$v(t) = iR + L \frac{di}{dt} + \frac{1}{C} \int i dt$$

و هذه معادلة يمكن كتابتها بدلالة الشحنة $q(t)$ على الصورة

$$v(t) = R \frac{dq_1}{dt} + L \frac{d^2 q_1}{dt^2} + \frac{q_1}{C}$$

أو بدلالة التيار على الصورة .

$$\frac{dv(t)}{dt} = R \frac{di}{dt} + L \frac{d^2 i}{dt^2} + \frac{i}{C}$$

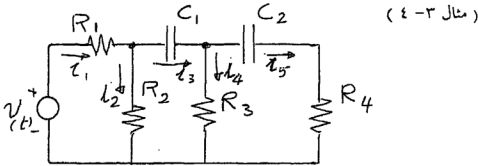


مثال (٣-٣)

$$i_1 = i_2 + i_3 \quad (\text{KCL})$$

$$v_{l+1} = i_1 R_1 + \frac{1}{c} \int i_2 dt \quad (\text{KCL})$$

$$0 = i_3 R_2 + L \frac{di_3}{dt} + \frac{1}{c} \int i_2 dt \quad (\text{KVL})$$



$$i_1 = i_2 + i_3 \quad (\text{KCL})$$

$$i_3 = i_4 + i_5 \quad (\text{KCL})$$

$$v(t) = i_1 R_1 + i_2 R_2 \quad (\text{KVL})$$

$$0 = \frac{1}{c_1} \int i_3 dt + i_4 R_3 - i_2 R_2 \quad (\text{KVL})$$

$$0 = \frac{1}{c_2} \int i_5 dt + i_5 R_4 - i_4 R_3 \quad (\text{KVL})$$

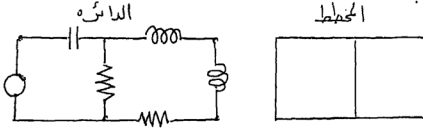
و نحصل على قيم التيارات المختلفة بإيجاد حلول للمعادلات التفاضلية و من التيارات
نحصل على قيمة الجهود بين أطراف العناصر المختلفة طبقاً للعلاقة المميزة لكل عنصر .

٣-٤ طوبوغرافية الشبكات Network Topology

طوبوغرافية الشبكة هي هندسة الشبكة أو الطريقة التي تتصل بها العناصر مع بعضها بغض النظر عن نوعية هذه العناصر . و لتوضيح ذلك سنذكر بعض التعريفات .

المخطط Graph

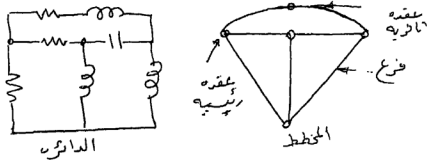
المخطط هو رسم تخطيطي مبسط الدائرة حيث يتم تمثيل كل عنصر بنقطة مستقيمة كما بالشكل .



العقدة Node

العقد هي نهايات العناصر التي تتصل عندها مع غيرها من العناصر والعقدة والعقدة التي يلتقي عندها ثلاثة عناصر فأكثر عندها ثلاثة رئيسية Principal Node أما العقدة

التي يلتقي عندها عنصران فقط فتعرف بعقدة ثانوية Secondary node



الزوج العقدي Node Pair

يمكن اختيار عقدتين لعمل زوج عقدي فعادة في تحليل الدوائر نختار إحدى العقد الرئيسية

... لتكون مرجعاً للدائرة reference node وهذه

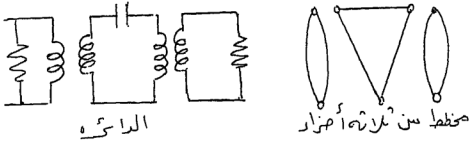
العقدة المرجع تكون مع أى عقدة أخرى زوج عقدي .

الفرع Branch

الفرع هو جزء من الدائرة مكون من عنصر واحد أو عدة عناصر متصلة على التوالي و على ذلك فالفرع يمكن أن يتضمن عقدة ثانوية أو أكثر .

الجزء المنفصل من المخطط A separate part of a graph

هو جزء من المخطط غير متصل كهربياً بالأجزاء الأخرى .

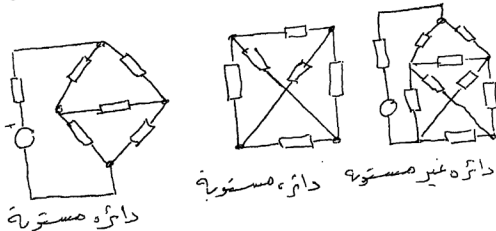


الشبيكة أو الحلقة Mesh or Loop

هي مسار مغلق يبدأ عند إحدى العقد و يمر بالأفرع و العقد الأخرى حتى يعود إلى نقطة البداية .

الشبيكة المسطحة أو المستوية Planar or Flat network

هي الشبيكة التي يمكن رسم المخطط لها في مستوى واحد بدون تقاطعات بين الأفرع .

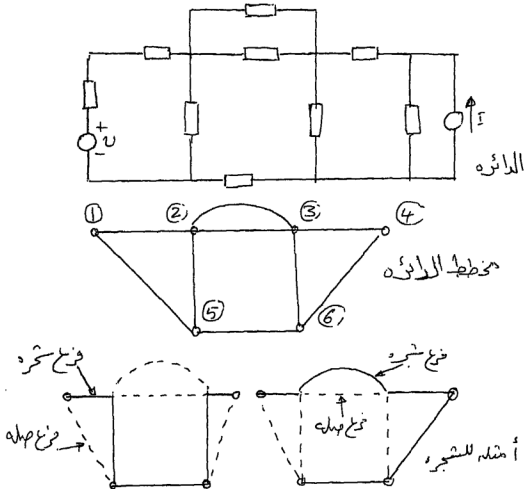


الشجرة A Tree

هى جزء من الخطط الذى فيه تتصل جميع العقد الرئيسية دون أن يكون هناك أى مسار مغلق .

و أفرع المخطط الغير موجودة فى الشجرة تعرف بأفرع الصلة .

و تعرف أفرع الشجرة بالأوتار Cords



و نلاحظ أن هذه الدائرة المكونة من جزء واحد مستقل تختوى على

$$b_l = n - 1$$

عدد أفرع الشجرة .

حيث n هو عدد العقد

و بصفة عامة فإن عدد أفرع الشجرة يكون $b_l = n - p$

حيث P هو عدد الأجزاء المستقلة في الدائرة

فإذا كان عدد الأفرع الكلية هو b فإن عدد أفرع الصلة يكون $b_l = b - b_l$

أى أنه للدائرة ذات الجزء الواحد $b_l = b - n + 1$

وللدائرة ذات P جزء $b_l = b - n + 1$

٣-٥ تحليل الدوائر Network Analysis

يعتمد تحليل الدوائر على تطبيق قوانين كيرتشفول للجهد و التيار و يوجد ثلاث طرق أساسية لتحليل الدوائر تعتمد على طريقة تعريف متغيرات الدائرة .

أولاً : التحليل باستخدام تيارات الأفرع .

حيث يتم فرض تيار في كل فرع من أفرع الدائرة و تكتب مجموعة من المعادلات بدلالة هذه التيارات بتطبيق قوانين كيرتشفول كما تم إيضاحه في الأمثلة من ١ - ٤

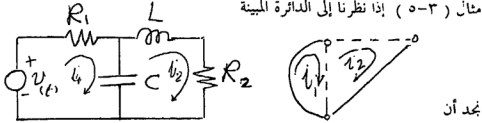
ثانياً : التحليل باستخدام تيارات الشبكة أو الحلقة .

Mesh or Loop Currents Analysis

حيث يتم فرض تيار في كل شبكة أو حلقة مستقلة من الدائرة و يطبق قانون كيرتشفول للجهد لكتابة معادلة لكل حلقة و يكون عدد المعادلات المستقلة التي يمكن كتابتها في هذه الحالة مساوياً لعدد أفرع الصلة للشجرة أى أن

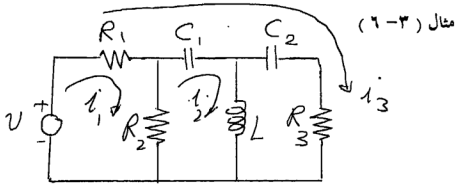
$$b - n + P = \text{عدد المعادلات}$$

و يتم كتابة المعادلات بحيث يكون هناك وصلة جديدة على الأقل في كل معادلة و يكرر ذلك حتى تنتهى جميع الوصلات و بذلك نحصل على معادلات الدائرة .



$$v(t) = i_1 R_1 + \frac{1}{C} \int (i_1 - i_2) dt$$

$$0 = \frac{1}{C} \int (i_2 - i_1) dt + L \frac{di_2}{dt} + i_2 R_2$$



$$v = (i_1 + i_3) R_1 + (i_1 - i_2) R_2$$

$$0 = -(i_1 - i_2) R_2 + \frac{1}{C} \int (i_2 + i_3) dt + L \frac{di_2}{dt}$$

$$v = (i_1 + i_3) R_1 + \frac{1}{C} \int (i_2 + i_3) dt + \frac{1}{C_2} \int i_3 dt + i_3 R_3$$

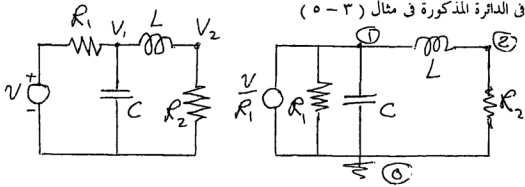
بحل المعادلات نحصل على تيارات الحلقات و منها نحصل على تيارات الأغصان و الجهود على أطراف العناصر .

ثالثاً : التحليل باستخدام جهد العقدة Node Voltage Analysis

و ذلك بأخذ إحدى العقد كمرجع للدائرة و تحديد جهدها بصفر و فرض الجهود عند باقى العقد كمغغيرات للدائرة ، و يكون عدد المعادلات فى هذه الحالة مساوياً لعدد أزواج العقد و هو يساوى عدد أفرع الشجرة .

$$b_r = n - p$$

(مثال ٣-٧)

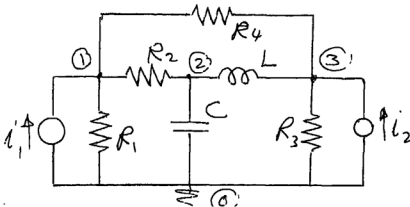


بتطبيق قانون كيرتشوف للتيار .

$$\frac{v}{R_1} = \frac{v_1}{R_1} + C \frac{dv_1}{dt} + \frac{1}{L} \int (v_1 - v_2) dt$$

$$0 = \frac{1}{L} \int (v_2 - v_1) dt + \frac{v_2}{R_2}$$

(مثال ٣-٨)



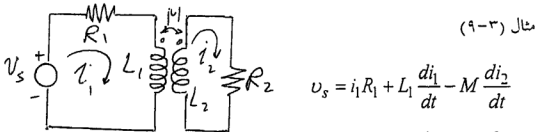
$$i_1 = G_1 v_1 + G_2 (v_1 - v_2) + G_4 (v_1 - v_3)$$

$$0 = G_2 (v_2 - v_1) + C \frac{dv_2}{dt} + \frac{1}{L} \int (v_2 - v_3) dt$$

$$i_2 = G_4 (v_3 - v_1) + \frac{1}{L} \int (v_3 - v_1) dt + G_3 v_3$$

ملاحظات :

- عند استخدام طريقة تيارات الحلقة (Loop currents) يجب وضع جميع المصادر على صورة مصادر جهد . و عند استخدام طريقة جهد العقدة يجب وضع جميع المصادر على صورة مصادر تيار .
- في الدوائر التي تحتوي على حث متبادل يفضل استخدام طريقة تيار الحلقة .



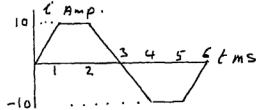
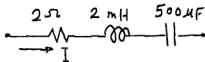
$$V_{(i)} = 5 i_1' + 7 \frac{d(i_1' - i_2')}{dt} + 2 \frac{d(i_3' - i_2')}{dt}$$

$$0 = 7 \frac{d(i_2' - i_1')}{dt} + 2 \frac{d(i_2' - i_3')}{dt} + \int i_2' dt + 6 \frac{d(i_2' - i_3')}{dt} + 2 \frac{d(i_2' - i_1')}{dt}$$

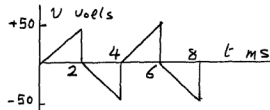
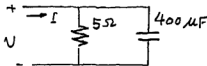
$$0 = 6 \frac{d(i_3' - i_2')}{dt} + 2 \frac{d(i_1' - i_2')}{dt} + 3 i_3'$$

٣-٦ تمارين

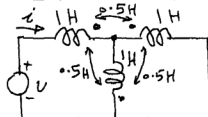
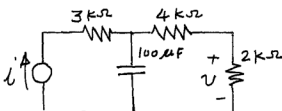
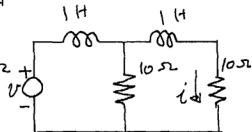
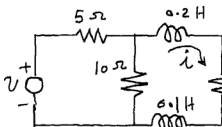
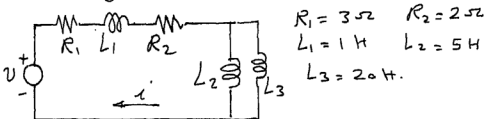
3-1 For the series RCL circuit shown the current I has the wave form shown .find the voltage across each element and the total voltage



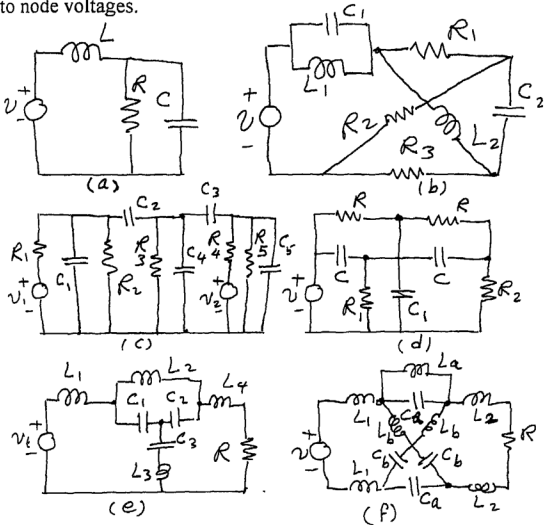
3-2 The parallel RC circuit shown has the applied voltage below .Determine the current in each branch and the total current I



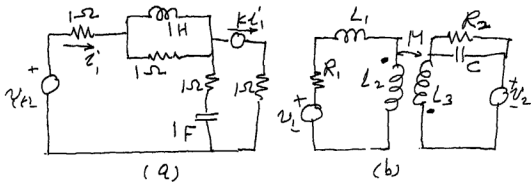
3-3 Find the differential equation relating i and v in the following circuits.



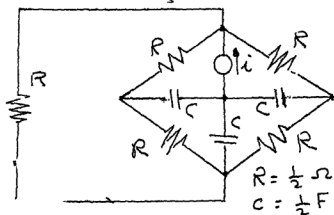
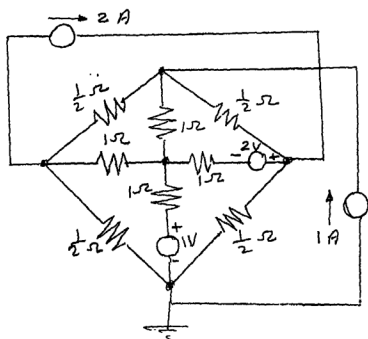
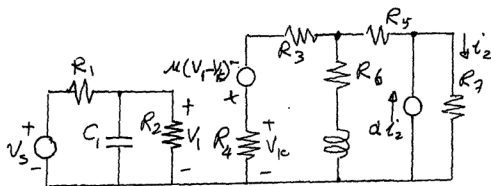
3-4 For each of the networks shown determine the number of independent loop currents and the number of independent node to node voltages.



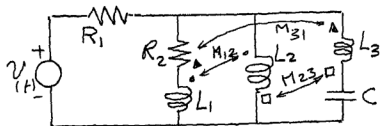
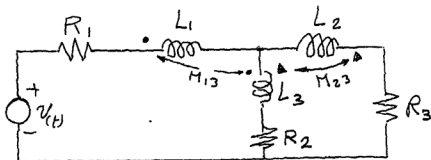
3-5 Write loop current equations for the networks shown.



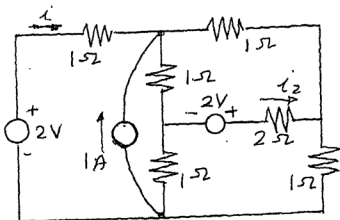
3-6 Write the node equations for the networks shown.



3-7 Write loop current equations for the circuit shown.



3-8 Find the value of the current i



الفصل الرابع

دوائر المقاومات

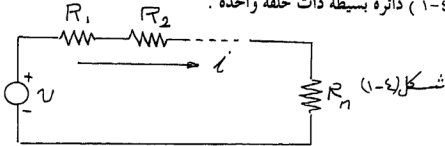
Resistive Circuits

عند تطبيق قوانين كيرتشفول على الدوائر الكهربائية نحصل على معادلات تكاملية تفاضلية. $\text{Integro - differential eqns.}$ و تتوقف درجة المعادلات الناتجة على عدد العناصر المختزنة للطاقة (المحاثات و المكثفات) في الدائرة . و يلزم حل هذه المعادلات للحصول على إستجابة الدائرة .

في كثير من الحالات تحتوى الدوائر على مقاومات فقط و لا تحتوى على عناصر خزنة للطاقة . في هذه الحالات تكون المعادلات الناتجة خالية من عمليات التفاضل و

التكاس . أى أن المعادلات الناتجة في هذه الحالة تكون معادلات جبرية يسهل حلها للحصول على قيم الجهود و التيارات في كل جزء من أجزاء الدائرة .
و توجد طرق عدة لحل دوائر المقاومات يمكن إتباع أى منها . و يتوقف ذلك على مدى بساطة الدائرة ويتم الحل بتطبيق قانون أوم و قوانين كيرتشوف على الدائرة .
٤-١ طرق الاختصارات البسيطة .

تظهر بعض الدوائر في صورة بسيطة تحتوى على عدد قليل من الحلقات و العقد . في هذه الحالة يمكن عمل بعض الاختصارات لنبسط الدائرة و تسهيل الحصول على قيم الجهود و التيارات المطلوبة و سنوضح ذلك ببعض الأمثلة
مثال (٤-١) دائرة بسيطة ذات حلقة واحدة .



شكل (٤-١) يبين دائرة مكونة من مجموعة من المقاومات متصلة على التوالي و يغذيها مصدر جهد قيمته U كما في الشكل
نحصل على التيار في الدائرة من العلاقة .

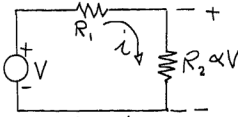
$$i = \frac{U}{R_1 + R_2 + \dots + R_n}$$

و للحصول على الجهد بين طرفي أى مقاومة نضرب التيار في قيمة المقاومة فمثلاً
الجهد على المقاومة R_n هو

$$U_n = iR_n = U \frac{R_n}{R_1 + R_2 + \dots + R_n}$$

و في حالة وجود مقاومتين فقط تعرف الدائرة بمجزئ الجهد Potential Divider
فإذا أردنا الحصول على جهد مقداره au من مصدر جهده V فإننا نحتاج إلى

مقاومتين R_1, R_2 توصلان على التوالي مع المصدر كما في الشكل (٢-٤) بحيث



شكل (٢-٤)

$$a = \frac{R_2}{R_1 + R_2} \quad \text{تكون}$$

$$R_2 = R_1 \frac{(1-a)}{a} \quad \text{أى أن}$$

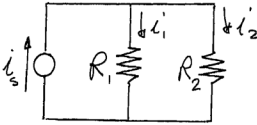
و حدير بالملاحظة أن هذه

العلاقات صحيحة فقط في حالة ما إذا كان التيار i يمر بكلا المقاومتين R_1, R_2 أى أنه

لا يوجد تيار خارج من الدائرة عند الطرف الذى نقيس عنده الجهد av

Current Division

مثال (٢-٤) تجزئ التيار



شكل (٢-٤)

تمر بنا كثير من الدوائر

مثل التى في الشكل (٣-٤)

حيث يتجزئ التيار i_s إلى جزئين

i_1 في الفرع الذى مقاومته R_1

i_2 في الفرع الذى مقاومته R_2

و طبقاً لقانون كيرتشوف للتيار

$$i_s = i_1 + i_2$$

$$= (G_1 + G_2)v$$

$$v = \frac{i_s}{G_1 + G_2}$$

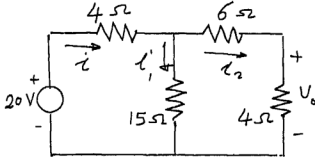
$$i_1 = G_1 v = i_s \frac{G_1}{G_1 + G_2}$$

$$i_2 = G_2 v = i_s \frac{G_2}{G_1 + G_2}$$

و بدلالة المقاومة فإن

$$i_1 = \frac{R_2}{R_1 + R_2} i_s$$

$$i_2 = \frac{R_1}{R_1 + R_2} i_s$$



شكل (٤-٤)

مثال (٤-٣) في الدائرة
المبينة في شكل (٤-٤) أحسب
 i ، i_1 ، i_2 و القدرة الخارجة
من المصدر و القدرة المفقودة في
المقاومات و الجهد الخارج U_0
المقاومة المكافئة المتصلة بالمصدر هي

$$R_e = 4 + \frac{15(6+4)}{15+(6+4)}$$

$$i = \frac{20}{10} = 2$$

$$i_1 = 2 \frac{10}{15+10} = 0.8A$$

$$i_2 = 2 \frac{15}{15+10} = 1.2A$$

القدرة الخارجة من المصدر

$$P_s = 20 \times 2 = 40 \text{ watt}$$

القدرة المفقودة في المقاومات

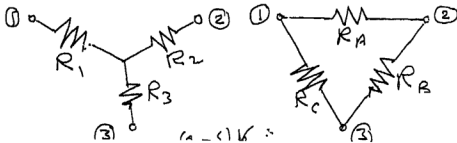
$$P = (0.8)^2 \times 6 + (1.2)^2 \times 15 + (2)^2 \times 4 = 40 \text{ watt}$$

$$U_0 = i_2 \times R = 1.2 \times 4 = 4.8 \text{ v.}$$

٢-٤ تحويل نجمة دلنا ($\Delta = Y$) Delta Transformation

من التوصيلات التي تتكرر كثيراً في الدوائر الكهربائية توصيلة نجمة Δ و دلنا

Δ حيث لكل منها ثلاثة أطراف للتوصيل الخارجى كما في شكل (٤-٥)



و تبقى الدوائر التي تحتوى على هذه الصور يلزم في كثير من الأحيان التحويل من إحدى الصور إلى الصورة الأخرى و تحويل Δ - Λ يعطى العلاقة بين قيم المقاومات في الدائرتين بحيث أن أيّاً منهما محل محل الأخرى دون ان يؤثر ذلك على بقية الدائرة المتصلة بالأطراف الثلاثة .

فإذا كان لدينا ثلاث مقاومات متصلة في صورة دلتا Δ و نود الحصول على توصيلة Λ المكافئة فإننا نحصل على العلاقة بين المقاومات في الدائرتين إذا ساوينا المقاومات بين أى طرفين عندما يكون الطرف الثالث مفتوحاً . و بذلك نحصل على ثلاث علاقات هي

بين الطرفين 1,2

$$R_{12} = R_1 + R_2 = \frac{R_A(R_C + R_B)}{R_A + R_B + R_C}$$

بين الطرفين 3,2

$$R_{23} = R_2 + R_3 = \frac{R_B(R_A + R_C)}{R_A + R_B + R_C}$$

بين الطرفين 1,3

$$R_{31} = R_3 + R_1 = \frac{R_C(R_A + R_B)}{R_A + R_B + R_C}$$

من العلاقات الثلاثة السابقة يمكن الحصول على R_3, R_2, R_1 المتصلة Λ و المكافئة لـ R_A, R_B, R_C المتصلة Δ في شكل (٤-٥)

فمثلاً نحصل على R_1 بجمع الأولى و الثالثة و طرح الثانية فنجد ان

$$R_1 = \frac{R_A R_C}{R_A + R_B + R_C} \quad (4-1)$$

و بالمثل يمكن الحصول على R_3, R_2 حيث

$$R_2 = \frac{R_A R_B}{R_A + R_B + R_C} \quad (4-2)$$

$$R_3 = \frac{R_B R_C}{R_A + R_B + R_C} \quad (4-3)$$

أيضاً إذا كانت عناصر توصيله Δ هي المعروفة فيمكن الحصول على عناصر Δ المكافئة بمساواة المواصلة بين كل طرفين عندما يكون الطرف الثالث مقصور Short Circuit

$$G_A + G_B = \frac{G_2 + (G_1 + G_2)}{G_1 + G_2 + G_3}$$

بين 2, 3 عندما يكون 1 مقصوراً إلى 2

$$G_b + G_c = \frac{G_3(G_1 + G_2)}{G_1 + G_2 + G_3}$$

بين 1, 3 عندما يكون 2 مقصوراً إلى 3

$$G_c + G_A = \frac{G_3(G_3 + G_2)}{G_1 + G_2 + G_3}$$

و من العلاقات الثلاثة السابقة يسهل الحصول على

$$G_A = \frac{G_1 G_2}{G_1 + G_2 + G_3} \quad (4-4)$$

$$G_B = \frac{G_2 G_3}{G_1 + G_2 + G_3} \quad (4-5)$$

$$G_C = \frac{G_3 G_1}{G_1 + G_2 + G_3} \quad (4-6)$$

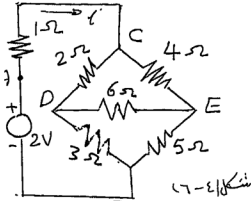
كما يمكن كتابة العلاقات السابقة بدلالة المقاومات كالآتي :-

$$R_A = R_1 + R_2 + \frac{R_1 R_2}{R_3} \quad (4-7)$$

$$R_B = R_2 + R_3 + \frac{R_2 R_3}{R_1} \quad (4-8)$$

$$R_C = R_1 + R_3 + \frac{R_1 R_3}{R_2} \quad (4-9)$$

مثال (٤-٤) لحساب التيار في الدائرة المبينة في شكل (٦-٤) نحتاج إلى



شكل (٦-٤)

حساب المقاومة المكافئة للدائرة

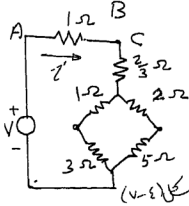
بين النقطتين A, B والحصول

على المقاومة المكافئة R_{AB} يلزم

تحويل الـ ΔEDC إلى λ

و تصبح الدائرة كما في

شكل (٤ - ٧) حيث تكون



شكل (٧-٤)

$$R_{AB} = 1 + \frac{2}{3} + \frac{(2+5)(1+3)}{(2+5)+(1+3)} = 4.2 \, \Omega$$

و يكون التيار

$$i = \frac{2}{4.2} = 0.476 \, A$$

و يمكن الوصول لنفس النتيجة بعمل تحويلات أخرى مثل تحويل الجزئية CDEB إلى دلتا و هكذا

٣-٤ الحل باستخدام معادلات تيار الحلقة Loop Current Equations

تعتمد هذه الطريقة على تطبيق قانون كيرتشف للجهود (KVL) حول ممر

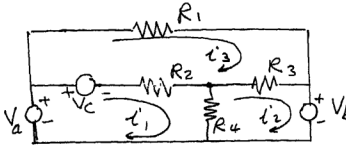
مغلق . و يعرف تيار الحلقة بأنه التيار الذي يمر في جميع المقاومات التي تغلق الحلقة . فإذا

نظرنا إلى الدائرة البسيطة في شكل (٨ - ٤) نجد أنها مكونة من ثلاث حلقات مستقلة

كتابة معادلات هذه الدائرة نفرض تيارات الحلقات i_1 ، i_2 ، i_3 ، و سوف

نستخدم اصطلاحاً الاتجاهات المبينة (في اتجاه عقارب الساعة) . ثم نطبق قانون

كيرتشف للجهود لكتابة معادلة لكل حلقة .



شكل (٤-٨)

الحلقة الأولى :-

$$V_a - V_c = (i_1 - i_3)R_2 + (i_1 - i_2)R_4$$

الحلقة الثانية :-

$$-V_b = (i_2 - i_1)R_4 + (i_2 - i_3)R_3$$

الحلقة الثالثة :-

$$V_c = i_3 R_1 + (i_3 - i_2)R_3 + (i_2 - i_1)R_3$$

بإعادة ترتيب المعادلات السابقة يمكن كتابتها على الصورة .

$$V_a - V_c = (R_2 + R_4)i_1 - R_4 i_2 - R_2 i_3$$

$$-V_b = -R_4 i_1 + (R_3 + R_4)i_2 - R_3 i_3$$

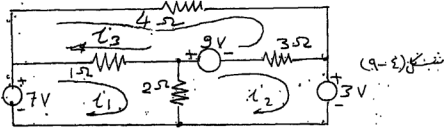
$$V_c = -R_2 i_1 - R_3 i_2 + (R_1 + R_2 + R_3)i_3$$

و يمكن وضع هذه المعادلات في صورة مصفوفة كالتالي

$$\begin{bmatrix} V_a - V_c \\ -V_b \\ V_c \end{bmatrix} = \begin{bmatrix} R_2 + R_4 & -R_4 & -R_2 \\ -R_4 & R_3 + R_4 & -R_3 \\ -R_2 & -R_3 & R_1 + R_2 + R_3 \end{bmatrix} \begin{bmatrix} i_1 \\ i_2 \\ i_3 \end{bmatrix}$$

و نحل هذه المعادلة نحصل على التيارات i_1 ، i_2 ، و i_3 و منها نحصل على تيارات العناصر . فمثلاً التيار المار في المقاومة R_2 هو $(i_1 - i_3)$ و التيار المار في المقاومة R_4 هو $(i_1 - i_2)$ و هكذا

مثال (٥-٤) الدائرة المبينة في شكل (٩-٤) .



إذا طبقنا الخطوات السابقة نجد أن معادلات الدائرة تكون على صورة المصفوفة

$$\begin{bmatrix} 7 \\ -9-3 \\ 9 \end{bmatrix} \begin{bmatrix} 1+2 & -2 & -1 \\ -2 & 2+3 & -3 \\ -1 & -3 & 1+3+4 \end{bmatrix} \begin{bmatrix} i_1 \\ i_2 \\ i_3 \end{bmatrix}$$

$$\begin{bmatrix} 7 \\ -12 \\ 9 \end{bmatrix} = \begin{bmatrix} 3 & -2 & -1 \\ -2 & 5 & -3 \\ -1 & -3 & 8 \end{bmatrix} \begin{bmatrix} i_1 \\ i_2 \\ i_3 \end{bmatrix}$$

نحل هذه المعادلات بتطبيق قاعدة كرامر مثلاً نجد أن

$$i_1 = 2A \quad \text{و} \quad i_2 = -1A \quad \text{و} \quad i_3 = 1A$$

و الإشارة السالبة لـ i_2 تعني أن سريان التيار i_2 هو عكس التيار المفروض

و للحصول على التيار في المقاومة 2Ω نجد أنه يساوى $i_1 - i_2$ أى يساوى

$$V = 2 \times 3 = 6V \quad \text{و فرق الجهد} \quad 3A = 2 - (-1)$$

و بصفة عامة إذا كان لدينا دائرة تحتوى على عدد n حلقة مستقلة فإننا يمكن أن

نكتب معادلات الدائرة على صورة مصفوفة

$$[V] = [R] \cdot [i]$$

(4-11)

حيث

$$[V]^T = [V_1 \ V_2 \ V_3 \ \dots \ V_5 \ \dots \ V_n]$$

حيث V_i هي مجموع جهود المصادر في الحلقة i مع اعتبار جهد المصدر موجباً إذا كان تيار الحلقة خارجاً من القطب الموجب للمصدر و سالباً إذا كان غير ذلك..

المصفوفة $[R]$ هي مصفوفة مربعة $n \times n$ على الصورة

$$[R] = \begin{bmatrix} R_{11} & R_{12} & \dots & R_{1i} & \dots & R_{1n} \\ R_{21} & R_{22} & \dots & R_{2i} & \dots & R_{2n} \\ R_{31} & R_{32} & \dots & R_{3i} & \dots & R_{3n} \\ \dots & \dots & \dots & \dots & \dots & \dots \\ R_{i1} & R_{i2} & \dots & R_{ii} & \dots & R_{in} \\ \dots & \dots & \dots & \dots & \dots & \dots \\ R_{n1} & R_{n2} & \dots & R_{ni} & \dots & R_{nn} \end{bmatrix}$$

و تحتوى هذه المصفوفة على نوعين من العناصر هما

النوع الأول : العناصر التي تحمل إسم الحلقة مرتين $i = i$ ، R_{ii} ، R_{jj} ، و

هي العناصر المكونة لقصر المصفوفة و هي تساوى مجموع المقاومات التي تغلق الحلقة ولها دائماً إشارة موجبة و يطلق عليها المقاومة الذاتية Self Resistance للحلقة

النوع الثاني : و هي العناصر التي تحمل إسم حلقتين R_{ij} حيث $j \neq i$ و هي

المقاومة المشتركة بين حلقة i و الحلقة j و يسرى بها كلا التياران i ، j و تكون إشارتها موجبة إذا كان سريان التياران بها في نفس الاتجاه . و سالبة إذا كان سريان التياران بها في اتجاهين متضادين .

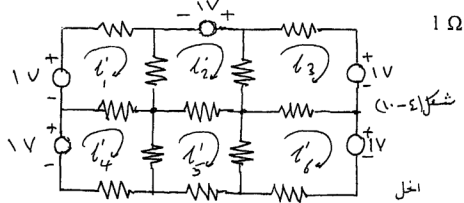
$$[i]^T = [i_1 \ i_2 \ \dots \ i_i \ \dots \ i_n]$$

هي متجه انيارات المفروضة في الحلقات و هي المجاهيل المطلوب الحصول عليها

عند حل الدائرة .

مثال (٤-٦)

أكتب معادلات الدائرة المبنية في شكل (٤-١٠) علماً بأن جميع المقاومات



$$\begin{bmatrix} 1 \\ 1 \\ -1 \\ 1 \\ 0 \\ -1 \end{bmatrix} = \begin{bmatrix} 3 & -1 & 0 & -1 & 0 & 0 \\ -1 & 3 & -1 & 0 & -1 & 0 \\ 0 & -1 & 3 & 0 & 0 & -1 \\ -1 & 0 & 0 & 3 & -1 & 0 \\ 0 & -1 & 0 & -1 & 4 & -1 \\ 0 & 0 & -1 & 0 & -1 & 3 \end{bmatrix} \begin{bmatrix} i_1 \\ i_2 \\ i_3 \\ i_4 \\ i_5 \\ i_6 \end{bmatrix}$$

و يمكن الحصول على التيارات من حل المعادلة حيث يكون الحل على الصورة

$$[i] = [R]^{-1}[V]$$

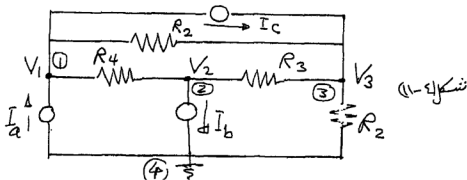
٤-٤ الحل باستخدام جهد العقدة :-

Node Voltage Equations

إذا كانت الدائرة تحتوي على عدد (n-1) عقدة فإننا نأخذ إحدى هذه العقد

لتكون مرجعاً Reference node تنسب إليه جهود باقي العقد و تكون هذه الجهود هي

المجاهيل التي نحصل عليها بحل الدائرة. ولا يوضح ذلك نأخذ الدائرة المبنية بشكل (٤-١١)



تتكون الدائرة من أربعة عقد تتصل بينهما مصادر التيار و المقاومات بأختيار
 العقدة 4 كمرجع جهده صفر يكون لدينا ثلاث جهود للعقد V_1 ، V_2 ، V_3 و
 بتطبيق قانون كيرتشفوف للتيار (KCL) عند كل عقدة تكون المعادلات الدائرة كالاتي
 -:

عند العقدة (١)

$$I_a - I_c = \frac{V_1 - V_2}{R_4} + \frac{V_1 - V_3}{R_2}$$

عند العقدة (٢)

$$-I_b = \frac{V_2 - V_1}{R_4} + \frac{V_2 - V_3}{R_3}$$

عند العقدة (٣)

$$I_c = \frac{V_3}{R_1} + \frac{V_3 - V_1}{R_2} + \frac{V_3 - V_2}{R_3}$$

بوضع $G_i = \frac{1}{R_i}$ و إعادة ترتيب الحدود يمكن وضع المعادلات السابقة على
 الصورة .

$$I_a - I_c = (G_2 + G_4)V_1 - G_4V_2 - G_2V_3$$

$$-I_b = -G_4V_1 + (G_3 + G_4)V_2 - G_1V_3$$

$$I_c = -G_2V_1 - G_3V_2 + (G_1 + G_2 + G_3)V_3$$

و نكتب هذه المعادلات على شكل مصفوفة كالاتي :-

$$\begin{bmatrix} i_1 \\ i_2 \\ i_3 \end{bmatrix} = \begin{bmatrix} (G_3 + G_4) & -G_4 & -G_2 \\ -G_4 & (G_3 + G_4) & -G_3 \\ -G_2 & -G_3 & (G_1 + G_2 + G_3) \end{bmatrix} \begin{bmatrix} V_1 \\ V_2 \\ V_3 \end{bmatrix}$$

و بحل المعادلات السابقة نحصل على الجاهيل V_1 ، V_2 ، V_3 .

و بصفة عامة إذا كانت الدائرة تحتوى على ($n+1$) عقدة فإننا يمكن أن نكتب عدد n معادلة مستقلة على الصورة .

$$\begin{bmatrix} i_1 \\ i_2 \\ \vdots \\ i_i \\ \vdots \\ i_j \\ \vdots \\ i_n \end{bmatrix} = \begin{bmatrix} G_{11} & G_{12} & \dots & G_{1i} & \dots & G_{1j} & \dots & G_{1n} \\ G_{21} & G_{22} & \dots & G_{2i} & \dots & G_{2j} & \dots & G_{2n} \\ \dots & \dots & \dots & \dots & \dots & \dots & \dots & \dots \\ G_{i1} & G_{i2} & \dots & G_{ii} & \dots & G_{ij} & \dots & G_{in} \\ \dots & \dots & \dots & \dots & \dots & \dots & \dots & \dots \\ G_{j1} & G_{j2} & \dots & G_{ji} & \dots & G_{jj} & \dots & G_{jn} \\ G_{n1} & G_{n2} & \dots & G_{ni} & \dots & G_{nj} & \dots & G_{nn} \end{bmatrix} \begin{bmatrix} V_1 \\ V_2 \\ \vdots \\ V_i \\ \vdots \\ V_j \\ \vdots \\ V_n \end{bmatrix}$$

أو

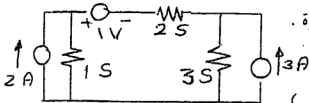
$$[i] = [G][V] \quad (4-12)$$

حيث i_i هو مجموع مصادر التيار المتصلة بالعقدة i باعتبار التيار الداخل للعقدة موجب و التيار الخارج من العقدة سالب الإشارة .

G_{ii} ، G_{jj} ، الموصلات التي تحمل إسم عنده مرتين و هى تمثل مجموع الموصلات المتصلة بالعقدة و تكون دائماً موجبة الإشارة و تعرف بالموصلة الذاتية للعقدة Self Conductance .

G_{ij} ، $(i \neq j)$ هى مجموع الموصلات المتصلة بصورة مباشرة بين العقدين i ، j و تعرف بالموصلة المتبادلة بينهما Mutual Inductance و تكون إشارتها سالبة إذا كان V_i ، V_j لهما نفس الإشارة بالنسبة للعقدة الموجبة و هذا الوضع هو الذى تفرض على جميع الجهود فى كل الأحوال .

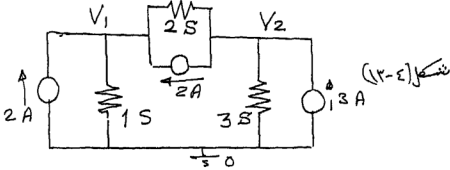
V_i هى جهود العقد و هى المجاهيل التى نحصل عليها بحل المعادلات و بمعرفتها نحصل على جهود و تيارات عناصر الدائرة .



مثال (٧-٤)

الدائرة المبينة فى شكل (١٢-٤)

حل الدائرة باستخدام معادلات جهد العقدة يلزم أولاً تحويل مصدر الجهد إلى مصدر تيار لتصبح كما في شكل (١٣-٤)



و تكون معادلات الدائرة .

$$\begin{bmatrix} 2+2 \\ 2-3 \end{bmatrix} = \begin{bmatrix} 1+2 & -2 \\ -2 & 2+3 \end{bmatrix} \begin{bmatrix} V_1 \\ V_2 \end{bmatrix}$$

أو

$$\begin{bmatrix} 4 \\ 1 \end{bmatrix} = \begin{bmatrix} 3 & -2 \\ -2 & 5 \end{bmatrix} \begin{bmatrix} V_1 \\ V_2 \end{bmatrix}$$

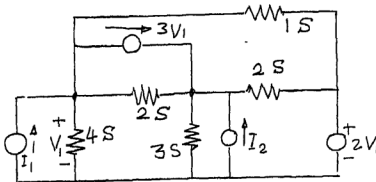
و منها

$$\begin{bmatrix} V_1 \\ V_2 \end{bmatrix} = \frac{1}{11} \begin{bmatrix} 5 & 2 \\ 2 & 3 \end{bmatrix} \begin{bmatrix} 4 \\ 1 \end{bmatrix} = \begin{bmatrix} 2 \\ 1 \end{bmatrix}$$

أى أن $V_1 = 2 \text{ v}$ ، $V_2 = 1 \text{ v}$

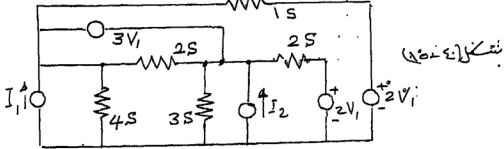
مثال (٨-٤)

الدائرة المبينة في شكل (١٤-٤) تحتوى على مصدر تيار محكوم بالجهد V_1 و مصدر جهد تتكوم بالتيار

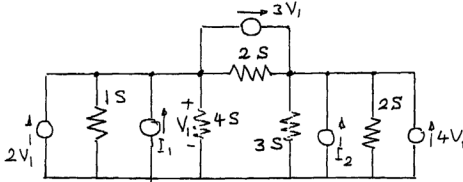


شكل (١٤-٤)

و لحل الدائرة باستخدام جهد يلزم تحويل مصدر الجهد ($2V_1$) إلى مصدر تيار و كذلك لابد من تعديل الدائرة لتصبح كما في شكل (٤-١٥)



ثم يتم تحويل مصادر الجهد إلى مصادر تيار لتصبح الدائرة كما في شكل (٤-١٦)



و تكون المعادلات التي تصف الدائرة على الصورة

$$\begin{bmatrix} I_1 + 2V_1 - 3V_1 \\ I_2 + 3V_1 + 4V_1 \end{bmatrix} = \begin{bmatrix} 1+4+2 & -2 \\ -2 & 2+3+2 \end{bmatrix} \begin{bmatrix} V_1 \\ V_2 \end{bmatrix}$$

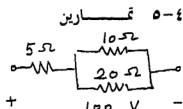
ثم بإعادة ترتيب المتغيرات نحصل على المعادلات التي تربط المتغيرات V_1 ، V_2 بالمصادر المستقلة I_1 ، I_2 كالآتي :-

$$\begin{bmatrix} I_1 \\ I_2 \end{bmatrix} = \begin{bmatrix} 8 & -2 \\ -9 & 7 \end{bmatrix} \begin{bmatrix} V_1 \\ V_2 \end{bmatrix}$$

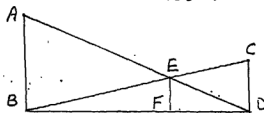
و منها نحصل على قيمة الجهد V_1 ، V_2 حيث

$$\begin{bmatrix} V_1 \\ V_2 \end{bmatrix} = \frac{1}{38} \begin{bmatrix} 7 & 2 \\ 9 & 8 \end{bmatrix} \begin{bmatrix} I_1 \\ I_2 \end{bmatrix}$$

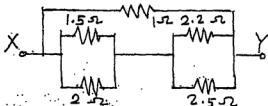
- 4-1 In the circuit shown calculate the power in each resistance and the voltage across the $5\ \Omega$ resistance



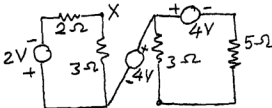
- 4-2 If A B represents a resistance R_1 and CD represents a resistance R_2 show that EF represents the value of the equivalent resistance of R_1 and R_2 in parallel



- 4-3 Find graphically and check by calculations the resistance between X Y.



- 4-4 Two resistors R_1 and R_2 are $2.5\ \text{K}\Omega$ and $4\ \text{K}\Omega$ respectively. The two resistors are connected in series to a $100\ \text{V}$ supply. The voltage across R_1 and R_2 are measured successively by a voltmeter having a resistance of $50\ \text{K}\Omega$ find the sum of the two readings.

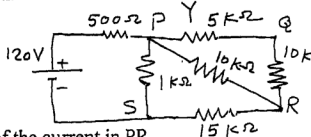


- 4-5 Calculate the difference of potential between points X and Y in the circuit shown.

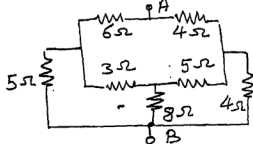
- 4-6 Determine

- (a) the current given by the battery (b) the p.d across RS (c) the

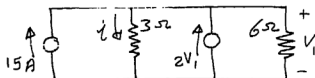
- magnitude and directions of the current in PR.



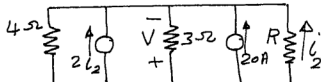
- 4-7 Determine the resistance between points A and B in the network shown.



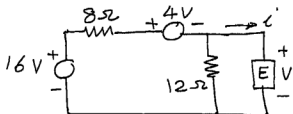
4-8 Determine i and V_1 in the circuit shown.



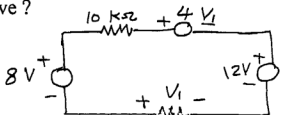
4-9 Find R so that $V = 24$ v



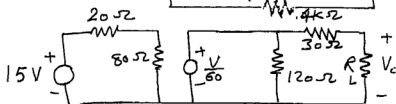
4-10 Find V and i
If the power supplied by the 16 v source is 8 watt.
Is the element E active or passive?



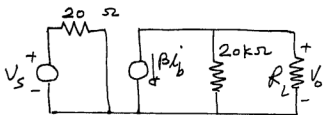
4-11 Find the power absorbed by each element.



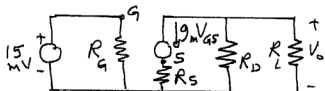
4-12 If $R_L = 60 \Omega$ find V_0



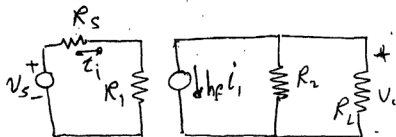
4-13 Find V_0 given
 $B = 44$ $V_2 = 10$ v
and $R_1 = 2$ K Ω



4-14 Determine V_0 given
 $g_m = 5$ ms, $R_D = 2$ k Ω ,
 $R_S = 100 \Omega$, $R_G = 10$ M Ω
and $R_L = 2$ k Ω



4-15 Find V_0/V_s

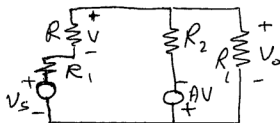


4-16 For $V_0 = 10$ v find V_s

$$R_1 = 1 \text{ K}\Omega \quad A = 10^3$$

$$R = 10 \text{ K}\Omega \quad R_2 = 100 \Omega$$

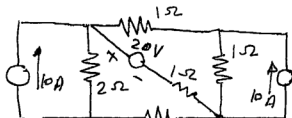
$$R_L = 10 \text{ k}\Omega$$



4-17 Repeat problem 4-16 with the same values except for

$$R = 10^5 \Omega \quad A = 10^5 \text{ what is the value of } V_s \text{ if } A \rightarrow \infty$$

4-18 find the voltage across the 2Ω resistance using a) loop analysis b) node analysis

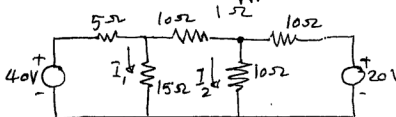


4-19 determine

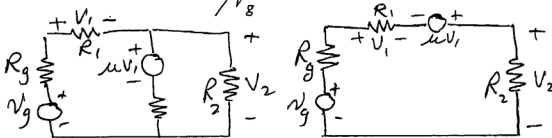
I_1 and I_2 using

a) Loop analysis.

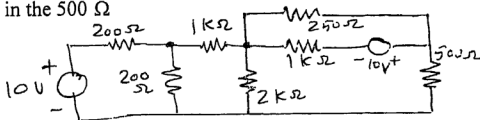
b) node analysis.



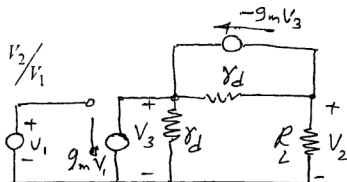
4-20 determine the ratio V_2/V_1 for the two circuits shown.



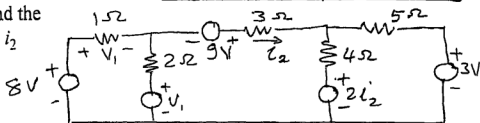
4-21 Use either mesh analysis or nodal analysis to find the current in the 500Ω



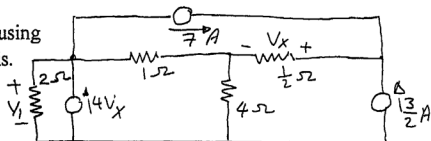
4-21 Find the voltage ratio V_2/V_1



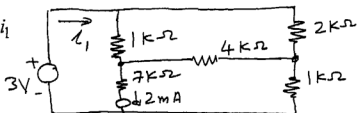
4-22 find the current i_2



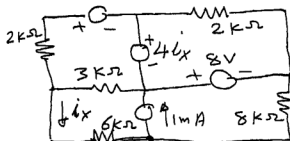
4-23 find V_1 using nodal analysis.



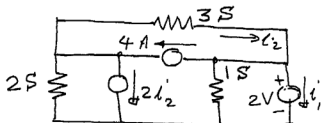
4-24 find the current i_1 using mesh analysis.



4-25 find the current i_x and the power supplied by the 8V source.



4-26 Determine the current i_1 using nodal analysis



الفصل الخامس

حل الدوائر

التي تحتوى عناصر خازنة للطاقة

Solution of Circuits Containing Energy Storage Elements

رأينا فيما سبق أن المكثفات Capacitors و المحاثات Inductors عناصر مخزنة للطاقة و أن علاقات الجهد و التيار لهذه العناصر هي علاقات تفاضلية أو تكاملية و أن وجود هذه العناصر في الدوائر يؤدي إلى معادلات تفاضلية خطية ذات معاملات ثابتة من

الدرجة النونية .

n^{th} order linear differential equations with constant coefficients .

على الصورة

$$a_n \frac{dx^n}{dt^n} + a_{n-1} \frac{dx^{(n-1)}}{dt^{n-1}} + \dots + a_1 \frac{dx}{dt} + a_0 x = f(t)$$

حيث X متغير زمني عادة ما يعبر عن الجهد voltage او التيار current أو الشحنة charge أو الفيض flux.

a_i ثوابت تعتمد على قيم العناصر R, L, C على فرض أن هذه القيم لا تتغير مع الزمن .

$f(t)$ هي دالة تمثل تجمع خطي Linear combination لمصادر الجهد و مصادر التيار المستقلة في الدائرة و أحياناً يطلق عليها دالة الإثارة للدائرة Excitation

وبحل الدائرة نحصل على المتغير X و عادة ما يطلق على هذا الحل استجابة الدائرة Response

و تتوقف درجة المعادلة على عدد و نوعية العناصر الخازنة للطاقة .

و الخلل العام لهذا النوع من المعادلات يتكون من جزئين

The complementary solution الحل المكمل

The particular solution الحل الخاص

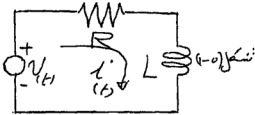
و يكون الحل العام The general solution هو مجموع الحلين . و سوف نتعرض فيما يلي لبعض الحالات البسيطة .

١-٥ دوائر الدرجة الأولى First order circuits

و هذه الدوائر تحتوى على عنصر واحد من العناصر الخازنة للطاقة و أى عدد من المقاومات و بتطبيق قانونى كيرتشوف KCL ، KVL على هذه الدوائر تنتج معادلة تفاضلية من الدرجة الأولى . و تكون على الصورة .

$$a_1 \frac{dx(t)}{dt} + a_0 x(t) = f(t) \quad (5-1)$$

حيث $f(t)$ هى الإثارة الخارجية المؤثرة فى الدائرة ، $x(t)$ هى استجابة الدائرة لهذه الإثارة .



مثال (١-٥)

الدائرة المبينة فى شكل (١-٥)

تحتوى على عنصر واحد خازن

للطاقة هو المحثة L و مقاومة R ، و مصدر جهد $V(t)$ يمثل الإثارة Excitation للدائرة . و التيار $i(t)$ هو إستجابة الدائرة Response لهذه الإثارة و بتطبيق KVL على هذه الدائرة نجد أن

$$i(t)R + L \frac{di(t)}{dt} = V(t)$$

و هى معادلة تفاضلية من الدرجة الأولى على الصورة (١-٥) حيث

$$a_0 = R, \quad a_1 = L$$

و إذا كانت $f(t)$ مساوية للصفر تكون المعادلة (١-٥) على الصورة المتجانسة .

Homogenous first order diff. Eqn.

$$a_1 \frac{dx(t)}{dt} + a_0 x(t) = 0$$

و هذا النوع من المعادلات ينشأ عن الدوائر التى لا تحتوى على مصادر إثارة

خارجية و تكون الإستجابة الناتجة ناشئة عن الحالة الابتدائية Initial condition

للدائرة. فمثلاً في الدائرة المبينة في شكل (١-٥) إذا كانت $V_{L_0} = 0$ فإن معادلة الدائرة تصبح على الصورة .

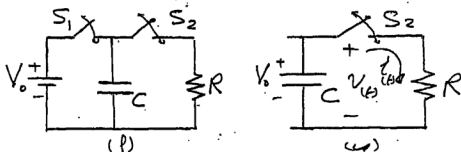
$$L \frac{di}{dt} + iR = 0$$

و يكون التيار i المار في بالدائرة ناشئاً عن الطاقة الابتدائية المخزنة بالمحاث في

صورة تيار ابتدائي initial current

١-١-٥ الإثارة بالحالة الابتدائية

كمثال لهذا النوع من الدوائر نأخذ الدائرة المبينة بشكل (٢-٥)



سنبين كيف (٥-٢-٢)

إذا كان المفتاح S_1 مغلقاً لفترة زمنية طويلة بينما يكون المفتاح S_2 مفتوحاً . فإن المكثف سوف يكون مشحوناً و يكون الجهد على طرفيه V_0 . فإذا فتحنا المفتاح S_1 ثم أغلقنا المفتاح S_2 عند اللحظة الزمنية $t = 0$ فإن الدائرة تصبح كما في شكل (٢-٥-ب)

وتكون الطاقة المخزنة في المكثف عند هذه اللحظة هي $\frac{1}{2} C V_0^2$

ابتداء من هذه اللحظة الزمنية واللحظات التالية $t \geq 0$ تنتقل الشحنة من أحد لوحى المكثف إلى اللوح الآخر عبر المقاومة R و يؤدي هذا إلى فقد في الطاقة مقداره $i(t)^2 R$ و هذا الفقد في الطاقة يقلل فرق الجهد بين طرفى المكثف و يقلل التيار حيث $i(t) = \frac{V(t)}{R}$ و يستمر ذلك حتى يصل الجهد بين طرفى المكثف و كذلك التيار إلى الصفر و المعادلات الرياضية لتغير الجهد $V(t)$ و التيار $i(t)$ نحصل عليها بتطبيق KVL على الدائرة حيث نجد أن

$$V(t) + RC \frac{dV(t)}{dt} = 0 \quad t \geq 0$$

و هذه معادلة من الدرجة الأولى يمكن حلها بطريقة فصل المتغيرات

Separation of Variables كالتالي

$$\frac{dV(t)}{dt} = -\frac{1}{RC} V(t)$$

$$\frac{dV(t)}{V(t)} = -\frac{1}{RC} dt$$

بتكامل الطرفين

$$L_n V(t) = -\frac{1}{RC} t + K$$

أو

$$V(t) = A e^{-t/RC} \quad \therefore t \geq 0$$

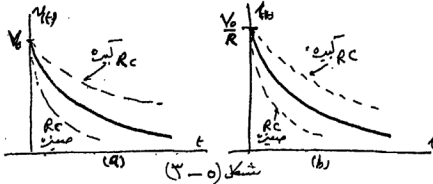
at $t=0$ $V(t) = V_0 \quad \therefore A = V_0$

$$V_t = V_0 e^{-t/RC} \quad (5-2)$$

و كذلك التيار i

$$i(t) = \frac{dV_t}{dt} = \frac{V_0}{R} e^{-t/RC} \quad (5-3)$$

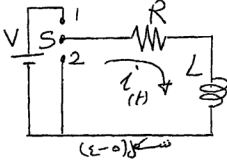
إذا رسمنا الجهد و التيار مع الزمن نحصل على الأشكال (٣-٥) ، (٣-٥ - ب)



و تعرف العلاقة (٣-٥) ، (٣-٥ - ب) بالتغير الأسى المضمحل للجهد و التيار

the decaying exponential variation of the voltage and current

و تتحكم قيمة حاصل الضرب RC في معدل إضمحلال الجهد أو التيار فإذا كانت قيمة RC كبيرة كان الإضمحلال بطيئاً وإذا كانت قيمة RC صغيرة كان الأضمحلال سريعاً .



شكل (٤-٥)

أيضاً في الدائرة المبينة بشكل (٤-٥)

و المكونة من مقاومة و محث . إذا كان المفتاح S في الوضع 1 لفترة زمنية طويلة ثم نقلناه فجأة للوضع 2 عند

اللحظة الزمنية $t = 0$ فإنه بتطبيق قانون كيرتشفوف KVL تكون معادلة التيار

$$L \frac{di}{dt} + iR = 0 \quad t \geq 0$$

$$i = Be^{-\frac{R}{L}t}$$

و يكون حل المعادلة على الصورة

$$\text{at } t = 0 \quad i = V/R$$

$$i(t) = \frac{V}{R} e^{-\frac{R}{L}t} \quad (5-4)$$

و هي نفس الصورة الأسية المضمحلة كما في العلاقات (٢-٥) ، (٣-٥) حيث يعتمد معدل الإضمحلال في هذه الحالة على القيمة (L/R)

٥-١-٢ خواص الدالة الأسية المضمحلة

The decaying Exponential function

عرفنا أن دوائر الدرجة الأولى RC ، RL كلاهما يمكن وصفه بمعادلة تفاضلية من

الدرجة الأولى على الصورة

$$\frac{dx}{dt} + ax = 0$$

و ذلك عندما تكون الدائرة تحت تأثير الحالة الابتدائية فقط . و أن إستجابة

الدائرة تكون على الصورة العامة

$$x = X_0 e^{-t/\tau} \quad t \geq 0 \quad (5-5)$$

حيث x متغير يعبر عن الجهد أو التيار

X_0 هي القيمة الابتدائية لهذا المتغير عند $t = 0$

τ مقدار ثابت يعرف بالثابت الزمني Time constant ووجدنا أن قيمته تعتمد

على عناصر الدائرة ففي الدوائر الحثية RL $\tau = L/R$ و في الدوائر

السعوية RC $\tau = RC$

يمكن كتابة الاستجابة في العلاقة (٥-٥) على الصورة

$$\frac{x}{X_0} = e^{-t/\tau} :$$

ومنها نجد أنه عند $t = \tau$

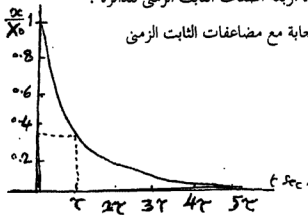
$$\frac{x}{X_0} = e^{-1} \cong 0.37$$

أي أن الاستجابة تصل إلى قيمة مقدارها 0.37 من قيمتها الابتدائية بعد مرور زمن يساوي الثابت الزمني للدائرة . أيضاً عند حساب قيمة الاستجابة بعد فترات زمنية مساوية لمضاعفات الثابت الزمني نجدها عند القيم المبينة في الجدول .

t/τ	0	1	2	3	4	5
$\frac{x}{X_0}$	1	0.37	0.14	0.05	0.018	0.0067

من القيم الموجودة في بالجدول نجد أن الإستجابة قد وصلت قيمتها إلى أقل من 2% من قيمتها الابتدائية بعد زمن مقداره أربعة أضعاف الثابت الزمني للدائرة .

و شكل ٦-٥ يبين تغير الاستجابة مع مضاعفات الثابت الزمني



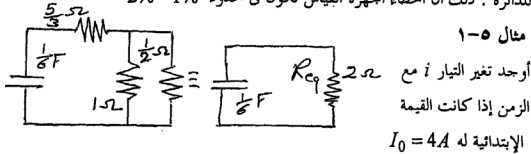
شكل (٥-٦)

و مفهوم الثابت الزمني له أهمية في الدوائر الكهربائية و بخاصة عند مقارنة إستجابات الدوائر المختلفة فمثلاً في حالة الدائرة المكونة من مقاومة و مكثف فإن الثابت الزمني $\tau = RC$. فإذا فرضنا أن هناك دائرة مكونة من مقاومة $R_1 = 100\Omega$ و مكثف سعته $C = 1000 \text{ pF}$ فإن $\tau_1 = 0.1 \text{ } \mu\text{sec}$.

و إذا فرضنا دائرة أخرى بها $R_2 = 100\Omega$ ، $C_2 = 10 \text{ F}$ فإن $\tau_2 = 1000 \text{ sec}$

و هذا معناه أنه في الدائرة الأولى يقل التيار فيها إلى 37% من قيمته الابتدائية بعد زمن مقداره $0.1 \text{ } \mu\text{sec}$ بينما في الدائرة الثانية يحتاج التيار إلى 1000 s أى حوالى 17 دقيقة ليهبط إلى نفس النسبة .

كما أننا نعتبر أن الإستجابة تصل إلى الصفر بعد زمن قدره أربعة أضعاف الثابت الزمني للدائرة . ذلك أن أخطاء أجهزة القياس تكون في حدود 1% - 2%



نلاحظ أن الدائرة بها مكثف واحد و لذلك فإنها تكون دائرة من الدرجة الأولى و يكون تغير التيار i على الصورة .

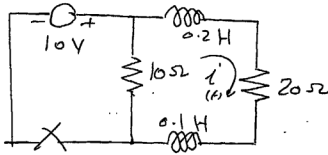
$$i = I_0 e^{-t/\tau}$$

و لتحديد قيمة الثابت الزمني τ نضع الدائرة على صورة مكثف مع مقاومة واحدة و هى المقاومة المكافئة للمقاومات الثلاثة المتصلة على طرفي المكثف و منها نحسب

$$\tau = R_{eq} C = \frac{1}{3} \text{ sec} .$$

و يكون تغير التيار

$$i = 4e^{-3t} \text{ Amp} \quad t \geq 0$$



مثال (٥-٢)

أوجد تغير التيار $i(t)$

مع الزمن للدائرة المبينة

عند فتح المفتاح S بعد

أن كان مغلقاً لفترة طويلة .

قبل فتح المفتاح S $t < 0$ يمر تيار 1 A في المقاومة 10Ω و 0.5 A في

المقاومة 20Ω و هذا التيار الأخير هو القيمة الابتدائية للتيار $i(t)$ لحظة فتح المفتاح S

$$I_0 = \frac{1}{2} A$$

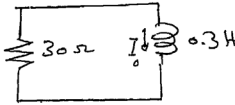
أيضاً بعد فتح المفتاح نلاحظ أن المقاومة $20, 10 \Omega$ على التوالي و كذلك المحاثات

متصلتين 0.1 H , 0.2 H

على التوالي و تكون الدائرة

كما بالشكل و هي من الدرجة

الأولى و يكون تغير التيار على الصورة .



$$i(t) = I_0 e^{-\frac{t}{\tau}}$$

$$0.015 \text{ sec.} = \frac{L}{R} = \text{حيث } \tau \text{ هي الثابت الزمني}$$

٣-١-٥ الإثارة بالمصادر

Excitation by sources

إذا كانت تغذية الدائرة تتم عن طريق مصادر مستقلة independent sources

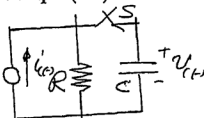
فإن الإستجابة الناتجة سوف تتحدد بقيمة المصدر و كذلك القيم الابتدائية لتيار المحاثات أو

جهد المكثف فإذا كانت هذه القيم مساوية للصفر عند البداية = $(t=0)$

Zero Initial conditions فإن الدائرة يطلق عليها إنها في الحالة الصفريّة

Zero State و تكون الإستجابة ناشئة عن المصدر فقط و يطلق عليها إستجابة الحالة الصفرية Zero State response وتكون المعادلة (5-1) هي التي تصف الدائرة

Example (5-3)



في الدائرة المبينة بالشكل بتطبيق KCL نجد أن

$$C \frac{dV(t)}{dt} + \frac{V(t)}{R} = i(t)$$

و هي معادلة تفاضلية من الدرجة الأولى على الصورة (5-1) و تختلف عن الحالة السابقة في وجود الدالة $i(t)$ حيث $i(t)$ دالة في الزمن و ليست دالة في $v(t)$ أو مشتقاته. الحل في هذه الحالة يتكون من جزئين . الجزء الأول يعرف بالحل التتمم

Complementary solution و نحصل عليه من حل المعادلة

$$C + = 0$$

و بنفس الطريقة السابقة يكون على الصورة الأسية المضمحلة

$$V_c(t) = Ke^{-t/RC} \quad (5-7)$$

و لا يعتمد على الإثارة المسلطة على الدائرة .

الجزء الثاني من الحل و يعرف بالحل الخاص Particular Solution و هذا الحل له طبيعة ذات صورة خاصة من دالة الإثارة المسلطة على الدائرة فمثلاً إذا كانت دالة الإثارة

$$i(t) = I \quad \text{ثابتة أى أن}$$

في هذه الحالة يكون الحل الخاص على صورة مقدار ثابت أى نفرض أن

$$V_p(t) = A$$

و للحصول على علاقة A بالدائرة نعوض بهذا الحل في معادلة الدائرة فنجد أن

$$\begin{aligned} \frac{1}{R} A &= I \\ V_p(t) &= A = IR \end{aligned} \quad (5-8)$$

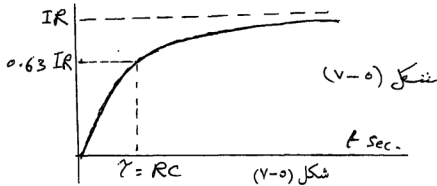
و يكون الحل العام هو مجموع الحلين (2-7) ، (2-8) أى أن

$$\begin{aligned}
 V(t) &= V_c(t) + V_p(t) \\
 &= K e^{-t/RC} + IR \quad (5-9)
 \end{aligned}$$

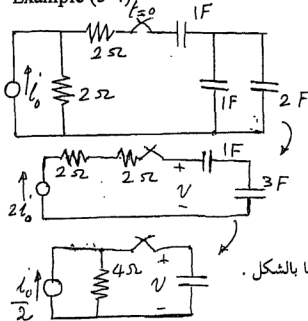
و للحصول على قيمة K نعوض في (5-9) بالحالة الابتدائية حيث $V(t) = 0$ عند $t = 0$ فنجد أن $k = -IR$ و الحل العام هو

$$V(t) = RI \left(1 - e^{-t/RC} \right) \quad t \geq 0$$

ويكون تغير جهد المكثف مع الزمن كما في شكل (٧-٥)



Example (5-4)



أوجد تغير الجهد V في الدائرة
المبينة عند غلق المفتاح و جميع
المكثفات غير مشحونة .

الدائرة تحتوي على ثلاث مكثفات
غير أنه يمكن إختصارها إلى مكثف
واحد و كذلك المصدر و المقاومات
يمكن تحويلها إلى مصدر و مقاومة كما بالشكل .
عند غلق المفتاح و من KCL

$$\frac{dv}{dt} + \frac{1}{3}v = \frac{2}{3}i_0$$

و يكون الحل

$$v(t) = 2i_0 \left(1 - e^{-t/3} \right)$$

Example (5-5)

اوجد التيار i في الدائرة إذا كان المصدر على الصورة $v = 10 \sin \omega t$

من KVL نجد أن معادلة الدائرة

$$iR + L \frac{di}{dt} = V_0 \sin \omega t$$

و يكون الحل المكمل

$$i(t) = K e^{-\frac{R}{L}t} = K e^{-2t}$$

نفرض الحل الخاص على الصورة

$$i_p(t) = A \sin \omega t + \beta \cos \omega t$$

و بالتعويض في معادلة الدائرة .

$$L\omega(A \cos \omega t - \beta \sin \omega t) + R(A \sin \omega t + \beta \cos \omega t) = V_0 \sin \omega t$$

بمساواة معاملات $\sin \omega t$ في الطرفين

$$-L\omega\beta + RA = V_0$$

بمساواة معاملات $\cos \omega t$ في الطرفين

$$L\omega A + RB = 0$$

بحل المعادلتين الأخيرتين نحصل على A, B كالآتي

$$A = \frac{V_0 R}{R^2 + \omega^2 L^2} \quad \& \quad B = \frac{-\omega L V_0}{R^2 + \omega^2 L^2}$$

و بذلك نحصل على الحل العام

$$i(t) = i_c(t) + i_p(t)$$

$$i = Ke^{-\frac{R}{L}t} + \frac{V_0 R}{R^2 + \omega^2 L^2} \sin \omega t - \frac{\omega L V_0}{R^2 + \omega^2 L^2} \cos \omega t$$

بالتعويض عن قيم $\omega = 1$ rad/sec. ، $L = 1H$ ، $R = 2\pi$

$$i(t) = Ke^{-2t} + 4 \sin t - 2 \cos t$$

لتحديد قيمة K نعوض بالحالة الابتدائية عند $i = 0, t = 0$

$$K = 2$$

و يكون حل المعادلة

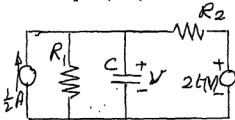
$$i(t) = 2e^{-2t} + 4 \sin t - 2 \cos t$$

و الفروض المستخدمة لإيجاد الحل الخاص عادة ما تكون مشتقة من دالة الإشارة $f(t)$ و

بعض هذه الفروض مذكور في الجدول التالي :-

Form of the excitation function	Form of the particular solution	
K	A	ثابت
Kt	$A + Bt$	درجة أولى
$K_0 + K_1 t$	$A + Bt$	درجة أولى
$K_0 + K_1 t + K_2 t^2$	$A + Bt + Ct^2$	درجة ثانية
Ke^{-bt}	Ae^{-bt}	
$K \sin bt$	$A \sin bt + B \cos bt$	
$K \cos bt$	$A \sin bt + B \cos bt$	

Example (5-6)



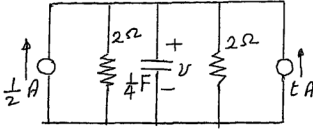
المطلوب حساب الجهد v عند $t > 0$

إذا كانت الدائرة في الحالة الصفرية عند $t = 0$

$$R_1 = R_2 = 2 \quad C = \frac{1}{4} F$$

بتحويل مصدر الجهد إلى مصدر تيار تحول الدائرة إلى الصورة المبينة بالشكل و بتطبيق

KCL نحصل على معادلة الدائرة



$$\frac{1}{4} \frac{dv}{dt} + v = \frac{1}{2} + t$$

الحل المكمل هو الصورة الأسية

$$v_c(t) = K e^{-4t}$$

نفرض الحل الخاص على الصورة

$$v_p = A + Bt$$

بالتعويض في معادلة الدائرة

$$\frac{1}{4} B + A + Bt = \frac{1}{2} + t$$

و بمساواة معاملات t في الطرفين نحصل على

$$A = \frac{1}{4}, \quad B = 1$$

و يكون الحل العام

$$v(t) = K e^{-4t} + \frac{1}{4} + t$$

من الحالة الابتدائية عند $t = 0$ تكون $v = 0$ نحصل على $K = -\frac{1}{4}$ و يكون

$$V(t) = \frac{1}{4} (1 - e^{-4t}) + t$$

٥-١-٤ الإثارة بالمصادر والحالة الابتدائية :-

Excitation by sources and initial conditions

و الحل في هذه الصورة هو نفس خطوات الحل في الحالة السابقة إلا أنه عند

تحديد الثابت نضع قيم الحالة الابتدائية بدلاً من الصفر فمثلاً في المثال الأخير

Example (5-6) إذا كان المكثف مشحوناً بمجهود مقداره V_0 عند $t = 0$ فأنـ

نعوض بهذه القيم في الحل العام للحصول على الثابت K حيث نجد أن

$$V_0 = K + \frac{1}{4}$$

$$K = V_0 - \frac{1}{4}$$

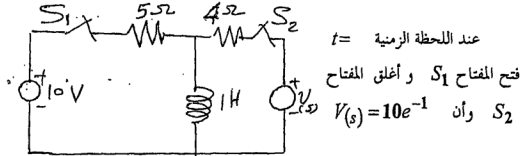
و يكون حل الدائرة في هذه الحالة

$$v(t) = V_0 e^{-4t} + \frac{1}{4}(1 - e^{-4t}) + t$$

نلاحظ أن هذا الحل هو مجموع حلين أحدهما $V_0 e^{-4t}$ وهو الحل الذي نحصل عليه في حالة عدم وجود المصادر في الدائرة و تكون الإشارة الناشئة عن الحالة الابتدائية فقط Zero Input response

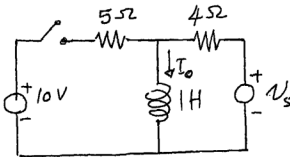
و الحل الثاني $\frac{1}{4}(1 - e^{-4t}) + t$ هو الحل الذي نحصل عليه عند إثارة الدائرة بالمصادر الخارجية فقط Zero state Response

Example (5-7)



في الفترة الزمنية $t < 0$ كان المفتاح S_1 معلقاً و كان التيار المار في الحثية هو I_0

حيث $I_0 = \frac{10}{5} = 2A$ عند اللحظة $t = 0$ تكون الدائرة كما بالشكل للفترة



$$L \frac{di}{dt} + R_i = V_s$$

$$\frac{di}{dt} + 4i = 10e^{-2t}$$

الحل المكمل

$$i_c(t) = Ae^{-4t}$$

نفرض الحل الخاص على الصورة .

$$i_p = Be^{-2t}$$

بالتعويض في المعادلة

$$-2Be^{-2t} + HBe^{-2t} = 10e^{-2t}$$

$$B = 5$$

$$i_p = 5e^{-2t}$$

و الحل العام هو

$$i(t) = Ae^{-4t} + 5e^{-2t}$$

لالحصول على الثابت A نعوض بالحالة الابتدائية حيث $i = 2$ عند $t = 0$

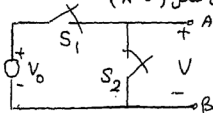
ف نجد أن $A = -3$ و يكون الحل

$$i(t) = -3e^{-4t} + 5e^{-2t}$$

the step function

٥-١-٥ دالة الخطوة

لاحظنا في الأجزاء السابقة أننا ندخل المصادر إلى الدوائر أو نخرجها عند اللحظة $t = 0$ بواسطة إغلاق أو فتح مفاتيح متصلة بالدائرة من ذلك مثلاً تسليط مصدر جهد ثابت عند اللحظة $t = 0$ بين النقطتين A, B كما في شكل (١-٥)



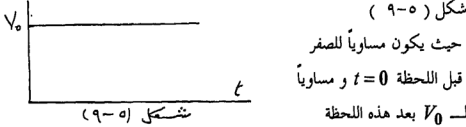
و هذا يتطلب إغلاق المفتاح S_1

و في نفس اللحظة فتح المفتاح S_2

و هذا معناه أنه قبل تحريك المفاتيح

فإن الجهد بين النقطتين A, B

يساوى 0 و عند لحظة تحريك المفاتيح يتغير الجهد فجأة من صفر إلى V_0 كما في



و يطلق على هذه الدالة دالة الخطوة Step function و إذا كانت قيمة الدالة مساوية

للوحدة فإنها تعرف بدالة خطوة الوحدة The unit step و يطلق عليها $U(t)$

و دالة وحدة الخطوة $U(t)$ هى دالة رياضية ليس لها أبعاد و إذا أردنا تمثيل الجهد V_0

(شكل ٩-٥) فإنه يكتب على الصورة

$$v(t) = V_0 U(t) \quad \text{حيث:} \quad U(t) = \begin{cases} 0 & t < 0 \\ 1 & t \geq 0 \end{cases}$$

و إذا كان التغير عند $t = t_0$ فإن دالة

وحدة الخطوة تكون معرفة كالآتي

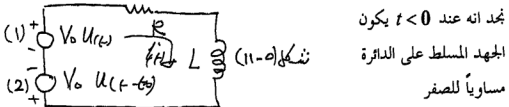
$$U(t-t_0) = \begin{cases} 0 & t < t_0 \\ 1 & t > t_0 \end{cases} \quad (5-12)$$

شكل (١٠-٥)

و على ذلك فإننا يمكن أن نستخدم الرمز المبين في شكل (١٠-٥) للدلالة على أن

الجهد v أو التيار i تم تسليطه على الدائرة في اللحظة الزمنية $t = t_0$

مثال ذلك إذا نظرنا إلى الدائرة المبينة في شكل (١١-٥)

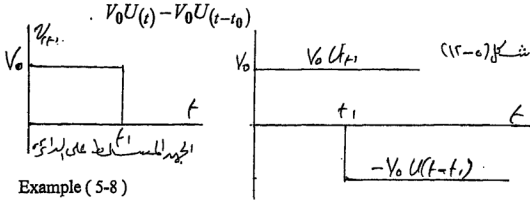


عند $t = 0$ تصبح قيمة المصدر (1) مساوياً V_0 بينما قيمة المصدر (2) تستمر صفر و

يكون الجهد على الدائرة مساوياً لـ V_0 عند $t = t_1$ يكون الجهد نتيجة للمصدر (1)

V_0 و يصبح الجهد نتيجة للمصدر (2) $-V_0$ و يكون الجهد على الدائرة مساوياً

للمصدر مرة أخرى و شكل (١٢-٥) يوضح ذلك حيث نجد أن الجهد المسلط على الدائرة يكون على شكل نبضة إتساعها t_1 و ارتفاعها V_0 و هي تساوى



لحساب الإستجابة $i(t)$ للدائرة في شكل (١١-٥)

نجد أنها مكونة من جزئين i_1 ، i_2 هي الإستجابة نتيجة للمصدر $V_0 U(t)$ فقط و i_2 هي الإستجابة نتيجة للمصدر $V_0 U(t-t_0)$ فقط و لحساب i_1 نجد أن

$$i_{1c} = Ae^{-\frac{R}{L}t} \quad (\text{الحل المتجانس})$$

$$i_{1p} = \frac{V_0}{R} \quad (\text{الحل الخاص})$$

و بعد التعويض بالحالة الابتدائية نجد

$$i_1 = \frac{V}{R} \left(1 - e^{-\frac{R}{L}t} \right) \quad (\text{الحل العام})$$

بالمثل

$$-i_2 = \frac{V}{R} \left(1 - e^{-\frac{R}{L}(t-t_0)} \right)$$

و يكون التيار i هو مجموع $i_1 + (-i_2)$ مع ملاحظة الفترات الزمنية المختلفة .

$$i(t) = \frac{V}{R} \left(1 - e^{-\frac{R}{L}t} \right) \quad 0 < t < t_0$$

$$\begin{aligned}
 i(t) &= \frac{V}{R} \left(1 - e^{-\frac{R}{L}t} \right) - \frac{V}{R} \left(1 - e^{-\frac{R}{L}(t-t_0)} \right) \\
 &= \frac{V}{R} e^{-\frac{R}{L}t} \left(e^{\frac{Rt_0}{L}} - 1 \right) \quad \text{Amp} \quad t > t_0
 \end{aligned}$$

٥-١-٦ الحالات الابتدائية في الدوائر

Initial Conditions in networks

رأينا ان معادلات الدوائر تكون على صورة معادلات تفاضلية و أن حلول هذه المعادلات يحتوى على عدد من الثوابت حسب درجة المعادلة . و لتحديد قيم هذه الثوابت لابد من وجود معلومات إضافية عن الدوائر . و قد أتفق على أن تكون هذه المعلومات هي قيم المتغيرات أو مشتقاتها عند لحظة التغير بفتح أو غلق المفاتيح عند بداية حساب الزمن $t = 0$ و تعرف هذه القيم بالشروط الابتدائية Initial Conditions أو الحالة الابتدائية Initial State للدائرة .

كما يمكن أيضاً إستخدام الشروط النهائية عند $t = \infty$ و تعرف بالحالة النهائية final Conditions

و تعتمد الشروط الابتدائية للدائرة على حالة الدائرة قبل اللحظة الزمنية $t = 0$ أى عند

$t = 0^-$ و كذلك على مكونات الدائرة بعد $t = 0$ أى عند $t = 0^+$ و لتحديد

الشروط الابتدائية يجب ان نراعى حالة كل عنصر كالآتى :-

أ - المقاومات : يتناسب التيار المار في المقاومة مع فرق الجهد بين طرفيها . و على ذلك فإن أى تغير فجائى في التيار يمكن أن يصحبه تغير فجائى في الجهد و أيضاً أى تغير فجائى في الجهد يصحبه تغير فجائى في التيار .

ب - المحاثات : من علاقة الجهد و التيار في المحاثة نجد ان التيار لا يمكن أن يتغير تغيراً فجائياً اذا كانت L ثابتة و بالتالى فعند تسليط مصدر جهد على محاثة لا يودى إلى

مرور تيار و. إذا كان هناك تيار ابتدائي I_0 فإنه يستمر بنفس القيمة و تكون المحالة في

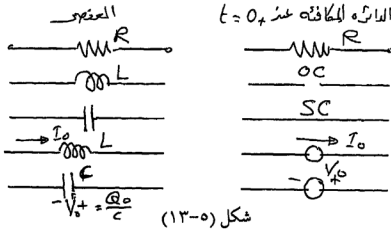
هذه الحالة كما لو كانت مصدراً للتيار I_0

جـ - المكثف : لا يمكن للجهد بين طرفي المكثف أن يتغير تغيراً فجائياً .

فإذا وصل المكثف إلى مصدر للطاقة فإن الجهد بين طرفيه لا يتغير فجأة و لكن يمر تيار لحظي في المكثف و يكون كأنه دائرة قصر Short Circuit . فإذا كان المكثف مشحوناً بشحنة Q_0 فإنه يعمل في هذه اللحظة كما لو كان مصدراً للجهد قيمته

$$V_0 = \left(\frac{Q_0}{C} \right)$$

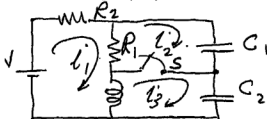
و يمكن تلخيص تصرفات العناصر المختلفة عند الحالة الابتدائية كما في شكل (



و لتحديد الحالة الابتدائية للدائرة نبدأ بإحلال كل عنصر بالدائرة المكافئة له و

حساب قيم الجهود و التيارات في الدائرة .

Example (5-9)



إذا كان المفتاح S مفتوحاً

لفترة زمنية طويلة و عند

$t = 0$ أغلق المفتاح . احسب

القيمة الابتدائية للتيارات i_1, i_2, i_3

قبل غلق المفتاح مباشرة عند اللحظة $t = 0$ تكون قيم التيارات كالآتي

$$i_{30-} = 0, \quad i_{20-} = 0, \quad i_{10-} = \frac{V}{R_1 + R_2}$$

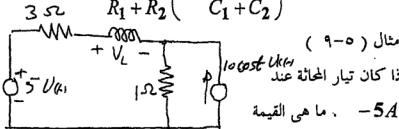
كما أن المكثف C_1 يكون مشحوناً للجهد V_{0c1} والمكثف C_2 يكون مشحوناً للجهد V_{0c2} حيث :-

$$V_{0c1} = \frac{VR_1}{R_1 + R_2} \frac{C_1}{C_1 + C_2}, \quad V_{0c2} = \frac{VR_1}{R_1 + R_2} \frac{C_1}{C_1 + C_2}$$

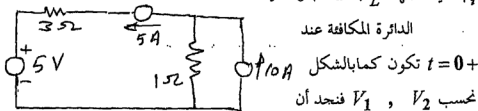
بعد إنغلاق المفتاح مباشرة عند اللحظة $t = 0$ تكون الدائرة كما في الشكل .

و تكون القيمة الابتدائية للتيارات كالآتي :-

$$\begin{aligned} i_{10+} &= i_{10-} = \frac{V}{R_1 + R_2} \\ i_{30+} &= 0 \\ i_{20+} &= i_{10+} - \frac{V_{0c1}}{R_1} \\ &= \frac{V}{R_1 + R_2} - \frac{V}{R_1 + R_2} \frac{C_2}{C_1 + C_2} \\ &= \frac{V}{R_1 + R_2} \left(1 - \frac{C_2}{C_1 + C_2} \right) \end{aligned}$$



الابتدائية للجهد V_L عند $t = 0$ +



$$V_1 = 8v \quad V_2 = 5v$$

$$V_{Lo+} = V_1 - V_2 = 8 - 5 = 3v$$

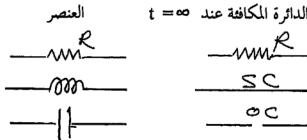
٧-١-٥ القيمة النهائية لمتغيرات الدائرة

Final Values of circuit Variables

إذا كانت مصادر التغذية للدائرة ذات خرج ثابت مع الزمن أو إذا كانت المصادر متغيرة تتوّل قيمتها إلى الصفر عند $t = \infty$. أو إذا كانت تغذية الدائرة بالحالات الابتدائية للمكثفات و المحاثات ، في هذه الحالات نجد أن القيم النهائية لمتغيرات الدائرة يمكن الحصول عليها من العلاقات الأساسية حيث

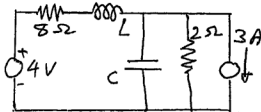
$$i_c = C \frac{dvc}{dt} , \quad v_L = L \frac{dc_L}{dt}$$

تكون مكافئات العناصر كما في شكل (١٤-٥)



شكل (١٤-٥)

Example (5-10)



أوجد القيمة النهائية لجهد المكثف

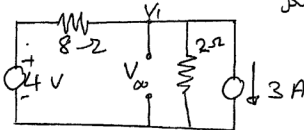
تحسب القيمة النهائية لجهد

المكثف من الدائرة بعد وضع مكافئات

العناصر عند $t = \infty$ كما في الشكل

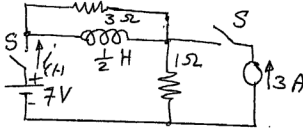
و بتطبيق قانوني كيرتشف للتيار

نحصل على



$$V_{\infty} = V_1 = -4v$$

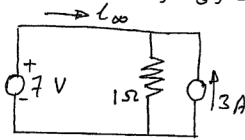
Example (5-11)



في الدائرة المبينة إذا أغلق المفتاح

عند $t = 0$ أوجد التيار $i(t)$

حيث أن الدائرة تحتوي على مصادر ثابتة فإنه يمكن حساب الاستجابة $L(t)$ بمعرفة القيمة النهائية حيث أن القيمة النهائية في هذه الحالة هي الحل الخاص أما الحل المكمل فنحصل عليه على الصورة الأسية المضمحلة بمعرفة الثابت الزمني للدائرة .

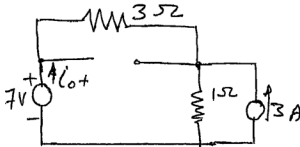


و القيمة النهائية نحصل عليها من الدائرة المبينة

حيث $L_p = L_{\infty} = 4A$ و الحل المكمل يكون على الصورة .

$$V_C = K e^{-\frac{R}{L}t}$$

حيث $L = \frac{1}{2}H$ ، R هي المقاومة المكافئة لـ 1Ω و 3Ω على التوازي أى ان



$R = \frac{3}{4}$ و لحساب k نحسب الحالة

الابتدائية للدائرة من الشكل المبين

حيث $L_{0t} = 1$

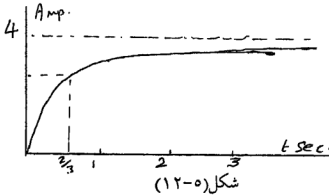
و تكون الاستجابة

$$i = 4 - 3e^{-\frac{3}{2}t}$$

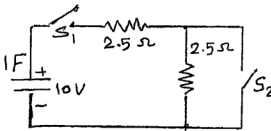
نلاحظ أننا يمكن أن نحصل على نفس الحل بكتابة معادلة الدائرة على الصورة

$$\frac{1}{2}L \frac{d_1}{d_2} + \frac{3}{4}i = 3$$

و يمكن رسم تغير التيار مع الزمن كما بالشكل .



Example (5-12)



إذا كان المكثف مشحوناً إلى

جهد 10V وأُغلق المفتاح

S_1 و بعد 5 sec. أغلق المفتاح S_2

عند اغلاق S_1 بينما يظل S_2 مفتوحاً. تكون الدائرة RC من الدرجة الأولى حيث

$R = 5\Omega$ و $C = 1\text{f}$ تكون القيمة الابتدائية للتيار

$$2A = i_{0+} = \frac{10}{5}$$

$$i(t) = 2e^{-t/5}$$

بعد إغلاق المفتاح S_2 تخرج المقاومة 2.5Ω من الدائرة و يبقى $R^{\wedge}C$ من

الدرجة الأولى $R^{\wedge} = 2.5\Omega$ ، $C = 1\text{f}$ و تكون علاقة التيار .

$$i(t) = ke^{-\frac{(t-5)}{2.5}}$$

$$t > 5$$

و لحساب K نحسب قيمة الجهد على المكثف عند $t = 5\text{ sec.}$ حيث .

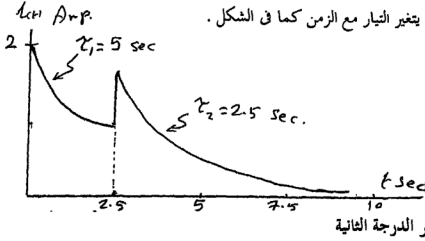
$$V_{5-} = V_{5+} = 3.68\text{V}$$

و يرتفع التيار عندئذ إلى القيمة $1.472A = \frac{3.68}{2.5}$ و يكون تغير التيار مع الزمن

على الصورة .

$$i(t) = 1.472e^{-\frac{t-5}{2.5}}$$

$$t > 5$$



Second Order Circuits

و هي الدوائر التي يمكن وصفها بمعادلات تفاضلية من الدرجة الثانية و هي في الغالب تحتوي على عنصرين من العناصر الخازنة للطاقة الإضافية إلى أى عدد من المقاومات و المصادر . وهناك ثلاثة أحوال ممكنة لهذه الدوائر

(أ) الدوائر التي تحتوي على مكثفين Circuits with two capacitors

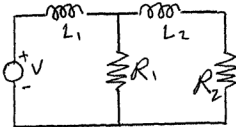
(ب) الدوائر التي تحتوي على ملفي حث Circuit with two inductors

(جـ) الدوائر التي تحتوي على ملف حث واحد و مكثف واحد

circuits with one inductor and one capacitor و هذه الأنواع الثلاثة

تؤدي إلى معادلة تفاضلية من الدرجة الثانية على الصورة .

$$a_2 \frac{d^2x}{dt^2} + a_1 \frac{dx}{dt} + a_0 x = F(t) \quad (5-12)$$



و من أمثلة ذلك الدائرة المبينة

في شكل (١٤-٥) بتطبيق

KVL و كتابة معادلات التيارات

i_2 ، i_1 نجد أن نجد أن

$$L_1 \frac{di_1}{dt} + R_1 i_1 - R_1 i_2 = v(t) \quad (5-13)$$

$$L_2 \frac{di_2}{dt} + (R_1 + R_2) i_2 + R_1 i_1 = 0 \quad (5-14)$$

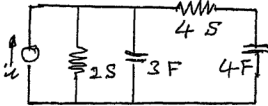
من معادلة (١٤-٥) نجد أن :-

$$i_1 = \frac{1}{R_1} \left[L_2 \frac{d}{dt} + (R_1 + R_2) \right] i_2$$

بالتعويض عن i_1 في المعادلة (١٣-٥) نحصل على

$$\frac{L_1 L_2}{R_1} \frac{d^2 i_2}{dt^2} + \left[L_1 \left(\frac{R_1 + R_2}{R_1} \right) + L_2 \right] \frac{d i_2}{dt} + L_2 R_2 = U(t)$$

وهي معادلة من الدرجة الثانية في i_2 على الصورة (١٢-٥)



أيضاً إذا نظرنا إلى الدائرة المبينة

في شكل (١٥-٥) نجد أن

معادلات الدائرة على الصورة

$$6v_1 - 4v_2 + 3 \frac{dv_1}{dt} = i \quad (5-15)$$

$$4v_2 - 4v_1 + 4 \frac{dv_2}{dt} = 0 \quad (5-16)$$

بالتعويض في (١٥-٥) عن قيمة v_1 نحصل على معادلة تفاضلية من الدرجة

الثانية في المتغير v_2 على الصورة .

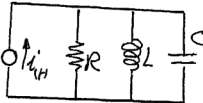
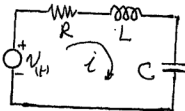
$$3 \frac{d^2 v_2}{dt^2} + \frac{dv_2}{dt} + 2v_2 = i$$

و كذلك الدوائر التي تحتوي على عنصرين خازنين للطاقة من نوعين مختلفين أى

تحتوى على مكثف واحد و ملف حث واحد تودى إلى معادلات تفاضلية من الدرجة

الثانية . و من الأشكال المألوفة لهذه الدوائر دائرة RLC توالى و دائرة RLC توازى كما

في شكل (١٦-٥)



فبالنسبة لدائرة التوازي نجد أن

$$C \frac{d_2 v}{dt^2} + \frac{1}{R} \frac{dv}{dt} + \frac{1}{L} v = \frac{di}{dt}$$

و بالنسبة لدائرة التوالى نجد أن

$$L \frac{d_2 v}{dt^2} + R \frac{di}{dt} + \frac{i}{c} = \frac{dv}{dt}$$

و هى جميعاً معادلات تفاضلية من الدرجة الثانية على الصورة (١٢-٥) و الحل العام لهذه المعادلة يتكون من جزئين . نحصل على الجزء الأول و هو الحل المكمل من المعادلة المتجانسة .

$$a_2 \frac{d_2 x}{dt^2} + a_1 x + a_0 = 0 \quad (5-17)$$

حيث نفرض الحل الصورة الأسية $X_t = Ke^{st}$ حيث S, K ثوابت حقيقية أو تخيلية أو مركبة .

بالتعويض بالحل فى المعادلة (١٧-٥)

$$a_2 S^2 ke^{st} + a_1 ske^{st} + a_0 ke^{st} = 0$$

$$a_2 S^2 + a_1 S + a_0 = 0$$

و تعرف هذه المعادلة بالمعادلة المميزة characteristic equation و لها جذران على الصورة

$$S_1, S_2 = -\frac{a_1}{2a_2} \pm \frac{1}{2a_2} \sqrt{a_1^2 - 4a_0 a_2}$$

ومن ذلك نجد أنه يوجد حلان

$$X_1 = k_1 e^{s_1 t} \quad , \quad X_2 = K_2 e^{s_2 t}$$

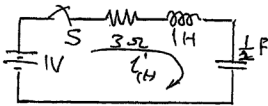
و يكون

$$\begin{aligned} X &= X_1 + X_2 \\ &= K_1 e^{s_1 t} + K_2 e^{s_2 t} \end{aligned}$$

و تعتمد طبيعة الجذور على القيمة $\sqrt{a_1^2 - 4a_0a_2}$ فقد تكون الجذور حقيقية او
تخيلية على حسب قيمة a_1^2 بالمقارنة مع $4a_0a_2$ و هذا يؤدي إلى ثلاثة أنواع من
الحلول كالآتي :-

الحالة الأولى و فيها $a_1^2 > 4a_0a_2$

و يكون الجذران سالبان و غير متساويان و مثال ذلك الدائرة المبينة بالشكل حيث



$$L \frac{di}{dt} + Ri + \frac{1}{C} \int V dt = V$$

و بتفاضل الطرفين

$$L \frac{d^2i}{dt^2} + 3 \frac{di}{dt} + 2i = 0$$

المعادلة المميزة char. eqn.

$$S^2 + 3S + 2 = 0$$

$$S_1 = -1, \quad S_2 = -2$$

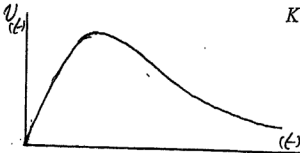
$$i(t) = K_1 e^{-t} + K_2 e^{-2t}$$

يمكن حساب K_1, K_2 بمعرفة الحالة الابتدائية للدائرة

$$\left(\frac{di}{dt} \right)_0 = 1, \quad i_{10} = 0 \text{ فإذا كانت}$$

$$K_2 = -1, \quad k_1 = 1 \text{ فإن}$$

$$i = e^{-t} : e^{-2t} \text{ و}$$

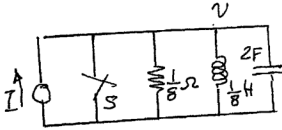


وتكون شكل الإستجابة

الحالة الثانية : $a_1^2 = 4a_0a_2$

حيث يكون الجذران حقيقيين متساويين و سالبين .

و مثال ذلك الدائرة المبينة بالشكل .



حيث

$$C \frac{dv}{dt^2} + G \frac{dv}{dt} + \frac{v}{L} = i$$

$$2 \frac{d^2 v}{dt^2} + 8 \frac{dv}{dt} + 8V = 0$$

المعادلة المميزة

$$2S^2 + 8S + 8 = 0$$

$$S_2 = -2, \quad S_1 = -2 \text{ منها}$$

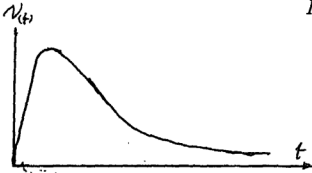
و في هذه الحالة يكون الحل على الصورة .

$$V(t) = K_1 e^{-2t} + K_2 t e^{-2t}$$

من الحالة الابتدائية للدائرة

$$\frac{dv}{dt}(0) = \frac{1}{2}, \quad v(0) = 0$$

$$K_2 = \frac{1}{2}, \quad K_1 = 0$$

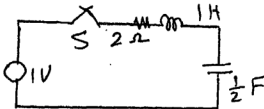


$$v(t) = \frac{1}{2} t e^{-2t}$$

$$a_1^2 < 4a_0 a_2 \quad \text{الحالة الثالثة}$$

حيث تكون الجذور مركبة مترافقة وسالبة الجزء الحقيقي

مثال ذلك الدائرة المبينة



و حيث تكون المعادلة

المميزة على الصورة

$$S^2 + 2S + 2 = 0$$

و الجذور هي

$$S_1 = -1 + j1, \quad S_2 = -1 - j1$$

$$i(t) = K_1 e^{(-1+j)t} + K_2 e^{(-1-j)t}$$

$$= e^{-t} (K_1 e^{jt} + K_2 e^{-jt})$$

باستخدام علاقة أويلر

$$e^{\pm jt} = \cos t \pm j \sin t$$

$$i(t) = e^{-t} (K_3 \cos t + K_4 \sin t)$$

حيث

$$K_3 = K_1 + K_2, \quad K_4 = j(K_1 - K_2)$$

باستخدام الحالة الابتدائية .

$$i_0 = 0, \quad \left(\frac{d_1}{dt} \right)_0 = 1$$

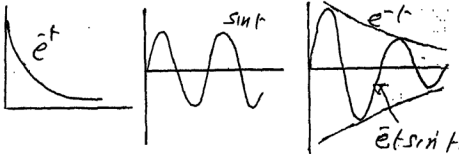
نحصل على

$$K_3 = 0, \quad K_4 = 1$$

ويكون الحل على الصورة

$$i(t) = e^{-t} \sin t$$

و رسم هذه العلاقة موضحة بالشكل التالي التالي :-



هذا بالإضافة إلى وجود حالة خاصة وذلك عندما تكون $a_1 = 0$ في العلاقة

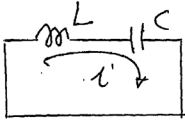
(٨-٥) حيث تكون الجذور في هذه الحالة تخيلية

$$S_1 = j\omega, \quad S_2 = -j\omega$$

و يكون الحل على شكل دالة جيبية ثابتة الإتساع .

أيضاً نحصل على الحل الخاص للمعادلة (١٢-٥) حسب الدالة $F(t)$ مجموعاً عليه الحل الخاص .

مثال للحالة الخاصة الدائرة المبينة بالشكل حيث نجد للمعادلة التفاضلية على



الصورة

$$\frac{d^2 i(t)}{dt^2} + \frac{1}{LC} i(t) = 0$$

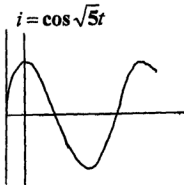
إذا كانت $L=1H$ ، $C=\frac{1}{5}F$ تصبح المعادلة

$$\frac{d^2 i(t)}{dt^2} + 5i(t) = 0$$

و تكون جذور المعادلة المميزة تخيلية $\pm j\sqrt{5} = \pm j\sqrt{1/LC}$ ويكون الحل .

$$i(t) = K_1 \cos \sqrt{5}t + K_2 \sin \sqrt{5}t$$

إذا كانت الحالة الابتدائية $i=1$ ، $i=0$ ، فالتعويض نحصل على $K_1=1$ و $K_2=0$ والتيار



وفي هذه الحالة يكون التيار على

شكل دالة جيبية ذات تردد

$$w = \sqrt{5} \text{ rad/sec}$$

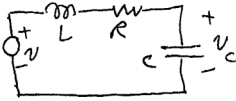
هذا التردد بالتردد الطبيعي

the natural frequency w_0 .

و هذا يحدث في الدوائر التي لا تحتوى على مقاومات و تحتوى على عناصر خازنة للطاقة

من نوعين مختلفتين حيث تكون الإستجابة دالة متذبذبة oscillating

و كمثال للدوائر المثارة بمصادر نأخذ الدائرة المبينة بالشكل مع اعتبار القيم



$$v = t/3, \quad C = \frac{1}{5} F$$

$$L = 1 H \quad R = 6$$

في هذه الحالة تكون المعادلة التي تصف v_c ^{الخاصة}

$$\frac{d^2 v_c}{dt^2} + 6 \frac{dv_c}{dt} + 5v_c = \frac{5}{3} t \quad t \geq 0$$

الحل المكمل للمعادلة

$$v_c(t) = K_1 e^{-t} + K_2 e^{-5t}$$

نفرض الحل الخاص على الصورة

$$v_{pc}(t) = A + Bt$$

بالتعويض في المعادلة الأصلية ومطابقة المعاملات

$$A = -\frac{2}{5}, \quad B = \frac{1}{3}$$

. يكون الحل العام للمعادلة

$$v_c(t) = K_1 e^{-t} + K_2 e^{-5t} + \frac{t}{3} - \frac{2}{5} \quad t \geq 0$$

بتطبيق الحالة الابتدائية

$$v_c(0) = 0, \quad v'_c(0) = 0$$

نحصل على الحل المقابل الكامل

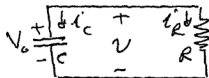
$$v_c(t) = \frac{5}{12} e^{-t} - \frac{1}{60} e^{-5t} - \frac{2}{5} + \frac{t}{3} \quad t \geq 0$$

ويمكن الحصول على تيار الدائرة أيضاً من العلاقة

$$i(t) = i_c(t) = C \frac{dv_c(t)}{dt}$$

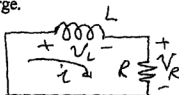
٥-٣ دائرة

5.1 For the circuit shown find $i_c(t)$, $i_p(t)$ and $q(t)$ in terms of R , C and V_o . V_o is the initial



voltage on the capacitor. And $q(t)$ is the charge.

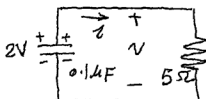
5.2 Find $V_L(t)$, $V_R(t)$ and $i(t)$ in terms of R , L and I_o , where



λ is the flux linkage and I_o is the initial current in the inductor.

5-3 Find for $t > 0$ $i(t)$, $q(t)$, $v(t)$.

The power $P(t)$ dissipated and the energy stored $W(t)$.

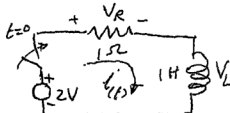


5-4 Find an expression for the following quantities.

A) $i(t)$ B) flux linkage $\lambda(t)$

C) $v_L(t)$ D) energy stored in

the inductor $W_L(t)$ E) $v_R(t)$



F) $P_L(t)$ power delivered to the inductor G) power

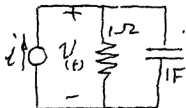
dissipated by resistance $P_W(t)$ H) $P(t)$ power supplied by the source

5-5 For the circuit shown find

$V(t)$ $t \geq 0$ if $V(0) = 0$

And (a) $i = 1A$ (b) $i = tA$

$i = t^2 A$



5-6 Repeat prob. (5-5) with

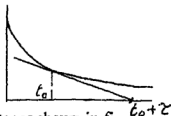
$V(0) = 1V$ & $i = 1 + t + t^2 A$

5-7 Report prob. (5-5) with $i = \cos t A$

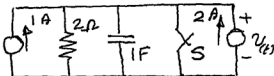
5-8 Show that the tangent to

the curve $F(t) = e^{-t/\tau}$, at

any point t_0 intersects the t axis τ second later as shown in fig.

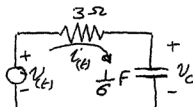


5-9 In the circuit shown the switch S opens at $t = 0$, find $V(t)$ for $t \geq 0$



5-10 If the voltage $v(t)$ is

changed from $1v$ to $2v$ at $t = 0$



i) find an expression for the voltage across the capacitor

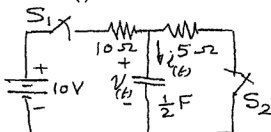
ii) find an expression for the current $i(t)$ $t \geq 0$

5-11 S_1 is closed at $t = 0$

and S_2 is closed at $t = 3s$

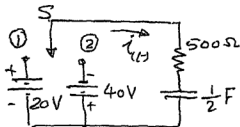
find $v(t)$ and $i(t)$

assuming $V_c = 0$



5-12 In the circuit shown, the switch is closed to position

(1) At $t = 0$ and is moved to position. (2) After one time constant.

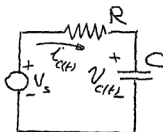
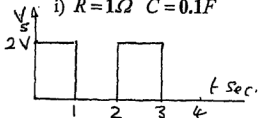


Find the current $i(t)$ $t \geq 0$

5-13 The input to the circuit is a square wave shown. sketch

$V_c(t)$ and $i_c(t)$ for $t \geq 0$

i) $R = 1\Omega$ $C = 0.1F$

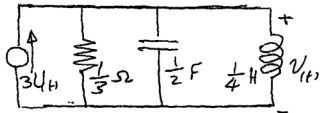


13.

ii) $R = 1\ \Omega$

$C = 1\ F$

5-14 In the circuit
shown $V_o = 0$
and $i_{L_o} = 0$
Find V_{th}



الفصل السادس

حل الدوائر

ذات المصادر الجيبية في الحالة المستقرة

Sinusoidal Steady State analysis

إذا وصلت مصادر ذات شكل موجى على هيئة دالة جيبية Sine wave إلى دائرة ذات عناصر خطية فإنه بعد إنتهاء فترة الظواهر العابرة Transients . ووصو الدائرة إلى حالة الإستقرار Steady state تصبح جميع الجهود voltages والتيارات currents في الدائرة على شكل دوال جيبية تختلف عن دالة المصدر فقط في الإتساع زاوية الوجه . ذلك أن الدوال الجيبية لا يتغير شكلها بالجمع و الطرح أو بعملية التفاضل و التكامل .

بالإضافة إلى هذه المميزات الرياضية فإن الدوال الجيبية تتولد كثيراً في الطبيعة و من أمثلة ذلك حركة البندول و القوة الدافعة الكهربائية المتولدة في موصل يقطع مجال مغناطيسى في

حركة دائرية و هي المولدات المستخدمة في توليد الطاقة الكهربائية لتغذية المنازل و المصانع عند تردد ٥٠ هرتز .

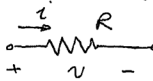
و تعرف الدوائر في هذه الحالة بدوائر التيار المتردد (AC)

٦-١ عناصر الدوائر في التيار المتردد .

٦-١-١ عنصر المقاومة

Resistance in Alternating Current circuits

إذا تم تسليط مصدر جهد جيبي $v = V_m \sin wt$ على مقاومة R يكون التيار

$$i = \frac{V}{R} = \frac{V_m}{R} \sin wt = I_m \sin wt$$


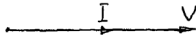
$$I_m = V_m / R \quad \text{حيث}$$

و بدلالة القيمة الفعالة لكل من التيار و الجهد فان $V = IR$

$$V = \frac{V_m}{\sqrt{2}} \quad \text{حيث}$$

$$I = \frac{I_m}{\sqrt{2}} \quad \text{و}$$

هما القيم الفعالة للجهد و التيار على الترتيب .



كما أن القدرة المفقودة في المقاومة

$$P = \frac{V_m I_m}{2} = VI \quad \text{watt}$$

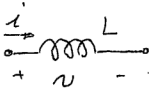
و نلاحظ أن متجه الجهد و التيار متفقان في زاوية الوجه .

٢-١-٦ عنصر الحثية

Inductance in alternating current

إذا مر تيار $i = I_m \sin(\omega t + \theta)$ في ملف حث فان الجهد بين طرفي الملف يكون

$$v = L \frac{di}{dt} = \omega I_m L \cos(\omega t + \theta)$$



و يمكن التعبير عن الجهد و التيار بالمتجهات

$$I = \frac{I_m}{\sqrt{2}} \angle \theta, \quad v = \frac{V_m}{\sqrt{2}} \angle \theta + 90^\circ$$

و إذا أخذنا النسبة بين الجهد و التيار فان

$$\frac{v}{I} = \frac{\omega I \angle 90^\circ + \theta}{I \angle \theta} = \omega L \angle 90^\circ \Omega$$

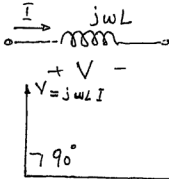
و تكتب هذه النتيجة على صورة عدد تخيلي

$$\frac{V}{I} = jX_L = j\omega L \Omega$$

و تعرف X_L بالمفاعلة الحثية Inductive Reactance . فإذا عبرنا عن الجهد

الجيبى بمتجه V و التيار الجيبى بمتجه I فإننا يمكن تغيير عنصر الحثية من الحيز الزمنى إلى

الحيز الترددى بإستخدام المتغيرات I, V ، $j\omega L$ بدلا من L, i, v



و تكون العلاقة بين تيار الحثية

و الجهد بين طرفيها على الصورة .

$$V = j\omega L I$$

حيث يسبق الجهد التيار بزاوية

مقدارها 90°

Capacitance in (AC)

٣-١-٦ عنصر السعة .

إذا كان جهد المكثف $v = V_m \sin(\omega t + \theta)$ فان التيار $i = C \frac{dv}{dt}$

$$i = V_m \omega C \cos(\omega t + \theta) \quad \text{أى أن}$$

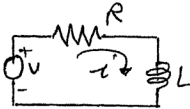
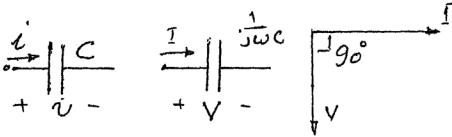
و تكون المتجهات المناظرة هي :-

$$I = \frac{I_m}{\sqrt{2}} \angle \theta + 90^\circ, \quad V = \frac{V_m}{\sqrt{2}} \angle \theta$$

و تكون النسبة بين الجهد و التيار

$$\frac{V}{I} = \frac{1}{j\omega C} = -j\omega C, \quad Y_C = \frac{1}{\omega C}$$

حيث X_C هي المفاعلة السعوية للمكثف بالأوم و بذلك يمكن التعامل مع المكثف في الحيز الترددى بأخذ العلاقة بين متجه الجهد و متجه التيار .



٢-٦ دوائر التوالي Series Circuit

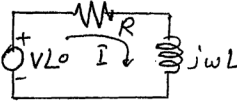
نفرض دائرة R و L على التوالي

مع مصدر جيبي كما بالشكل

حيث $v = V_m \sin \omega t$ لحساب

التيار i في الفترة المستقرة بعد

إنهاء الحالة العابرة تحول الدائرة



إلى الصورة المبينة حيث تبقى المقاومة R كما هي ونحول الخثالة إلى $j\omega L$ و يكون

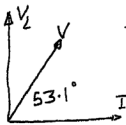
$$V = \frac{V_m}{\sqrt{2}} \angle \theta \quad \text{مصدر الجهد هو المتجه}$$

و بتطبيق قانون كيرشوف على الدائرة نجد أن

$$\begin{aligned} V &= V_R + V_L = IR + I(j\omega L) \\ &= I(R + j\omega L) \end{aligned}$$

$$I = \frac{V}{R + j\omega L} = \frac{V}{\sqrt{R^2 + \omega^2 L^2}} \angle \arctan \frac{\omega L}{R}$$

فمثلاً إذا كانت $R = 3\Omega$ ، $L = 2H$ ، الجهد $V = 20\sin 2t$



$$X_L = \omega L = 4\Omega , V = \frac{20}{\sqrt{2}}$$

$$I = \frac{20/\sqrt{2}}{3 + j4} = \frac{4}{\sqrt{2}} \angle -53.1^\circ$$

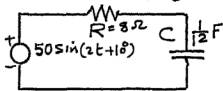
و يكون التيار

$$i = 4\sin(2t - 53.1^\circ)$$

و في الحيز الزمني

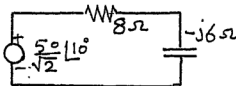
و تكون العلاقة بين متجه الجهد و متجه التيار كما بالشكل

أيضاً إذا كان لدينا دائرة توالى مكونة من مقاومة و مكثف و مصدر جهد جيبى كما بالشكل . لحساب التيار i نضع مصدر الجهد على صورة متجه و نحول الدائرة إلى



الحيز الترددى و نطبق KVL حيث

$$V = I \left(R + \frac{1}{j\omega C} \right)$$



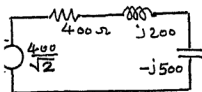
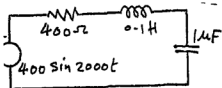
$$\frac{50}{\sqrt{2}} \angle 10^\circ = I(8 - j6)$$

$$I = \frac{50/\sqrt{2} \angle 10^\circ}{10 \angle -36.9^\circ} = \frac{5}{\sqrt{2}} \angle 46.9^\circ$$

و في الحيز الزمني يكون التيار

$$i = 5\sin(2t + 46.9^\circ) \text{ A}$$

و نلاحظ أنه في الدائرة الحثية يكون التيار متأخراً عن الجهد أما في الدائرة السعوية فالتيار

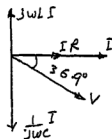


يسبق الجهد

مثال :-

دائرة مكونة من

ملف حث و مقاومة



و مكثف على التوالى مع مصدر جهد جيى .

نحول الدائرة إلى الحيز الترددى و نطبق قانون KVL للحصول على التيار . حيث

$$I = \frac{400\sqrt{2} \angle 0^\circ}{400 + j200 - j500} = \frac{0.8}{\sqrt{2}} \angle 36.9^\circ \text{ A}$$

و كدالة فى الزمن يكون التيار $i = 0.8 \sin(2000t + 36.9)$

Impedance

المعاوقة ٣-٦

يتضح مما سبق أن العلاقة بين الجهد و التيار فى الحالة المستقرة فى الدائرة التى تحتوى على

مصادر جيبيه تكون على الصورة $V = IZ$

حيث Z كمية متجهة تأخذ الصورة العامة

$$Z = R + jX \quad \sqrt{R^2 + X^2} \angle \arctan \frac{X}{R}$$

حيث R هى الجزء الحقيقى لـ Z و هى مقاومة الدائرة و X هى الجزء التخيلى لـ

Z و تعرف بالمفاعلة Reactance ففى الدوائر الثلاث السابقة نجد أنه فى الدائرة الأولى

$$Z = 3 + j4 \\ = 5 \angle 53.1^\circ \Omega$$

و فى الدائرة الثانية

$$Z = 8 - j6 \\ = 10 \angle -36.9^\circ \Omega$$

و فى الدائرة الثالثة

$$Z = 400 + j200 - j500 \\ = 400 - j300 \\ = 500 \angle -36.9^\circ \Omega$$

و فى جميع الأحوال تم حساب التيار مباشرة بقسمة الجهد على المعاوقة

٤-٦ Admittance المساحة

و هي كمية مركبة أيضاً و يرمز لها بالرمز Y و هي تساوى مقلوب المقاومة و وحداتها سيمنر (S) أو (كس)

$$Y = \frac{1}{Z} = G + jB \quad S$$

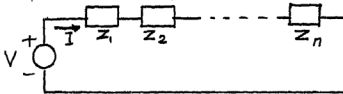
حيث G هي الجزء الحقيقي للمساحة Y و يعرف بالتوصيلية أو للواصلة Conductance و B هي الجزء التخيلي للمساحة و تعرف بالمهاوذة Susceptance فمثلاً إذا كانت $Z = 3 + j4 \Omega$ فإن

$$Y = \frac{1}{Z} = \frac{1}{3 + j4}$$

$$= \frac{3 - j4}{5} = 0.6 - j0.8 \quad S$$

حيث $G = 0.6 S$ ، $B = -0.8$

٥-٦ توصيل المعاوقات على التوالي Impedances in Series



إذا وصلت مجموعة من المقاومات على التوالي فإن التيار المار بها جميعاً يكون I . و كنتيجة مباشرة لتطبيق KVL على الدائرة فإن $V = IZ$ حيث

$$Z = Z_1 + Z_2 + \dots + Z_n$$

أي أن المعاوقة المكافئة هي مجموع المعاوقات

فإذا كانت

$$Z_n = R_n + jX_n, \dots, Z_2 = R_2 + jX_2, Z_1 = R_1 + jX_1$$

فإن

$$Z = (R_{21} + R_2 + R_3 + \dots + R_n) + j(X_1 + X_2 + \dots + X_n)$$

و يكون مقياس $|Z|$

$$|Z| = \sqrt{(R_{21} + R_2 + R_3 + \dots + R_n)^2 + (X_1 + X_2 + \dots + X_n)^2}$$

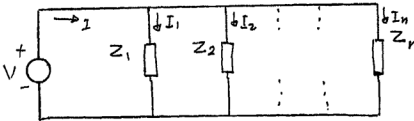
و الزاوية ϕ

$$\phi = \arctan \frac{X_1 + X_2 + \dots + X_n}{R_1 + R_2 + \dots + R_n}$$

Impedances in Parallel

توصيل المعاوقات على التوازي

٦-٦



إذا تم توصيل مجموعة من المعاوقات على التوازي فإن الجهد على أطرافها جميعاً يكون متساوياً و التيار الكلى هو مجموع التيارات لكل معاوقة على حده و كنتيجة لتطبيق KCL نجد أن

$$\frac{1}{Z} = \frac{1}{Z_1} + \frac{1}{Z_2} + \dots + \frac{1}{Z_n}$$

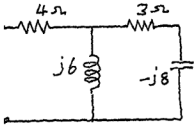
و بدلالة المساحة Y نجد أن

$$Y = Y_1 + Y_2 + Y_3 + \dots + Y_n$$

و في حالة توصيل معاومتين فقط على التوازي فإن المعاوقة المكافئة

$$Z = \frac{Z_1 + Z_2}{Z_1 + Z_2}$$

مثال : أوجد المعاوقة المكافئة



للدائرة المبينة بالشكل

الحل :-

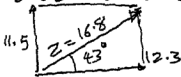
$$\begin{aligned} Z &= 4 + j6 \parallel 3 - j8 \\ &= 4 + \frac{(48 + j18)(3 + j2)}{(3 - j2)(3 + j2)} \\ &= 12.3 + j11.5 \, \Omega \end{aligned}$$

وبذلك تكون مقاومة الدائرة هي الجزء الحقيقي للمعاوقة $12.3 \, \Omega$. كما أن

مفاعلة الدائرة هي $11.5 \, \Omega$ و هي موجبة الإشارة و هذا يعني أن المعاوقة حثية .

و يمكن رسم مخطط المعاوقة كما بالشكل حيث تمثل المقاومة الجزء الحقيقي و تمثل

المفاعلة الجزء التخيلي .

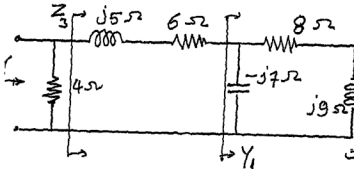


و يكون مقياس Z

$$|Z| = \sqrt{(12.3)^2 + (11.5)^2} = 16.8 \, \Omega$$

$$\phi = \arctan \frac{11.5}{12.3}$$

و الزاوية



مثال أوجد المسامحة Y

للدائرة المبينة بالشكل .

الحل :

نبدأ بحساب المسامحة Y_1 حيث

$$\begin{aligned} Y_1 &= \frac{1}{-j7} + \frac{1}{8 - j9} \\ &= \frac{8 + j2}{63 - j56} \end{aligned}$$

نحسب المعاوقة Z_3 بإضافة مقلوب Y_1 إلى المقاومة $6 + j5$

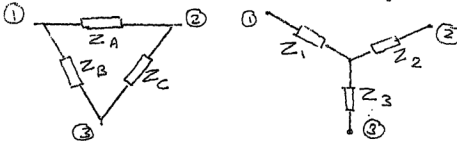
$$Z_3 = 6 + j5 + \frac{63 - j56}{8 + j2} = \frac{101 - j4}{8 + j2}$$

المعاوقة Z_3 متصلة على التوازي مع المقاومة 4 فتكون المساحة الكلية

$$Y = \frac{1}{4} + \frac{8+j2}{101-j4} = \frac{133+j4}{404-j16}$$

$$= \frac{133.1 \angle 1.72^\circ}{404.3 \angle -2.27^\circ} = 0.329 \angle 3.99^\circ$$

تحويلات $\Delta \rightarrow Y$ ، $Y \rightarrow \Delta$ ٧-٦



تتم تحويلات $\Delta \rightarrow Y$ ، $Y \rightarrow \Delta$ في دوائر المعاوقات بنفس الطريقة

التي تتبع في حالة المقاومات .

فإذا أتصلت ثلاث مقاومات لتكون Δ بين ثلاث نقط 1,2,3 يمكن إستبدالها بثلاث

معاوقات متصلة على شكل طبقاً لعلاقة شبيهة بما تم إستنتاجه في حالة

المقاومات وب نفس طريقة الإستنتاج حيث نجد الآتى :-

$$Z_1 = \frac{Z_A Z_B}{Z_A + Z_B + Z_C}$$

$$Z_2 = \frac{Z_A Z_C}{Z_A + Z_B + Z_C}$$

$$Z_3 = \frac{Z_B Z_C}{Z_A + Z_B + Z_C}$$

أيضا عند التحويل من Δ إلى Y نجد أن

$$Y_A = \frac{Y_1 Y_2}{Y_1 + Y_2 + Y_3}$$

$$Y_B = \frac{Y_1 Y_3}{Y_1 + Y_2 + Y_3}$$

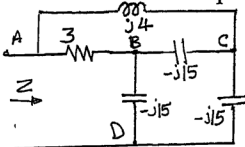
$$Y_C = \frac{Y_2 Y_3}{Y_1 + Y_2 + Y_3}$$

كما يمكن كتابة التحويل الأخير على الصورة

$$Z_A = \frac{Z_1 Z_2 + Z_2 Z_3 + Z_3 Z_1}{Z_3}$$

$$Z_B = \frac{Z_1 Z_2 + Z_2 Z_3 + Z_3 Z_1}{Z_2}$$

$$Z_C = \frac{Z_1 Z_2 + Z_2 Z_3 + Z_3 Z_1}{Z_1}$$



مثال : لحساب المعاوقة المكافئة

في الدائرة نجد أنه يلزم عمل

تحويل الدائرة ABCD من Δ إلى

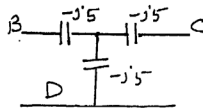
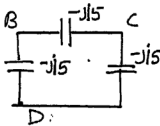
إلى Δ أو عمل تحويل

للدائرة BCD من Δ إلى Δ و نلاحظ أن التحويل الأخير يكون أبسر

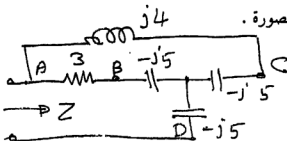
حيث نجد أن

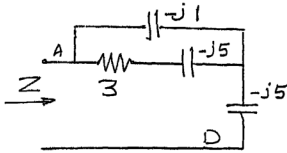
$$Z_A = \frac{Z_B}{3}$$

و بذلك فإن



و تتحول الدائرة الكلية إلى الصورة .





حيث يمكن اختصارها
الى الصورة

وتكون

$$Z = -j5 + (3 - j5) // (-j1) \\ = 0.067 - j5.87 \Omega$$

الطريقة العامة لتحليل تيار الحلقة

The general method of loop current analysis

بتطبيق طريقة تيار الحلقة يمكن تسهيل عملية الحل بالاختيار المناسب لتيارات الحلقات

وكما رأينا سابقا أن عدد المعادلات المستقلة في هذه الطريقة هي $b + n - 1$

حيث $b + 1$ عدد أفرع الدائرة و n عدد العقد . ويمكن كتابة المعادلات على

صورة مصفوفة على النحو التالي

$$[V] = [Z][I]$$

حيث

$$[V]^T = [v_1 \quad v_2 \quad \dots \quad v_i \quad \dots \quad v_j \quad \dots \quad v_n]$$

حيث v_i هي المجموع الجبري لمصادر الجهد العاملة في الحلقة i حيث يكون جهد

المصدر موجبا اذا كانت اقطابه بحيث تجعل تيار الحلقة يمر في الاتجاه المفترض للتيار i_i

$$[I]^T = [I_1 \quad I_2 \quad \dots \quad I_i \quad \dots \quad I_j \quad \dots \quad I_n]$$

هي تيارات الحلقات في الدائرة والمطلوب إيجاد قيمها عند حل الدائرة و $[Z]$ هي مصفوفة مربعة $n \times n$ على الصورة

$$[Z] = \begin{bmatrix} Z_{11} & Z_{12} & \dots & Z_{1i} & \dots & Z_{1j} & \dots & Z_{1n} \\ Z_{21} & Z_{22} & \dots & Z_{2i} & \dots & Z_{2j} & \dots & Z_{2n} \\ \vdots & \vdots & \ddots & \vdots & \ddots & \vdots & \ddots & \vdots \\ Z_{i1} & Z_{i2} & \dots & Z_{ii} & \dots & Z_{ij} & \dots & Z_{in} \\ \vdots & \vdots & \ddots & \vdots & \ddots & \vdots & \ddots & \vdots \\ Z_{j1} & Z_{j2} & \dots & Z_{ji} & \dots & Z_{jj} & \dots & Z_{jn} \\ \vdots & \vdots & \ddots & \vdots & \ddots & \vdots & \ddots & \vdots \\ Z_{n1} & Z_{n2} & \dots & Z_{ni} & \dots & Z_{nj} & \dots & Z_{nn} \end{bmatrix}$$

The self impedance of the loop المعاوقة الذاتية للحلقة

وهي عناصر المصفوفة التي تحتل القطر وتحمل اسم الحلقة مرتين

$$Z_{11}, \dots, Z_{ii}, \dots, Z_{jj}, \dots, Z_{nn}$$

وهي تمثل مجموع المعاوقات التي تمر في التيار المخصص للحلقة ويمكن حسابها من العلاقة.

$$Z_{ii} = \frac{V_i}{I_i} \quad I_i = 0$$

حيث $i \neq j = 1, 2, \dots, n$ وهذه المعاوقات تحمل اشارته موجبة دائما.

The mutual impedance

المعاوقة التبادلية

المعاوقة التبادلية بين الحلقة i ، الحلقة k وتعرف Z_{ik} ($k \neq i$) هي مجموع

المعاوقات المشتركة بين الحلقة i ، الحلقة k وتحمل كلا التيارين I_i, I_k وتكون سالبة إذا

كان التياران متضادين وموجبة إذا كانا في نفس الاتجاه

ويمكن تعريف z_{ik} بأنها الجهد المسنحت (induced voltage) في الحلقة i نتيجة

لمرور تيار واحد أمبير في الحلقة k عندما تكون جميع التيارات ماعدا تيار الحلقة k

مساوية للصفر أى تكون جميع الحلقات ماعدا الحلقة k مفتوحة.

$$Z_{ik} = \frac{V_i}{I_k} \quad I_i = 0 \quad k \neq i$$

ويلاحظ انه اذا كانت الدائرة تحتوى على مصادر محكومة فيجب تمثيل هذه العناصر على

صورة مصادر جهه محكومة بتيارات الحلقات.

وبتطبيق قاعدة كرامر ليل هذه المعادلات نجد ان التيار

$$I_1 = V_1 \frac{\Delta_{11}}{\Delta_z} + V_2 \frac{\Delta_{21}}{\Delta_z} - \dots - V_i \frac{\Delta_{i1}}{\Delta_z} + V_j \frac{\Delta_{j1}}{\Delta_z} - \dots - V_n \frac{\Delta_{n1}}{\Delta_z}$$

وعموما فان التيار

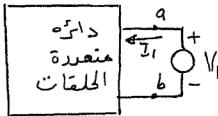
$$I_k = V_1 \frac{\Delta_{1k}}{\Delta_z} + V_2 \frac{\Delta_{2k}}{\Delta_z} + \dots + V_i \frac{\Delta_{ik}}{\Delta_z} + \dots + V_j \frac{\Delta_{jk}}{\Delta_z} - \dots + \dots + V_n \frac{\Delta_{nk}}{\Delta_z}$$

حيث Δ_z هى محدد المصفوفة $[Z]$ Δ_{ij} هى محدد المصفوفة $[Z]$ بعد حذف

الصف i والعمود j وتكون اشارته ⁽⁻⁾

driving point impedance input impedance

معاوقة الدخول



اذا نظرنا الى الدائرة المبينة في الشكل

على اساس انما خالية من المصادر

المستقلة وسلطنا بهذا V_1 بين الطرفين

ab فان التيار I_1 يمكن الحصول عليه من العلاقة

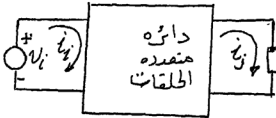
$$I_1 = V_1 \frac{\Delta_{11}}{\Delta_z} + 0 \left(\frac{\Delta_{21}}{\Delta_z} \right) + \dots + 0 + \dots + 0 \dots 0$$

وتعرف النسبة $\frac{V_1}{I_1}$ بأنها معاوقة الدخول للدائرة بين الطرفين ab وهى

$$Z_{in} = \frac{\Delta_z}{\Delta_{11}}$$

TRANSFER IMPEDANCE

معاوقة الانتقال



إذا وجد مصدر جهد
في إحدى الحلقات i فإنه
يؤدي إلى مرور تيارات
في جميع الحلقات ويكون
التيار

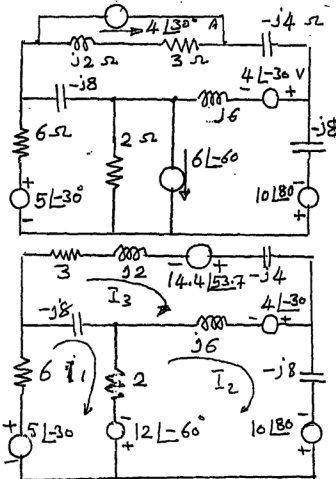
$$\begin{aligned} I_L &= 0 \frac{\Delta Z_L}{\Delta Z} + 0 \dots V_i \frac{\Delta Z_L}{\Delta Z} + \dots 0 \\ &= V_i \frac{\Delta Z_L}{\Delta Z} \end{aligned}$$

وتعرف النسبة $\frac{V_i}{I_L}$ بأنها معاوقة الانتقال للدائرة بين الحلقة i والحلقة L
أو هي النسبة بين الجهد المؤثر في الحلقة i إلى التيار الذي
يحدثه في الحلقة L .

مثال :

اكتب معادلات
تيار الحلقة للدائرة
المبيّنة بالشكل .

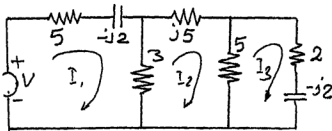
يجب أولاً تحويل
مصادر التيار إلى
مصادر جهد



الدائرة بعد أن
تم تحويل مصادر
التيار إلى مصادر
جهد .

$$\begin{bmatrix} 5\angle 30^\circ + 12\angle -60^\circ \\ 10\angle 80^\circ + 4\angle -30^\circ - 12\angle -16^\circ \\ 14.4\angle 53.7^\circ - 4\angle -30^\circ \end{bmatrix} = \begin{bmatrix} 6-j8+2 & -2 & -(-j8) \\ -2 & 2+j6-j8 & -j6 \\ -(-j8) & -j6 & 3+j2-j4+j6-j8 \end{bmatrix} \begin{bmatrix} I_1 \\ I_2 \\ I_3 \end{bmatrix}$$

$$\begin{bmatrix} 10 - j12.9 \\ -0.799 + j18.2 \\ 5.06 + j13.6 \end{bmatrix} = \begin{bmatrix} 8-j8 & -2 & j8 \\ -2 & 2-j2 & -j6 \\ j8 & -j6 & 3-j4 \end{bmatrix} \begin{bmatrix} I_1 \\ I_2 \\ I_3 \end{bmatrix}$$



مثال : أوجد

Z_{in}

Z_{12}

Z_{13}

معادلات الدائرة

$$\begin{bmatrix} V \\ 0 \\ 0 \end{bmatrix} = \begin{bmatrix} 8-j2 & -3 & 0 \\ -3 & 8+j5 & -5 \\ 0 & -5 & 7-j2 \end{bmatrix} \begin{bmatrix} I_1 \\ I_2 \\ I_3 \end{bmatrix}$$

$$\Delta_z = 315\angle 16.2^\circ$$

$$\Delta_{11} = 45.1\angle 24.9^\circ$$

$$\therefore Z_{in} = \frac{\Delta_z}{\Delta_{11}} = 6.98\angle -8.73^\circ$$

$$Z_{12} = \frac{\Delta_z}{\Delta_{12}} = \frac{315\angle 16.2^\circ}{(-1) \begin{vmatrix} -3 & -5 \\ 0 & 7-j2 \end{vmatrix}} = \frac{315\angle 16.2^\circ}{21.8\angle -16^\circ} = 14.45\angle 32.2^\circ \Omega$$

$$Z_{13} = \frac{\Delta_z}{\Delta_{13}} = 21\angle 16.2^\circ \Omega$$

إذا سلط على الدائرة السابقة جهد قدره $20\angle 30^\circ$ أوجد I_1, I_2, I_3

$$I_1 = \frac{V}{Z_m} = \frac{20\angle 30^\circ}{6.98\angle -8.7^\circ} = 2.86\angle 38.7^\circ \text{ A}$$

$$I_2 = \frac{V}{Z_{12}} = \frac{20\angle 30^\circ}{14.45\angle 32.2^\circ} = 1.396\angle -2.2^\circ \text{ A}$$

$$I_3 = \frac{V}{Z_{13}} = \frac{20\angle 30^\circ}{21\angle 16.3^\circ} = 0.952\angle 13.8^\circ \text{ A}$$

التحليل باستخدام جهد العقدة . **Node voltage analysis**

باستخدام جهود العقد كمجاهيل للدائرة يمكن كتابة عدد من المعادلات قبل بمقدار واحد عن عدد العقد في الدائرة وتكون الصورة العامة لهذه المعادلات

$$[I] = [Y] [V]$$

حيث :

$$[I]^T = [I_1 \ I_2 \ \dots \ I_i \ \dots \ I_j \ \dots \ I_n]$$

والتيار I_i هو مجموع قيم مصادر التيار الداخلة للعقدة I حيث يكون التيار الداخل موجبا والخارج سالبا .

$$[V]^T = [V_1 \ V_2 \ \dots \ V_n]$$

هي مجاهيل الدائرة وهي جهود العقد بالنسبة للعقدة المرجعية

REFERENCE

NODE

$[Y]$ هي مصفوفة المساحات وهي مصفوفة مربعة $N \times N$ على الصورة .

$$[Y] = \begin{bmatrix} Y_{11} & Y_{12} & \dots & Y_{1i} & \dots & Y_{1n} \\ Y_{21} & Y_{22} & \dots & Y_{2i} & \dots & Y_{2n} \\ Y_{j1} & Y_{j2} & \dots & Y_{ji} & \dots & Y_{jn} \\ Y_{n1} & Y_{n2} & \dots & Y_{ni} & \dots & Y_{nn} \end{bmatrix}$$

وعناصر هذه المصفوفة تنقسم الى مجموعتين :

عناصر تحمل اسم العقدة مرتين Y_{ii}, Y_{22}, Y_{11}

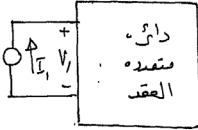
وتعرف بالمساحة الذاتية للعقدة . THE SELF ADMITTANCE OF NODE .

وهي تمثل مجموع المساحات المتصلة بالعقدة . وهي تحمل إشارة موجبة دائما .
وعناصر تحمل اسم عقدتين Y_{ij}, Y_{35}, Y_{12} وتعرف بالمساحة التبادلية MUTUAL ADMITTANCE وهي تمثل مجموع المساحات المتصلة بين العقدتين . وتكون إشارتهما سالبة إذا كان جهد العقدتين له نفس القطبية بالنسبة للعقدة المرجعية وبتطبيق قاعدة كرامر نجد أن :

$$Y_i = I_1 \frac{\Delta_{ii}}{\Delta_y} + I_2 \frac{\Delta_{2i}}{\Delta_y} + \dots + I_n \frac{\Delta_{ni}}{\Delta_y}$$

مساحة الدخول

INPUT ADMITTANCE DRIVING POINT ADMITTANCE



إذا اخذنا دائرة خالية من

العناصر المستقلة ولها طرفين

كما بالشكل وإذا سلطنا

مصدرا للتيار بين الطرفين

فان الجهد .

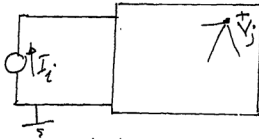
$$V_1 = I_1 \frac{\Delta_{11}}{\Delta_y}$$

حيث تكون بقية الحدود صفر لعدم وجود مصادر سوى I_1 وتعرف مساحة الدخول لهذه الدائرة بأنها النسبة بين التيار الواصل بين الطرفين الى فرق الجهد المتولد عن هذا التيار

$$Y_{in} = \frac{I_1}{V_1} = \frac{\Delta_y}{\Delta_{11}} \quad \text{اى ان .}$$

Transfer Admittance

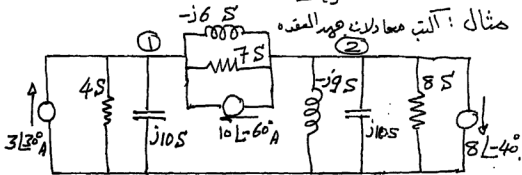
مساحة الانتقال



إذا وصلنا مصدرا
التيار I_i عند إحدى
العقد i بيننا وبين
العقد المرجعية.
فإنه ذلك يؤثر

إلى ظهور فرق جهد بين جميع العقد في الدائرة وبين
العقد المرجعية ونعرف مساحة الانتقال بين العقدتين
 i و j بأنها النسبة بين التيار I_i والجهد المتولد عند
العقد j V_j عندما لا يكون في الدائرة مصادر مستقلة
التيار I_i أي \sim

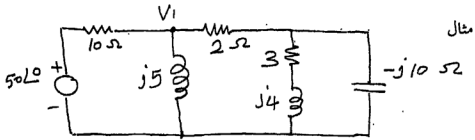
$$Y_{ji} = \frac{I_i}{V_j} = \frac{\Delta_y}{\Delta_{ji}}$$



معادلات الدارة:

$$\begin{bmatrix} 3\angle 135^\circ + j10 \\ -j10\angle -60^\circ - 8\angle -40^\circ \end{bmatrix} = \begin{bmatrix} 4 + j10 & -j6 + 7 \\ -(7-j6) & 7-j6 + 8-j9 + j10 \end{bmatrix} \begin{bmatrix} V_1 \\ V_2 \end{bmatrix}$$

$$\begin{bmatrix} 7.6-j7.16 \\ -11.3 + j13.81 \end{bmatrix} = \begin{bmatrix} 11+j4 & -7+j6 \\ -7+j6 & 15-j5 \end{bmatrix} \begin{bmatrix} V_1 \\ V_2 \end{bmatrix}$$



$$\begin{bmatrix} \frac{50}{10} \\ 0 \end{bmatrix} = \begin{bmatrix} \frac{1}{10} + \frac{1}{j5} + \frac{1}{2} & -\frac{1}{2} \\ -\frac{1}{2} & \frac{1}{2} + \frac{1}{3+j4} + \frac{1}{-j10} \end{bmatrix} \begin{bmatrix} V_1 \\ V_2 \end{bmatrix}$$

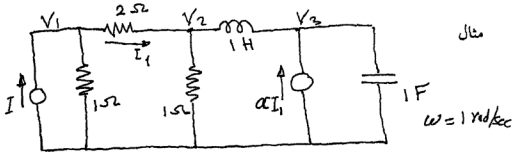
$$\begin{bmatrix} 5 \\ 0 \end{bmatrix} = \begin{bmatrix} 0.1 - j0.2 & -0.5 \\ -0.5 & 0.62 - j0.06 \end{bmatrix} \begin{bmatrix} V_1 \\ V_2 \end{bmatrix}$$

$$V_1 = \frac{\begin{vmatrix} 5 & -0.5 \\ 0 & -0.62 - j0.06 \end{vmatrix}}{\begin{vmatrix} 0.1 - j0.2 & -0.5 \\ -0.5 & 0.62 - j0.06 \end{vmatrix}} = 15.95 \angle 49.94^\circ \text{ V}$$

$$V_2 = \frac{\begin{vmatrix} 0.1 - j0.2 & 5 \\ -0.5 & 0 \end{vmatrix}}{0.194L - 55.5} = 12.9 \angle 55.5^\circ \text{ V}$$

$$Y_{in} = \frac{I_1}{V_1} = \frac{\Delta_Y}{\Delta_{11}} = \frac{0.194L - 55.5}{0.62 - j0.06} = 0.313 \angle 49.94^\circ \text{ S}$$

$$Y_{trans,12} = \frac{I_1}{V_1} = \frac{\Delta_Y}{\Delta_{12}} = \frac{0.194L - 55.5^\circ}{(-1)(-0.5)} = 0.388 \angle -55.5^\circ$$



$$\begin{bmatrix} 1 \\ 0 \\ \alpha I_1 \end{bmatrix} = \begin{bmatrix} 1 + \frac{1}{2} & -\frac{1}{2} & 0 \\ -\frac{1}{2} & 1 + \frac{1}{2} + \frac{1}{j\omega} & -\frac{1}{j\omega} \\ 0 & -\frac{1}{j\omega} & j\omega + \frac{1}{j\omega} \end{bmatrix} \begin{bmatrix} V_1 \\ V_2 \\ V_3 \end{bmatrix}$$

$$I_1 = (V_1 - V_2) \cdot 0.5$$

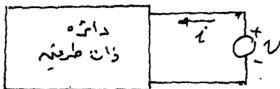
$$\begin{bmatrix} 1 \\ 0 \\ 0 \end{bmatrix} = \begin{bmatrix} 1.5 & -0.5 & 0 \\ -0.5 & (1.5 - j) & -j \\ -0.5\alpha & 0.5\alpha + 1 & 0 \end{bmatrix} \begin{bmatrix} V_1 \\ V_2 \\ V_3 \end{bmatrix}$$

$$\Delta = -j0.5(3 + \alpha)$$

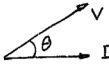
$$Z_{in} = \frac{V_1}{I} = \frac{\Delta_{11}}{\Delta} = \frac{\begin{vmatrix} 1.5 - j & -j \\ 0.5\alpha + 1 & 0 \end{vmatrix}}{-j0.5(3 + \alpha)} = \frac{-j(0.5\alpha + 1)}{-j(3 + \alpha)0.5} = \frac{2 + \alpha}{3 + \alpha} \Omega$$

power in the sinusoidal steady state

القدرة .



إذا نظرنا الى دائرة ذات طرفين مسلط عليها جهد



$$v = V_m \sin(\omega t + \theta)$$

جيبى

$$i = I_m \sin(\omega t)$$

وكان التيار

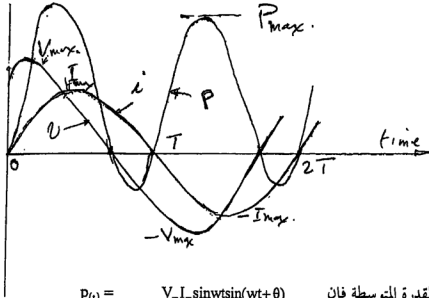
حيث توجد زاوية وجه بين التيار والجهد مقدارها θ وهذه الزاوية تنحصر بين 90°

و $90^\circ +$ للدوائر الحاملة وتكون القدرة اللحظية $p = vi$ أى

$$p = V_m \sin(\omega t + \theta) * I_m \sin \omega t.$$

فاذا رسمنا القيمة اللحظية للجهد والتيار . والقدرة مع الزمن فانها تبدو كمسا في

الشكل .



$$P(t) = V_m I_m \sin \omega t \sin(\omega t + \theta) \quad \text{ولحساب القدرة المتوسطة فإن}$$

$$\sin A \sin B = \frac{1}{2} [\cos(A - B) - \cos(A + B)] \quad \text{و باستخدام العلاقة المثلثية}$$

$$P(t) = \frac{1}{2} V_m I_m [\cos \theta - \cos(2\omega t + \theta)]$$

ومنها نرى ان القيمة اللحظية للقدرة تتكون من جزئين : جزء ثابت مقداره $\frac{V_m I_m}{2} \cos \theta$

و جزء جيبى له ضعف تردد الجهد و التيار $-\frac{V_m I_m}{2} \cos(2\omega t + \theta)$ ومتوسط هذا المقدار

يساوى صفر .

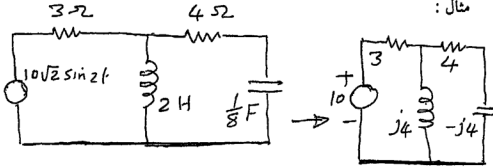
وعلى ذلك فان متوسط القدرة الداخلة للدائرة يساوى قيمة الجزء الثابت أى ان

$$P_{av} = P = \frac{V_m I_m}{2} \cos \theta = VI \cos \theta$$

وبلاحظ انه إذا كانت الدائرة خاملة فان $\cos \theta$ يكون موجبا وتكون القدرة الداخلة موجبة أما إذا كان $\cos \theta$ سالبا فان الدائرة تكون فعالة وتكون القدرة الداخلة سالبة أي أن الدائرة تكون مولدة للقدرة .

ويعرف $\cos \theta$ بأنه معامل القدرة power factor و هو جيب تمام الزاوية بين متجه الجهد و متجه التيار و هي أيضا :زاوية المتعاوقة فإذا كانت الدائرة حثية inductive يكون التيار متأخرا lagging power factor اما في حالة الدائرة السعوية capacitive يكون التيار متقدما عن الجهد ويعرف معامل القدرة في هذه الحالة بأنه leading power factor متقدم .

مثال :



لحساب القدرة الواصلة للدائرة من المصدر نحسب المعاوقة Z والتيار من الدائرة الثانية

$$Z = 3 + \frac{j4(4 - j4)}{4 + j4 - j4} = 7 + j4 = 8.06 \angle 29.7^\circ \Omega$$

$$I = \frac{10}{8.06 \angle 29.7^\circ} = 1.24 \angle -29.7^\circ \text{ A} \quad \text{والتيار}$$

$$P = VI \cos \theta = 10 * 1.24 \cos 29.7^\circ = 10.8 \text{ watt} \quad \text{والقدرة}$$

$$P.F = \cos 29.7^\circ = 0.89 \quad \text{lag} \quad \text{ومعامل القدرة}$$

ايضا يمكن حساب القدرة بمعرفة مقاومة الدائرة وقيمة التيار المار بها حيث

$$P = VI \cos.$$

$$V = Iz$$

حيث Z هو مقدار المعاوقة فإن

$$P = I^2 Z \cos \theta$$

ولكن الجزء الحقيقي من المعاوقة هو $Z \cos \theta = R$

$$P = I^2 R$$

وفي المثال السابق نجد ان

$$R = Z \cos \theta = 7 \Omega$$

$$P = (1.24)^2 \cdot 7 = 10.8 \text{ watt}$$

ايضا مساحة الدائرة

$$Y = \frac{1}{Z} = G + jB$$

$$P = VI \cos \theta$$

$$= V^2 Y \cos \theta$$

وحيث ان التوصيلة G هي الجزء الحقيقي لـ Y

$$G = Y \cos \theta$$

$$P = V^2 G$$

وبتطبيق ذلك على المثال السابق ايضا نجد ان .:

$$Y = \frac{1}{Z} = \frac{1}{8.06 \angle 29.70^\circ} = 0.124 \angle -29.72^\circ \text{ s}$$

$$G = 0.124 \cos(-29.7^\circ) = 0.108 \text{ s}$$

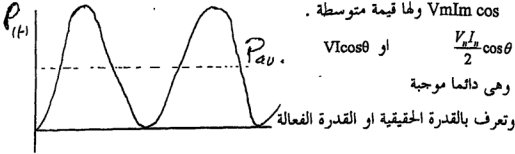
$$P = (10)^2 (0.108) = 10.8 \text{ watt}$$

القدرة الحقيقية والقدرة الغير فعالة . real power and reactive power .

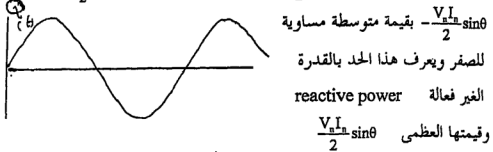
القيمة اللحظية للقدرة الداخلة للدائرة تحصل عليها من العلاقة

$$P_{(t)} = \frac{V_2 I_2}{2} \cos \theta - \frac{V_n I_n}{2} \cos(2\omega t + \theta) = \left[\frac{V_s I_n}{2} \cos \theta - \frac{V_n I_n}{2} \cos \theta \cos 2\omega t \right] + \frac{V_n I_n}{2} \sin \theta \sin 2\omega t.$$

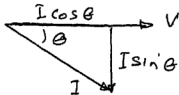
الحدان الاولان يمثلان التغير اللحظي للقدرة الحقيقية حيث تتغير كما بالشكل بين صفر ،



الحد الثالث $(-\frac{V I}{2} \sin \theta \cos 2 \omega t)$ وتراوح قيمته بين $+\frac{V I}{2} \sin \theta$ ، بين



او $P_R = Q = V I \sin \theta$ وجدير بالملاحظة ان القدرة الفعالة p تكون دائما موجبة حيث ان $\cos \theta$ دائما موجبا القيمة سواء كانت θ موجبة او سالبة اما القدرة الغير فعالة Q فتكون موجبة اذا كانت θ موجبة ، وتكون سالبة اذا كانت θ سالبة وقد تم الاتفاق على اعتبار القدرة الغير فعالة الناشئة عن الاحمال الحثية موجبة اى في حالة اذا كان التيار متاخرا عن الجهد (lagging) وسالبة في حالة الاحمال السعوية اى اذا كان التيار متقدما على الجهد (leading) ووحدات قياس القدرة الغير فعالة هي (الفولت - الامبير) (var) وهي تمثل قدرة مترددة بين المصدر والدائرة وتوظيفتها توصيل الطاقة الى المجال المغناطيسى او الى المكثفات عند الشحن . ثم تعود مرة ثانية الى المصدر عند اضمحلال المجال المغناطيسى او



عند تفريغ المكثفات .

ومن جهة اخرى اذا نظرنا

الى متجهات الجهد والتيار

نجد ان متجه التيار يمكن تحليله الى مركبين .

- ١- مركبة في اتجاه الجهد $I \cos \theta$ او المركبة المتفقة في الموجه مع الجهد او مركبة القدرة . حيث ان حاصل ضربها مع الجهد يعطى القدرة الفعالة .
- ٢- مركبة في اتجاه عمودى على اتجاه الجهد $I \sin \theta$ quadrature component او المركبة الغير فعالة للتيار reactive component وحاصل ضرب هذه المركبة في الجهد يعطى القدرة الغير فعالة.

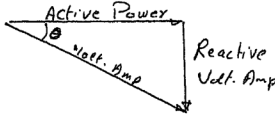
الفولت . أمبير volt . amperes

يعرف لحاصل ضرب قيمة الجهد في قيمة التيار في دوائر التيار المتردد بانه الفولت امبير (VI) وعند ضرب الـ (VI) في معامل القدرة $\cos \theta$ نحصل على القدرة الفعالة أى ان .

$$\text{POWER FACTOR} = \cos \theta = \frac{\text{power}}{\text{volt . amperes.}}$$

ايضا عند ضرب VI في $\sin \theta$ نحصل على القدرة الغير فعالة

$$\text{reactive factor} = \sin \theta = \frac{\text{reactive volt. amp}}{\text{volt. amp.}} \quad \text{اي ان}$$



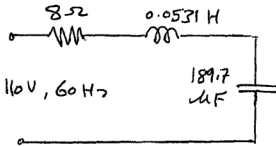
وبذلك فان القدرة

الفعالة والقدرة الغير

فعالة هما مركبتى

الفولت . امبير

$$\text{Volt. Amp} = \sqrt{(\text{power})^2 + (\text{reactive V.A}^2)}$$



مثال في الدائرة المبينة المطلوب حساب

التيار ، القدرة ، معامل القدرة . المعامل

الغير فعال الفولت امبير وفرق الجهد

على كل عنصر

$$X_L = 2\pi 60 * 0.0531 = 20 \Omega.$$

$$X_L = \frac{1}{2\pi * 60 * 189.7 * 10^{-6}} = 14 \Omega.$$

$$Z = R + j(20 - 14) = 8 + j6 = 10 \angle \theta.$$

$$I = \frac{110}{10 \angle \theta} = 11 \angle -\theta \text{ A.}$$

$$P.F = \cos \theta = \frac{8}{10} = 0.8$$

$$R.F = \sin \theta = \frac{6}{10} = 0.6$$

$$P = VI \cos \theta = 110 * 11 * 0.8 = 968 \text{ watt}$$

$$\text{Reactive VA} = Q = VI \sin \theta = 110 * 11 * 0.6 = 726 \text{ vars}$$

$$VA = VI = 110 * 11 = 1210 = \sqrt{968^2 + 726^2}$$

$$V_R = 8 * 11 = 88 \text{ v.}$$

$$V_L = 20 * 11 = 220 \text{ v.}$$

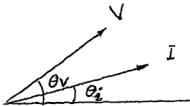
$$V_C = 14 * 11 = 154 \text{ v.}$$

يمكن حساب القدرة ايضا من العلاقة .

$$P = I^2 R = (11)^2 8 = 968 \text{ watt}$$

حساب القدرة باستخدام الاعداد المركبة

لنفرض ان الجهد والتيار كما بالشكل .



$$P = VI \cos(\theta_I - \theta_V) = VI \cos(\theta_I - \theta_V).$$

$$P = VI [\cos \theta_V \cos \theta_V \cos + \sin \theta_V \sin \theta_V] = (V \cos \theta_V \cos \theta_V + V \sin \theta_V \sin \theta_V) = V_V I_V + V_m + I_m$$

$$I = 30 - j10, \quad V = 200 + j40$$

فمثلا اذا كانت

فان القدرة

$$p = (200)(30) + 40 * (-10) = 6000 - 400 = 5600 \text{ watt.}$$

حساب القدرة الغير فعالة من الاعداد المركبة

$$Q = VI \sin(\theta_v - \theta_i) = VI (\sin \theta_v \cos \theta_i - \cos \theta_v \sin \theta_i)$$

$$= (V \sin \theta_v)(I \cos \theta_i) - (V \cos \theta_v)(I \sin \theta_i)$$

أي أن

$$Q = (I_m V)(\text{Re } I) - (\text{Re } V)(I_m I)$$

فمثلا إذا كانت $V = 200 \angle 30^\circ$ و $I = 10 \angle 60^\circ$

$$V = 173.2 + j100$$

$$I = 5 + j8.66$$

فنجد ان

$$Q = (5 * 100) - (173.2 * 8.66) = -1000 \text{ var.}$$

$$P = (5 * 173.2) + (100 * 8.66) = 1732 \text{ watt.}$$

$$VA = \sqrt{P^2 + Q^2} = \sqrt{(1732)^2 + (-1000)^2} = 2000 \text{ v.a.}$$

The conjugate method طريقة المرافق لحساب القدره .

يمكن حساب القدرة الفعالة P والغير فعالة Q بضرب متجه الجهد في مرافق متجه التيار ويكون الجزء الحقيقي لحاصل الضرب هو القدرة الفعالة و الجزء التخيلي هو القدرة الغير فعالة
فاذا كان

$$V = V_{Re} + jV_{Im}$$

$$I = I_{Re} + jI_{Im}$$

فان مرافق التيار يكون

$$I^* = I_{Re} - jI_{Im}$$

$$VI^* = S = (V_{Re}I_{Re} + V_{Im}I_{Im}) + j(I_{Re}V_{Im} - V_{Im}I_{Re})$$

$$s = P + jQ$$

ونلاحظ انه اذا ضربنا V^*I نحصل على نفس قيمة القدرة الفعالة بينما تنعكس اشارة القدرة الغير فعالة فاذا اخذنا نفس المثال السابق نجد ان .

$$VI^* = (173.2 + j100)(5 - j8.66)$$

$$S = 1732 - j1000 \text{ var}$$

وتعرف s بالقدرة المركبة complex power

مثال : دائرة تسحب بتيار مقداره $5\sqrt{2} \sin(377t + 60^\circ) \text{ A}$ سلط عليها جهد

$$100\sqrt{2} \sin(377t + 60^\circ)$$

$$V = 100 \angle 30^\circ$$

متجه الجهد

$$I = 50 \angle 60^\circ \text{ A}$$

متجه التيار

$$I^* = 50 \angle -60^\circ \text{ A}$$

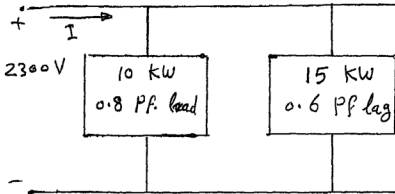
مرافق التيار

$$S = VI^* = 100 * 50 \angle -30^\circ = 4330 - j2500 \text{ V.A}$$

$$P = 4330 \text{ watt .}$$

$$Q = -5000 \text{ var}$$

مثال : مصدر جهد 2300 V موصل عليه حملان كما بالشكل احسب تيار المصدر I



$$S_1 = \frac{10000}{0.8} \angle \cos^{-1} 0.8 \quad \text{V.A}$$

$$= 12500 \angle -56.9 \quad \text{V.A}$$

$$S_2 = \frac{15000}{0.6} \angle \cos^{-1} 0.6 \quad \text{V.A}$$

$$= 25000 \angle -53.1^\circ \quad \text{V.A}$$

$$S = S_1 + S_2$$

$$= 10000 - j7500 + 15000 + j20000$$

$$= 25000 + j12500 \quad \text{V.A}$$

$$= 27951 \angle 26.6^\circ$$

$$I = \frac{27951}{2300} = 12.2 \text{ A.}$$

6 - 1 A series R L circuit has resistor and inductor voltages of 40 v and 60 v (RMS) respectively. What is the applied voltage?

Find all the voltage phasors given that the resistor voltage has 30

6 - 2 A series RLC circuit has 100 v (rms) applied. If the resistor and inductor voltages are 60 v and 100 v resp . what is the capacitor rms. Voltage . Find all the voltage phasors . given that the current phasors has a 30

6 - 3 A 2 H inductor and a 10Ω resistor are in series . find their total impedance in polar form at (a) 0 Hz , 4Hz & 1 kHz draw the impedance diagram .

6 - 4 repeat problem 6 - 3 with R & L in parallel.

6 - 5 find the impedance in polar form of a $10 \mu\text{F}$ capacitor in series with a 47Ω resistor at frequency of (a) 0 Hz

(b) 10 kHz (c) 1 MHz . Draw the impedance diagram

6 - 6 repeat problem 6 - 5 with the components in parallel .

6 - 7 A capacitor and a resistor in series draw a current $1/30$ from a 110 v 50Hz source . Find the capacitance and resistance .

6 - 8 Find the impedance in polar form of the series combination of 1Ω resistor , a 1mH inductor and a $10 \mu\text{F}$ capacitor at frequencies (a) 100 Hz (b) 5KHz (d) 1M Hz draw the impedance diagram

6 - 9 in problem 6 - 8 find the frequency at which the impedance is pure resistance and the frequency at which the angle is 45°

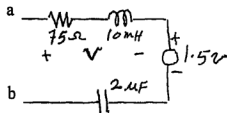
6 - 10 two elements in series draw a current of $12 \sin(200t+20)$ in response to an applied voltage of $48 \sin(200t+60)$ find the two elements

6 - 11 find the total impedance in polar form of the series impedances $100 \angle -75^\circ$ $2000 \angle 80^\circ$ and $500 \angle 10^\circ \Omega$

6 - 12 A capacitor in series with a 2H coil and having a 10Ω winding resistance what capacitance makes the combination purely resistive at 1 KHz .

6 - 13 A 1 m H coil with 5 winding resistance is shunted by a $100\mu\text{F}$ capacitor what two components in series have the same impedance at 4 k rad/s .

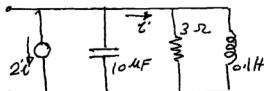
6 - 14 for the circuit shown find the impedance between a b at 10 krad/s



6 - 15 A circuit has 1000 30 v applied across three series connected impedances of $10\angle 30^\circ$, $15\angle -05^\circ$ and $20\angle 60^\circ \Omega$ Find the current and the voltage across each impedance and draw the phasor diagram

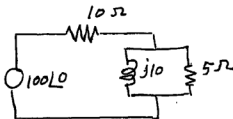
6 - 16 three elements in parallel have an impedance of $1.5\angle -30^\circ$ at 4 kHz . if one element is a capacitor of $10\mu\text{F}$. what are the other two elements

6 - 17 for the circuit shown find the input impedance at 20 krad/sec .

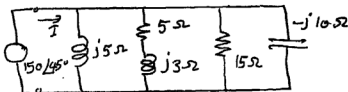


6 - 18 A current of $4\cos(1000t-30^\circ)$ A flows into the parallel combination of a 300Ω resistor and a $2\mu\text{F}$ capacitor find the resistor and capacitor currents

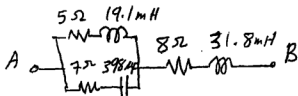
6 - 19 for the circuit shown find the current in each element and draw the phasor diagram.



6 - 20 find the current I and the total impedance



6 - 21 In the circuit shown determine what 50 Hz voltage must be applied across AB in order that the current in the condenser to be 10 A draw a complete phasor diagram.



6 - 22 An inductor L and a resistor R are connected in series. A capacitor C is shunted across L and R . At what frequency will the total current in the circuit be independent of the value of R . what is the value of the current when the applied voltage is V

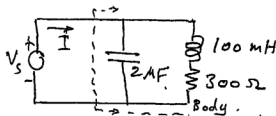
6 - 23 A 100 v is applied between A and B. find the current I use Y- Δ or Δ -Y transformation



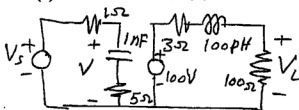
6 - 24 if a person makes good contact with his hands, the circuit can be represented as shown.

find the steady state

current I at a frequency (a) 50hz (b) 400hz with $V_s = 220$ v



6 - 25 the model of a high frequency amplifier is shown what is v across the lead resistance.



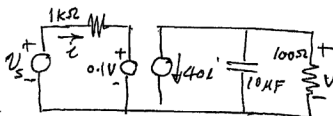
$V_s = 10 \cos \omega t$. $\omega = 10^8$ rad/sec

6 - 26 An amplifier circuit is shown.

with an input voltage

$V_s = 5 \cos 200 t$ v

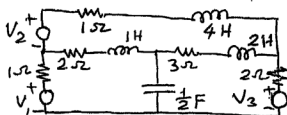
find the output voltage v



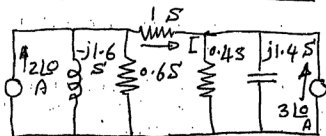
6 - 27 write the impedance

matrix of the network

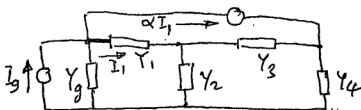
shown at $\omega = 1$ rad/sec



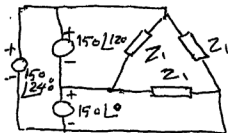
6 - 28 find the current I



6-29 write the node voltage equations

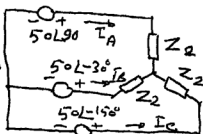


6-30 use (a) loop analysis (b) node analysis to find the current I_A , I_B and I_C in each of the two circuits shown.

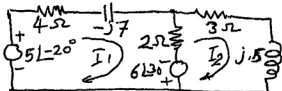


$$Z_1 = 10\angle 45^\circ \Omega$$

$$Z_2 = 5\angle 30^\circ \Omega$$

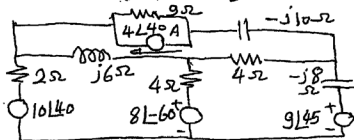


6-31 find the mesh current I_1 and I_2 and the current in the 2Ω resistance.



6-32 In the above circuits choose loop current such that I_2 is the only current through the 2Ω resistance and find I_2 .

6-33 find the current flowing in the 2Ω resistance.



6-34 find a circuit that corresponds to the following mesh equations.

$$\begin{bmatrix} 12-j8 \\ -16+j10 \\ 4-j5 \end{bmatrix} = \begin{bmatrix} 8+j10 & -(3-j2) & -(3+j2) \\ -(3-j2) & 10-j16 & -(5+j4) \\ -(3+j2) & -(5+j4) & 7-j8 \end{bmatrix} \begin{bmatrix} I_1 \\ I_2 \\ I_3 \end{bmatrix}$$

6-35 For the circuit of problem 6-29 find the transfer impedance between the loop counting the 2 ntainig the $-j8$

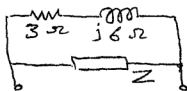
6-36 A passive two terminal circuit with $200(10t+20)$ v applied, draws $10 \sin(10-30)$ amp. Find the power factor. Also find the peak value of the power and the average power

6 - 35 A circuit consisting of a resistor and a capacitor dissipates 5 W when connected to a 110 V - 1000 Hz source. If the power factor is 0.5 what are the resistance and capacitance

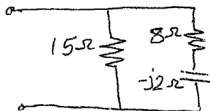
- (a) when they are connected in series
(b) when they are connected in parallel.

6 - 36 A capacitive load dissipates 2 kW when drawing 20 A from 150 V source. What is the power factor and if the voltage is increased to 200 V, what are the current drawn and the power absorbed.

6 - 37 In the circuit shown, the power in the $3\ \Omega$ resistance is 666 watts. And the total circuit takes 3370 VA at 0.937 pf leading find the impedance Z .



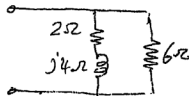
6 - 38 In the circuit shown the total power is 2000 watts. What is power in each resistor



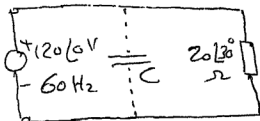
6 - 39 If a load takes 10 $\angle -20^\circ$ amp with 200 $\angle 30^\circ$ V applied. Find the power triangle

6 - 40 find the power factor of the circuit, if the $6\ \Omega$ resistance is

changed such that the overall power factor becomes 0.9 lagging. What will be the new value of the resistance.



6 - 41 find the capacitance C necessary to correct the power factor to 0.95.



الفصل السابع

نظريات الدوائر

Network Theorems

توفر قوانين كيرتشفوف امكانية حل الدوائر إلا أنه باستخدام بعض النظريات يمكن الحصول على حلول أيسر وأسرع للدائرة ، من هذه النظريات نذكر الآتي

The Superposition theorem ١- نظرية الإضافة

The Principle of Superposition أو مبدأ الإضافة

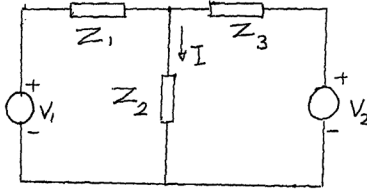
وهذه النظرية تنطبق على جميع الدوائر الخطية ويمكن صياغتها على النحو التالي .

- في أي دائرة خطية إذا احتوت على أكثر من مصدر فإن الاستجابة عند أي نقطة تكون مساوية لمجموع الاستجابات الناشئة عن كل مصدر على حده بينما نضع جميع المصادر الأخرى مساوية للصفر .

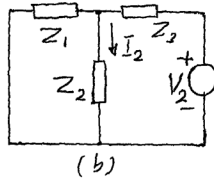
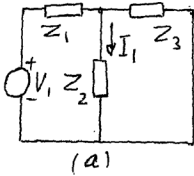
والبرهان على ذلك يمكن الحصول عليه من صيغة التيار I_i في حالة التحليل بمعادلات تيار الحلقة أو V_i في حالة التحليل بمعادلات جهد العقدة حيث نجد أن

$$I_i = \frac{\Delta_i}{\Delta} V_1 + \frac{\Delta_2}{\Delta} V_2 \dots \dots \dots \frac{\Delta_n}{\Delta} V_n \dots \dots \dots + \frac{\Delta_{ni}}{\Delta} V_n$$

حيث يمكن اعتبار التيار I_i ناشئ عن مجموع n من التيارات كل منها يساوي $\frac{\Delta_{ki}}{\Delta} V_k$ حيث $k=1, 2, \dots, n$ وحيث $\Delta, \Delta_1, \Delta_2, \dots, \Delta_n$ تعتمد فقط على عناصر الدائرة ومثال لتطبيق هذه النظرية نأخذ الدائرة المبينة بالشكل



حيث يمكن اعتبار التيار I هو محصلة دائرتين a, b

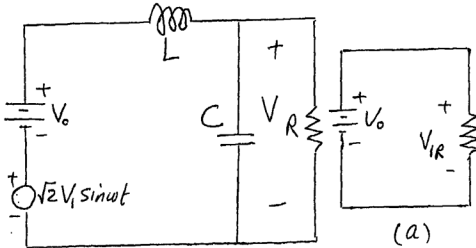


$$I = I_1 + I_2$$

$$\bar{I} = \frac{V_1}{Z_1 + \frac{Z_2 Z_3}{Z_2 + Z_3}} + \frac{V_2}{Z_2 + \frac{Z_1 Z_3}{Z_1 + Z_2}} = \frac{Z_3 V_1 + Z_1 V_2}{Z_1 Z_2 + Z_2 Z_3 + Z_3 Z_1}$$

وفي الغالب فإن تطبيق هذه النظرية لا يعطي حولا سهلة إلا في الحالات البسيطة التي تكون فيها حل الدائرة واضحا بمجرد النظر ، غير أن تطبيق نظرية الإضافة يكون جذريا ^{مفهما} في حالة الدوائر التي تحتوي على مصادر تعمل عند ترددات مختلفة حيث لا نستطيع أن نستخدم نفس الدائرة مع جميع المصادر ولربما يحتاج كل مصدر إلى تعديل الدائرة حسب تردد المصدر .

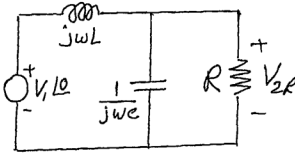
مثال : لحساب الجهد V على المقاومة في الدائرة المبينة



فإننا نجد أن الجهد الناشئ عن مصدر التيار المستمر على حده حسب الشكل (a)

$$V_{1R} = V_0$$

بالإضافة إلى الجهد الناشئ عن مصدر التيار المتردد على حده حسب الشكل (b)



(b)

$$V_{2R} = \frac{V_1 \frac{R}{1 + j\omega C R}}{j\omega L + \frac{R}{1 + j\omega C R}}$$

$$= \frac{V_1 R}{R - \omega^2 L C R + j\omega L}$$

$$= V_{ac} L \Phi$$

$$V_{ac} = \frac{V_1 R}{\sqrt{(R - \omega^2 L C R)^2 + \omega^2 L^2}}$$

$$\Phi = -\tan^{-1} \frac{\omega L}{R - \omega^2 L C R}$$

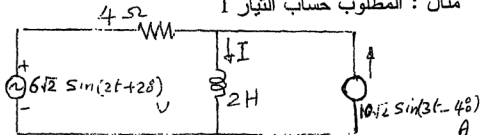
ويكون الجهد الكلي على المقاومة هو

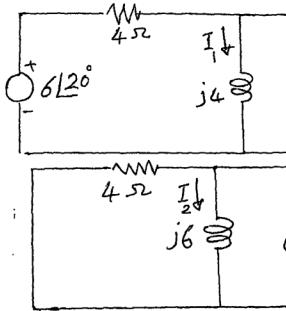
$$V = V_{1R} + V_{2R}$$

$$= V_0 + \sqrt{2} V_{ac} \sin(\omega t + \Phi)$$

وهذا النوع من الدوائر الذي يحتوي على مصدر تيار مستمر ومصدر تيار متردد شائع في الدوائر الإلكترونية حيث يلزم مصدر تيار مستمر لتوفير الشروط المناسبة لعمل الترانزستور ولإمداد الدائرة بالطاقة المطلوبة ويكون مصدر التيار المتردد هو الإشارة المطلوب التعامل معها .

مثال : المطلوب حساب التيار I





دائرة (a)
 $\omega = 2$
 مصدر الجهد = 61

دائرة (b)
 $\omega = 3$
 مصدر الجهد = 10

يوجد بالدائرة مصدران مختلفان في التردد فيلزم تطبيق نظرية
 الإضافة مع تعديل الدائرة حسب تردد المصدر ففي حالة مصدر
 الجهد حيث $W = 2$ دائرة (a)

$$I_1 = \frac{61 \angle 20^\circ}{4 + j4} = \frac{1.5}{\sqrt{2}} \angle -25^\circ \text{ A}$$

وفي حالة مصدر التيار $W = 3$ دائرة (b)

$$I_2 = \frac{40 \angle -40^\circ}{4 + j6} = 5.55 \angle 96.3^\circ \text{ A}$$

$$(I = I_1 + I_2) ???$$

وحيث أن التردد مختلف فيلزم الجمع بينهم في الحيز الزمني

$$\therefore i(t) = i_1(t) + i_2(t) = 1.5 \sin(2t - 25^\circ) - 7.85 \cos(3t - 6.3^\circ)$$

Thevenin's Theorem

Norton's Theorem

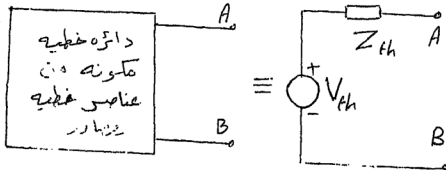
٦ - ٢ نظرية ثيفينين

، ونظرية نورتن

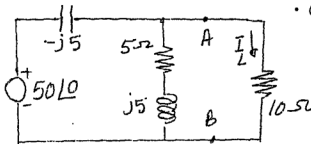
وتعطي النظريتان الأساس التي يمكن به الحصول على دائرة مكافئة لأي دائرة خطية وتعرف أي دائرتين بأنهما متكافئتين إذا مررت كل منهما تيارا في معاوقة توصل على طرفي الدائرة بحيث يكون التياران متساويان إذا تساوت المعاوقة الموصلة على كل منهما .

٦ - ٢ - ١ نظرية ثيفينين

تنص نظرية ثيفينين على أن أي دائرة خطية تحتوي على عناصر ومصادر ولها طرفين A , B يمكن الإستعاضة عنها بمصدر جهد V_{th} معاوقة Z_{th} على التوالي



حيث V_{th} هو جهد الدائرة المفتوحة مقاسا بين النقطتين A, B ، Z_{th} هي مقاومة الدخول للدائرة بين الطرفين A, B عندما تكون جميع المصادر المستقلة داخل الدائرة تؤول إلى الصفر . فإذا وصلنا معاوقة Z_L بين الطرفين A, B في الدائرة الأصلية ووصلنا نفس المعاوقة Z_L بين الطرفين A, B في الدائرة المكافئة فإننا نحصل



على نفس التيار في الحالتين .

وكمثال لتطبيق النظرية

لنفرض أننا نريد حساب

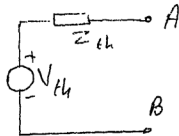
التيار في المقاومة

10Ω في الدائرة المبينة ،

بنطبق النظرية يمكن

الحصول على الدائرة المكافئة

للطرف الأيسر من الدائرة على الشكل المبين



$$V_{th} = V_{AB} = \frac{50 \angle 0^\circ (5 + j5)}{5 + j5 - j5}$$

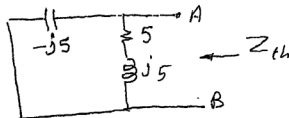
$$= 70.7 \angle 45^\circ \text{ V}$$

حيث

Z_{th} هي المقاومة بين الطرفين A, B في الدائرة المبينة

$$Z_{th} = \frac{-j5(5 + j5)}{5 + j5 - j5}$$

$$= 5 - j5\Omega$$

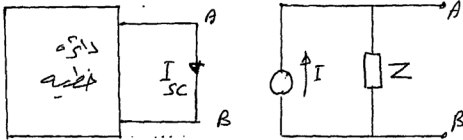


ويكون التيار في المقاومة 10Ω

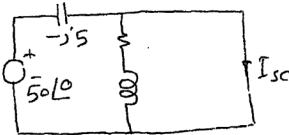
$$I_L = \frac{70.7 \angle 45^\circ}{5 - j5 + 10} = 4.47 \angle 63.43^\circ \text{ A}.$$

٦ - ٢ - ٢ نظرية نورتن

تتص على أنه في أي دائرة خطية مكونة من عناصر خاملة ومصادر ولها طرفان فإن A, B يمكن الاستعاضة عنها بمصدر تيار واحد I ومعاوقة واحدة موصلة على التوازي كما بالشكل



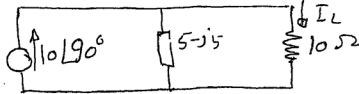
حيث I هو التيار المار في الدائرة المقصورة (I_{sc}) بين النقطتين A, B للدائرة الأصلية و Z_{th} هي المقاومة بين الطرفين A, B للدائرة الأصلية عندما تؤزل جميع المصادر في الدائرة إلى الصفر فإذا أخذنا نفس المثال السابق نجد أن



$$I_{sc} = \frac{50 \angle 0^\circ}{-j5} = 10 \angle 90^\circ \text{ A}$$

$$Z = \frac{-j5(5-j5)}{5-j5+j5} = 5-j5$$

وهي نفس قيمة المعاوقة السابقة ويكون التيار المار في المقاومة 10Ω



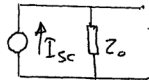
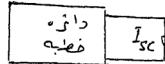
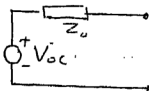
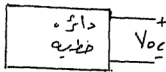
$$I_L = 10\angle 90^\circ \left(\frac{5-j5}{15-j5} \right) = 4.47\angle 63.43^\circ \text{ A}$$

وهو نفس قيمة التيار التي حصلنا عليها من تطبيق نظرية ثيفينين .

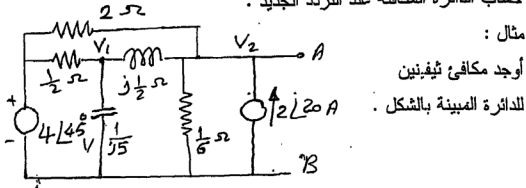
والواقع أن نظرية ثيفينين ونظرية نورتن هما وجهان لطريقة تمثيل الدائرة المكافئة بين طرفين لأي دائرة خطية مكونة من عناصر خاملة ومصادر

وبصفة عامة فإن أي دائرة خطية مكونة من عناصر خاملة ومصادر يمكن الحصول على دائرة مكافئة لها بين أي طرفين وتكون الدائرة المكافئة على هيئة مصدر واحد ومعاوقة واحدة وللحصول على الدائرة المكافئة نحسب جهد الدائرة المفتوحة بين الطرفين V_{oc} والتيار القصر الذي يمر عند توصيل الطرفين ببعضهما I_{sc} وحساب المعاوقة $Z_0 = \frac{V_{oc}}{I_{sc}}$ ونضع الدائرة المكافئة إما على صورة مصدر جهد قيمته V_{oc} ومعه Z_0 على التوالي أو على صورة

مصدر تيار I_{sc} ومعه Z_0 على التوازي



وجدير بالملاحظة أن الدائرة المكافئة التي نحصل عليها تكافئ الدائرة الأصلية عند الطرفين A, B عند تردد واحد فقط وهو التردد الذي تم عنده الحساب ذلك أن المفاعلات في الدائرة الأصلية تتغير بتغير التردد فإذا تغير التردد يجب حساب الدائرة المكافئة عند التردد الجديد .



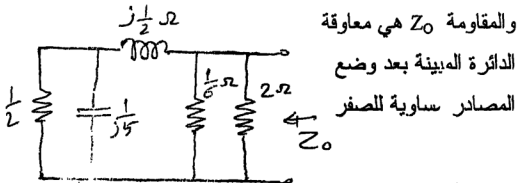
جهد الدائرة المفتوحة هو V_2 ويمكن الحصول عليه باستخدام معادلات

جهد العقدة

$$\begin{bmatrix} 8\angle 45^\circ \\ 2\angle 45^\circ + 2\angle 20^\circ \end{bmatrix} = \begin{bmatrix} 2+j5-j2 & j2 \\ j2 & -j2+6+0.5 \end{bmatrix} \begin{bmatrix} V_1 \\ V_2 \end{bmatrix}$$

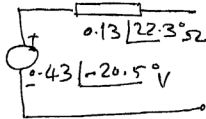
$$V_{oc} = V_2 = \frac{\begin{vmatrix} 2+j3 & 8\angle 45^\circ \\ j2 & 3.9\angle 20^\circ \end{vmatrix}}{\begin{vmatrix} 2+j3 & j2 \\ j6 & 6.5-j2 \end{vmatrix}}$$

$$= \frac{11.9\angle 13.5^\circ}{27.7\angle 34^\circ} = 0.43\angle -20.5^\circ \text{ V}$$

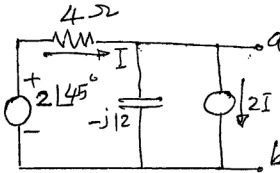


$$Z_0 = 0.13\angle 22.3^\circ \Omega$$

ويكون مكافئ ثيفينين كما بالشكل



مثال :



لإيجاد مكافئ ثيفينين

للدائرة نحسب V_{OC}

بكتابة معادلة جهد العقدة a

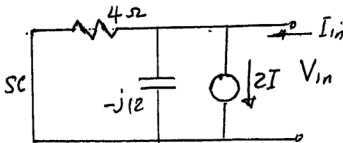
$$\frac{20\angle 45^\circ}{4} - 2I = V_s \left(\frac{1}{4} + \frac{j}{12} \right)$$

$$I = \frac{(20\angle 45^\circ - V_s)}{4}$$

$$V_a = V_{oc} = 19\angle 63.4^\circ \text{ V}$$

نظرا لوجود المصدر المحكوم $2I$ لا نستطيع حساب المعاوقة Z_0

بطريقة الاختصارات

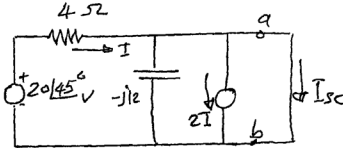


ولذلك نستخدم

الدائرة المبينة

لحساب Z_0 من العلاقة

$$Z_o = \frac{V_{in}}{I_{in}}$$



$$I_{in} - 2I = V_{in} \left(\frac{1}{4} + \frac{1}{12} \right)$$

$$Z_o = \frac{V_{in}}{I_{in}} = -3.8 \Omega$$

ويمكن حساب Z_o أيضا عن طريق حساب تيار القصر I_{sc} للدائرة بين الطرفين a , b في وجود المصدر المستقل $20L45^0 V$ ومنها نجد

$$Z_o = \frac{V_{oc}}{I_{sc}} \quad \text{أن}$$

$$I_{sc} = -2I + I = -I$$

$$= -\frac{20L45^0}{4} = -5L45^0 A$$

$$Z_o = \frac{19 \angle 63.4^0 V}{-5 \angle 45^0 A}$$

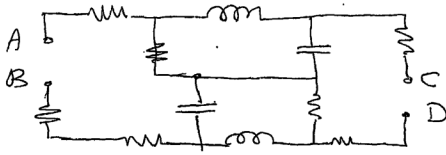
$$= -3.8 \angle 18.4^0$$

وهي نفس النتيجة السابقة.

٦ - ٣ نظرية التبادل (أو التعاكس) The Reciprocity Theorem

في أي دائرة مكونة من معاوقات خطية إذا وصلنا مصدرا مثاليا بين أي طرفين وقسنا الاستجابة نتيجة لهذا المصدر في نوع

آخر من الدائرة بواسطة جهاز قياس مثالي فإن النسبة بين قيمة المصدر وقراءة جهاز القياس لا تتأثر بتبادل وضعيهما



فمثلا في الدائرة المبينة إذا وضعنا مصدرا للجهد V بين النقطتين B و A, ووضعنا أميتر لقياس التيار المار عند النقطتين C, D فإن النسبة بين قيمة مصدر الجهد وقراءة الأميتر $\frac{V}{I}$ لا تتغير إذا عدلنا وضع مصدر الجهد ليكون بين النقطتين D, C ووضعنا الأميتر بين النقطتين A, B.

مثال : في الدائرة السابقة إذا وضعنا مصدرا للجهد قيمته $100 \angle 0^\circ V$ في الفرع AB ونشأ عنه تيار $5 \angle -60^\circ A$ في الفرع CD ما هو التيار الذي يمر في الفرع AB إذا وضعنا مصدرا للجهد مقداره $50 \angle 230^\circ V$ في الفرع CD طبقا لنظرية التبادل فإن المعاوقة التبادلية بين الفرعين ثنائية

$$Z = \frac{V}{I} = \frac{100 \angle 0^\circ}{5 \angle -60^\circ} = 20 \angle 60^\circ \Omega$$

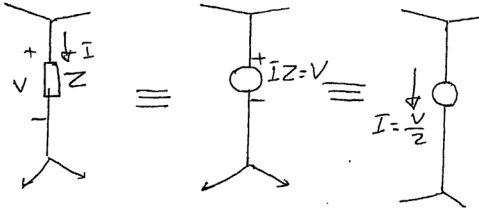
ومنها نجد أن التيار المار في الفرع AB في الحالة الثانية .

$$I = \frac{50L23.1^\circ}{20L60^\circ} = 2.5L - 36.9^\circ$$

$$= 2 - j1.5A$$

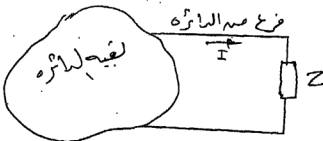
٦ - ٤ نظرية الإحلال Substitution theorem

في أي دائرة إذا وجدت مقاومة محددة Z يمر بها تيار معروف I فإنه يمكن إحلال المعاوقة بمصدر جهد قيمته I_2 أو بمصدر تيار قيمته I



٦ - ٥ نظرية التعويض The Compensation Theorem

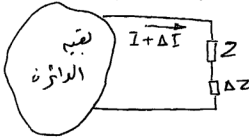
إذا وجدت معاوقة Z يمر بها تيار I في أي فرع من دائرة وإذا تغيرت المعاوقة بمقدار ΔZ فإن التيار في جميع أفرع الدائرة يتغير بمقدار ΔI ويمكن حساب ΔI بوضع مصدر جهد $I\Delta Z$ على التوالي مع المعاوقة بعد التعديل $(Z + \Delta Z)$ بحيث يعمل هذا المصدر وحده في الدائرة ويكون اتجاه هذا المصدر في اتجاه هبوط الجهد بالنسبة للتيار I



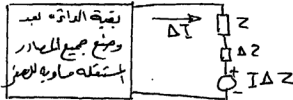
ففي الشكل المبين إذا

تغيرت Z إلى

فإنه يمكن حساب ΔI



بوضع مصدر جهد $I\Delta Z$ على التوالي مع المعاوقة $(Z + \Delta Z)$ ووضع جميع المصادر المستقلة في الدائرة بحيث تساوي صفر .



مثال :

في الدائرة المبينة

$$I_2 = \frac{V_1 Z_3 + V_2 Z_1}{Z_1 Z_2 + Z_2 Z_3 + Z_3 Z_1}$$

إذا تغيرت Z_2 إلى

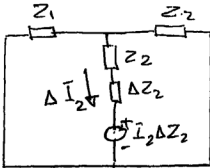
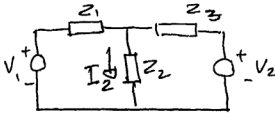
$Z_2 + \Delta Z_2$ فإن I_2 يتغير

إلى $I_2 + \Delta I_2$ ويمكن حساب

ΔI_2 من

الدائرة المبينة حيث

$$\Delta I_2 = \frac{-I_2 \Delta Z_2}{Z_2 + \Delta Z_2 + \frac{Z_1 Z_3}{Z_1 + Z_3}}$$

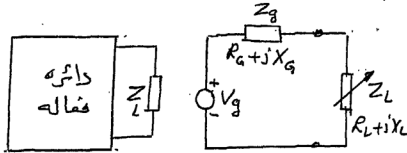


٦ - ٦ أقصى انتقال للقدرة The Maximum Power Transfer

تهتم هذه النظرية بكيفية الحصول على أقصى قيمة ممكنة للقدرة

من دائرة إذا وصل عليها معاوقة حمل يمكن تغييرها

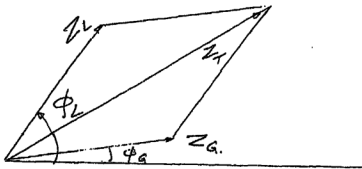
وحيث أن أي دائرة يمكن اختصارها (حسب نظرية ثيفينين) إلى مصدر واحد ومعاوقة واحدة فإن النظرية يمكن صياغتها بصورة عامة كالآتي



يكون انتقال القدرة من مصدر ذو معاوقة داخلية ثابتة قيمة عظمى عندما تكون معاوقة الحمل الذي يستقبل القدرة مساوية لمعاوقة المصدر أي أنه إذا كانت، $z_s = R_s + jX_s$ فإن المعاوقة Z_L يجب اختيارها بحيث تكون $Z_L = R_s - jX_s$ حتى يتسنى لها استقبال أكبر قيمة من القدرة الخارجة من المصدر ولبرهنة النظرية نحسب القدرة من العلاقة

$$p_L = R_L (V_L I_L^*)$$

ومن رسم المتجهات نجد أن



$$I_L = \frac{V_g}{Z_T}$$

$$V_L = \frac{V_g Z_L}{Z_T}$$

$$P_L = \operatorname{Re} \left(\frac{V_g Z_L}{Z_T} \right) \left(\frac{V_g}{Z_T} \right)^*$$

$$P_L = \frac{V_g^2}{Z_T^2} R_L Z_L$$

$$= \frac{V_g^2 Z_L \cos \phi_L}{Z_g^2 + Z_L^2 + 2Z_g Z_L \cos(\Phi_L - \Phi_g)}$$

وتكون القدرة P_L قيمة عظمى إذا كان

$$\frac{\delta P_L}{\delta Z_L} = 0$$

$$\frac{\delta P_L}{\delta \Phi_L} = 0$$

من الشرط الأول نجد أن $Z_g = Z_L$

ومن الشرط الثاني نجد أن

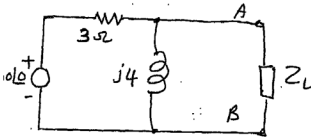
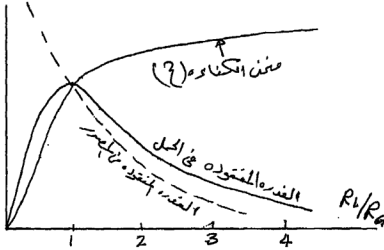
$$\sin \Phi_L = -\sin \Phi_g$$

$$\Phi_L = -\Phi_g \quad \text{أي أن}$$

عند تحقق هذان الشرطان فإن

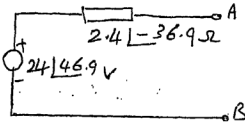
$$P_{Lmax} = \frac{V_G^2}{4R_G}$$

وهي أقصى قيمة للقوة التي يمكن الحصول عليها من المصدر عندها يكون
الفقد في المصدر مساويا للقوة الواصلة للحمل وتكون كفاءة النظام ٥٠ % .



مثال :

في الدائرة المبينة ما هو
الحمل الذي يستقبل أقصى
قوة من الدائرة وما قيمة
هذه القدرة .



الحمل الذي يستقبل أقصى قدرة

هو المعاوقة المرافقة لمعاوقة

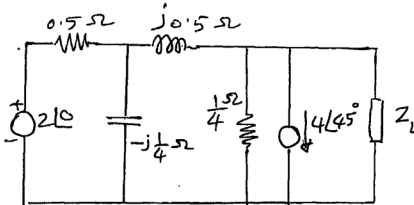
ثيفينين للدائرة

$$Z_L = Z_c = 2.4 \angle 36.9^\circ$$

$$P_{L_{max}} = \frac{(24)^2}{4 \times 2.4} = \frac{(24)^2}{4 \times 1.9^2} = 75W$$

مثال : أوجد معاوقة الحمل التي تستقبل أقصى قدرة من الدائرة وقيمة هذه

القدرة



$$\begin{bmatrix} 4I^0 \\ -4I^{45^\circ} \end{bmatrix} = \begin{bmatrix} 2+j2 & j2 \\ j2 & 4-j2 \end{bmatrix} \begin{bmatrix} V_1 \\ V_2 \end{bmatrix}$$

$$V_{oc} = V_L = \frac{\begin{vmatrix} 2+j2L^0 & j2 \\ j2 & -4L \end{vmatrix}}{\begin{vmatrix} 2+j2 & j2 \\ j2 & 4-j2 \end{vmatrix}} = 1.17 \angle -104^\circ V$$

$$Z_{th} = 0.147 + j0.0882 \Omega$$

للحصول على أقصى قدرة

$$Z_L = 0.147 - j0.0882 \Omega$$

وأقصى قدرة

$$P_{L_{max}} = \frac{(1.17)^2}{4 \times 0.147} = 2.33w$$

٦ - ٧ مبدأ موازنة المعاوقات

The

Principle Of Impedance Matching

وهو المبدأ الذي به يتم موازنة مقاومة الحمل بحيث نستقبل أكبر قيمة ممكنة من قدرة المصدر وهذا المبدأ له أهمية كبيرة في دوائر الاتصالات والدوائر الإلكترونية بصفة عامة ومن نظرية القيمة العظمى للقدرة رأينا أن أنسب مقاومة حمل هي التي تكون مترافقة مع معاوقة المصدر وفي الحالات التي لا يمكن تحقيق شرط الترافق نظرا لطبيعة كل من الحمل والمصدر يمكن الحصول على أقصى

$$X_L = X_G , R_L = R_G \quad \text{قدرة بجعل}$$

وإذا تعذر الحصول على هذا الشرط أيضا يمكن جعل

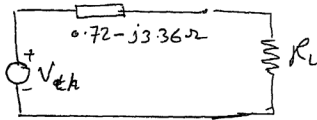
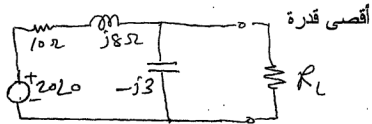
$$|Z_L| = |Z_G|$$

أي أن

$$\sqrt{R_L^2 + X_L^2} = \sqrt{R_G^2 + X_G^2}$$

مثال :

ما قيمة المقاومة التي يجب توصيلها على أطراف الدائرة لاستقبال

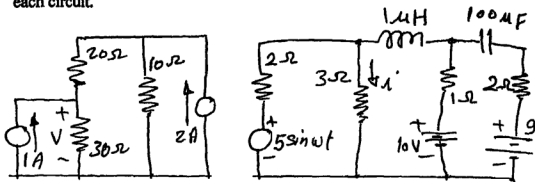


$$Z_{th} = 0.72 - j3.36\Omega$$

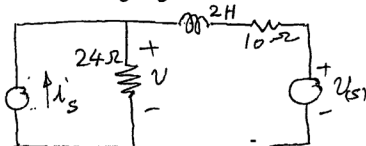
المقاومة المطلوبة

$$R_L = \sqrt{(0.72)^2 + (3.36)^2} = 3.436\Omega$$

7-1 Use the principle of superposition to find the variables indicated in each circuit.



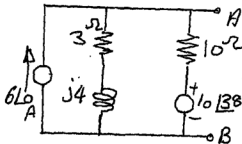
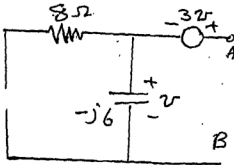
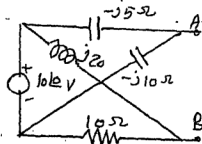
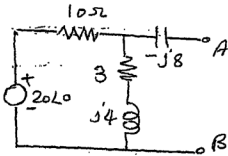
7-2 Find the voltage V for the circuit shown.



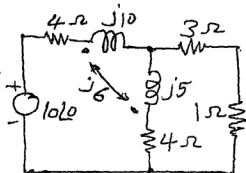
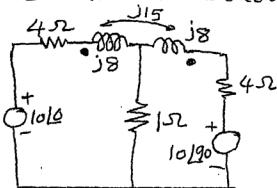
$$V_{(s)} = 300 \sin 4t \text{ volts}$$

$$i_{(s)} = 30 \sin (3t - 15^\circ) \text{ A}$$

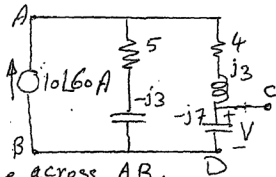
7-3 Calculate the Thevenin's and Norton equivalent circuits with respect to terminals A B for each of the following circuits.



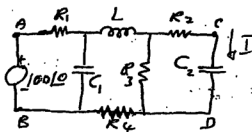
7-4 Use Thevenin's theorem to find the current in the 1Ω resistance of the circuits below.



7-5 Find the voltage V . Disconnect the source, and connect it across CD . Find the voltage across AB .

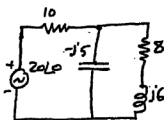


7-6 If the source $100\angle 0^\circ$ V in the branch AB produces a current $I = 2\angle 60^\circ$ in the direction CD. What will be



the current in AB if the source $100\angle 0^\circ$ is removed and a source $60\angle -30^\circ$ V is applied in series with the capacitor C_2 .

7-7 In the circuit shown find the change in the current in the $10\ \Omega$ resistance if the impedance $8 + j6\ \Omega$ is changed to $5 + j3\ \Omega$.

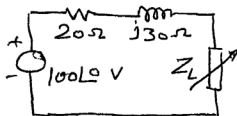


7-8. In the circuit shown, Z_L is

variable. Find the

value of Z_L for which

the source delivers maximum power in the following cases.

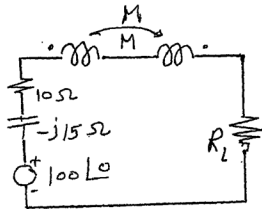


- Z_L is arbitrary.
- $Z_L = R_L$ is a pure resistance.
- $Z_L = 30 + jX_L$. X_L is only variable.
- $Z_L = R_L + jX_L$ both R_L and X_L are positive variables.

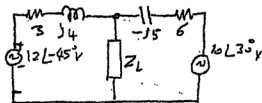
19.

Calculate the Power supplied to the load in each case.

7-9 If M and R_L are variables, find M and R_L for Maximum Power transfer to R_L .

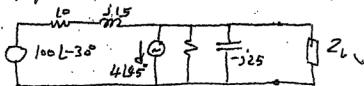


7-10 What load impedance Z_L absorbs maximum power from the circuit shown



Calculate the power delivered to the load.

7-11 Repeat Problem 7-10 for the circuit shown

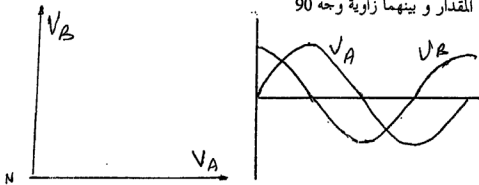


الفصل الثامن

النظم ثلاثية الأوجه

Three phase systems

يكون مصدر الجهد متعدد الواجهه poly-phase إذا كان مكوناً من جهدان أو أكثر متساوية في المقدار و بينهم زوايا وجه ثابتة
النظام ثنائى الأوجه Two Phase system يتكون من جهد A و جهد B متساويين في المقدار و بينهما زاوية وجه 90°



و النظام الثلاثى يتكون من ثلاثة مصادر للجهد متساوية في المقدار و بينهما زاوية وجه

و النظام السداسى يتكون من ستة مصادر متساوية فى الجهد و يفصل بينها زاوية وجهه 60° .

و النظام الثلاثى الأوجه هو الشائع الإستخدام فى توليد و نقل الطاقة الكهربائية .

Three phase Voltages

الجهود ثلاثية الأوجه

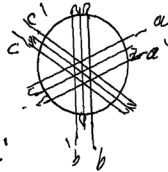
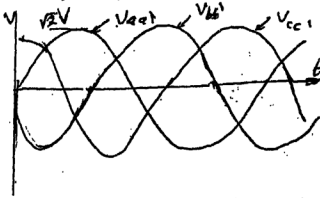
و هى ثلاثة جهود مولدة فى ثلاثة ملفات متماثلة و موزعة على محيط ماكينة التوليد بحيث يشغل كل ملف ثلث المحيط فتكون القوة الدافعة المولدة فى كل ملف متساوية فى المقدار و يفصل بينها زاوية وجه مقدارها 120° و يمكن تمثيل هذه الجهود

كالآتى :-

$$V_{aa_1} = \sqrt{2}V \sin \omega t$$

$$V_{bb_1} = \sqrt{2}V \sin(\omega t - 120^\circ)$$

$$V_{cc_1} = \sqrt{2}V \sin(\omega t - 240^\circ)$$

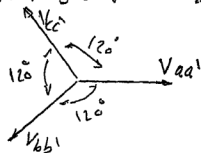


و بإستخدام المتجهات يمكن كتابة الجهود على الصورة

$$V_{aa_1} = V \angle 0^\circ$$

$$V_{bb_1} = V \angle -120^\circ$$

$$V_{cc_1} = V \angle -240^\circ$$

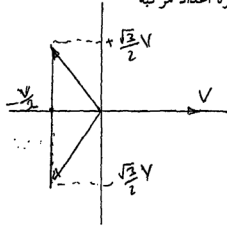


و في صورة أعداد مركبة

$$V_{aa1} = V + j0$$

$$V_{bb1} = V \left(-\frac{1}{2} - j\frac{\sqrt{3}}{2} \right)$$

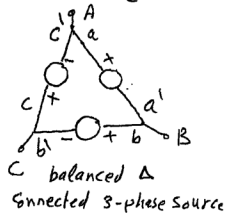
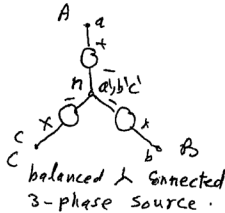
$$V_{cc1} = V \left(-\frac{1}{2} + j\frac{\sqrt{3}}{2} \right)$$



و تسمى الجهود الثلاثة متزنة balanced لأنها متماثلة في المقدار و لها نفس التردد و يفصل بينها زاوية وجه مساوية تماماً لـ 120° و في هذه الحالة نجد أن مجموع الجهود الثلاثة مساوياً للصفر .

$$V_{aa'} + V_{bb'} + V_{cc'} = 0$$

و عادة فإننا نطلق على $V_{cc'} = V_c$ ، $V_{aa'} = V_b$ ، $V_{bb'} = V_a$ و يمكن توصيل هذه الجهود مع بعضها على شكل Δ أو على شكل Y .



في توصيلة نجمة (start) تكون الأطراف a' ، b' ، c' موصلة مع بعضها

كنقطة تعادل neutral

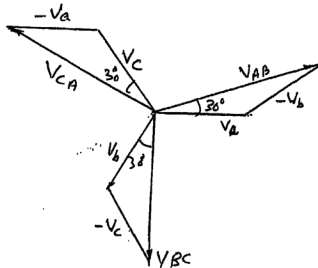
و يعرف كلاً من الجهود V_a ، V_b ، V_c بأنه جهد الوجه Phase voltage و يعرف كلاً من الجهد بين A,B و بين C,B ، و بين A,C بأنها جهود الخطوط و تكون التيارات I_a ، I_b ، I_c هي تيارات الأوجه و هي نفسها تيارات الخطوط .
و للحصول على جهود الخطوط فإننا نجد ان

$$\begin{aligned} V_{AB} &= V_a - V_b \\ V_{AB} &= V \angle 0^\circ - V \angle -120^\circ \\ &= V + j0 - V \left(-\frac{1}{2} - j\frac{\sqrt{3}}{2} \right) \\ &= \sqrt{3}V \angle 30^\circ \end{aligned}$$

أيضاً

$$\begin{aligned} V_{AC} &= \sqrt{3} V \angle -90^\circ \\ V_{CA} &= \sqrt{3} V \angle -\therefore 0^\circ \end{aligned}$$

و يكون مخطط المتجهات كما بالشكل .



أى أنه في حالة التوصيل Δ فإن جهد الخط يساوى $\sqrt{3}$ جهد الوجه ويبعد

عنه بزاوية مقدارها 30°

بينما يكون تيار الوجه هو نفسه تيار الخط .

أما في حالة توصيلة Δ فإننا نجد أن جهد الوجه هو نفسه جهد الخط حيث

يكون

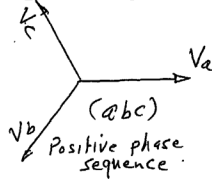
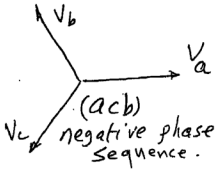
$$V_{CA} = V_C, V_{BC} = V_b, V_{AB} = V_a$$

و إذا كانت التيارات متزنة فإن تيار الخط يساوي $\sqrt{3}$ تيار الوجه و يبعد عنه

بزاوية مقدارها 30°

و يعرف التابع abc بأنه التابع الوجهي الموجب Positive phase sequence

كما يعرف التابع acb بأنه التابع الوجهي السالب Negative phase sequence .

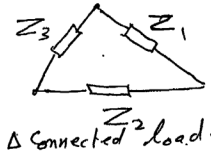
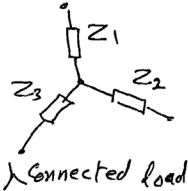


Balanced 3-phase loads

الأحمال ثلاثية الأوجه

هي عبارة عن ثلاثة معاوقات Z_1, Z_2, Z_3 متصلة على هيئة Δ أو

على هيئة \star



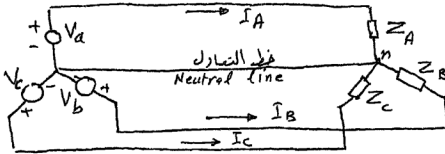
و تكون موصلة على مصدر ثلاثي الأوجه .

إذا كانت $Z_1 = Z_2 = Z_3 = Z$ كان الحمل متزنًا
Balanced 3 phase load

إذا كانت $Z_1 \neq Z_2 \neq Z_3$ كان الحمل غير متزن
Unbalanced 3 phase load

و في جميع الأحوال فإننا نطبق قوانين كيرتشفول لحل الدوائر غير أنه إذا كانت الدوائر متزنة فإننا نحصل على الحل بصورة أكثر سهولة .

دائرة المتزنة

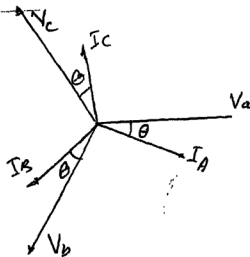


$$Z = Z_A = Z_B = Z_C = |Z| \angle \theta$$

$$I_A = \frac{V_a}{Z} \text{ Amp}$$

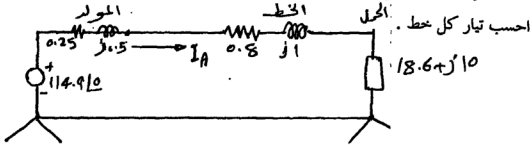
$$I_B = \frac{V_b}{Z} = I_A \angle -120^\circ \text{ Amp}$$

$$I_C = \frac{V_c}{Z} = I_A \angle -240^\circ \text{ Amp}$$



مثال :

مصدر ثلاثي الأوجه له جهد وجه 114.9 V ومقاومة داخلية
 $0.52 + j0.5 \pi$ لكل وجه يفذى حمل متزن ثلاثى الارجح مقاومته
 $18.6 + j10 \pi$ لكل وجه . من خلال خط نقل مقاومته $0.8 + j1 \pi$ لكل خط .



المقاومة الكلية للدائرة .

$$Z_t = 0.52 - j0.5 + 0.8 + j1 + 18.6 + j10$$

$$Z = 19.92 + j11.5 \pi$$

$$I_A = \frac{114.9}{19.92 + j11.5} = \frac{114.9}{23} \angle -30^\circ = 5 \angle -30^\circ \text{ A}$$

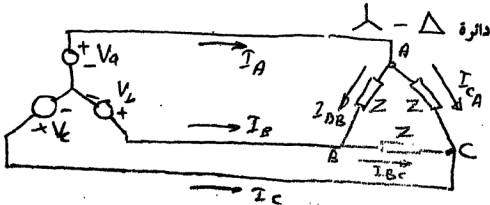
لما كان النظام الثلاثى متزن فإن I_B تساوى I_A و تتأخر عنها 120° وكذلك

I_C و تتأخر عنها 120° أى أن

$$I_B = 5 \angle -150^\circ \text{ Amp}$$

$$I_C = 5 \angle -270^\circ \text{ Amp}$$

$$= 5 \angle 90^\circ \text{ Amp}$$



حيث تكون توصيلة الحمل Δ متزنة و توصيلة المصدر Δ متزنة

$$I_A = I_{AB} - I_{CA}$$

$$I_B = I_{BC} - I_{BA}$$

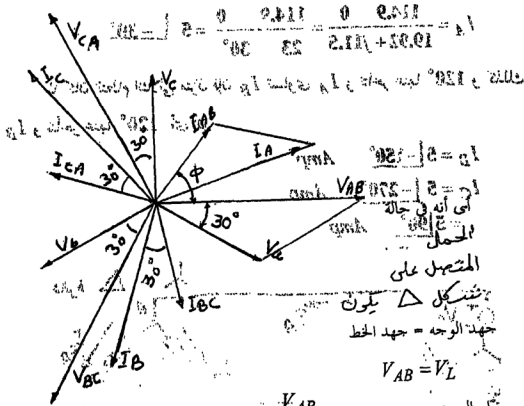
$$I_C = I_{CA} - I_{CB}$$

$$I_{AB} = \frac{V_{AB}}{Z} = I \angle -\phi$$

$$I_{BC} = \frac{V_{BC}}{Z} = \frac{V_{AB}}{Z} \angle -120^\circ = I \angle \phi - 120^\circ$$

$$I_{CA} = \frac{V_{CA}}{Z} = \frac{V_{AB}}{Z} \angle -240^\circ = I \angle \phi - 240^\circ$$

$$\begin{aligned} I_A &= I_{AB} - I_{CA} \\ &= I \cos \phi + j I \sin \phi - I \cos(\phi - 120^\circ) + j I \sin(\phi - 120^\circ) \\ &= \sqrt{3} I \angle \phi - 30^\circ \end{aligned}$$



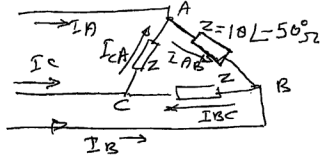
$$I_{AB} = \frac{V_{AB}}{Z}$$

$$I_\theta = \sqrt{3} I_{AB}$$

تيار الوجه
و تيار الخط

مثال :

حمل ثلاثي الأوجه مكون من ثلاثة معاوقات $10/50^\circ$ متصلة Δ وموصلة على جهد ثلاثي الأوجه 220° أحسب تيارات الأوجه و تيارات الخطوط .



$$I_{AB} = \frac{V_{AB}}{Z}$$

$$= \frac{220 \angle 0}{10 \angle -50} = 22 \angle 50^\circ \text{ A}$$

$$I_{BC} = 22 \angle -70^\circ$$

$$I_{CA} = 22 \angle -190^\circ \text{ A}$$

$$I_A = 22\sqrt{3} \angle 20^\circ \text{ A}$$

$$I_B = 22\sqrt{3} \angle -100^\circ \text{ A}$$

$$I_C = 22\sqrt{3} \angle -220^\circ \text{ A}$$

القدرة في الحمل المتزن .

القدرة المنفردة في الحمل الثلاثي .

$$P = 3V_{ph}I_{ph} \cos \phi$$

في حالة توصيلة Δ

$$P = 3 \frac{V_L}{\sqrt{3}} I_L \cos \phi$$

$$= \sqrt{3} V_L I_L \cos \phi$$

و في حالة توصيلة Δ

$$P = 3V_L \frac{I_L}{\sqrt{3}} \cos \phi$$

$$= \sqrt{3} V_L I_L \cos \phi$$

أى أنه فى جميع الحالات تكون القدرة $\sqrt{3} V_L I_L \cos \phi$ حيث ϕ هى الزاوية بين جهد الوجه و تيار الوجه .

فمثلاً إذا كان جهد الخط 440 V و تيار الخط $2 \angle -75^\circ$ فإن الزاوية ϕ بين جهد الوجه و تيار الوجه تساوى 45° و تكون القدرة

$$P = \sqrt{3} V_L I_L \cos \phi$$

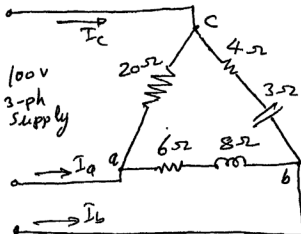
$$= \sqrt{3} 440 \times 2 \cos 45^\circ = 1677.8 \text{ watt}$$

الأحمال الغير متزنة :-

و هى الأحمال التى فيها تختلف معاوقة وجه أو أكثر من أوجه الحمل الثلاثى .

أولاً : توصيلة

و فيها يمكن حساب تيارات الأوجه مباشرة و يمكن الحصول على تيارات الخطوط بتطبيق قانون كيرتشوف للتيار على تيارات الأوجه



مثال :

فى الدائرة المبينة .

phase sequence
(a c b)

$$V_{ab} = 110 \angle 0^\circ$$

$$V_{bc} = 100 \angle 120^\circ$$

$$V_{ca} = 100 \angle -120^\circ$$

$$I_{ab} = \frac{100 \angle 0}{6 + j8} = \frac{100 + j0}{6 + j8}$$

$$= 6 - j8 = 10 \angle -53.1^\circ \text{ A}$$

$$I_{bc} = \frac{100 \angle 120}{4 - j3} = \frac{-50 + j86.6}{4 - j3}$$

$$= -18.39 + j7.856 = 20 \angle 156.9^\circ \text{ A}$$

$$I_{ca} = \frac{100 \angle -120}{20 + j0} = -2.5 - j4.33$$

$$= 5 \angle 120^\circ \text{ A}$$

و منها نحسب تيارات الخطوط

$$I_A = 6 - j8 + 2.5 + j4.33$$

$$= 8.5 - j3.67 = 9.26 \angle -23.4^\circ \text{ A}$$

$$I_B = -24.39 + j15.856$$

$$= 29 \angle 146.9^\circ \text{ A}$$

$$I_C = 15.89 - j12.186$$

$$= 20 \angle -37.3^\circ \text{ A}$$

Unbalanced Δ connected loads

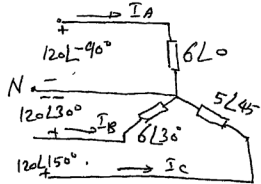
ثانياً : توصيلة Δ الغير متزنة

أ - إذا كانت نقطة التعادل للمصدر الثلاثي الأوجه متصلة بالنقطة المشتركة للحمل يكون النظام ذو أربعة أسلاك و تكون كل معاوقة عليها جهد ثابت هو جهد الوجه . مثال ذلك .

$$I_A = \frac{120 \angle -90^\circ}{6 \angle 0} = 20 \angle -90^\circ \text{ A}$$

$$I_B = \frac{120 \angle 30^\circ}{6 \angle 30^\circ} = 20 \angle 0^\circ \text{ A}$$

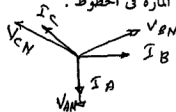
$$I_C = \frac{120 \angle 150^\circ}{5 \angle 45^\circ} = 24 \angle 105^\circ \text{ A}$$



و يلاحظ ان سلك التعادل Neutral wire في هذه الحالة يحمل تياراً يساوى مجموع

الثلاث تيارات المارة في الخطوط .

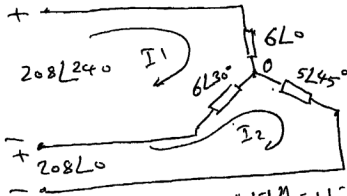
$$I_n = I_A + I_B + I_C = 14.1 \angle -166.9^\circ \text{ A}$$



ب- إذا كان النظام ذو ثلاثة أسلاك فقط 3-phase – 3 wire system

فإن الجهود على الثلاث معاوقات المكونة للحمل يمكن أن تتغير و يمكن حل الدائسة في هذه الحالة إما باستخدام تيارات الحلقة أو معادلة جهد العقدة لتحديد جهد النقطة التي تتصل عندها المقاومات الثلاث .

مثال



متطبيع معادلات سبل = الحلقات

$$\begin{bmatrix} 208 \angle 240^\circ \\ 208 \angle 0^\circ \end{bmatrix} = \begin{bmatrix} 6 \angle 0 + 6 \angle 30 & -6 \angle 30 \\ -6 \angle 30 & 6 \angle 30 + 5 \angle 45 \end{bmatrix} \begin{bmatrix} I_1 \\ I_2 \end{bmatrix}$$

$$I_A = I_1 = 23 \angle 26.1^\circ$$

$$I_B = I_2 - I_1 = 26.5 \angle -63.4^\circ - 23.3 \angle 26.1^\circ$$

$$I_C = I_2 = 26.5 \angle 116.6^\circ \text{ A}$$

$$I_B = 15.45 \angle -2.9^\circ \text{ A}$$

يمكن الوصول إلى نفس النتيجة بحساب جهد النقطة 0 بالنسبة لنقطة التعادل بتطبيق

قانون KCL:

$$\frac{V_A - V_O}{Z_A} + \frac{V_B - V_O}{Z_B} + \frac{V_C - V_O}{Z_C} = 0$$

$$\frac{V_A Y_A + V_B Y_B + V_C Y_C}{Y_A + Y_B + Y_C} - V_O = 0$$

$$V_O = \frac{V_A Y_A + V_B Y_B + V_C Y_C}{Y_A + Y_B + Y_C}$$

$$V_O = \frac{208 \angle -90^\circ + 120 \angle 30^\circ + 120 \angle 150^\circ}{6 \angle 0^\circ}$$

$$V_O = 28 \angle 39.6^\circ \text{ V}$$

$$I_A = (V_A - V_O) Y_A = 23.2 \angle 26.1^\circ \text{ A}$$

$$I_B = (V_B - V_O) Y_B = 15.4 \angle -2.9^\circ \text{ A}$$

$$I_C = (V_C - V_O) Y_C = 26.5 \angle 116.45^\circ \text{ A}$$

تمارين ٨

8-1 Three phase 100 V ABC system are applied to three impedances $15.9 \angle 90^\circ$ ohms connected in find the line currents and the total power.

8-2 A balanced star connected load with impedances $6 \angle 45^\circ$ is connected to a 3 phase 4 wire 208 volt. ACB system find the line currents and the total power.

8-3 A balanced star load with impedances $10 \angle -30^\circ$ ohms are both connected to a 3 phase 3-wire 208 v. ABC system. Find the line currents, and the power in each load.

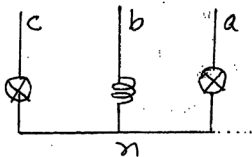
8-4 A delta connected load with $Z_{AB} = 10 \angle 30^\circ$, $Z_{BC} = 25 \angle 0$ and $Z_{CA} = 20 \angle -30^\circ$ ohms is connected to 3-phase three wire 100 v. ABC system. Find the line currents and the total power.

8-5 A star load with $Z_A = 3 + j0$, $Z_B = Z + j3$ and $Z_C = 2 - j1$ ohms is connected to a 3-ph. four wire 100 v. ABC system. Find also the total power.

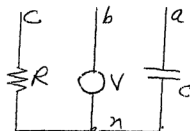
8-6 A star load with $Z_A = 10 \angle 0$, $Z_B = 10 \angle 60^\circ$ and $Z_C = 10 \angle 60^\circ$ is connected to 3 ph. 3 wire 200v. ABC system. Find the line currents and the voltage across each load impedance, and the total power.

8-7 The circuit shown is used to check the phase sequence. If each lamp has a resistance of 100Ω and the reactance of the coil is $100 \angle 90^\circ \Omega$.

Show that lamp a will be brighter if the phase sequences is ABC.



8-8 If $\frac{1}{w} = R$ show that the voltmeter reading is greater than the line voltage if the phase sequence is ABC



8-9 A 3-phase source with a line voltage 45 kv. is connected to town lanced loads has a branch resistance of 50Ω . The connected load has $Z = 10 + j20\pi$ and the connected load has a branch resistance of 50Ω . The connected line currents, the resistance determine the line currents, the power delivered to the loads, and the power lost in the wires.

8-10 3 equal impedances each $30\angle 30^\circ$ are connected in to a 3-ph 3-wire 208 v system, by conductors which have impedances $0.8 + j0.8\pi$ each. what is the line voltage at the load.

الفصل التاسع

الرنين في الدوائر الكهربائية

Resonance in Electric Circuits

تحدث ظاهرة الرنين في النظم الطبيعية عندما تكون القوة المؤثرة من النوع الدورى و يكون ترددها قريباً من التردد الطبيعى للنظام . حيث تزداد الإستجابة كلما اقتربنا من التردد الطبيعى . و تحدث هذه الظاهرة في النظم التى تحتوى على نوعين من الطاقة مثلاً : طاقة وضع و طاقة حركة في النظم الميكانيكية .

و في الدوائر الكهربائية لابد أن يكون هناك كلاً من الطاقة الكهربائية Electric Energy و الطاقة المغناطيسية Magnetic energy أى أن الدائرة لابد أن تحتوى على مكثفات و ملفات حث .

٩-١ تعريف الرنين

يمكن تعريف الرنين بأنه التردد الذى يحدث عنده أقصى إستجابة فإذا سلط على الدائرة جهد دورى فإن الإستجابة تكون التيار و يحدث الرنين عند التردد الذى يكون عنده التيار قيمة عظمى . و يحدث هذا عندما تكون المعاوقة $|Z|$ قيمة صغرى .

هناك تعريف آخر للرنين بأنه التردد الذى يكون عنده المؤثر و الإستجابة في اتفاق وجهى و على ذلك فإنه يسهل تحديد شرط الرنين في الدائرة مباشرة من المعاوقة

أو المسامحة حيث نجد أن تردد الرنين هو التردد الذى تكون عنده المعاوقة أو
المسامحة للدائرة قيمة حقيقية فقط .
فإذا كانت

$$Z_{jw} = R + jX_w$$

و

$$Y_{jw} = G + jB_w$$

فإن شرط الرنين هو

$$\text{Im } Z_{jw} = 0$$

$$X_w = 0$$

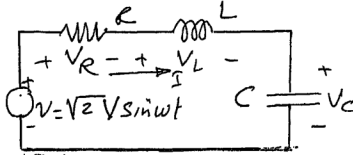
أو

$$\text{Im } Y_{jw} = 0$$

$$B_w = 0$$

٩-٢ دائرة رنين التوالى

The Series Resonance circuit



الشكل يبين صورة بسيطة من دوائر الرنين حيث المقاومة R تمثل جميع المقاومات المتصلة
على التوالى فى الدائرة و تشمل مقاومة المصدر و الفقد فى الملف و الفقد فى المكثف . و
المصدر المؤثر على الدائرة هو مصدر جهد ذو قيمة فعالة ثابتة V و ترد متغير f
من الدائرة نجد أن

$$\begin{aligned} Z &= \frac{V}{I} = R + j \left(\omega L - \frac{1}{\omega C} \right) \\ &= |Z| e^{j\phi} \end{aligned}$$

حيث

$$|Z| = \sqrt{R^2 \left(\omega L - \frac{1}{\omega C} \right)^2} \quad \varphi = \arctan \frac{\omega L - \frac{1}{\omega C}}{R}$$

و نحصل على تردد الرنين طبقاً للتعريف بمساواة الجزء التخيلي للمعاوقة بالصفر .

$$\omega L - \frac{1}{\omega C} = 0$$

$$\omega = \omega_0 = \frac{1}{\sqrt{LC}}$$

$$f = f_0 = \frac{1}{2\pi\sqrt{LC}}$$

و عند هذا التردد نكون

$$Z = R$$

$$\phi = 0$$

$$I = \frac{V}{R}$$

و عند أي تردد ω يكون التيار I ^{أقصى}

$$I = \frac{V}{R + j \left(\omega L - \frac{1}{\omega C} \right)}$$

$$|I| = \frac{V}{\sqrt{R^2 + \left(\omega L - \frac{1}{\omega C} \right)^2}}$$

$$V = V_R + V_L + V_C$$

$$V_R = I R \quad , \quad V_L = j \omega L I \quad , \quad V_C = \frac{-j I}{\omega C}$$

و نلاحظ أنه عند تردد الرنين ω_0 تكون المعاوقة قيمة صغرى و يكون التيار قيمة عظمى.
و تكون قيم مركبات الجهد عند الرنين .

$$V_R = V$$

$$V_L = w_0 L \frac{V}{R} = \frac{w_0 L}{R} V$$

$$V_C = \frac{1}{w_0} L \frac{V}{R} = \frac{1}{w_0 C R} V$$

و بالتعويض عن $w_0 = \frac{1}{\sqrt{LC}}$ نجد أن

$$V_L = V_C = QV$$

$$Q = \frac{w_0 L}{R} = \frac{1}{w_0 C R} = \frac{1}{R} \sqrt{\frac{L}{C}}$$

و العامل Q له أهمية خاصة في دوائر الرنين و يعرف بمعامل الجودة او بمعامل تكبير الجهد

فإذا كانت R صغيرة بالنسبة إلى $\sqrt{\frac{L}{C}}$ تكون Q كبيرة و يكون الجهد على كل من المكثف و المحاثية عند الرنين أعلى كثيراً من الجهد المسلط على الدائرة

The Quality factor

٣-٩ معامل الجودة Q

يعرف معامل الجودة Q بأنه النسبة بين المفاعلة و المقاومة للعنصر فإذا كان ملف

الحث له مفاعلة wL و مقاومة R_L فإن معامل الجودة للملف يكون $Q = wL/R_L$

و بصفة عامة يمكن التعبير عن Q بدلالة كفاءة الدائرة في تخزين الطاقة الكهربائية أو الطاقة المغناطيسية عند تغذيتها من مصدر متردد الجهد . و في هذه الحالة يكون تعريف Q كالآتي :-

$$Q = 2\pi \frac{W_m}{w}$$

حيث W_m هي القيمة العظمى للطاقة المخزنة في الدائرة أثناء دورة واحدة ، w هي الطاقة المفقودة أثناء هذه الدورة . أى أن

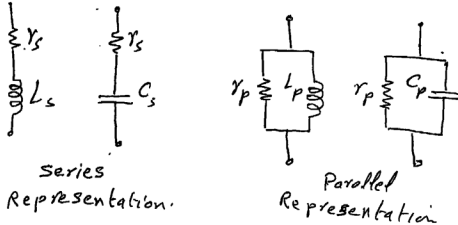
$$w = PT \quad \text{حيث } P \text{ هي القدرة ، } T \text{ زمن الدورة}$$

$$Q = 2\pi \frac{W_m}{PT} = w \frac{W_m}{P}$$

حيث w هي الجزء الزاوى $w = \frac{2\pi}{T}$ أى أن .

$$Q = \frac{\text{Maximum Energy stored}}{\text{Energy dissipated per second}}$$

في الدوائر الحقيقية لا يمكن الحصول على مفاعلة نقية سواء المكثفات أو في ملفات الحث حيث انه لابد من وجود بعض الفقد في العنصر و يتم التعبير عن هذا الفقد بمقاومة توصل على التوالى أو على التوازى مع المفاعلة . و عادة ما يتم تمثيل المكثفات و الملفات بدوائر مكافئة كما في الشكل .



في جميع الأحوال يمكن تعريف معامل القدرة من تعريف الطاقة .

مثال :

في حالة المحاثية إذا كان التيار المار بها $I = I_m \sin vt$ تكون أقصى طاقة مخزنة

$$\frac{1}{2}LI_m^2 \text{ و تكون الطاقة المفقودة } \frac{1}{2}I_m^2$$

$$Q_{LS} = wL/r_s$$

و بنفس الطريقة يمكن حساب معامل الجودة للأشكال الأخرى حيث نجد أن في حالة التمثيل التوالى للمكثف .

$$Q_{CS} = \frac{t}{wC_s r_s}$$

و في حالة التمثيل التوازى للملف

$$Q_{LP} = \frac{r_p}{w_r I_p}$$

و في حالة التمثيل التوازى للمكثف

$$Q_{LP} = wr_p c_p$$

في حالة العناصر المتصلة مع بعضها فإننا نحسب معامل الجودة باستخدام نفس التعريف
فمثلاً في حالة دائرة التوالى

إذا كان التيار $i = \sqrt{2}I \sin wt$ فإن الطاقة المخزنة في المكثف .

$$w_{max} = CV_c^2 = C \frac{I^2}{w^2 c^2}$$

و الطاقة المخزنة في الملف .

$$W_{L \max} = LI^2$$

و القدرة المفقودة

$$P = I^2 R$$

و يعتمد حساب معامل الجودة على اى القيمتين للطاقة المخزنة أكبر فعند الترددات أقل

من تردد الرنين $f < f_0$

$$W_{c \max} > W_{L \max}$$

تكون

$$Q = w \frac{W_{c \max}}{P} = \frac{1}{WCR}$$

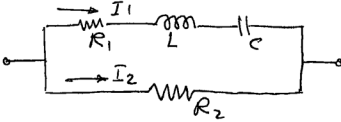
و تكون

أما في حالة $w > w_0$

$$Q = \frac{wL}{R}$$

و عند الرنين تتساوى الطاقة المخزنة في الملف مع الطاقة المخزنة في المكثف و تكون

$$Q = \frac{w_0 L}{R} = \frac{1}{w_0 CR} = \frac{1}{R} \sqrt{\frac{L}{C}}$$



مثال :

لحساب تردد الرنين

للدائرة المبينة نجد أن

الدائرة تكون في حالة

رنين إذا كانت $wL = \frac{1}{wc}$ حيث يكون الفرع العلوى قيمة حقيقية R_1

و لحساب معامل الجودة

$$W_{\max} = LI_1^2$$

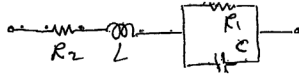
$$P = I_1^2 R_1 + I_2^2 R_2$$

$$I_1 R_1 = I_2 R_2$$

و حيث أنه عند الرنين فإن

$$P = I_1^2 \left(1 + \frac{R_1}{R_2} \right)$$

$$Q = \frac{w_0 LI_1^2}{I_1^2 R_1 \left(1 + \frac{R_1}{R_2} \right)} = \frac{w_0 L}{R_1} \frac{R_2}{R_1 + R_2}$$



مثال :

لحساب تردد

الرنين للدائرة .

$$Z = \frac{R_1 \times \frac{1}{j\omega C}}{R_1 + \frac{1}{j\omega C}} + R_2 + j\omega L$$

$$= R_1 + \left(\frac{R_1}{1 + \omega^2 C^2 R_1^2} \right) + j \left(\omega L - \frac{\omega C R_1^2}{1 + \omega^2 C^2 R_1^2} \right)$$

عند تردد الرنين نضع الجزء التخيلي لـ Z مساوياً للصفر

$$\omega L - \frac{\omega C R_1^2}{1 + \omega^2 C^2 R_1^2} = 0$$

$$\omega = \omega_0 = \sqrt{\frac{1}{LC} - \frac{1}{C^2 R_1^2}}$$

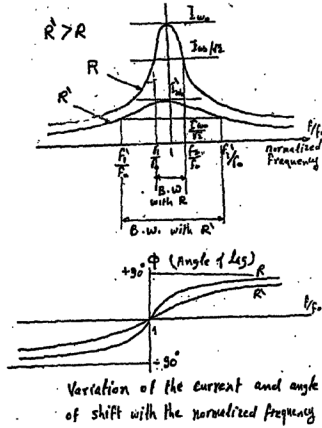
أيضاً يمكن حساب معامل الجودة .

$$Q = \frac{\omega_0 L}{\text{Real } L2} = \frac{\omega_0 L}{R_2 + \frac{R_1}{1 + \omega_0^2 C^2 R_1^2}}$$

Selectivity

٩-٤ الانتقائية .

إذا رسمنا تغير التيار I و الزاوية ϕ مع $\left(\frac{f}{f_0} \right)$ التردد نحصل على الأشكال المبينة



من الرسم نجد أن منحنى التيار له قيمة عظمى عند $f = f_0$ أى عندما $f_0 = 1$ كما نلاحظ أن منحنى التيار للقيمة الأكبر للمقاومة يكون أكثر تسطيحاً من القيمة الصغيرة للمقاومة . و منها نجد ان قدرة الدائرة على انتقاء ترددات معينة يزداد بنقصان قيمة المقاومة .

و ككمقياس للإنتقائية . فإننا نحلل مدى الترددات، التى يكون فيها التيار أكبر من نسبة معينة من القيمة العظمى و هذه النسبة $\frac{1}{\sqrt{2}}$ من القيمة العظمى للتيار فنجد أن هذا المدى محصور بين ترددين f_1, f_2 ، حيث نجد عند كل منهما أن المفاعلة $wL - \frac{1}{wc}$ تكون مساوية للمقاومة R ولحساب f_1, f_2 نجد أن .

عند f_1 قبل تردد الرنين

$$\frac{1}{w_1 c} - w_1 L = R$$

و عند f_2 بعد تردد الرنين .

$$w_2 L - \frac{1}{w_2 c} = R$$

من المعادلتين السابقتين نجد أن .

$$w_1 = w_0 \left[\sqrt{1 + \frac{1}{4Q^2}} - \frac{1}{2Q} \right]$$

$$w_2 = w_0 \left[\sqrt{1 + \frac{1}{4Q^2}} + \frac{1}{2Q} \right]$$

حيث

$$w_0 = \frac{1}{\sqrt{LC}} \quad , \quad Q = \frac{w_0 L}{R}$$

كما نلاحظ أن

$$w_1 w_2 = w_0^2$$

أو

$$f_1 f_2 = f_0^2$$

و أيضاً

$$w_1 - w_2 = \frac{w_0}{Q}$$

أو

$$f_2 - f_1 = f_2 / Q$$

و تعرف القيمة $f_2 - f_1$ بأنها أمتساع النطاق للدائرة Bandwidth

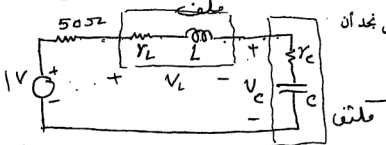
$$BW = \frac{f_0}{Q}$$

أى أن الدوائر ذات قيم Q عالية يكون إتساع النطاق بها ضيقاً و إذا كانت $Q > 10$ فإننا نجد أن

$$w_1 \approx w_0 - \frac{Bw}{2} \quad \text{و} \quad w_2 \approx w_0 + \frac{Bw}{2}$$

مثال :

في الدائرة المينة و المكونة من مصدر جهد مقاومته الداخلية 50Ω على التوالي مع ملف حقيقي و مكثف حقيقي نجد أن



تردد الرنين .

$$\begin{aligned} L &= 200 \mu H \\ Q_L &= 120 \\ C &= 56.3 \text{ pf} \\ Q_C &= 10^4 \\ \tan \delta &= 10^{-4} \end{aligned}$$

$$f_0 = \frac{1}{2\pi\sqrt{LC}} = \frac{1}{2\pi\sqrt{200 \times 10^{-6} \times 56.3 \times 10^{-12}}} = 1.5 \text{ MHz}$$

$$r_c = \frac{1}{w_0 C Q_C} = 0.19 \pi$$

$$r_L = \frac{w_0 L}{Q_L} = 15.71 \pi$$

المقاومة الكلية في الدائرة .

$$R = r_g + r_L + r_c = 50 + 0.19 + 15.71 = 65.9 \pi$$

التيار عند الرنين

$$I_{w_0} = \frac{V}{R} = \frac{1}{65.9} = 15.17 \text{ mA}$$

القدرة المفقودة

$$P = I^2 R = 15.17 \text{ mw}$$

معامل القدرة .

$$Pf = \frac{\text{power}}{V.A} = 1$$

الجهود على الملف عند الرنين .

$$V_L = I_{Vo}(r_L + j\omega L) \\ = 0.238 + j28.6 \text{ v}$$

الجهود على المكثف عند الرنين

$$V_C = I_{Vo}\left(r_C + j\frac{1}{\omega C}\right) \\ = 0.0029 - j28.6 \text{ v}$$

و يجب أن نلاحظ أن الجهود على الحثية L يساوى في المقدر و أيضاً في الاتجاه الجهود على السعة C

$$Q = \frac{\omega_o L}{R} = \frac{1}{\omega_o CR} = \frac{1}{R} \sqrt{\frac{L}{C}}$$

معامل الجودة للدائرة

$$Bw = \frac{f_o}{Q} = \frac{1.5 \times 10^6}{28.6} \\ = 25.43 \text{ KHz}$$

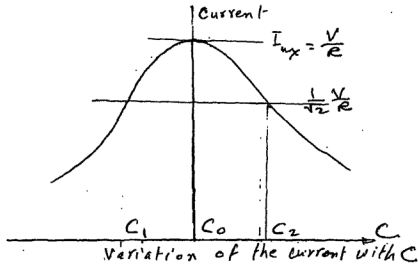
٩-٥ التوليف Tuning

عند ثبات التردد يمكن الوصول إلى حالة الرنين بتغيير الحثية L أو بتغيير السعة C

و يعرف تغيير L أو C بتوليف الدائرة و عادة يكون تغيير C أسهل من تغيير L و لذلك فإن التوليف يستخدم مكثف متغير هو الأكثر شيوعاً . و في هذه الحالة يكون تغيير التيار مع C طبقاً للعلاقة

$$I = \frac{V}{\sqrt{R^2 + \left(2\pi fL - \frac{1}{2\pi fC}\right)^2}}$$

فإذا رسمنا هذه العلاقة نظهر كما بالشكل



و تحدث القيمة العظمى للتيار عند $C = C_0$ حيث $wL - \frac{1}{wC_0} = 0$

و النقطتان الذى عندهما يهبط التيار إلى $\frac{1}{\sqrt{2}}$ من قيمته العظمى تكون مناهرتان للقيم

C_1 ، C_2 اللتان تجعللا مفاعلة الدائرة مساوين للمقاومة . أى انه

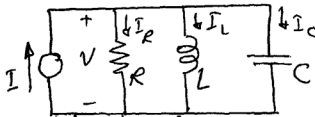
$$\frac{1}{wC_1} - wL = R$$

$$wL - \frac{1}{wC_2} = R$$

من المعادلتين السابقتين نحصل على

$$Q = \frac{wL}{R} = \frac{1}{wC_0 R} = \frac{C_1 + C_2}{C_2 - C_1}$$

٩-٦ دوائر الرنين توازى Parallel Resonance Circuits



$$Y = \frac{I}{V} = G + j \left(wC - \frac{1}{wL} \right)$$

$$= |Y|e^{j\phi}$$

حيث

$$|Y| = \sqrt{G^2 \left(wc - \frac{1}{wL} \right)^2}$$

$$\phi = \arctan \frac{wc - \frac{1}{wL}}{G}$$

و يحدث الرنين عندما

$$wc = \frac{1}{wL}$$

$$w = w_0 = \frac{1}{\sqrt{LC}}$$

و عند الرنين يكون الجهد على الدائرة .

$$V_{w_0} = \frac{I}{G} = IR$$

و تكون مركبات التيار

$$I_R = I$$

$$I_L = \frac{-jV_{w_0}}{w_0 L} = -j \frac{R}{w_0 L} I = -j \frac{R}{\sqrt{L/C}} I$$

$$I_L = -I_C, \quad \frac{|I_C|}{I} = \frac{|I_C|}{I} = R / \sqrt{L/C} \quad \text{أى أن}$$

و عند الرنين تكون $Y = G$ أى قيمة صغرى و بذلك تكون $Z = \frac{1}{Y}$ = قيمة عظمى .

و عند الرنين يكون معامل الجودة Q للدائرة .

$$Q = W_0 C R = \frac{R}{w_0 L} = \frac{R}{\sqrt{L/C}}$$

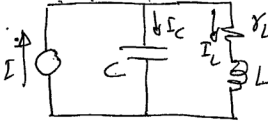
و كلما كانت Q عالية تكون إنتقائية الدائرة عالية و يعرف إنتساع النطاق .
 $Bw = F_0/Q$
 و يكون تردد القطع العلوى F_2 و تردد القطع السفلى F_1 كما فى حالة التوالى

$$w_2 = w_0 \sqrt{1 + \left(\frac{1}{2Q}\right)^2} + \frac{w_0}{2Q}$$

$$w_1 = w_0 \sqrt{1 + \left(\frac{1}{2Q}\right)^2} - \frac{w_0}{2Q}$$

Practical Parallel Resonance

٧-٩ دائرة التوازى العملية



فى الدائرة العملية
 يكون الفقد فى المكثف
 صغير جداً و يمكن إهماله

و تمثيل ملف الحث بمقاومة و محث على التوالى .

$$Y = Y_L + Y_C$$

$$= \frac{1}{r_L + jwL} + jwc$$

عند الرنين يكون الجزء التخيلى لـ $\text{Im } Y = 0$

$$Y = \frac{r_L}{r_L^2 + w^2 L^2} + j \left(wc - \frac{wL}{r_L^2 + w^2 L^2} \right)$$

$$wc = \frac{wL}{r_L^2 + w^2 L^2}$$

$$w = w_0 = \frac{1}{\sqrt{LC}} \sqrt{1 - \frac{r_L^2}{L^2}}$$

عند $w = w_0$ تكون المساحة مساوية لـ

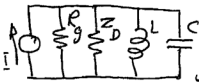
$$Y = Y_D = \frac{r_L}{r_L^2 + w^2 L^2} = \frac{Cr_L}{L}$$

$$\frac{1}{Y_D} = \text{و المعاوقة}$$

$$Z_D = \frac{L}{Cr_L} = R_D.$$

تعرف بالمقاومة الديناميكية للدائرة *Dynamic Resistance*.

$$Z_D = \frac{w_0 L}{w_0 Cr_L} = Q^2 r_L$$



حيث $w_0 L = \frac{1}{w_0 C}$ إذا كانت قيمة Q مرتفعة

و في هذه الحالة يمكن تمثيل الدائرة عند الرنين كما في الشكل

فإذا وصلت الدائرة مع مصدر تيار له مقاومة داخلية R_g فإن المقاومة الفعالة للدائرة

تكون هي R_g على التوازي مع Z_D

$$R_{eff} = \frac{R_g Z_D}{R_g + Z_D}$$

و يكون معامل الجودة للدائرة .

$$Q_{eff} = \frac{R_{eff}}{wL}$$

مثال :

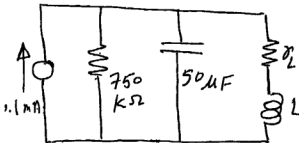
مصدر تيار $I = 0.1 \text{ A}$ متغير التردد و له مقاومة داخلية $750 K\Omega$ وصل على دائرة

رنين كالمتينة بالشكل

أحسب تردد الرنين

المقاومة الديناميكية للدائرة

معامل الجودة و إتساع النطاق



$$r_L = 200 \Omega \quad L = 5 \text{ mH}$$

— الجهد على طرف الدائرة عند الرنين

$$C = 50 \text{ pf}$$

$$r_L = 200 \Omega \quad L = 5 \text{ mh}$$

تردد الرنين

$$w_o = \frac{1}{\sqrt{LC}} \sqrt{1 - \frac{C}{L} r_L^2}$$

$$f_o = \frac{1}{2\pi \sqrt{5 \times 10^{-3} \times 50 \times 10^{-12}}} \sqrt{1 - \frac{50 \times 10^{12}}{5 \times 10^{-3}} (200)^2}$$

$$= 318.3 \text{ KHz}$$

المقاومة الديناميكية .

$$Z_D = \frac{L}{Cr_L} = \frac{50 \times 10^{-3}}{50 \times 10^{-12} \times 200} = 500 \text{ KL}$$

معامل الجودة

$$Q_L = \frac{w_o L}{r_L} = 50$$

المقاومة المؤثرة في الدائرة .

$$R_{eff} = Z_D // 750 \text{ k}$$

$$= \frac{500 \times 750}{500 + 750} = 300 \text{ K}\Omega$$

معامل الجودة للدائرة الكلية .

$$Q_{eff} = \frac{R_{Lt}}{w_o L} = \frac{300 \times 10^3}{w_o L} = 30$$

إتساع النطاق

$$BW = f_o / Q_{eff} = \frac{318.3}{30} = 10.61 \text{ KHz}$$

$$V_{w_o} = IR_{eff} = 0.1 \times 300 = 30 \text{ volt}$$

٨-٩ تمرين

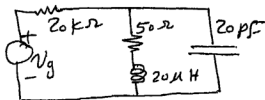
9-1 A series resonance circuit has $R=2\ \Omega$, $L=1\text{mH}$, $C=0.1\ \mu\text{f}$. Find ω_0 , BW and Q . Find I_{ω_0} at $\omega = 1.1\ \omega_0$.

9-2 A series resonance circuit has $L = 10\ \text{mH}$. Select C and R so that the circuit at $\omega_0 = 10\ \text{rad/sec}$. And to have $BW = 10\ \text{rad/sec}$

9-3 For the series RLC resonance circuit, find an expression for the frequency at which the voltage across the capacitor is maximum

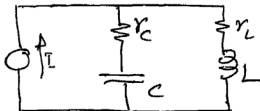
9-4 For a parallel RLC circuit with $R = 10\ \text{K}$, $L = 1/120\ \text{H}$ & $C = 1/30\ \mu\text{f}$. Find ω_0 , Q , ω and ω_2

9-5 for the circuit shown find the Q factor of the coil at resonance, the dynamic resistance and the BW



9-6 for the parallel RLC circuit, find an expression for the reactance of the circuit the reactance of the circuit and draw the variation of reactance with frequency.

9-7 find an expression for the resonant frequency of the circuit.



9-8 For the parallel RLC circuit, find an expression for the frequency at which the current in the capacitor is maximum

زائـدة

APPENDIX

11-18 Repeat Prob. 11-17 for

(a) $\frac{(-5/30^\circ)(14.7/-50^\circ)}{(0.01/-60^\circ)(-222/-30^\circ)}$

(b) $\frac{(7.6/-24^\circ)(-3 + j5)}{(1 + j1)(3 - j4)}$

(c) $\frac{(2.1/40^\circ)^2(-3 + j2)^2}{14 - j6 - 20/30^\circ}$

11-19 Find a single sine term equivalent of each of the following.

(a) $3 \sin \omega t + 4 \cos \omega t$

(b) $8 \sin 377t + 8 \cos 377t$

(c) $3 \sin (377t + 45^\circ) - 4 \cos (377t + 45^\circ)$

(d) $3 \sin (377t + 45^\circ) + 4 \cos (377t + 45^\circ)$

(e) $5 \sin (2t + 30^\circ) + 6 \sin (2t + 60^\circ) - 2 \cos (2t - 30^\circ)$

(f) $-4 \sin 2t + 6 \cos 2t - 8 \sin (2t - 45^\circ)$

(g) $4 \cos 377t + 3 \sin 2t$

11-20 Repeat Prob. 11-19 for

(a) $4 \sin 2t + 6 \sin (2t - 30^\circ)$

(b) $6 \sin 2t + 8 \cos 2t$

(c) $6 \sin (377t + 30^\circ) + 8 \cos (377t + 30^\circ)$

(d) $10 \sin (2t - 30^\circ) + 8 \sin (2t + 60^\circ) - 4 \sin 2t$

(e) $5 \sin (377t + 30^\circ) + 6 \cos (377t - 60^\circ) + 11 \sin (377t - 150^\circ)$

(f) $6.5 \cos 2t - 3.8 \sin 2t - 7.4 \cos (2t - 30^\circ)$

(g) $10 \sin 377t - 4 \cos 754t$

11-21 Find phasors corresponding to the following.

(a) $10\sqrt{2} \sin \omega t$

(b) $10\sqrt{2} \cos \omega t$

(c) $25\sqrt{2} \sin (20t + 39^\circ)$

(d) $120\sqrt{2} \cos (377t - 45^\circ)$

(e) $-50 \sin (2t - 60^\circ)$

(f) $0.25 \cos (4t + 103^\circ)$

11-22 Repeat Prob. 11-21 for

(a) $30\sqrt{2} \sin \omega t$

(b) $80\sqrt{2} \cos \omega t$

(c) $3.5\sqrt{2} \sin (3t - 45^\circ)$

(d) $115\sqrt{2} \cos (377t + 60^\circ)$

(e) $-100 \cos (4t + 135^\circ)$

(f) $0.69 \sin (6t - 30^\circ)$

11-23 Find the sinusoidal voltages and currents corresponding to the following phasors. The frequency is 60 Hz.

(a) $\frac{10}{\sqrt{2}}/30^\circ \text{ V}$

(b) $115/45^\circ \text{ V}$

(c) $-0.12/-60^\circ \text{ V}$

- (f) $-0.01 - j0.025$
 (g) $4000 - j3000$
 (h) $-22 + j1000$
 (i) $-26 - j43$

11-12 Repeat Prob. 11-11 for

- (a) $10 + j10$
 (b) $20 + j20$
 (c) $120 - j26$
 (d) $-60 + j95$
 (e) $0.026 - j0.052$
 (f) $-6000 - j9000$
 (g) $-700 + j10$
 (h) $j22.5$
 (i) $-j36$

11-13 Find the products in polar form.

- (a) $(4/20^\circ)(-6/-20^\circ)(8/-20^\circ)$
 (b) $(6/-30^\circ)(3 + j4)(9/-30^\circ)(4 - j6)$
 (c) $(0.01/45^\circ)(6 - j9)(1000/-22^\circ)(-4 + j8)$

11-14 Repeat Prob. 11-13 for

- (a) $(-15/30^\circ)(22.5/175^\circ)(-16/-420^\circ)$
 (b) $(20 - j10)(20/45^\circ)(8/-30^\circ)(-4 + j8)$
 (c) $(0.06/-60^\circ)(-20 + j10)(200/-30^\circ)(40 - j10)$

11-15 Evaluate the following determinants.

- (a) $\begin{vmatrix} 3 + j2 & -j1 \\ -j1 & 4 - j5 \end{vmatrix}$
 (b) $\begin{vmatrix} 6 - j8 & 4/-50^\circ \\ -j6 & 6/30^\circ \end{vmatrix}$

11-16 Repeat Prob. 11-15 for

- (a) $\begin{vmatrix} 6 + j2 & 5 + j4 \\ -3 + j1 & 8 - j6 \end{vmatrix}$
 (b) $\begin{vmatrix} 16/-45^\circ & 3 + j1 \\ 10/20^\circ & 4 + j2 \end{vmatrix}$

11-17 Find the quotients in polar form.

- (a) $\frac{(4/20^\circ)(6/-30^\circ)}{(-8/-100^\circ)(1.6/45^\circ)}$
 (b) $\frac{(5/-30^\circ)(4 - j6)}{(3 - j4)(2.3/80^\circ)}$
 (c) $\frac{(6.1/-20^\circ)^2(-4 + j5)}{20 - j10 - (6 + j8)}$

1-6 Repeat Prob. 11-5 for

(a) $\frac{4+j2}{6+j5} + \frac{2+j1}{3+j4}$

(b) $\frac{4-j5}{-3+j4} + \frac{-6+j2}{-4-j5}$

1-7 Convert the following to rectangular form.

(a) $10/60^\circ$

(b) $10/-60^\circ$

(c) $10/120^\circ$

(d) $10/-120^\circ$

(e) $10/300^\circ$

(f) $228/-45^\circ$

(g) $64.7/130^\circ$

(h) $-100/300^\circ$

(i) $3000/420^\circ$

1-8 Repeat Prob. 11-7 for

(a) $30/30^\circ$

(b) $30/390^\circ$

(c) $30/-30^\circ$

(d) $30/150^\circ$

(e) $-30/-30^\circ$

(f) $-6.69/125^\circ$

(g) $4000/-135^\circ$

(h) $22.6/-60^\circ$

(i) $2605/375^\circ$

1-9 Simplify each of the following to a complex number in rectangular form.

(a) $4/45^\circ + 6/-135^\circ$

(b) $8/0^\circ + 20/180^\circ - 15/-180^\circ + 6/90^\circ + 15/-90^\circ$

(c) $3/20^\circ + 4/-30^\circ + 5/60^\circ$

(d) $4/-45^\circ + 8/30^\circ - 10/60^\circ + 20/135^\circ$

11-10 Repeat Prob. 11-9 for

(a) $6/30^\circ + 12/-150^\circ$

(b) $10/0^\circ - 30/180^\circ + 40/-180^\circ + 50/90^\circ - 10/-90^\circ$

(c) $4/-30^\circ - 6/45^\circ + 8/60^\circ$

(d) $8/-135^\circ + 10/30^\circ - 15/-155^\circ + 22/130^\circ$

11-11 Convert the following to polar form.

(a) $4 + j3$

(b) $8 + j6$

(c) $1 - j1$

(d) $-10 + j10$

(e) $-100 + j50$

PROBLEMS

11-1 Plot the following complex numbers on the complex plane.

- (a) $3 + j4$
- (b) $3 - j4$
- (c) $-3 + j4$
- (d) $-3 - j4$
- (e) $j5$
- (f) $-j5$
- (g) 5
- (h) -5

11-2 What do all the complex numbers in Prob. 11-1 have in common?

11-3 Simplify each of the following to a complex number in rectangular form.

- (a) $(3 + j4) + (-6 + j2) - (10 - j3)$
- (b) $4 + j6 - j10 - 22 + 4 - j3 - (6 + j8)$
- (c) $(3 + j4)(3 - j4)$
- (d) $(-3 + j4)(3 + j4)$
- (e) $(5 + j2)(-6 + j4)(j9)(7 - j5)$
- (f) $(2 + j1)(-3 - j4)(6 - j4)(-7 + j2)$
- (g) $(7 + j8)/j2$
- (h) $(6 - j8)/(4 - j3)$
- (i) $[(7 - j2)(4 + j3)]/[(3 - j6)(4 - j4)]$
- (j) $[(6 + j4)(-8 - j14)(7 - j12)]/[(4 + j2)(-6 + j5)(4 - j4)]$

11-4 Repeat Prob. 11-3 for

- (a) $(4 - j3) - (-5 + j10) + (11 - j6)$
- (b) $16 - j19 + 34 + j25 - (18 - j24)$
- (c) $(4 - j2)(4 + j2)$
- (d) $(-4 - j2)(4 - j2)$
- (e) $(8 - j9)(3 - j5)(j6)$
- (f) $(1 + j1)(3 - j3)(-6 + j2)(-4 - j5)$
- (g) $(4 - j6)/(-j2)$
- (h) $(-5 + j7)/(6 - j4)$
- (i) $[(3 - j2)(2 + j1)]/[(1 - j2)(-2 - j3)]$
- (j) $[(2 + j4)(3 - j5)(-1 - j1)]/[(2 - j1)(-3 + j3)(-2 + j2)]$

11-5 Express each of the following as a ratio of two complex numbers in rectangular form.

- (a) $\frac{3 + j2}{1 - j3} + \frac{4 - j5}{6 - j3}$
- (b) $\frac{4 - j7}{-2 + j3} + \frac{3 - j2}{-5 - j4}$

Unfortunately, there is some slight disagreement on the definition of phasor. Some circuit experts define phasors as the complex numbers used in this section. But many consider the phasor to have a magnitude that is not the peak, but rather the rms value. This is a reasonable choice because we often designate sinusoidal voltages and currents by their rms values instead of their peak values. Also, most ac meters indicate rms rather than peak values.

The lack of agreement is more than just on whether to use the peak or rms values for phasor magnitudes. It also extends to whether to base phasors on sine terms or cosine terms. Again this is reasonable because there is a cosine development completely parallel to our sine development. Many circuit experts use the cosine base and also the peak value.

In this book we will use the sine basis and rms value for phasors because this is the most popular definition. So, to find a phasor corresponding to a sinusoid we will add just one step to what we have been doing, and that step is to divide the peak value by the square root of 2. And to go from a phasor to a sinusoid, we will have to remember to multiply the phasor magnitude by the square root of 2 to get the peak value.

Example. Find phasors corresponding to the following sinusoids:

- (a) $v = 30 \sin(100t + 10^\circ) \text{ V}$
- (b) $v = -50 \cos(377t - 45^\circ) \text{ V}$
- (c) $i = 676 \cos(2513t + 110^\circ) \text{ A}$

Solution.

- (a) $V = \frac{30}{\sqrt{2}} \angle 10^\circ = 21.2 \angle 10^\circ \text{ V}$
- (b) $V = \frac{50}{\sqrt{2}} \angle [-45^\circ + 90^\circ] = 35.4 \angle 45^\circ \text{ V}$
- (c) $I = \frac{676}{\sqrt{2}} \angle [110^\circ + 90^\circ] = 478 \angle 200^\circ = -478 \angle 20^\circ \text{ A}$

Example. Find the sinusoids corresponding to the following phasors and frequencies:

- (a) $V = 10 \angle 20^\circ \text{ V}$ and $f = 100 \text{ Hz}$
- (b) $I = 20 \angle -45^\circ \text{ A}$ and $f = 60 \text{ Hz}$
- (c) $V = -30 \angle -30^\circ \text{ V}$ and $\omega = 200 \text{ rad/s}$

Solution. For parts (a) and (b) we must convert from hertz to radians per second using $\omega = 2\pi f$. And for all three parts we must multiply the rms values by $\sqrt{2}$ to get the peak values. Then,

- (a) $v = (10)(\sqrt{2}) \sin(2\pi 100t + 20^\circ) = 14.1 \sin(628t + 20^\circ) \text{ V}$
- (b) $i = (20)(\sqrt{2}) \sin(2\pi 60t - 45^\circ) = 28.3 \sin(377t - 45^\circ) \text{ A}$
- (c) $v = (-30)(\sqrt{2}) \sin(200t - 30^\circ) = -42.4 \sin(200t - 30^\circ) \text{ V}$

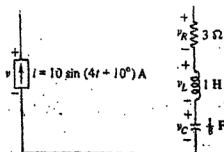
Incidentally, although phasors are most often thought of as being in polar form, they can be in rectangular form as well. After all, they are complex numbers.

ex.

43

Example. What is the voltage v across the current source in the network of Fig. 11-7?

FIGURE 11-7



Solution. The voltage v equals the sum of the voltage drops, top to bottom, across the three components. From our studies we know how to find each of these voltages. The resistor voltage is in phase with the current and has a peak of $3 \times 10 = 30$ V: $v_R = 30 \sin(4t + 10^\circ)$ V. The inductor voltage has a peak of $\omega L = 4 \times 1 = 4$ times the current peak and it leads the current by 90° : $v_L = (4)(10) \sin(4t + 10^\circ + 90^\circ) = 40 \sin(4t + 100^\circ)$ V. And the capacitor voltage has a peak of

$$\frac{1}{\omega C} = \frac{1}{4 \times 1/8} = 2$$

times the current peak and lags the current by 90° : $v_C = (2)(10) \sin(4t + 10^\circ - 90^\circ) = 20 \sin(4t - 80^\circ)$ V.

The voltage v across the current source is the sum of these voltages:

$$v = 30 \sin(4t + 10^\circ) + 40 \sin(4t + 100^\circ) + 20 \sin(4t - 80^\circ) \text{ V}$$

To sum these sine terms we find the corresponding complex numbers and add them:

$$\begin{aligned} 30/10^\circ + 40/100^\circ + 20/-80^\circ &= (29.5 + j5.21) + (-6.95 + j39.4) + (3.47 - j19.7) \\ &= 26.1 + j24.9 \end{aligned}$$

Then we convert this sum to polar form:

$$26.1 + j24.9 = 36.1/43.1^\circ$$

Finally, we get the corresponding sinusoid:

$$= 36.1 \sin(4t + 43.7^\circ) \text{ V}$$

In adding sinusoids we will use these complex numbers so frequently that they will soon take on physical significance in themselves. In fact, in our future work we will sometimes consider an analysis to be complete when we have the complex number corresponding to the voltage or current of interest, and will go no farther. Anyway, it is a trivial matter to complete the final step and get the actual sinusoid. Also, in many applications only the rms value and possibly the phase angle may be of interest. And we can get these from the complex numbers.

These complex numbers corresponding to sinusoids are called *phasors*. Not all complex numbers, though, are phasors—just those corresponding to sinusoids.

rectangular form. Even though we considered the addition of only two sine terms, the same method works regardless of the number of sine terms.

From this discussion we conclude that to add two or more sinusoids of the same frequency, we can

- (1) Convert all the sinusoids to sine terms.
- (2) For each sine term form a complex number in polar form, the magnitude of which is the peak value and the angle of which is the phase angle.
- (3) Convert these complex numbers to rectangular form and add them, and then convert this sum to polar form.
- (4) Form a sine term from this polar number and the ω of the original sinusoids. The magnitude of the polar number is the sine-term peak and the angle is the sine-term phase angle. Of course, ω is its radian frequency. This resulting sine term is the sum of the original sinusoids.

Example. What is the single sine-term equivalent of $3 \sin(2t + 30^\circ) + 4 \sin(2t + 60^\circ)$?

Solution. We can go immediately to step 2 because the terms to be added are already in sine form. From step 2 the two complex numbers are $3/30^\circ$ and $4/60^\circ$. We convert these to rectangular form and then add them:

$$3/30^\circ + 4/60^\circ = (2.6 + j1.5) + (2 + j3.46) = 4.6 + j4.96$$

Next, we convert this sum to polar form: $4.6 + j4.96 = 6.76/47.2^\circ$. This result tells us that the sum sine term has a peak value of 6.76 and a phase angle of 47.2° . The only other information needed is the radian frequency, which is $\omega = 2 \text{ rad/s}$, as in the original sinusoids. Consequently,

$$3 \sin(2t + 30^\circ) + 4 \sin(2t + 60^\circ) = 6.76 \sin(2t + 47.2^\circ)$$

Example. Find the single sine term equivalent to $10 \sin(7t + 45^\circ) + 6 \cos(7t - 30^\circ) - 8 \sin(7t - 50^\circ) + 3 \cos(7t + 20^\circ)$.

Solution. The first step is to convert the two cosine terms to sine terms. We do this by adding 90° to the phase angles: $6 \cos(7t - 30^\circ) = 6 \sin(7t + 60^\circ)$ and $3 \cos(7t + 20^\circ) = 3 \sin(7t + 110^\circ)$. Then the sum becomes

$$10 \sin(7t + 45^\circ) + 6 \sin(7t + 60^\circ) - 8 \sin(7t - 50^\circ) + 3 \sin(7t + 110^\circ)$$

Next we find the corresponding complex numbers and add:

$$\begin{aligned} 10/45^\circ + 6/60^\circ - 8/-50^\circ + 3/110^\circ &= (7.07 + j7.07) + (3 + j5.2) \\ &\quad + (-5.14 + j6.13) + (-1.03 + j2.82) \\ &= 3.9 + j21.2 \end{aligned}$$

We convert this to polar form:

$$3.9 + j21.2 = 21.6/79.6^\circ$$

Finally, from this we get the corresponding sum sine term of $21.6 \sin(7t + 79.6^\circ)$.

$+ (I_2/\phi)e^{j\omega t}$. It is possible to sum these lines, even though they are rotating, because they rotate at the same speed and so always have the same angle $\phi - \theta$ between them. In other words, we can stop these rotating lines at any instant of time and add them. This stopping is analogous to taking a snapshot of them. Usually, for convenience, we stop them at $t = 0$ s.

We can find the sum of these two lines by placing one line at the end of the other as shown in Fig. 11-6 for $t = 0$ s. The result is a line I/ψ in polar form, which

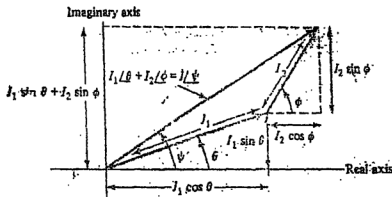


FIGURE 11-6

number has a real part that is the sum of the real parts of I_1/θ and I_2/ϕ and an imaginary part that is the sum of the imaginary parts of these numbers. Those familiar with vectors know that this is just vector addition.

So, we have $I/\psi = I_1/\theta + I_2/\phi$. If we multiply both sides of this equation by $e^{j\omega t}$ and convert to exponential form, we get

$$Ie^{j(\omega t + \psi)} = I_1e^{j(\omega t + \theta)} + I_2e^{j(\omega t + \phi)}$$

Then, by Euler's identity,

$$I \cos(\omega t + \psi) + jI \sin(\omega t + \psi) = I_1 \cos(\omega t + \theta) + jI_1 \sin(\omega t + \theta) + I_2 \cos(\omega t + \phi) + jI_2 \sin(\omega t + \phi)$$

By the definition of the equality of complex numbers, the imaginary part of the number on the left of the equal sign must equal the imaginary part of the number on the right:

$$I \sin(\omega t + \psi) = I_1 \sin(\omega t + \theta) + I_2 \sin(\omega t + \phi)$$

What does this result mean? The significance is that we can get the peak value I and the phase angle ψ of the sum sinusoid by adding the complex numbers I_1/θ and I_2/ϕ , which numbers are just from the peak values and phase angles of the individual sinusoids being added. This I and this ψ from the vector addition are really all we need to find the sum sinusoid since presumably we know ω . In other words, we can just add these complex numbers corresponding to the individual sinusoids to get the peak value and phase angle of the sum sinusoid. Although in Fig. 11-6 we performed this addition graphically for purposes of explanation, this addition is almost always easier done analytically with the complex numbers in

n angle of ωt that increases linearly with time, thereby giving rotation to the corresponding $e^{j\omega t}$. Figure 11-4 shows this rotation in the complex plane. At $t = 0$ s the line is along the positive real axis. The angle increases with time, causing the line to rotate *counterclockwise* as illustrated. Because by Euler's identity $e^{j\omega t} = \cos \omega t + j \sin \omega t$, this line has sinusoidal projections on the two axes.

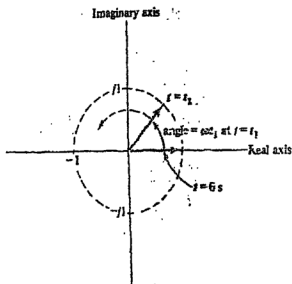


FIGURE 11-4

From this point of view, consider the sinusoid $i_1 = I_1 \sin(\omega t + \theta)$. It can be thought of as the projection of a rotating line $(I_1/\sqrt{2})e^{j\omega t}$ on the imaginary axis, as is evident from Euler's identity:

$$(I_1/\sqrt{2})e^{j\omega t} = I_1 e^{j\theta} e^{j\omega t} = I_1 e^{j(\omega t + \theta)} = I_1 \cos(\omega t + \theta) + j I_1 \sin(\omega t + \theta)$$

The imaginary part is, of course, the projection of the line on the vertical axis. This line has a length I_1 , and at $t = 0$ s has an angle of θ with the positive real axis. Similarly, a current $i_2 = I_2 \sin(\omega t + \phi)$ is a projection on the vertical axis of a line of length I_2 , which line has at $t = 0$ s an angle of ϕ with the positive real axis. Figure 11-5 illustrates both of these lines at $t = 0$ s. Remember that this is just for a moment of time. Actually, these lines rotate continuously in a counterclockwise direction. But they rotate at the same rate.

Now consider the rotating line that is the sum of these rotating lines: $(I_1/\sqrt{2})e^{j\omega t} + (I_2/\sqrt{2})e^{j\omega t}$

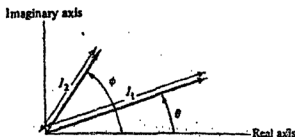


FIGURE 11-5

(b) Converting these numbers from rectangular to polar form and then multiplying is easier than multiplying these numbers in rectangular form:

$$(3 + j4)(6 - j10)(-2 + j5) = (5/53.1^\circ)(11.7/-59^\circ)(5.39/112^\circ) \\ = 5 \times 11.7 \times 5.39/53.1^\circ - 59^\circ + 112^\circ = 315/106^\circ$$

Division in exponential and polar forms is about as easy as multiplication. To see this, consider the division of $Ae^{j\theta}$ by $Be^{j\phi}$:

$$\frac{Ae^{j\theta}}{Be^{j\phi}} = \frac{A}{B} e^{j(\theta-\phi)}$$

The quotient magnitude of A/B is the quotient of the individual magnitudes, and by the law of exponents the quotient angle of $\theta - \phi$ is the difference of the individual angles. In polar form this is

$$\frac{A/\theta}{B/\phi} = \frac{A}{B} / \theta - \phi$$

Example. Find the quotients in polar form of

(a) $\frac{100/45^\circ}{20/30^\circ}$

(b) $\frac{(0.6 - j2)(0.3 + j0.4)}{(0.8 - j0.7)(0.6 + j0.9)}$

Solution.

(a) $\frac{100/45^\circ}{20/30^\circ} = \frac{100}{20} / 45^\circ - 30^\circ = 5/15^\circ$

(b) We will first convert the numbers to polar form and then combine the rules for multiplying and dividing in a rather obvious manner:

$$\frac{(0.6 - j2)(0.3 + j0.4)}{(0.8 - j0.7)(0.6 + j0.9)} = \frac{(2.1/-73.3^\circ)(0.5/53.1^\circ)}{(1.06/-41.2^\circ)(1.08/56.3^\circ)} \\ = \frac{2.1 \times 0.5}{1.06 \times 1.08} / -73.3^\circ + 53.1^\circ - (-41.2^\circ) - 56.3^\circ \\ = 0.917/-35.3^\circ$$

PHASORS

Having mastered complex algebra, we will now use it to find the sum and difference of *sine* *waves* of the same frequency through use of complex numbers called *phasors*. By definition a phasor is a complex number associated with a sinusoidal voltage or current in a certain way that we will study. As is customary, we will use boldface letter symbols V and I for these phasors. In fact, we will use boldface for all letter symbols corresponding to complex numbers regardless of whether these numbers are phasors.

For an understanding of phasors, consider the quantity $e^{j\omega t}$. It is a complex number, of course, as it is in exponential form with a magnitude of one. Also, it

Now we will consider mathematical operations with complex numbers in exponential and polar forms. Adding and subtracting in these forms is not practical except if the complex numbers have the same angle or, almost equivalently, have angles that differ by integer multiples of 180° . In this case the numbers are along the same line through the origin in the complex plane, with the result that adding and subtracting is similar to that with real numbers, with the adding and subtracting being performed basically on only the magnitudes, as the following example illustrates.

Example. Calculate $3/45^\circ + 8/225^\circ - 10/45^\circ + 20/-135^\circ$.

Solution. All these complex numbers are along a line through the origin, which line is at an angle of 45° in the first quadrant. Because they are along the same line, they can be added in polar form. For this addition it helps to have the same angle for each number. For some numbers this requires adding or subtracting 180° and at the same time inserting a negative sign so as not to change the number. Here it is convenient to select the angle 45° because two of the four numbers have this angle. Converting the other numbers to this angle, we have

$$8/225^\circ = -8/225^\circ - 180^\circ = -8/45^\circ$$

and

$$20/-135^\circ = -20/-135^\circ + 180^\circ = -20/45^\circ$$

Therefore,

$$\begin{aligned} 3/45^\circ + 8/225^\circ - 10/45^\circ + 20/-135^\circ &= 3/45^\circ - 8/45^\circ - 10/45^\circ - 20/45^\circ \\ &= (3 - 8 - 10 - 20)/45^\circ = -35/45^\circ \end{aligned}$$

Because complex numbers that are to be added are seldom all along a line through the origin, we must usually use the rectangular form to add or subtract, and so convert to rectangular form any numbers that are in polar or exponential form. As mentioned, though, the polar and exponential forms are usually best for multiplication and division.

We will now consider the multiplication of two complex numbers $Ae^{j\theta}$ and $Be^{j\phi}$ in exponential form. By the law of exponents,

$$Ae^{j\theta} \times Be^{j\phi} = AB e^{j(\theta+\phi)}$$

which product has a magnitude AB that is the product of the individual magnitudes and an angle $\theta + \phi$ that is the sum of the individual angles. In polar form this is

$$A/\theta \times B/\phi = AB/\theta + \phi$$

Example. Find the products of

(a) $(4/30^\circ)(-5/20^\circ)(6/-45^\circ)$

(b) $(3 + j4)(6 - j10)(-2 + j5)$

Solution.

(a) Multiplying the magnitudes and adding the angles, we get

$$(4)(-5)(6)/30^\circ + 20^\circ - 45^\circ = -120/5^\circ$$

elementary trigonometry, $x = A \cos \theta$, $y = A \sin \theta$, and $A = \sqrt{x^2 + y^2}$, all in agreement with the results from Euler's identity. This line of view is often helpful in finding the correct angles in the conversion from rectangular to polar form for complex numbers in the second and third quadrants.

Example. Convert the following complex numbers to polar form:

- (a) $3 + j4$
- (b) $3 - j4$
- (c) $-3 + j4$
- (d) $-3 - j4$

Solution. Because all four numbers have 3 and 4 for the two rectangular parts, these numbers have the same magnitude of $A = \sqrt{3^2 + 4^2} = 5$. Only the angles differ, as is evident from Fig. 11-3, which shows that each number is in a different quadrant.

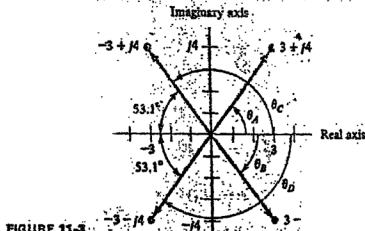


FIGURE 11-3

Finding angles in the first and fourth quadrants is easy. Clearly, $\theta_A = \tan^{-1} \frac{4}{3} = 53.1^\circ$ and $\theta_B = \tan^{-1} -\frac{4}{3} = -53.1^\circ$. And so $3 + j4 = 5/53.1^\circ$ and $3 - j4 = 5/-53.1^\circ$. But finding angles in the second and third quadrants can be more difficult because some calculators give angles in the first and fourth quadrants for the arctangent even when the angles should be in the second and third quadrants. Consequently, for converting complex numbers from rectangular to polar forms, drawing the lines is sometimes essential and usually advisable, especially if the numbers are in the second or third quadrants.

The calculators that produce incorrect angles for second and third quadrant numbers, do, however, give the angles from the negative real axis to the lines. Therefore, the lines for $-3 - j4$ and $-3 + j4$ are, as illustrated, 53.1° from the negative real axis. Because this axis corresponds to either $+180^\circ$ or -180° , whichever is more convenient, $\theta_C = 180^\circ - 53.1^\circ = 126.9^\circ$ and $\theta_D = -180^\circ - (-53.1^\circ) = -126.9^\circ$. The final results are $-3 + j4 = 5/126.9^\circ$ and $-3 - j4 = 5/-126.9^\circ$.

A final word on converting from rectangular to polar for numbers in the first and fourth quadrants: If the imaginary part has a *greater* magnitude than the real part, the absolute value of the phase angle is *greater* than 45° . Otherwise, it is equal to or less than 45° . Always make this quick check.

$$\cos^2 \theta + \sin^2 \theta = 1,$$

$$\cos^2 \theta + \sin^2 \theta = A^2(1) = x^2 + y^2$$

by taking the square root of both sides we get the formula

$$A = \sqrt{x^2 + y^2}$$

Some pocket calculators have a built-in feature for converting from rectangular to polar forms and from polar to rectangular forms.

Example. Convert the following complex numbers to polar form:

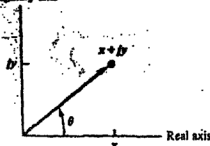
- (a) $3 + j4$
- (b) $15 - j6$
- (c) $15 + j1$
- (d) $2 - j25$

Solution.

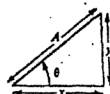
- (a) $\theta = \tan^{-1} \frac{4}{3} = 53.13^\circ$, $A = 3/\cos 53.13^\circ = 5$, so $3 + j4 = 5/53.13^\circ$.
- (b) $\theta = \tan^{-1} \frac{-6}{15} = -21.8^\circ$, $A = 15/\cos(-21.8^\circ) = 16.16$, so $15 - j6 = 16.16/-21.8^\circ$.
- (c) When one part of a complex number in rectangular form is more than 10 times the other, often a reasonable approximation is to neglect the smaller part. Doing this here we get $15 + j1 \approx 15$. If we need more accuracy, we do as before: $\theta = \tan^{-1} \frac{1}{15} = 3.81^\circ$, $A = 15/\cos 3.81^\circ = 15.03$, so $15 + j1 = 15.03/3.81^\circ$.
- (d) $2 - j25 \approx -j25 = 25/-90^\circ$ or, more accurately, $\theta = \tan^{-1} \frac{-25}{2} = -85.4^\circ$, $A = 25/\cos(-85.4^\circ) = 25.1$, so $2 - j25 = 25.1/-85.4^\circ$.

The exponential and polar forms may be easier to understand by considering a complex number to be more than just a point in the complex plane, and instead to be a line extending from the origin to this point. Figure 11-2(a) illustrates this line for the general point $x + jy$. Usually, the line has, as shown, an arrowhead at the point even though the arrowhead has no significance. As shown in Fig. 11-2(b), the line forms a right triangle with its horizontal and vertical projections. This right triangle has a horizontal side x , a vertical side y , and a hypotenuse A . From

Imaginary axis



(a)



(b)

FIGURE 11-2

- (c) $10/-45^\circ = 10 \cos(-45^\circ) + j10 \sin(-45^\circ) = 7.07 - j7.07$
 (d) $120/-180^\circ = 120 \cos(-180^\circ) + j120 \sin(-180^\circ) = -120$
 (e) $120/180^\circ = 120 \cos 180^\circ + j120 \sin 180^\circ = -120$
 (f) $80/-90^\circ = 80 \cos(-90^\circ) + j80 \sin(-90^\circ) = -j80$
 (g) $80/90^\circ = 80 \cos 90^\circ + j80 \sin 90^\circ = j80$

Particularly notice that the results of parts (d) and (e) show that a negative sign corresponds to an angle of either 180° or -180° . Put another way, $-1 = 1/180^\circ = 1/-180^\circ$. Parts (f) and (g) indicate that an angle of -90° corresponds to multiplication by $-j1$ and that an angle of $+90^\circ$ corresponds to multiplication by $+j1$: $1/-90^\circ = -j1$ and $1/90^\circ = j1$.

We now know how to use Euler's identity to convert from the exponential and polar forms to the rectangular form, but how about going the other way? How do we convert a complex number in rectangular form to exponential or polar form? We will now derive the conversion formulas by considering the general complex number $x + jy$ in rectangular form. This is to be converted to the equivalent $Ae^{j\theta}$ in exponential form such that $x + jy = Ae^{j\theta}$. Presumably, x and y are known, and the problem is to find θ and A in terms of x and y . Using Euler's identity we can place the right side $Ae^{j\theta}$ in rectangular form:

$$x + jy = A \cos \theta + jA \sin \theta$$

Two complex numbers in rectangular form being equal means that the real parts are equal and that the imaginary parts are equal. Consequently, $x = A \cos \theta$ and $y = A \sin \theta$. By taking the ratio of these two equations, we can eliminate A :

$$\frac{A \sin \theta}{A \cos \theta} = \frac{y}{x}$$

But,

$$\frac{\sin \theta}{\cos \theta} = \tan \theta$$

So,

$$\tan \theta = \frac{y}{x}$$

and

$$\theta = \tan^{-1} \frac{y}{x}$$

which specifies that the angle of a complex number equals the arctangent of the quotient of the imaginary part divided by the real part.

With the angle known, we can easily find A from either $A \cos \theta = x$ or from $A \sin \theta = y$:

$$A = \frac{x}{\cos \theta} \quad \text{or} \quad A = \frac{y}{\sin \theta}$$

Another popular way to find A is to use a formula based on squaring both sides of $A \cos \theta = x$ and of $A \sin \theta = y$, and adding corresponding sides:

$$A^2 \cos^2 \theta + A^2 \sin^2 \theta = x^2 + y^2$$

Except possibly for just two complex numbers, multiplication and division are usually best done with another form of complex number, as we shall now see. But the rectangular form is by far the best for general addition and subtraction.

EXPONENTIAL AND POLAR FORMS

We now consider the *exponential form* of complex numbers, and its shorthand version, the *polar form*. These forms are best for multiplication and division. But, except for one rare case, they are not useful for addition or subtraction:

The general exponential form is $Ae^{j\theta}$, in which A is the *magnitude*, θ the *angle*, and $e = 2.718 \dots$, the base of the natural logarithm. Some examples of the exponential form are $4e^{j30^\circ}$, $-6e^{j60^\circ}$, and $8e^{j120^\circ}$. In the strictest sense, the negative sign in the second example is not a part of the magnitude. Rather, it corresponds to an angle of 180° , as will be explained. As a practical matter, however, we will sometimes find it convenient to include a negative sign in the number corresponding to A . Also, mathematically speaking, θ should be in radians. But, except for some mathematicians, almost everyone prefers to use degrees because of greater familiarity with them.

The polar shorthand for $Ae^{j\theta}$ is A/θ . It does not, for convenience, have the e or the j . Some specific examples are $4e^{j30^\circ} = 4/30^\circ$, $-6e^{j60^\circ} = -6/60^\circ$, and $8e^{j120^\circ} = 8/120^\circ$. Both forms are equivalent, with the polar form being far more popular simply because it is easier to write.

That a number such as $4e^{j30^\circ}$ is a complex number becomes evident from Euler's identity: $e^{j\theta} = \cos \theta + j \sin \theta$. From Euler's identity, for example,

$$4e^{j30^\circ} = 4/30^\circ = 4(\cos 30^\circ + j \sin 30^\circ) = 3.46 + j2$$

and

$$-6e^{j60^\circ} = -6/60^\circ = -6(\cos 60^\circ + j \sin 60^\circ) = -3 - j5.2$$

These two examples also illustrate that Euler's identity is useful for converting a complex number from either the exponential or polar form to the rectangular form. We will not prove Euler's identity because of the advanced mathematics required.

Example. Convert the following complex numbers to rectangular form:

- (a) $3/-20^\circ$
- (b) $-6/-120^\circ$
- (c) $10/-45^\circ$
- (d) $120/-180^\circ$
- (e) $120/180^\circ$
- (f) $80/-90^\circ$
- (g) $80/90^\circ$

Solution. From Euler's identity,

$$(a) \quad 3/-20^\circ = 3 \cos (-20^\circ) + j3 \sin (-20^\circ) = 2.82 - j1.03$$

$$(b) \quad -6/-120^\circ = -6 \cos (-120^\circ) + j(-6) \sin (-120^\circ) = 3 + j5.2$$

equal to the sum of the squares $(1)^2 + (2)^2$ of its real and imaginary parts, as always happens when multiplying by a conjugate.

When the dividend or divisor is a product of complex numbers, the procedure is to take the product of the numerator complex numbers to reduce the numerator to a single complex number and then do the same thing for the denominator. Then the division is the same as for the quotient of two complex numbers.

Example. Find $(3 + j4)(-1 + j2)/(3 - j2)(-4 - j5)$.

Solution. First we multiply:

$$\frac{(3 + j4)(-1 + j2)}{(3 - j2)(-4 - j5)} = \frac{-3 + j6 - j4 - 8}{-12 - j15 + j8 - 10} = \frac{-11 + j2}{-22 - j7}$$

and then divide in the usual way:

$$\frac{(-11 + j2)(-22 + j7)}{(-22 - j7)(-22 + j7)} = \frac{242 - j77 - j44 - 14}{(-22)^2 + 7^2} = \frac{228 - j121}{533}$$

$$= 0.428 - j0.227$$

In the following chapters we will sometimes add ratios of complex numbers in rectangular form, as in

$$\frac{3 + j4}{6 - j2} + \frac{1 - j4}{-2 + j3}$$

and will want the result in the same form. To do this we give each ratio a *common denominator* of the product of the individual denominators: $(6 - j2)(-2 + j3)$, here. Of course, in doing this, we multiply each numerator by the same quantity that we multiply the corresponding denominator by. Once the ratios have the same denominators, we can add the numerators and place the sum over the common denominator.

So here, to get a common denominator, we multiply the numerator and denominator of the first ratio by $-2 + j3$ and those of the second ratio by $6 - j2$:

$$\frac{(3 + j4)(-2 + j3)}{(6 - j2)(-2 + j3)} + \frac{(1 - j4)(6 - j2)}{(-2 + j3)(6 - j2)}$$

Multiplying:

$$\frac{-6 + j9 - j8 - 12}{-12 + j18 + j4 + 6} + \frac{6 - j2 - j24 - 8}{-12 + j4 + j18 + 6}$$

Simplifying:

$$\frac{-18 + j1}{-6 + j22} + \frac{-2 - j26}{-6 + j22}$$

Finally, adding numerators over the common denominator of $-6 + j22$:

$$\frac{-18 + j1 - 2 - j26}{-6 + j22} = \frac{-20 - j25}{-6 + j22}$$

- (c) $4 + j8 + 5 - j2.4 - 0.6 - j0.8 = 4 + 5 - 0.6 + j8 - j2.4 - j0.8 = 8.4 + j4.8$. This part illustrates that parentheses are unnecessary in adding.
- (d) $(4.2 - j3.8) - (-3.1 + j1.1) = 4.2 - (-3.1) - j(3.8 + 2.1) = 7.3 - j5.9$

To multiply two complex numbers in rectangular form, we multiply the real part of one number times the real part of the second number, and then the imaginary part times the second number. Last, we add these two results.

Example. Find the product of $3 + j2$ and $-6 + j1$.

Solution. We take the real part, 3, of the first number times the second number and the imaginary part, $j2$, times the second number, and add:

$$\begin{aligned}(3 + j2)(-6 + j1) &= 3(-6 + j1) + j2(-6 + j1) = -18 + j3 - j12 - 2 \\ &= -20 - j9\end{aligned}$$

The rectangular form is awkward for multiplying more than two complex numbers, but is sometimes used when the product is wanted in rectangular form. This multiplication is usually easiest if performed on only two numbers at a time.

Example. Find $(6 - j10)(2 + j1)(-4 + j5)$ in rectangular form.

Solution. We will multiply in pairs. The product of the first pair is

$$(6 - j10)(2 + j1) = 12 + j6 - j20 + 10 = 22 - j14$$

And this times the third number is the desired product.

$$(22 - j14)(-4 + j5) = -88 + j110 + j56 + 70 = -18 + j166$$

As to be expected, the division of complex numbers in rectangular form is somewhat more difficult than multiplication. For division we first place the dividend and divisor in the usual ratio form with the dividend in the numerator and the divisor in the denominator. Then we multiply numerator and denominator by the conjugate of the denominator complex number. The conjugate of a complex number has the same real part but the negative of the imaginary part. As we will see, multiplying a complex number by its conjugate produces a real number equal to the sum of the squares of the real and imaginary parts. As a result of this multiplication, the denominator becomes real, making the division straightforward. This step of making the denominator real is the same rationalizing mentioned in the discussion of the division of imaginary numbers.

Example. Calculate $(3 + j4)/(1 - j2)$.

Solution. The denominator $1 - j2$ has a conjugate of $1 + j2$. Multiplying the numerator and denominator by this, we get

$$\frac{(3 + j4)(1 + j2)}{(1 - j2)(1 + j2)} = \frac{3 + j6 + j4 - 8}{1 + j2 - j2 + 4} = \frac{-5 + j10}{1 + 4} = \frac{-5 + j10}{5} = -1 + j2$$

Notice that multiplying the denominator by its conjugate produced a real number

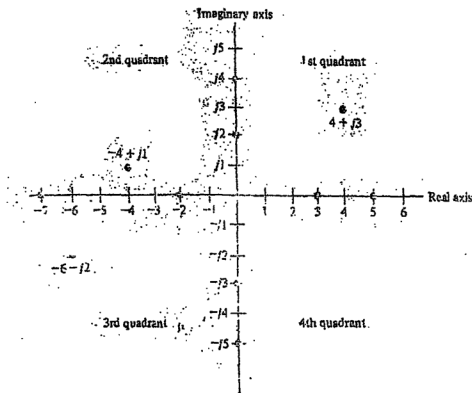


FIGURE 11-1

the imaginary or j axis. Figure 11-1 shows four of these points: $-j5$, $-j3$, $j2$, and $j4$.

Other complex numbers have nonzero real and imaginary parts. Consequently, they correspond to points off the axes. The real part of each number gives the position to the right or to the left of the vertical axis and the imaginary part gives the position above or below the horizontal axis. Figure 11-1 shows four of these points, one in each quadrant.

The rectangular form is the only practical form for general addition and subtraction. As to be expected, addition and subtraction are applied separately to the real and imaginary parts.

Example. Find the following:

- (a) $(3 + j4) + (-6 + j8)$
- (b) $(-6 + j10) + (4 - j7) + (2 - j4)$
- (c) $4 + j8 + 5 - j2.4 - 0.6 - j0.8$
- (d) $(4.2 - j3.8) - (-3.1 + j2.1)$

Solution. As mentioned, the procedure is to separately add or subtract the real parts and imaginary parts. As a result,

- (a) $(3 + j4) + (-6 + j8) = 3 - 6 + j(4 + 8) = -3 + j12$
- (b) $(-6 + j10) + (4 - j7) + (2 - j4) = -6 + 4 + 2 + j(10 - 7 - 4)$

Complex Algebra and Phasors

INTRODUCTION

How do we analyze sinusoidally excited *RLC* circuits? We could, of course, apply KVL and KCL. But they require differential equations and also summing of sinusoids of different phase angles. We can avoid both of these disadvantages by using *complex algebra* and *phasors*. As we will study, complex algebra is just a slight extension of the algebra of real numbers, the algebra we know so well. The extension is to complex numbers with their own special rules for operations. A knowledge of complex algebra is essential because we will be *transforming* sinusoids into complex numbers called phasors, and will be using complex algebra on these phasors.

COMPLEX NUMBERS AND THE RECTANGULAR FORM

A *complex number* has a real part and an imaginary part. In one form, the *rectangular form*, it is written as the sum of the real part and imaginary part. By convention the real part is written first. For example, $3 + j4$, $-7 - j2$, $-0.5 + j100$, and $-2 - j0.6$ are complex numbers in rectangular form.

A more general way of considering a complex number is as a point in the *complex plane*. As illustrated in Fig. 11-1, the complex plane has two perpendicular axes, one horizontal and one vertical. The horizontal axis is the real axis and the vertical axis is the imaginary axis (or *j* axis), as labeled. Both axes must have the same scale.

The axes divide the complex plane into four quadrants, as labeled. Real parts of complex numbers are positive to the right of the vertical axis in the first and fourth quadrants. They are negative to the left of the vertical axis in the second and third quadrants. Imaginary parts are positive above the horizontal axis in the first and second quadrants, and negative below the horizontal axis in the third and fourth quadrants.

Complex numbers with zero imaginary parts are purely real and so are points on the real axis. Figure 11-1 has four of these points: -7 , -2 , 3 , and 5 . Complex numbers with zero real parts, instead, are purely imaginary, and so are points on

Problems CH. 10

10-44 Find the reactances of a 100-pF capacitor at the following frequencies.

- (a) 2 kHz
- (b) 2.5 MHz
- (c) 120 MHz
- (d) 1000 MHz

10-45 Find the capacitances that produce the following capacitive reactances.

- (a) -6Ω at 1 kHz
- (b) -0.1Ω at 20 kHz
- (c) $-1 \text{ k}\Omega$ at 60 kHz
- (d) $-1 \text{ M}\Omega$ at 5 kHz

10-46 Repeat Prob. 10-45 for

- (a) $-10 \text{ k}\Omega$ at 6 kHz
- (b) -120Ω at 500 kHz
- (c) -10Ω at 1 MHz
- (d) $-20 \text{ k}\Omega$ at 60 kHz

10-47 For a 2- μF capacitor find the capacitor currents corresponding to the following voltages. Assume associated references.

- (a) $8 \sin 20t \text{ V}$
- (b) $10 \cos (1000t - 45^\circ) \text{ V}$
- (c) $500 \cos (10^6t + 55^\circ) \text{ V}$
- (d) $1250 \sin (377t - 25^\circ) \text{ V}$

10-48 Repeat Prob. 10-47 for a 0.1- μF capacitor and the following voltages.

- (a) $22 \sin 200\pi t \text{ V}$
- (b) $16 \cos (2000t - 65^\circ) \text{ V}$
- (c) $0.6 \cos (10^7t + 45^\circ) \text{ V}$
- (d) $-4200 \cos (377t - 75^\circ) \text{ V}$

10-49 For a 0.01- μF capacitor find the capacitor voltages corresponding to the following currents. Assume associated references.

- (a) $0.2 \sin 377t \text{ A}$
- (b) $4.3 \cos (9000t - 45^\circ) \text{ A}$
- (c) $-0.04 \sin (10^6t - 35^\circ) \text{ A}$
- (d) $20 \sin (1000t + 30^\circ) \text{ A}$

10-50 Repeat Prob. 10-49 for a 10- μF capacitor and the following currents.

- (a) $0.06 \sin 377t \text{ A}$
- (b) $6.8 \cos 1500t \text{ A}$
- (c) $-0.002 \sin (377t - 45^\circ) \text{ A}$
- (d) $10.6 \cos (10^6t + 30^\circ) \text{ A}$

10-27 For each pair of the following resistor voltages and currents, find the corresponding resistance and the average power dissipated.

(a) $v = 20 \cos(377t + 10^\circ)$ V and $i = 5 \cos(377t + 10^\circ)$ A

(b) $v = 3.6 \sin(754t - 15^\circ)$ V and $i = 72 \sin(754t - 15^\circ)$ A

10-28 Repeat Prob. 10-27 for

(a) $v = 2000 \sin(60t - 10^\circ)$ V and $i = 20 \sin(60t - 10^\circ)$ A

(b) $v = -3.4 \cos 20t$ mV and $i = -13.6 \cos 20t$ μ A

10-29 Find the effective values of the following voltages and currents.

(a) $30 \sin 377t$ V

(b) $0.04 \cos(377t + 40^\circ)$ V

(c) $-10 \sin(70t + 15^\circ)$ A

(d) $1250 \cos(754t - 20^\circ)$ A

10-30 Repeat Prob. 10-29 for

(a) $\sin 754t$ V

(b) $2.1 \sin(377t - 45^\circ)$ V

(c) $-48 \cos(30t + 76^\circ)$ A

(d) $74 \cos(80t - 185^\circ)$ A

10-31 Write the sine-term expressions corresponding to the following rms voltages and currents, assuming a frequency of 60 Hz and a 0° phase angle.

(a) 230 V

(b) 10 A

(c) 14.14 V

(d) 62 μ A

10-33 Find the effective value of a periodic voltage that is 10 V for half a period and -5 V for the second half-period. Then, repeat the calculation for the same first half-period value but for a second half-period value of 5 V instead of -5 V.

10-34 Find the effective value of a periodic current that is 20 A for one-third period, 0 A for the middle third period, and -4 A for the final third of the period.

10-39 For a 20-mH inductor find the inductor voltages corresponding to the following currents. Assume associated references.

(a) $6 \sin 10t$ A

(b) $7 \sin(50t - 10^\circ)$ A

(c) $0.8 \cos(100t + 45^\circ)$ A

(d) $-50 \sin(60t - 80^\circ)$ A

10-40 Repeat Prob. 10-39 for a 0.4-H inductor and the following currents.

(a) $5 \sin 20t$ A

(b) $8 \sin(40t - 35^\circ)$ A

(c) $0.6 \sin(100t + 15^\circ)$ A

(d) $-40 \cos(1000t - 50^\circ)$ A

10-41 For a 50-mH inductor find the inductor currents corresponding to the following voltages. Assume associated references.

(a) $100 \sin 20t$ V

(b) $50 \cos 40t$ V

(c) $0.5 \sin(100t - 25^\circ)$ V

(d) $-20 \cos(200t - 35^\circ)$ V

10-18 Repeat Prob. 10-17 for

- (a) $v = 10 \sin 377t$ V, $i = 6 \sin (377t - 135^\circ)$ A
- (b) $v = 1.1 \cos (6\pi t - 135^\circ)$ V, $i = 2.2 \sin (6\pi t + 135^\circ)$ A
- (c) $v = -64 \cos (70t + 15^\circ)$ V, $i = -22 \sin (70t - 33^\circ)$ A
- (d) $v_1 = 2.6 \sin (37t - 22^\circ)$ V, $v_2 = -3.4 \cos (37t - 45^\circ)$ V
- (e) $v = 1.2 \sin (36t - 15^\circ)$ V, $i = 1.3 \sin (36t - 22^\circ)$ A

10-19 A certain sinusoidal voltage has a positive peak of 24 V, a frequency of 60 Hz, and a zero value at $t = -0.11$ s. What are the sinusoids that satisfy this description?

10-20 Repeat Prob. 10-19 for a sinusoidal current having a positive peak of 5 A, a frequency of 120 Hz, and a zero value at $t = 0.01$ s.

10-21 Find the average values of

- (a) $6 - 8 \cos (377t + 10^\circ)$ A
- (b) A sawtooth wave with a peak of 16.
- (c) 3 V
- (d) $4 \cos^2 377t$ V [Hint: Use a trigonometric identity.]
- (e) A periodic voltage that is 10 V for three-fourths of a period and is -2 V for the remaining one-fourth of a period.

10-22 Repeat Prob. 10-21 for

- (a) $v = -6 \sin (754t - 20^\circ)$ V
- (b) $i = 22 \cos (10t + 35^\circ)$ A
- (c) $v = -10 - 4 \cos (20t - 15^\circ)$ V
- (d) A sawtooth wave with a peak of 48.
- (e) A periodic current that is -20 A for half a period and -5 A for the remaining half-period.

10-23 For a $2\text{-}\Omega$ resistor find the resistor currents corresponding to the following resistor voltages. Assume associated references. Also find the average powers dissipated.

- (a) $3 \cos 377t$ V
- (b) $4 \sin (20t - 10^\circ)$ V
- (c) $-6 \cos (754t - 15^\circ)$ μ V
- (d) $20 \sin (100t + 45^\circ)$ mV

10-24 Repeat Prob. 10-23 for a $3\text{-k}\Omega$ resistor and the following voltages.

- (a) $4000 \cos 377t$ V
- (b) $200 \sin 754t$ V
- (c) $-30 \cos (20t - 45^\circ)$ μ V
- (d) $-45 \sin (377t - 135^\circ)$ mV

10-25 For a $2\text{-k}\Omega$ resistor find the resistor voltages corresponding to the following resistor currents. Assume associated references. Also find the average powers dissipated.

- (a) $4 \cos 377t$ A
- (b) $2 \sin (754t - 30^\circ)$ mA
- (c) $3 \cos (10^4t - 20^\circ)$ μ A
- (d) $-4 \sin (1000t - 15^\circ)$ A

- 10-2 Repeat Prob. 10-1 for
- $9 \sin(10t - 36^\circ)$
 - $24 - 12 \cos(2t + 85^\circ)$
 - $10 \sin^2 11t$
 - $-10 \sin 6t \cos 6t$
- 10-3 Find the period of a periodic function having a frequency of
- 0.1 Hz
 - 60 Hz
 - 15 kHz
 - 10 MHz
- 10-4 Find the frequency of a periodic function having a period of
- $1 \mu\text{s}$
 - $\frac{1}{25} \text{ s}$
 - 20 s
 - 1 day
- 10-5 Find the period and frequency of a sinusoid having a radian frequency of
- $6\pi \text{ rad/s}$
 - 377 rad/s
 - 0.01 rad/s
 - 10^6 rad/s
- 10-6 Repeat Prob. 10-5 for
- 30 rad/s
 - 0.25 rad/s
 - $100\pi \text{ rad/s}$
 - $2 \times 10^3 \text{ rad/s}$
- 10-7 Find the radian frequency of a sinusoid having a frequency of
- 120 Hz
 - 0.1 Hz
 - 35 kHz
 - 1 MHz
- 10-13 Sketch one cycle of $10 \sin 6\pi t$ with the abscissa in
- time
 - radians
 - degrees
- 10-14 Repeat Prob. 10-13 for $8 \cos 20t$.
- 10-15 Repeat Prob. 10-13 for $10 \sin(6\pi t + 30^\circ)$.
- 10-16 Repeat Prob. 10-13 for $8 \cos(20t - 45^\circ)$.
- 10-17 Find the phase relations for the following pairs of sinusoids.
- $v = 8 \sin(20t + 30^\circ) \text{ V}$, $i = 6 \sin(20t - 25^\circ) \text{ A}$
 - $v = 8 \sin(20\pi t + 30^\circ) \text{ V}$, $i = 6 \cos(20\pi t - 35^\circ) \text{ A}$
 - $v_1 = -11 \sin(377t - 45^\circ) \text{ V}$, $v_2 = 23 \cos(377t + 37^\circ) \text{ V}$
 - $i_1 = -3.6 \sin(754t - 15^\circ) \text{ A}$, $i_2 = -7.8 \cos(754t - 35^\circ) \text{ A}$
 - $v = -7.6 \sin(22t - 13^\circ) \text{ V}$, $i = 4.3 \cos(11t + 22^\circ) \text{ A}$

which simplifies to

$$p = \frac{V_m I_m}{2} \sin(2\omega t + 2\theta) = V_{eff} I_{eff} \sin(2\omega t + 2\theta)$$

So, the instantaneous power absorbed by a capacitor is sinusoidal of twice the frequency of either voltage or current. Because the instantaneous power is sinusoidal, its average is zero: $P_{av} = 0$ W. To repeat, *a sinusoidally excited capacitor absorbs zero average power.*

This instantaneous power has a peak or maximum value P_m of $V_m I_m/2$, substitution of $V_m = I_m/\omega C$ into which produces

$$P_m = \frac{I_m^2}{2\omega C} = \frac{I_{eff}^2}{\omega C} = -\frac{I_{eff}^2}{\omega C} = -I_{eff}^2 X_C$$

The quantity $I_{eff}^2 X_C$ is the reactive power absorbed by a capacitor. Notice that this is the same formula as for an inductor except for X_C instead of X_L . Also, this reactive power is negative for a capacitor because X_C , the reactance, is negative. Capacitive reactive power has the same symbol Q as inductive reactive power: $Q = I_{eff}^2 X_C$. Also, $Q = W_{eff}/X_C$ is the same.

Now consider the energy absorbed by a capacitor. Since a sinusoidally excited capacitor absorbs zero average power, it does not dissipate energy. It does, however, alternately absorb and deliver energy. The instantaneous energy absorbed is

$$w = \frac{1}{2} C v^2 = \frac{1}{2} C V_m^2 \sin^2(\omega t + \theta) = \frac{1}{2} C V_m^2 [1 - \cos(2\omega t + 2\theta)]$$

Because the cosine term cannot be greater than 1, the quantity in brackets is never negative. Also, the peak energy stored is $CV_m^2/2$, which occurs each time the cosine term is -1 . These are the times at which the voltage is at its peaks, either positive or negative. The capacitor returns all this energy to the circuit each time the capacitor voltage is zero. As the capacitor voltage increases in magnitude, the capacitor absorbs increasing amounts of energy. And as the capacitor voltage decreases in magnitude, the capacitor returns energy to the circuit and in so doing acts like a source.

With this completion of our capacitor discussion, we now know how resistors, inductors, and capacitors *individually* respond to sinusoidal excitation. The next logical step is the analysis of sinusoidally excited circuits of mixed components. But before doing this we must study complex algebra and phasors, the subject of Chap. 11.

PROBLEMS

10-1 Find the frequency and period of each of the following periodic functions.

[Hint: For parts (c) and (d) use trigonometric identities.]

- (a) $4 \cos(15t + 35^\circ)$
- (b) $6 + 8 \sin(377t - 20^\circ)$
- (c) $4 \cos^2 7t$
- (d) $6 \sin 2t \cos 2t$

Note that $1/\omega C$ is *inversely* proportional to frequency and capacitance. Consequently, the greater the capacitance or the greater the frequency, the less the reactance, and so the greater the current for the same voltage. At the extreme of zero frequency as the frequency approaches zero and becomes more and more like dc, $1/\omega C$ approaches infinity. This means that a capacitor acts more and more like an open circuit, in agreement with our dc results. On the other extreme, as the frequency gets very large, $1/\omega C$ approaches zero, which means that the capacitor approaches a short circuit.

From a comparison of $i = \omega C V_m \cos(\omega t + \theta)$ and $v = V_m \sin(\omega t + \theta)$, clearly the capacitor current *leads* the capacitor voltage by 90° . Or, the capacitor voltage *lags* the capacitor current by 90° . This lead and lag are important to remember.

Example. A $0.01\text{-}\mu\text{F}$ capacitor has a voltage $v = 100 \sin(\omega t + 30^\circ)$ V. Find the capacitor current for (a) $\omega = 1000$ rad/s and for (b) $\omega = 10^7$ rad/s.

Solution. (a) For $\omega = 1000$ rad/s, $\omega C = 1000 \times 10^{-8} = 10^{-5}$. This times the voltage peak produces a current peak of

$$I_m = 10^{-5} \times 100 = 10^{-3} = 1 \text{ mA.}$$

Then from the fact that capacitor current leads capacitor voltage by 90° , we get $i = 1 \sin(1000t + 30^\circ + 90^\circ) = \cos(1000t + 30^\circ)$ mA. (b) For $\omega = 10^7$ rad/s, $\omega C = 10^7 \times 10^{-8} = 0.1$, producing a current peak of $I_m = 0.1 \times 100 = 10$ A. Consequently, $i = 10 \sin(10^7 t + 30^\circ + 90^\circ) = 10 \cos(10^7 t + 30^\circ)$ A. Significantly, the current peak increased from 1 mA to 10 A with the increase of frequency from $\omega = 1000$ to 10^7 rad/s.

Example. A $1\text{-}\mu\text{F}$ capacitor carries a current of $i = 2 \cos(1000t + 30^\circ)$ A. What is the capacitor voltage?

Solution. For $C = 1 \mu\text{F}$ and $\omega = 1000$ rad/s,

$$\frac{1}{\omega C} = \frac{1}{1000 \times 10^{-6}} = 1000 \Omega$$

So, the peak capacitor voltage is

$$V_m = \frac{1}{\omega C} \times I_m = 1000 \times 2 = 2000 \text{ V}$$

From this peak voltage and the fact that capacitor voltage lags capacitor current by 90° , we get a capacitor voltage of

$$v = 2000 \cos(1000t + 30^\circ - 90^\circ) = 2000 \sin(1000t - 60^\circ) \text{ V}$$

Now consider the power absorbed by a capacitor with a voltage $v = V_m \sin(\omega t + \theta)$ and a current $i = I_m \cos(\omega t + \theta)$. The instantaneous power absorbed is

$$p = v i = [V_m \sin(\omega t + \theta)][I_m \cos(\omega t + \theta)] = V_m I_m \sin(\omega t + \theta) \cos(\omega t + \theta)$$

CAPACITOR SINUSOIDAL RESPONSE

If in the last section we interchange v and i and if we substitute C for L , the same material describes capacitor sinusoidal response. This follows from a comparison of the basic equations, $v = L di/dt$ and $i = C dv/dt$. For this reason, the following section on capacitor sinusoidal response strongly resembles the inductor material of the last section.

Consider the circuit of Fig. 10-21 in which a voltage source produces a sinusoidal voltage across a capacitor. What is the current? This current is easy to find from the basic capacitor equation:

$$i = C \frac{dv}{dt} = C \frac{d}{dt} [V_m \sin(\omega t + \theta)] = \omega C V_m \cos(\omega t + \theta)$$

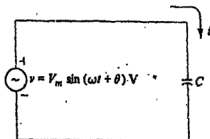


FIGURE 10-21

This capacitor current is sinusoidal and of the same frequency as the voltage. Further, viewing the capacitor current as the excitation and the capacitor voltage as the response, we find that a sinusoidal capacitor current produces a sinusoidal capacitor voltage of the same frequency. The sinusoid is about the only practical excitation for which capacitor voltage and current have the same waveshape.

The multiplier $\omega C V_m$ is, of course, the peak current:

$$I_m = \omega C V_m = \frac{V_m}{1/\omega C}$$

Comparing this with the resistor relation of $I = V_m/R$, we see that a capacitor has a current limiting action similar to that of a resistor with $1/\omega C$ corresponding to R . Because of this action, some electric circuits books have *capacitive reactance* defined as $1/\omega C$. But most electrical engineering circuits books include a negative sign and so have capacitive reactance defined as

$$X_c = -\frac{1}{\omega C}$$

for reasons having to do with phase shift, as we will study later. Although this is the definition we will adopt, we need not be concerned now about the negative sign. Of course, in this definition, X_c is the quantity symbol for capacitive reactance, and this reactance has the unit of ohm.

Now consider the power absorbed by an inductor having a voltage of $v = V_m \cos(\omega t + \theta)$ and a current of $i = I_m \sin(\omega t + \theta)$. The instantaneous power p is the product of instantaneous voltage and current:

$$p = vi = [V_m \cos(\omega t + \theta)][I_m \sin(\omega t + \theta)] = V_m I_m \cos(\omega t + \theta) \sin(\omega t + \theta)$$

From the trigonometric identity $\cos x \sin x = (\sin 2x)/2$ and for $x = \omega t + \theta$, this result simplifies to

$$p = \frac{V_m I_m}{2} \sin(2\omega t + 2\theta) = V_{eff} I_{eff} \sin(2\omega t + 2\theta)$$

This instantaneous power absorbed by an inductor is sinusoidal at twice the frequency of either voltage or current. Being sinusoidal, its average is zero— $P_{av} = 0$ W—because a sinusoid has a zero average over 2 period. To repeat for emphasis, a sinusoidally excited inductor absorbs zero average power.

This instantaneous power has a peak or maximum value P_m of $V_m I_m/2$ that with the substitution of $V_m = \omega L I_m$ becomes

$$P_m = \frac{\omega L I_m^2}{2} = I_{eff}^2 \omega L = I_{eff}^2 X_L$$

The quantity $I_{eff}^2 X_L$ is called *reactive power* because of its similarity to $I^2 R$. We can get another expression for reactive power, which has the symbol Q , from the substitution $I_{eff} = V_{eff}/X_L$. The result is $Q = V_{eff}^2/X_L$. Although an inductor does not dissipate this reactive power, which is actually the peak power absorbed, an inductor requires current for this power, and it is this current that causes problems, as we will study in Chap. 15.

Now consider the energy absorbed by an inductor. Because a sinusoidally excited inductor absorbs zero average power, it does not dissipate energy. It does, however, alternately absorb and deliver energy as is evident from the instantaneous energy formula:

$$w = \frac{1}{2} L i^2 = \frac{1}{2} L I_m^2 \sin^2(\omega t + \theta) = \frac{1}{2} L I_m^2 [1 - \cos(2\omega t + 2\theta)]$$

The last step is from the trigonometric identity $\sin^2 x = (1 - \cos 2x)/2$ with $x = \omega t + \theta$. Because the cosine term cannot be greater than 1, the quantity in brackets is never negative, and so the energy absorbed is never negative. Also, each time that $\cos(2\omega t + 2\theta) = -1$, the energy stored has a peak of $L I_m^2/2$. This occurs twice each period of the current, once for $i = I_m$ and the other for $i = -I_m$. Similarly, an inductor has zero energy twice each cycle. This occurs each time $i = 0$.

As should be apparent from $w = L i^2/2$, as the inductor current increases in magnitude, the inductor absorbs energy into its magnetic field. When the current decreases in magnitude, the inductor acts like a source of energy and delivers energy to the circuit from its magnetic field. But, of course, all the energy it delivers, it has previously received in electrical form.

approaches a short circuit ($X_L = \omega L \rightarrow 0$), in agreement with dc results. (A dc voltage or current is sometimes considered to be a sinusoid of zero frequency.) At the other frequency extreme, as the frequency gets large and approaches infinity, the inductor approaches an open circuit ($X_L = \omega L \rightarrow \infty$).

The third and last important observation regarding inductor voltage is that it leads the inductor current by 90° . This is apparent from comparing $v = \omega L I_m \cos(\omega t + \theta)$ and $i = I_m \sin(\omega t + \theta)$. Both sinusoids have the same argument of $\omega t + \theta$, but the voltage is the cosine of this argument and the current is the sine of it. Of course, for the same time argument, a cosine leads a sine by 90° . This fact is important enough to repeat. For sinusoids, the *inductor voltage leads the inductor current* by 90° or, alternatively, *the inductor current lags the inductor voltage* by 90° . Figure 10-20 illustrates this phase difference. The dashed vertical lines are at times for which the 90° phase difference is most obvious.

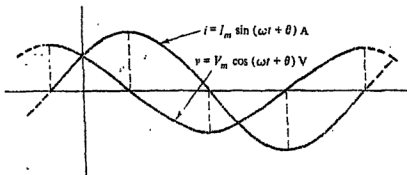


FIGURE 10-20

Example. A voltage $v = 100 \sin(\omega t + 30^\circ)$ V is across a 2-H inductor. What is the inductor current for (a) $\omega = 5$ rad/s and for (b) $\omega = 50$ rad/s?

Solution. (a) For $\omega = 5$ rad/s the inductor reactance is $X_L = \omega L = 5 \times 2 = 10 \Omega$. This divided into the voltage peak gives the current peak: $I_m = 100/10 = 10$ A. The only other quantity needed is the phase angle. And we can get this from the fact that the current lags the voltage by 90° . So,

$$i = 10 \sin(5t + 30^\circ - 90^\circ) = 10 \sin(5t - 60^\circ) \text{ A}$$

(b) For $\omega = 50$ rad/s the reactance is $X_L = 50 \times 2 = 100 \Omega$, giving a current peak of $I_m = 100/100 = 1$ A. This with the 90° phase lag results in

$$i = 1 \sin(50t + 30^\circ - 90^\circ) = \sin(50t - 60^\circ) \text{ A}$$

Notice that the current peak decreased from 10 A to 1 A with an increase of frequency from 5 to 50 rad/s.

Example. A 0.1-H inductor has a current of $i = 15 \cos(20t + 10^\circ)$ A. What is the inductor voltage?

Solution. The reactance is $X_L = \omega L = 20 \times 0.1 = 2 \Omega$. Consequently, $V_m = X_L I_m = 2 \times 15 = 30$ V. Then because v leads i by 90° , $v = 30 \cos(20t + 10^\circ + 90^\circ) = 30 \cos(20t + 100^\circ)$ V.

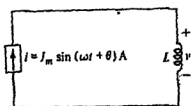


FIGURE 10-18

The next step requires the derivative of a sinusoid. From calculus this is

$$\frac{d}{dt}[\sin(\omega t + \theta)] = \omega \cos(\omega t + \theta)$$

So,

$$v = LI_m \frac{d}{dt}[\sin(\omega t + \theta)] = \omega LI_m \cos(\omega t + \theta)$$

What is the significance of this result? One very important fact is that the sinusoidal inductor current produces a sinusoidal inductor voltage. Further, the sinusoids have the same frequency. Also, because we could as well have considered the inductor voltage as being applied and the inductor current the response, it follows that a sinusoidal inductor voltage produces a sinusoidal current of the same frequency.

The fact that a sinusoidal excitation of an inductor produces a sinusoidal response of the same frequency may not seem unexpected because it is also true of a resistor, as we have discussed. In general, for a linear resistor an excitation of a certain waveshape produces a response of the same waveshape. But for an inductor this is rare. A square-wave inductor voltage does not produce a square-wave inductor current; a sawtooth inductor voltage does not produce a sawtooth inductor current; a triangular inductor voltage does not produce a triangular inductor current, and so on. So, it is really unusual for an inductor excitation and response to have the same wave shape. In fact, a sinusoid is about the only practical wave for which this is true.

Another important fact from $v = \omega LI_m \cos(\omega t + \theta) = V_m \cos(\omega t + \theta)$ is that the peak inductor voltage is ωL times the peak inductor current: $V_m = \omega LI_m$ and $I_m = V_m / \omega L$. Compare these with the resistor relations $V_m = RI_m$ and $I_m = V_m / R$. Clearly, an inductor has a current-limiting action similar to that of a resistor, with ωL corresponding to R . Because of this correspondence, this ωL has a name: *inductive reactance*, and a quantity symbol, X_L .

$$X_L = \omega L$$

Being the ratio of a voltage to a current, inductive reactance has the unit of ohm, just as does resistance.

Notice that this reactance, this current-limiting property, is not only proportional to inductance but also to frequency. The greater the sinusoidal frequency, the greater the reactance. Resistance, in contrast, is not a function of frequency.

Observe from ωL that as the frequency approaches zero, the inductor

Solution. We first square the wave as shown in Fig. 10-18. Then we find the average value of the squared wave for one period. The way to do this is to find the area under the squared wave for one period and then divide this area by the period, which is the base.

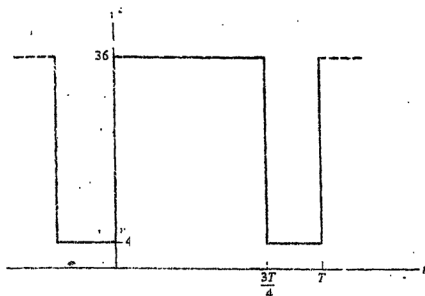


FIGURE 10-18

$$\text{area} = 36 \times \frac{3}{4}T + 4 \times \frac{1}{4}T = 28T$$

Then,

$$\text{average value} = \frac{\text{area}}{\text{base}} = \frac{28T}{T} = 28$$

As a last step we take the square root: $V_{\text{rms}} = \sqrt{28} = 5.3 \text{ V}$.

This example for a nonsinusoidal wave is included only to illustrate the generality of the rms procedure. But in the following chapters, the rms or effective value we will consider will almost all be for sinusoids. One other matter: Notice that capital letters indicate effective or rms values. This agrees with the convention to use capitals for quantities that do not vary with time.

INDUCTOR SINUSOIDAL RESPONSE

In Fig. 10-19 a sinusoidal current source provides current to an inductor. What is the inductor voltage? To find this voltage we can use the basic inductor current-voltage equation $v = L di/dt$, which is valid regardless of the current waveshape. Here,

$$v = L \frac{di}{dt} = L \frac{d}{dt} [I_m \sin(\omega t + \theta)] = LI_m \frac{d}{dt} [\sin(\omega t + \theta)]$$

stoves, hot water heaters, and clothes dryers require this voltage. Whenever a sinusoidal voltage or current is specified as a certain value, we should assume that this is the effective value.

There is another name besides *effective value* for this equivalent dc value that produces the same average power dissipation. This other name is *root mean square* or more commonly *rms*, the abbreviation. The corresponding voltage and current notation is V_{rms} and I_{rms} . Because the reason for the name *root mean square* requires calculus, we will not go into it. Instead, we will consider the result. A mathematical method of finding the effective value of *any* periodic voltage or current, and not just sinusoids, is to

- (1) Square the periodic voltage or current.
- (2) Find the average of the square over one period. Another name for this average is the *mean*.
- (3) Take the square root of this average.

The words in italics give the origin of the name *root mean square*, although perhaps a better ordering of the name would be *square mean root*, since squaring is the first step and taking the square root is the last step.

Example. Use the rms approach to find the effective value of $I_m \sin(\omega t + \theta)$.

Solution. First, we square the current: $I_m^2 \sin^2(\omega t + \theta)$. Next, we find the average of this square. To do this we can use the trigonometric identity $\sin^2 x = (1 - \cos 2x)/2$ to get

$$I_m^2 \sin^2(\omega t + \theta) = \frac{1}{2} I_m^2 [1 - \cos(2\omega t + 2\theta)]$$

From this result we see that the average of the square is $I_m^2/2$, the first term, because the sinusoid $\cos(2\omega t + 2\theta)$ of the second term has an average of zero over a period of the original wave. Finally, we take the square root of this average, getting $I_m/\sqrt{2}$, the same result as from the power consideration.

Example. Find the rms value of the periodic wave of Fig. 10-17.

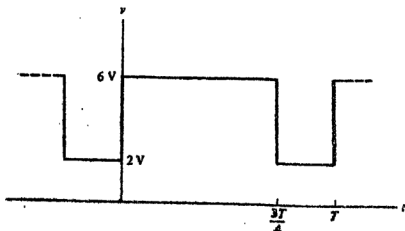


FIGURE 10-17

Multiplying both sides by R and taking the square root, we get the very important relation

$$V_{eff} = \frac{V_m}{\sqrt{2}} = 0.707V_m$$

which specifies that the effective value of a sinusoidal voltage is its peak value divided by the square root of 2. In this derivation, notice that R divides out. Consequently, the effective value is independent of R .

If we used the same approach for $i = I_m \sin(\omega t + \theta)$, in a similar manner we would get

$$I_{eff} = \frac{I_m}{\sqrt{2}} = 0.707I_m$$

which specifies that the effective value of a sinusoidal current is its peak value divided by the square root of 2.

As should be apparent from the definition of effective value, an effective value can be used just like a dc value to find the average power dissipated in a resistor.

$$P_{av} = \frac{I^2 R}{2} \quad \text{and} \quad P_{av} = I_{eff}^2 R$$

Example. A sinusoidal voltage of 10 V peak value is impressed across an 8- Ω resistor. What is the average power dissipated in the resistor?

Solution. Here, $V_{eff} = V_m/\sqrt{2} = 10/\sqrt{2}$. So,

$$P_{av} = \frac{V_{eff}^2}{R} = \frac{(10/\sqrt{2})^2}{8} = 6.25 \text{ W}$$

Example. A 20- Ω resistor carries a current of $8 \cos(377t + 30^\circ)$ A. What is the average power dissipated in the resistor?

Solution. With the current specified, the most convenient formula is $P_{av} = I_{eff}^2 R$. For this current, $I_{eff} = 8/\sqrt{2}$. So $P_{av} = (8/\sqrt{2})^2 \times 20 = 640 \text{ W}$. Notice that the frequency and phase angle of the current did not enter into this calculation.

Since the voltages at electric outlets are sinusoids, sinusoidal effective values are used for the voltage specifications of electrical appliances. For example, an electric stove may require 120 V, 60 Hz, ac. This 120 V is the effective value of the voltage required, which is the voltage at the usual household electric outlets. The required frequency of 60 Hz is the U.S. nationwide standard for electric power generation. In radians per second this frequency is $\omega = 2\pi(60) = 377 \text{ rad/s}$. So, the actual voltage required for this stove is $120\sqrt{2} \sin(377t + \theta) = 170 \sin(377t + \theta) \text{ V}$. The peak value is, of course, the effective value times the square root of 2. The other voltage commonly required for some electrical appliances is 240 V. Again, this is the effective value of a sinusoidal voltage. Some electric

current that would produce the same average power loss in a resistor that the periodic voltage or current would. We will now consider how to calculate this effective value.

First, we will consider how to experimentally find the effective value. Although finding it mathematically is easier, the experimental approach has the advantage of giving insight as to what an effective value really is. The system of Figure 10-16 will do. The dc voltage source on the right is variable, with a voltmeter across it

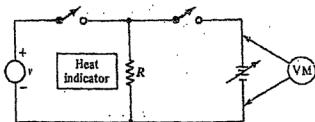


FIGURE 10-16

for indicating its voltage. The source on the left produces a periodic voltage v that we want the effective value of. The resistor R , in which the heat is dissipated, can be of any value. And the heat indicator is an instrument for indicating the average heat dissipated in the resistor R . Because the actual value of average heat dissipated is unimportant, this instrument can be something as simple as a bowl of water in which the resistor is immersed and a thermometer for measuring the water temperature.

To find the effective value of v we close the switch to connect the periodic voltage source to R . Then we wait a few minutes for temperatures to stabilize and take a reading of the heat indicator. For the simple water and thermometer system, this is the temperature reading of the thermometer. Next, we disconnect the periodic voltage source and close the switch to the variable dc voltage source. Finally, we vary this voltage until the heat indication is the same as that for v . Then the voltmeter reading of this dc voltage is the effective value of the periodic voltage v . If the periodic source were a current source instead, we could find its effective value with a similar experimental arrangement.

As mentioned, such experimental methods are unnecessary for finding effective values of periodic voltages or currents. A mathematical approach is usually more convenient and accurate. This is especially true for sinusoids, as we will now see. In the last section we found that a voltage $v = V_m \sin(\omega t + \theta)$ across a resistor of R ohms produces an average power dissipation of $V_m^2/2R$ W. And from our study of dc circuits we know that a dc voltage of V volts produces a power dissipation of V^2/R W across the same resistor. Since by definition the effective value of a sinusoidal voltage is that dc voltage which produces the same average power dissipation in the same resistor, we can equate these two powers and solve for the dc voltage. This will be the effective value of the sinusoidal voltage.

For convenience we will call this dc voltage V_{eff} . Then

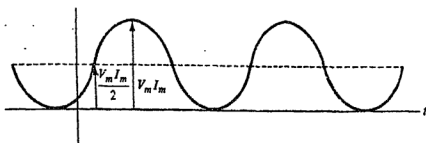


FIGURE 10-15

A plot of this instantaneous power is in Fig. 10-15. It is a sinusoid of $-V_m I_m \cos(2\omega t + 2\theta)/2$ "riding" on top of a constant of $V_m I_m/2$.

Another and equivalent way of considering this plot is as the product of the voltage and current curves of Fig. 10-14. For each instant of time, the point of the power curve is the product of the points of the voltage and current curves at this same time. This product can never be negative because for all the times that the voltage curve is negative, the current curve is also negative, and vice versa.

The average power supplied to a resistor over a period is important. Inspection of Fig. 10-15 shows that $P_{av} = V_m I_m/2$ because the superimposed sinusoid is as much above this value as below it. This value is just half the power peak value. There are other ways of expressing this average value, which we can get from $V_m = I_m R$: $P_{av} = V_m^2/2R = I_m^2 R/2$. The average power of $V_m I_m/2$ is also apparent from the basic instantaneous resistor power equation, because the second term, the sinusoidal term, has an average value of zero, leaving the first term of $V_m I_m/2$ for the average value. To repeat for emphasis, the average power absorbed by a resistor of R ohms is

$$P_{av} = \frac{V_m I_m}{2} = \frac{V_m^2}{2R} = \frac{I_m^2}{2} R$$

EFFECTIVE VALUE

Although sinusoidal voltages and currents vary continuously with time, it is convenient to give them specific values based on some property. In fact, such specific values are desirable for any periodic voltage or current. But how do we select a specific value? Average value will not do because the most important periodic function, the sinusoid, has a zero average value. Peak value may seem better, but then a periodic waveform that is zero for almost all its period and then jumps to a large value for a short time will be classified the same as a dc wave having this high value for all time.

What scientists agreed to was a value based on the equivalent dc heating value. And they called this the *effective value* of the periodic voltage or current. This effective value of a periodic voltage or current equals the value of a dc voltage or

- to, the present
- Ohm's law applies regardless of the waveform, sawtooth, or, in particular, sinusoidal.

So, in the circuit of Fig. 10-13,

$$i = \frac{v}{R} = \frac{V_m}{R} \sin(\omega t + \theta) = I_m \sin(\omega t + \theta)$$

irrespective of V_m , ω , or θ . And the current peak equals the voltage peak divided by the resistance, and the voltage peak equals the current peak times the resistance: $I_m = V_m/R$ and $V_m = I_m R$. Also important is the fact that the resistor current and voltage are in phase, as shown in Fig. 10-14. The fact that the current peak is lower

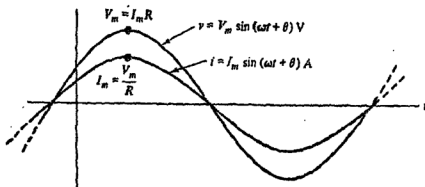


FIGURE 10-14

than the voltage peak is of no importance because the two curves have different scales: one is in volts and the other in amperes.

Now consider the power. The instantaneous resistor power dissipation varies with time for sinusoidal excitation because the instantaneous voltage and current vary with time, and the power is the product of these two. Specifically,

$$p = vi = [V_m \sin(\omega t + \theta)][I_m \sin(\omega t + \theta)] = V_m I_m \sin^2(\omega t + \theta)$$

from which we see that the power peak is $V_m I_m$, occurring each time $\sin(\omega t + \theta)$ is $+1$ or -1 . And the power is zero when this sinusoid is zero.

We can simplify this power expression by using the trigonometric identity $\sin^2 x = (1 - \cos 2x)/2$, in which $x = \omega t + \theta$. The result is

$$p = \frac{V_m I_m}{2} - \frac{V_m I_m}{2} \cos(2\omega t + 2\theta)$$

which is a constant plus a sinusoid of twice the frequency of voltage or current. With the sinusoidal peak of $V_m I_m/2$ of the second term just equaling the constant of the first term, the instantaneous resistor power can never be negative, since the most negative value of the sinusoid just cancels this constant. This cancellation occurs just twice each period—at those instants at which the voltage and current are both zero. The power never being negative means that a resistor never delivers power to a circuit. Instead, a resistor dissipates as heat all the energy it receives.

Example. What is the average value of the periodic voltage v of Fig. 10-12?

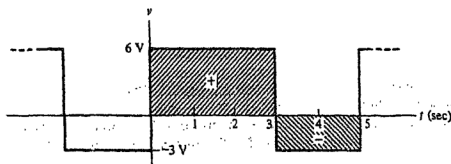


FIGURE 10-12

Solution. Although we can find the average value from any period, the period from $t = 0$ s to $t = 5$ s is convenient here. The positive area from $t = 0$ s to $t = 3$ s is $6 \times 3 = 18 \text{ V}\cdot\text{s}$. The area from $t = 3$ s to $t = 5$ s, being below the abscissa, is negative: $-3 \times 2 = -6 \text{ V}\cdot\text{s}$. The total area for this period is the sum of these two areas: $18 + (-6) = 12 \text{ V}\cdot\text{s}$. This divided by the period of 5 s produces an average of $\frac{12}{5} = 2.4 \text{ V}$.

The average value of any sinusoid is zero because over a period the positive area and negative area cancel in the sum of the two areas. For some purposes, though, a nonzero average is spoken of. By definition this "average" is the average over a positive half-cycle. This is the area under this half-cycle divided by a half-period. Because finding this area requires calculus, we will just give the result. For a sine wave of peak value V_m or I_m and period T , the area under a positive half-cycle is $V_m T / \pi \text{ V}\cdot\text{s}$ or $I_m T / \pi \text{ A}\cdot\text{s}$. These divided by $T/2$ s are $2V_m / \pi = 0.637 V_m \text{ V}$ and $2I_m / \pi = 0.637 I_m \text{ A}$. In other words, by definition the average value of a sinusoid turns out to be 0.637 times the peak value. Notice that this average value does not depend on the period or on the phase angle. We will not use this average value much.

RESISTOR CURRENT AND POWER

The next topic is resistor current and power for a resistor having a sinusoidal voltage across it as in the circuit of Fig. 10-13. Ohm's law, $v = iR$, is valid irrespective of the applied voltage. Our consideration of only dc resistor voltages up

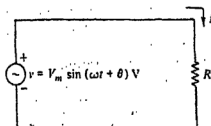


FIGURE 10-13

The easiest way to find the phase difference between two sinusoids is to take the difference of the angles of their arguments, provided that both sinusoids are sine terms or both are cosine terms and that both have the same signs. If one sinusoid is in sine form and the other in cosine form, we should use either $\sin x = \cos(x - 90^\circ)$ to convert the sine term to a cosine term or use $\cos x = \sin(x + 90^\circ)$ to convert the cosine term to a sine term. And if the two sinusoids have different signs, we should preferably convert the negative sinusoid to a positive one by adding or subtracting 180° to or from the phase angle, whichever gives the smaller angle. A common error here is to move the negative sign inside the argument and change the sign of the phase angle. This is not correct! The negative sign is equivalent to a 180° phase shift, and this is different from a change in sign of the phase angle.

Example. Determine the phase relations for the following:

- (a) $v = 10 \sin(377t + 45^\circ)$ V and $i = 20 \sin(377t - 20^\circ)$ A
- (b) $v_1 = 4 \sin(60t + 10^\circ)$ V and $v_2 = -8 \sin(60t + 95^\circ)$ A
- (c) $v = 5 \cos(20t + 5^\circ)$ V and $i = 7 \sin(30t - 20^\circ)$ A
- (d) $v = 5 \sin(6\pi t + 10^\circ)$ V and $i = 4 \cos(6\pi t - 15^\circ)$ A
- (e) $i_1 = -6 \sin 4t$ A and $i_2 = -9 \cos(4t + 30^\circ)$ A

Solution.

- (a) Because both sinusoids are of the same form and have the same sign we can get the phase difference from the difference of the phase angles. The phase difference is $45^\circ - (-20^\circ) = 65^\circ$, with v leading i .
- (b) We need to eliminate the negative sign of v_2 by subtracting 180° from the phase angle. Subtracting is better than adding because it gives a smaller phase angle: $v_2 = -8 \sin(60t + 95^\circ) = 8 \sin(60t + 95^\circ - 180^\circ) = 8 \sin(60t - 85^\circ)$. The phase difference is $10^\circ - (-85^\circ) = 95^\circ$ with v_1 leading v_2 by this angle.
- (c) Since the radian frequency of 20 rad/s of v differs from the 30 rad/s of i , the concept of phase difference does not apply to these sinusoids.
- (d) Because v and i are of different sinusoidal form, we should convert one to the form of the other. Selecting to convert i and using the trigonometric identity $\cos x = \sin(x + 90^\circ)$, we get $i = 4 \sin(6\pi t - 15^\circ + 90^\circ) = 4 \sin(6\pi t + 75^\circ)$. So, i leads v or v lags i by $75^\circ - 10^\circ = 65^\circ$.
- (e) Again the sinusoids are of different form. This time, just to be different, we will convert the sine term using $\sin x = \cos(x - 90^\circ)$. Then, $i_1 = -6 \cos(4t - 90^\circ)$ and the phase difference is $30^\circ - (-90^\circ) = 120^\circ$ with i_2 leading i_1 . Notice that we do not have to eliminate a negative sign because both sinusoids have negative signs.

SINUSOIDAL AVERAGE VALUE

The average value of a periodic wave is a quotient of area and time, with the area being that between the wave and the abscissa axis over one period and with the time being this period. The area above the abscissa is positive and that below is negative.

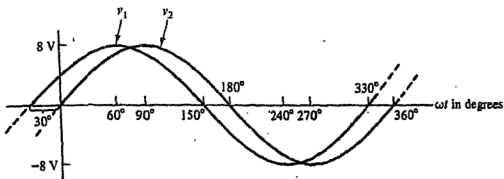


FIGURE 10-10

For a phase comparison to make any sense, sinusoids must have the same frequency. The reason is that the phase angles of sinusoids of different frequencies are simply not comparable because the phase differences continuously change. The sinusoids need not, however, have the same peak values. Our examples so far have had the same peak values only to make clearer the effects of phase difference.

If two sinusoids of the same frequency are zero at the same times and have positive peaks at the same times, the two sinusoids are said to be *in phase*. The sinusoids in Fig. 10-11(a) are in phase. In contrast, the sinusoids of Fig. 10-11(b)

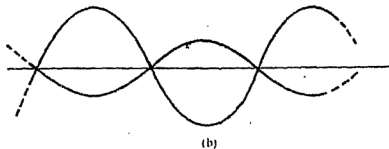
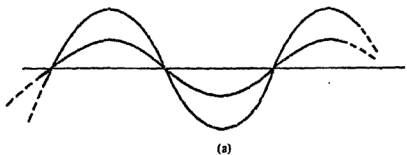


FIGURE 10-11

are just the opposite of these in-phase sinusoids. These have zeros at the same times and peaks at the same times, but the peaks are of opposite polarities. Because this corresponds to a phase difference of 180° , these sinusoids are said to be *180° out of phase*.

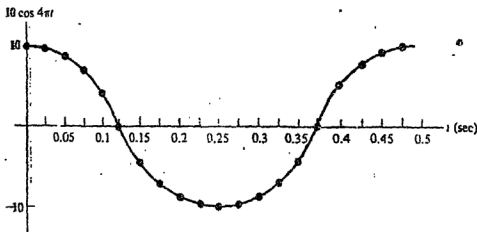


FIGURE 10-8

in Fig. 10-8 we see that the cosine wave has its first peak at $t = 0$ s, but the sine wave has its peak later, at $t = 0.125$ s, which time corresponds to 90° . In fact, from comparing the graphs or the two tables, we see that all of the cosine values occur 90° ahead of the corresponding sine values. For this reason we say that the cosine wave *leads* the sine wave by 90° , or that the sine wave *lags* the cosine wave by 90° . Also, we can say that they have a phase angle difference of 90° . Normally, this is just called the *phase difference*. We will discuss this more in the next section.

PHASE RELATIONS

In this section we consider phase differences in general. First, consider how the sinusoid $v_1 = 8 \sin(2\pi t + 30^\circ)$ compares with $v_2 = 8 \sin 2\pi t$. In their mathematical representations, the only difference is an added 30° in the argument of v_1 . The argument for v_1 is $2\pi t + 30^\circ$ and that for v_2 is just $2\pi t$. This 30° difference means that v_1 leads v_2 by this 30° or, which is the same thing, v_2 lags v_1 by 30° . Also, their phase difference is 30° . We could specify this phase lead, lag, and difference in radians instead of degrees, but specifying in degrees is far more popular.

Do not be disturbed that in $2\pi t + 30^\circ$ we are indicating an addition of quantities having different units: $2\pi t$ is in radians and 30° is in degrees. Such an addition is impossible: quantities to be added must have the same unit. But wrong as this designation is, it is common practice and not the least bit confusing.

Now having compared the expressions of v_1 and v_2 , we will compare their graphs. By substituting in different values of t , we can easily get their graphs, shown superimposed in Fig. 10-10 for comparison. Comparison is aided by having the abscissa units in degrees as illustrated, although these units could be in radians or seconds. It is important to observe here that v_1 reaches its peaks and all other values 30° ahead of or in advance of v_2 . This verifies and shows that v_1 leads v_2 by 30° .

a pocket calculator. Notice that the values for the second half-period, from $t = 0.25$ s to 0.5 s, are the same except for sign as the values for the corresponding times for the first half-period, from $t = 0$ s to 0.25 s. There is even a repetition of values for the first half period: the values for the second quarter period, from $t = 0.125$ s to 0.25 s, are the same, in a backward fashion, as those in the first quarter-period, from $t = 0$ s to 0.125 s. Essentially, we have the values for the whole period after finding them for just the first quarter-period. This repetition of values agrees with our discussion of Fig. 10-6.

Figure 10-8 shows this sine wave with three sets of abscissa units: seconds, radians, and degrees. Naturally, we should select just one of these. But showing

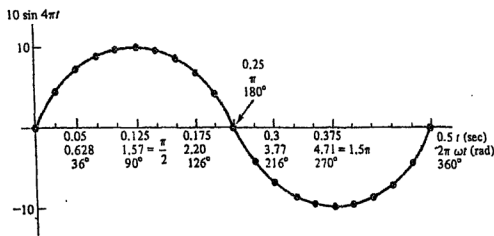


FIGURE 10-8

all three this one time does emphasize the fact that the abscissa units can be any one of these three, whichever is most convenient. Seconds and radians are more popular than degrees.

Next, we will graph $10 \cos 4\pi t$ for a comparison with $10 \sin 4\pi t$. Table 10-2 has the required values. Notice that these are only for the first quarter-period. These are enough because from them we can get corresponding values for the remaining three quarter-periods, for the same reasons as discussed for the sine wave.

Figure 10-9 shows the plot. In comparing this plot with that for the sine wave

Table 10-2

t (s)	$4\pi t$ (rad)	$4\pi t$ (deg)	$10 \cos 4\pi t$
0	0	0°	10
0.025	0.314	18°	9.51
0.05	0.628	36°	8.09
0.075	0.942	54°	5.88
0.1	1.26	72°	3.09
0.125	1.57	90°	0

ice that $\sin 0^\circ = \cos 90^\circ$, $\sin 30^\circ = \cos 60^\circ$, $\sin 45^\circ = \cos 45^\circ$, $\sin 60^\circ = \cos 30^\circ$, and $\sin 90^\circ = \cos 0^\circ$, which verifies the important relation of $\sin x = \cos(90^\circ - x)$ proved in the study of trigonometry. Other important sine-cosine relations are $\sin x = \cos(x - 90^\circ)$ and $\cos x = \sin(x + 90^\circ)$.

There are also some important relations for sine terms alone, and also for cosine terms alone: $\sin(-x) = -\sin x$, which allows us to factor out a negative sign from a sine argument. (The argument is that part of the expression that specifies the angle.) But $\cos(-x) = \cos x$, which specifies that the sign of the cosine argument does not affect the cosine value. A negative sign can be deleted or inserted, whichever is more convenient. Also important are

$$\sin(x + 180^\circ) = \sin(x - 180^\circ) = -\sin x$$

$$\cos(x + 180^\circ) = \cos(x - 180^\circ) = -\cos x$$

These specify that adding or subtracting 180° to or from a sinusoidal argument is equivalent to a sign change. Of course, adding or subtracting an integer multiple of 360° produces no change.

For a better understanding of sinusoids, we will plot a cycle of a particular sinusoid: $10 \sin 4\pi t$. This wave has a peak of 10 and a radian frequency of $\omega = 4\pi$ rad/s, which means that $f = 4\pi/2\pi = 2$ Hz. This, in turn, means that its period is $T = 1/f = 0.5$ s. We will, for convenience, plot the wave for the specific period of $t = 0$ s to 0.5 s at time intervals of 0.025 s.

Table 10-1 shows the values for this plot, which values we can easily get from

Table 10-1

t (s)	$4\pi t$ (rad)	$4\pi t$ (deg)	$10 \sin 4\pi t$
0	0	0°	0
0.025	0.314	18°	3.09
0.05	0.628	36°	5.88
0.075	0.942	54°	8.09
0.1	1.26	72°	9.51
0.125	1.57	90°	10
0.15	1.88	108°	9.51
0.175	2.20	126°	8.09
0.2	2.51	144°	5.88
0.225	2.83	162°	3.09
0.25	3.14	180°	0
0.275	3.46	198°	-3.09
0.3	3.77	216°	-5.88
0.325	4.08	234°	-8.09
0.35	4.40	252°	-9.51
0.375	4.71	270°	-10
0.4	5.03	288°	-9.51
0.425	5.34	306°	-8.09
0.45	5.65	324°	-5.88
0.475	5.96	342°	-3.09
0.5	6.28	360°	0

ticular angle ωt . (This drawing of a horizontal line is called *projecting the hypotenuse on the vertical axis*.) Values above the horizontal axis are positive and those below are negative.

We can rotate the hypotenuse counterclockwise to get an idea of the relation between $v = V_m \sin \omega t$ or $i = I_m \sin \omega t$ and the angle ωt . If we start with the hypotenuse at 0° , to the right along the horizontal axis, we get v or i equal to zero because the vertical projection of the hypotenuse is zero. If we increase the angle to 30° ($\omega t = \pi/6$ rad), the angle shown, we find that the vertical projection is one-half the hypotenuse: $v = V_m/2$ or $i = I_m/2$. If we increase the angle to 90° ($\omega t = \pi/2$ rad), the hypotenuse is along the upper vertical axis, and $v = V_m$ or $i = I_m$. As we increase the angle beyond 90° , the hypotenuse goes into the second quadrant. Here, v or i decreases with increasing angle, becoming zero for 180° ($\omega t = \pi$ rad). Increasing the angle further, we see that the vertical projection of the hypotenuse is below the horizontal axis, which means that v or i is negative. At 270° ($\omega t = 3\pi/2$ rad), the hypotenuse is along the lower vertical axis, and $v = -V_m$ or $i = -I_m$. Increasing the angle further to 360° brings the hypotenuse back to its starting point and the whole process repeats.

Although so far we have considered only the sine wave, the cosine wave of $v = V_m \cos \omega t$ or $i = I_m \cos \omega t$, illustrated in Fig. 10-7, is equally important. In fact, the sine wave and cosine wave have a common classification of *sinusoid*. The

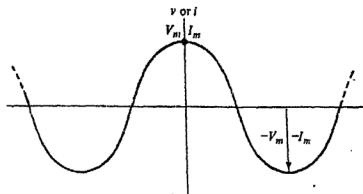


FIGURE 10-7

cosine wave has the same shape as the sine wave. It can also be generated using the vertical projection of the hypotenuse in Fig. 10-6. But for this the hypotenuse line must be along the upper vertical axis at $t = 0$ s.

Despite the ease of evaluating them on a pocket calculator, some sine and cosine values are so frequently used that we should memorize them:

$\sin 0^\circ = 0$	$\cos 0^\circ = 1$
$\sin 30^\circ = 0.5$	$\cos 30^\circ = 0.866$
$\sin 45^\circ = 0.707$	$\cos 45^\circ = 0.707$
$\sin 60^\circ = 0.866$	$\cos 60^\circ = 0.5$
$\sin 90^\circ = 1$	$\cos 90^\circ = 0$
$\sin 180^\circ = 0$	$\cos 180^\circ = -1$
$\sin 270^\circ = -1$	$\cos 270^\circ = 0$

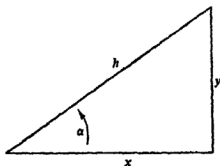


FIGURE 10-5

measure the sides y and h and then take their ratio. But no one does it that way. The way to do it is to enter the angle in degrees into a pocket calculator, punch the sin key, and then get the value from the calculator display. By the way, a calculator is almost essential for the work that follows. It should have at least the trigonometric functions, logarithms, exponentials, square root, powers, and inverse.

The $\sin \omega t$ in $v = V_m \sin \omega t$ and in $i = I_m \sin \omega t$ is the same sine function as in $\sin \alpha$. The only difference is that the angle ωt is not a constant as α is. Because the angle ωt varies with time, we need a different way of showing the triangle for $= V_m \sin \omega t$ or for $i = I_m \sin \omega t$. Perhaps the best way is, as in Fig. 10-6, on a

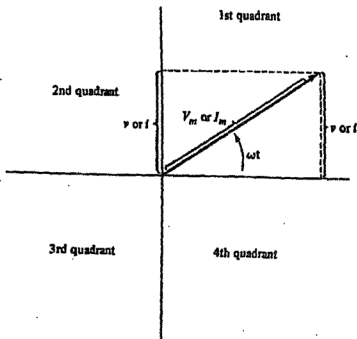


FIGURE 10-6

plane having horizontal and vertical axes that divide the plane into four parts, called *quadrants*. Here the hypotenuse is a radial line extending from the origin, and the angle ωt is the angle between the horizontal axis and the hypotenuse. As can be seen from drawing a horizontal line from the tip of the hypotenuse to the vertical axis, the height of the hypotenuse is the value of v or i corresponding to the par-

The radian has a relation to angular measurement in degrees. If as in Fig. 10-4 a length equal to the radius is marked off on the circumference of a circle, the radian is the angle subtended by this radius length, r . Because the circumference

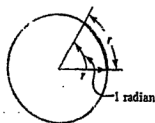


FIGURE 10-4

equals $2\pi r$, it follows that there are 2π radians in 360° , the total angle of a circle. Consequently,

$$1 \text{ rad} = \frac{360^\circ}{2\pi} = \frac{180^\circ}{\pi} = 57.3^\circ$$

We can use this radian-degree relation to convert an angle in degrees to one in radians, or vice versa.

$$\text{angle in radians} = \frac{\pi}{180^\circ} \times \text{angle in degrees}$$

and

$$\text{angle in degrees} = \frac{180^\circ}{\pi} \times \text{angle in radians}$$

Some radian-degree relations are so common that we should memorize them: $30^\circ = \pi/6 \text{ rad}$, $60^\circ = \pi/3 \text{ rad}$, $90^\circ = \pi/2 \text{ rad}$, $180^\circ = \pi \text{ rad}$, $270^\circ = 3\pi/2 \text{ rad}$, and $360^\circ = 2\pi \text{ rad}$.

Returning to our sinusoidal wave of $V_m \sin \omega t$ or $I_m \sin \omega t$, we should notice that the t in ωt produces a continuous change in the angle, causing the product ωt to increase linearly with time. Of course, ωt represents an angle increasing with time because ω has units of radians per second while t has units of seconds. So, their product has units of radians. For evaluating $\sin \omega t$, however, we usually prefer to have this angle in degrees, as we shall see.

If we knew the value of ω and of V_m and I_m , we could graph both $v = V_m \sin \omega t$ and $i = I_m \sin \omega t$, provided that something like $\sin 30^\circ$ or $\sin 45^\circ$ made sense to us. So, we will look into this. As may be recalled from trigonometry, the sine is based on the right triangle as shown in Fig. 10-5. In this triangle the angle α is measured in a counterclockwise direction from the horizontal. It is important to remember to measure positive angles in a counterclockwise direction and negative angles in a clockwise direction. The three sides x , y , and h have specific names: x is the side adjacent the angle (α), y is the side opposite the angle, and h is the hypotenuse. By Pythagorean's theorem, $h = \sqrt{x^2 + y^2}$. And by definition, $\sin \alpha = y/h$, $\cos \alpha = x/h$, and $\tan \alpha = y/x$.

To evaluate a sine quantity we could construct a triangle as in Fig. 10-5,

sinusoidal voltage and ac current means sinusoidal current. Other alternating waves are simply designated by name, such as square wave, triangular wave, and so on.

We will devote all of this chapter and most of the remaining chapters to the analysis of ac circuits—circuits with sinusoidal voltage and current sources. Why all this emphasis on circuits having this one type of source? What is so important about sinusoids?

One reason for the importance of sinusoidal analysis is that almost all electrical power, at least large amounts of power, is generated sinusoidally. As is described in Chap. 18, ac voltage generators, also called *alternators*, generate these sinusoidal voltages. There is some distortion of these voltages on transmission. But even so, the voltages at common electric outlets are nearly perfect sinusoids. Another reason for the importance of sinusoidal analysis is that all information in electrical form—every electrical signal—is a sum of sinusoids. This is true whether the electrical signal is John Denver's voice or weather information from a satellite, or whatever. Because all practical signals are sums of sinusoids, if we can analyze circuits that are sinusoidally excited, we can analyze a circuit excited by any practical signal. And that is important! Now having some understanding of the importance of sinusoids, we will study them in detail in the next section.

SINE AND COSINE WAVES

From Figs. 10-2(b) and 10-3(b) we have a good idea of the shape of a sine wave. Mathematically, though, a sine wave is described by $v = V_m \sin \omega t$ if it is a voltage and by $i = I_m \sin \omega t$ if it is a current. In these expressions the v and i represent *instantaneous* values and so are in lowercase, as is conventional. The V_m for voltage maximum and I_m for current maximum are the wave amplitudes or peak values. It is conventional to use uppercase letters for these. The peak value or amplitude, both mean the same, is the maximum value that a sinusoidal wave gets above the horizontal axis if the wave is plotted. The negative of this peak is the maximum negative value.

In $V_m \sin \omega t$ and $I_m \sin \omega t$ is ω , the Greek lowercase letter omega. It is the quantity symbol for a frequency that is related to the SI unit of plane angle, the *radian*, with unit symbol rad. Specifically, ω is the *radian frequency* of the sinusoid in *radians per second*, the unit symbol for which is rad/s. This ω is related to f , the wave frequency in hertz, by

$$\omega = 2\pi f$$

which specifies that the frequency of a wave in radians per second is 2π times the frequency in hertz. For example, $60 \text{ Hz} = 2\pi \times 60 = 377 \text{ rad/s}$.

When the term *frequency* is used, we will have no confusion as to which frequency is intended because of its context—the way the word is used and the words around it. Of course, if the units of hertz or radians per second are given, there is no question which frequency is intended.

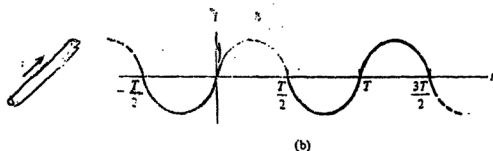


FIGURE 10-2

current that flows in a direction opposite to the reference arrow. So, current flows against this arrow from $t = -T/2$ s to $t = 0$ s, and also from $t = T/2$ s to T s, and so on.

Because the sawtooth wave of Fig. 10-1(c) does not go below the abscissa, it is never a negative current and so never reverses direction of flow even though its magnitude varies with time. The same is true for the cosine plus dc wave of Fig. 10-1(e).

As may be guessed, what is said above for direction of alternating currents applies as well to polarity of alternating voltages. To understand this, consider the voltage source of Fig. 10-3(a) and its output sinusoidal waveform of Fig. 10-3(b). The waveform portions *above* the abscissa designate positive voltage,

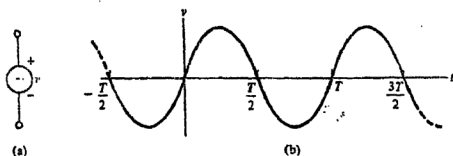


FIGURE 10-3

which in turn means that the actual voltage polarity agrees with the reference polarity in Fig. 10-3(a). So, the voltage has the indicated polarity for times $t = 0$ s to $T/2$ s and from $t = T$ s to $3T/2$ s, and so on. Those waveform portions *below* the abscissa designate negative voltages, which means that the actual voltage polarity is opposite the reference polarity in Fig. 10-3(a). So, from $t = -T/2$ s to 0 s and from $t = T/2$ s to T s, the actual voltage polarity of the source of Fig. 10-3(a) is positive on the bottom and negative on the top—opposite the reference. Incidentally, notice the symbol for the sinusoidal voltage source. It is a circle with ~ inside to indicate a sinusoidal cycle.

As mentioned, the term *ac* is an abbreviation for alternating current. Actually, it is more than that. *By common usage ac means sinusoidal.* So, ac voltage means

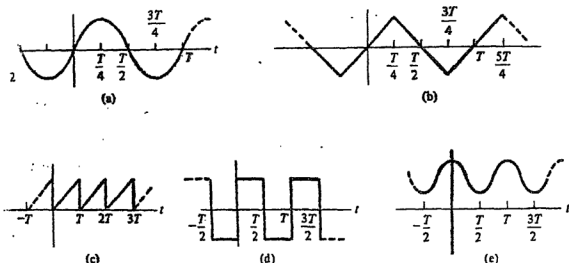


FIGURE 10-1

In Fig. 10-1(a) is the most popular periodic wave, the sine wave, which is the principal wave for this and most of the remaining chapters. Figure 10-1(b) is a triangular wave, Fig. 10-1(c) is a sawtooth wave, Fig. 10-1(d) a square wave, and Fig. 10-1(e) a cosine wave superimposed on dc. These are examples of periodic waves, as mentioned. And all but the sawtooth wave of Fig. 10-1(c) and the wave of Fig. 10-1(e) are also alternating, as will be explained. Electronic oscillators can be purchased for generating these waves. Of course, in Sec. 8-10 we studied a relaxation oscillator that generated a sawtooth wave like that of Fig. 10-1(c).

From Fig. 10-1 do not receive the impression that the period is always measured from the time that a wave goes through zero, which naturally cannot be true for the wave of Fig. 10-1(e) because it is never zero. Also, the starting time for measuring a period does not have to be $t = 0$ s. This starting time can be any time. The period, then, is the time between this starting time and the instant of time at which the wave first repeats—a period is the duration of a cycle.

An *alternating current* is a periodic current that varies with time such that during part of each period the current flows in one direction, and then for the remaining time reverses and flows in the opposite direction. This reversal is indicated in Figs. 10-1(a), (b), and (d) by the waves being positive or above the abscissa for a portion of a cycle and negative or below the abscissa for the remainder of the cycle.

Perhaps this point needs more explanation. Figure 10-2(a) shows a wire carrying a current with a reference direction as indicated. Figure 10-2(b) shows the current waveform, which happens to be sinusoidal. The portions of the wave above the abscissa designate positive current flow. By definition this is flow in the direction of the reference arrow. So, current flows in the direction of the arrow for time $t = 0$ s to $T/2$ s, and also from $t = T$ s to $3T/2$ s, and so on. The waveform portions below the abscissa indicate negative currents. By definition a negative current is a

Sinusoidal Alternating Current and Voltage

INTRODUCTION

Up to this point of our study, the independent voltage and current sources have all been dc. Now we begin the study of the analysis of networks having ac sources. The term *ac* is, of course, just an abbreviation for *alternating current*.

The word *alternating* usually refers only to a *periodic* current or voltage. And *periodic* means that the current or voltage varies with time such that it repeats itself after a fixed time called the *period*. Figure 10-1 shows some periodic waves that may be either voltages or currents. Strictly speaking, each of these waves has no beginning and no end. Actually, of course, every practical electrical voltage or current has a beginning and an end.

In Fig. 10-1 each horizontal axis (*abscissa*) is in time. Along each abscissa, the indicated period T is the *shortest* time in which a wave begins to repeat. The inverse of the period is the wave *frequency*, which is measured in the SI unit of *hertz* with unit symbol Hz. Named in honor of the German physicist Heinrich R. Hertz (1857-1894), the hertz replaces the old unit of cycles per second. (A cycle is the segment of a wave occurring during one period.) The quantity symbol for frequency is f . So,



1

Б.А. Александров



0443791